

31.21

A60

**Taqribchilar:**

Toshkent davlat texnika universiteti «Elektrotexnikaning nazariy asoslari» kafedrası (kaf. mudiri t.f.d. prof. *Y.R. Rashidov*, t.f.n., dots. *Q.G. Obidov*):

Toshkent davlat aviatsiya instituti «Uchish apparatlari va aeroportlarning elektr jihozlari» kafedrası mudiri t.f.d. prof. *M.I. Ibodullayev*, Toshkent temir yo'l muhandislari instituti «Elektr aloqa va radio» kafedrası mudiri t.f.d. prof. *A.A. Xoliqurov*.

**Amirov S.F.**

**Elektrotexnikaning nazariy asoslari:** Oliy o'quv yurtlari talabalari uchun o'quv qo'si. K. I/ S.F. Amirov, M.S. Yoqubov, N.G. Jabborov; O'zR Oliy va o'rta maxsus ta'lif vazirligi. — Toshkent: Talqin, 2008. — 144 b.

1. Yoqubov M.S. II. Jabborov N.G.

ББК 31.21я73

O'quv qo'llanmaning ushbu birinchi kitobida elektrotexnikaning nazariy asoslariiga tegishli bo'lgan tayanch tushunchalar, atamalar, o'zgarmas va bir fazali sinusoidal tok chiziqli elektr zanjirlarini hisoblash usullari haqida tegishli bakalavriat yo'nalishlarida ta'lif olayotgan talabalar uchun yetarli ma'lumotlar keltirilgan bo'lib, unda elektrotexnika tarixiga, uning rivojlanish bosqichlariga va boshqa texnik fanlarni o'zlashtirishdagi o'rniga alohida e'tibor berilgan. Har bir bob tegishli masalalar, referat mavzulari va o'z-o'zini sinash savollari bilan to'ldirilgan.

O'quv qo'llanma energetika, elektrotexnika, avtomatika, radiotexnika va elektr aloqa sohalariga oid ta'lif yo'nalishlari talabalar uchun mo'ljalangan bo'lib, undan ishlab chiqarish sohalarining mutaxassislari, muhandislar, magistrantlar va ilmiy-teknik xodimlar ham foydalanshlari mumkin.

O'zbekiston Respublikasi Oliy va o'rta maxsus ta'lif vazirligi huzuridagi ilmiy-uslubiy birlashmalar faoliyatini muvosiflashtiruvchi Kengash 5520200, 5521300, 5521400, 5521500, 5521600, 5521700, 5521800, 5522000, 5522800, 5630200 bakalavriat ta'lif yo'nalishlari talabalar uchun o'quv qo'llanma sifatida tavsija etgan

ISBN 978-9943-325-39-5

© «Talqin» nashriyoti, 2008

## SO‘ZBOSHI

«Elektrotexnikaning nazariy asoslari» fani elektrotexnika, elektroenergetika, radioelektronika, elektr aloqa va avtomatika sohalariga oid hujum yo‘nalishlari va magistratura mutaxassisliklari talabalari uchun himmatlihandislik fanlaridan hisoblanadi. «Elektrotexnikaning nazariy asoslari» fanining asosiy masalasi turli elektrotexnik qurilmalarda sodir bo‘lgan elektromagnit hodisalar va jarayonlarni sifat va miqdor hisoblanishidir.

Oliy ta’limning fan dasturi asosida yozilgan ushbu o‘quv qo‘llanmada tahlilborda elektrotexnikaning nazariy asoslari bo‘yicha zarur va yetarli bo‘lgan tayanch tushunchalar, elektr va magnit zanjirlardagi fizik qonunlar va hodisalarning o‘ziga xos xususiyatlari bayon etilgan.

Kinohdagi barcha materiallar hozirgi zamон elektroenergetikasi va elektrotexnikasiga asoslangan bo‘lib, ularning texnik yechimlari esa nolq so‘judigida tobora keng qo‘llanilayotgan asboblar, mashinalar va qurilmalarni avtomatlashtirish va ular asosida avtomatlashgan texnologiyi majmualar elektr, magnit va elektron zanjirlarining xossa va qurilmalarning o‘rganishga bag‘ishlangan. Ayrim boblarga tegishli materiallarda ideallashgan tasavvurdan real elektr va magnit zanjirlarga etilgan.

Bo‘nni yillarda elektrotexnikadagi tayanch tushunchalar va ta’riflarga, shartli xemalardagi shartli grafik belgilashlarga, oliy o‘quv yurtlari fan sohalariga jiddiy o‘zgartirishlar kiritildi. Oliy va o‘rta maxsus o‘quv portfeliда elektrotexnik fanlarning o‘qitilish jarayoniga yangi pedagogik metodologiyalar joriy etilmoqda. Ushbu o‘quv qo‘llanmada bularning burchutini hisobga olishga harakat qilindi. Bu borada o‘quv qo‘llanma hisobini elektrotexnika, energetika va avtomatika sohalariga oid hujum yo‘nalishlarining O‘zbekiston Respublikasi Oliy va o‘rta maxsus bo‘li vazirligi tomonidan tasdiqlangan Davlat ta’lim standartlarida «Elektrotexnikaning nazariy asoslari» faniga qo‘yilgan talablarga moslashtirildi.

Qo'llanmada keltirilgan referativ mavzular va o'z-o'zini sinash savollari talabalarning mustaqil ta'lif olishi va fikrlash qobiliyatini o'stirish uchun xizmat qiladi. Keltirilgan masalalar nazariy ma'lumotlarni mustahkamlashga hamda ularga amaliy va mantiqiy yondashishga va texnikani yaxshi idrok etishiga yordam beradi.

Hozirgi vaqtida inson faoliyati doirasiga kirgan har bir sohada va yo'nalishda elektrotexnika va elektronika qurilmalari mavjud. Shu sababdan elektrotexnika asoslarini bilish, uni tushunish va amalda qo'llay olish nafaqat elektrotexnik xodimlar, balki turli soha mutaxassislar va xodimlari uchun ham ertangi kunning ravnaqini ta'minlashda katta ahamiyat kasb etadi.

O'quv qo'llanmaning qo'lyozmasini o'qib chiqib, uning sifatini yaxshilash uchun o'z fikr-mulohazalarini bildirgan Toshkent davlat texnika universiteti «Elektrotexnikaning nazariy asoslari» kafedrasi mudiri t.f.d. professor Y. Rashidovga, shu kafedraning dotsenti Q.Obidovga, ««Energetika sohalari kasb ta'limi va elektrotexnika» kafedrasi dotsenti O.M. Burxonxo'jayevga, Toshkent davlat aviatsiya instituti» Uchish apparatlari va aeroportlarning elektr jihozlari» kafedrasi mudiri t.f.d. professor M. Ibodullayevga hamda Toshkent temir yo'l muhandislari instituti «Elektr aloqa va radio» kafedrasi mudiri t.f.d professor A.Xoliquovga, qo'lyozmani kompyuterda terishda yaqindan yordam bergen aspirantlar X.Sattarov, N. Balgayev va Y.Shoyimovga mualliflar samimiy minnatdorchilik bildiradilar.

O'quv qo'llanma tasdiqlangan fan dasturi doirasida yozilganligi bois ko'p mavzular hajmi chegaralangan va «Elektrotexnikaning nazariy asoslari» fanidan davlat tilida, lotin alifbosida yozilgan dastlabki asarlardan bo'lganligi sababli ayrim kamchiliklardan holi emas, albatta. Tegishli sohalarning mutaxassislar, talabalar va umuman o'quvchilar fikr-mulohazalari asosida qo'llanmaning keyingi nashrlari mukammalroq bo'ladi degan, umiddamiz.

Ushbu kitob O'zbekistonda elektrotexnika va avtomatika sohalariga oid yo'nalishlar bo'yicha ilmiy maktablar yaratgan va ko'pgina olimlarni tarbiyalab voyaga yetkazgan hamda mualliflarni ushbu kitobni yozishga undagan texnika fanlari doktorlari, professorlar Zaripov Madiyor Faxritdinovich va Karimov Anvar Saidabdullayevichning yorqin xotirlariga bag'ishlanadi.

## ELEKTROTEXNIKA TARAQQIYOTI TARIXIDAN

Mozirgi zamон elektroenergetikasi mamlakatning yetakchi sohasidir. Umny texnik taraqqiyotda har qanday soha ishlab-chiqarishini hal qiluvchi rolni o'ynaydi.

Inson o'z faoliyatining barcha sohalarida elektr energiyadan bilanadi. Elektr energiya boshqa energiya turlaridan quyidagi ajoyib bilan ajralib turadi:

(i) boshqa (mexanik, kimyoviy, issiqlik, yorug'lik, atom) energiya olinishi nihoyatda sodda;

(ii) uzoq masofaga yuqori foydali ish koeffitsiyenti (FIK) bilan uzatish larni larga oson taqsimlash mumkin;

(iii) boshqa turdagи energiyaga oson aylantirish mumkin;

(iv) turli quvvatga ega yuklamalarni bitta manbara ulash mumkin;

(v) turli fizik tabiatli parametrlarni tok va kuchlanishga oson o'zgartirish mumkin;

(vi) signallarni uzoq masofalarga bir onda uzatish mumkin (telefon, radioaloqa).

Elektr energiyaning bu xususiyatlari qisqa tarixiy muddatda nafaqat elektroenergetikaning asosiy masalalarini, balkin elektr texnikalarni yangi turmushga ko'tarishga imkon berdi. Elektrotexnika fanining zamirida elektroteknik, radiotexnik, elektromexanik va avtomatik uskunalar, shu jumladan hisoblash texnikasi tez sur'atlar bilan rivojlandi.

Elektrotexnikaning yuzaga kelishi o'zgarmas tok manbayining turli hamda elektr va magnetizm sohasidagi kashfiyotlar bilan bog'liq.

Qadim o'tmishda dastlab yunonlar Kichik Osiyoning Magneziya ruda parchalari temir jismalarni tortish xususiyatini payqadilar bo'li hisobani magnetizm deb atadilar.

Miletlik Fales eramizdan avvalgi VIII—VII asrlardanoq qahraboning natijasida elektrlanishi va unda elektr maydon paydo qilishini ta'kidlagan. Elektr va magnit hodisalar qadimdan ma'lum, bu hodisalar to'g'risidagi fan 1600-yilda ingliz fizigi U. Gilbert

elektr va magnit hodisalar to'g'risida tadqiqotlarini e'lon qilgandan keyin boshlandi. Elektr to'g'risidagi fanning rivojlanish bosqichida M.V. Lomonosov, G.V. Rixman, B. Franklin, Sh. Kulonning elektr hodisalarning tabiatini o'rganishga bag'ishlangan amaliy tadqiqotlari muhim ahamiyatga ega bo'ldi.

Elektr va magnit hodisalar o'zaro bog'liqligini rus olimi F. Epinus 1758-yilda o'z ma'ruzasida aytib o'tgan.

1785-yilda fransuz olimi Sh. Kulon o'z nomi bilan atalgan qonunni kashf etdi. U elektr maydoni kuchlanganligi tushunchasini kiritdi. Elektr zanjir tushunchasi 1794-yilda A. Volta tomonidan kiritilgan. Volt ustuni esa 1800-yilda yaratilgan. Rus akademigi V.V. Petrov 1802-yilda elektrokimyo bo'yicha birinchi tadqiqotlarini o'tkazgan va u elektrokimyoning asoschisi hisoblanadi.

Magnit strelkaga tokning ta'siri X. Ersted tomonidan 1819-yilda, toklarning o'zaro ta'siri esa A. Amper tomonidan 1820-yilda o'rganilgan. Amper birinchi bo'lib elektr toki, tok kuchi, elektr kuchlanish atamalarini kiritgan. Magnit maydonining dastlabki tadqiqotlari J.B. Bio va M. Savar tomonidan o'tkazilgan va Laplas tomonidan matematik jihatdan umumlashtirilgan (Bio-Savar-Laplas qonuni).

Elektrostatikaga oid ayrim tenglamalarni fransuz matematigi S. Puasson tadqiq etgan. Elektromagnit maydonning materialistik konsepsiysi ingliz olimi M. Faradey tomonidan rivojlantirilgan. U elektr va magnit maydonlarni tadqiq etish uchun kuch va ekvipotensial chiziqlar atamalarini kiritgan.

1782-y. Laplas o'z nomi bilan ataladigan tenglamalarni og'irlilik nazarayasiga tegishli asarlarida qo'llagan. Elektromagnit induksiya qonunini 1831 yilda ingliz fizigi M. Faradey tajriba yo'lli bilan kashf etgan va elektrokimyo qonunlarini birinchi bor o'rgangan. Elektromagnitli telegraflar rus injeneri P. Shilling tomonidan 1832-yili yaratilgan. Rus akademigi B. Yakobi 1838-yili suv kemasi uchun elektr mashina yaratgan. Elektr zanjiriga oid qonuni 1826-yilda nemis olimi G. Om tomonidan kashf etilgan.

Elektromagnit o'lhash birligi absolyut tizimini nemis olimlari K.F. Gauss va T. Veber 1831—1833-yillari yaratdilar.

Tokning issiqlik ta'siri qonunini ingliz fizigi D. Joule 1841-yili va rus akademigi E. Lens 1842-yilda ta'riflab berishgan. 1844-yili E. Lens elektromagnit inersiya qonunini bayon qilgan. Nemis olimi G. Kirxgof 1845-yilda elektr zanjirlarga oid ikkita muhim qonunga ta'rif bergan.

Vektor potensiali, induktivlik va o'zaro induktivlikni birinchi bor 1845-yilda nomis olimi F. Neyman ifodalagan. Buyuk ingliz olimi D. Maksvell 1861-yili siljish toklari tushunchasini kiritdi, hamda hozirda uning nomi bilan ataladigan o'zgaruvchan elektromagnit maydon tenglamalarini hildi. Bundan faqat 25 yildan keyingina elektromagnit maydon mustaqil joradagi materia deb isbot etildi.

Ulastik muhitda energiya harakati rus olimi N.Umov tomonidan 1874-yilda nazariy jihatdan tadqiq qilingan.

Rus injeneri F. Pirotskiy 1875-yilda quvvati 4,4 kW o'zgarmas tokni 1 km masofaga uzatish tajribasini o'tkazgan.

Cho'g'lanish lampasi 1875-yil A. Lodigin tomonidan kashf etilgan.

1884-yil ingliz olimi D. Poyting elektromagnit maydon energiyasini uzatishini nazariy jihatdan tadqiq etgan.

1889—91-yillarda rus injeneri M.O.Dolivo-Dobrovolskiy elektr energiyaning uch fazali tizimi qism(generator, transformator, motor)larini ishlab chiqqan va kuchlanishi 15 kV, quvvati 150 kVA bo'lgan elektr energiyani 175 km masofaga uzatishni amalga oshirgan.

1872-yilda rus olimi A. Stoletov fotoeffekt hodisasini kashf etgan. Dunyoda birinchi bo'lib A. Popov radio aloqani amalga oshirgan.

1887—88-yillarda nemis olimi G. Gers elektromagnit to'lqinlarni mayjudligini eksperimental yo'l bilan isbot etdi.

Relyativistik elektrodinamikaning rivojlanishi 1905—1908-yillarda G. Lorens va G. Minkovskiyning izlanishlari bilan bog'liq.

O'ta o'tkazuvchanlik hodisasi nemis olimi G. Kamerling Onessom tomonidan 1911-yilda kashf etilgan.

«Elektrotexnikaning nazariy asosları» faniga bevosita aloqasi bo'lgan matematik va umumnazariy ishlar to'g'risida quyidagi ma'lumotlarni berish mumkin.

Fransuz matematigi J. Dalamber, Peterburg fanlar akademiyasi akademiklari L. Eyler va D. Bernullilar bilan birgalikda to'lqin tenglamalari nazariyasini hamda matematik fizika asoslarini yaratishdi.

Laplasning to'g'ri o'zgartirish formulasini 1782-yilda taklif etilgan. Hajm integralini sirt integraliga o'zgartirish formulasini M.V.Ostrogradskiy 1828-yilda bergen.

Differensial tenglamalarni operator usulida integrallashni rus matematigi M. Vashenko-Zaxarchenko taklif etgan.

O'rama (svertka) teoremasi birinchi bor P.L.Chebishev tomonidan

1867-yil, Dyuamel integrali esa 1883-yil berilgan. Ma'lum harakatning turg'unlik nazariyasini akademik A.M. Lyapunov bayon etgan. Operator usuli elektrotexnika faniga O. Xevisayd tomonidan 1892—1912-yillarda tatbiq etilgan.

Sinusoidal tok elektr zanjirlarini simvolik usulda hisoblash usulini amerika olimi Ch. Shteynmetz 1894-yilda taklif etgan. Garmonik balans usulida chiziqli bo'Imagan elektr zanjirlarni hisoblash usulini fransuz olimi M. Joli 1911-yil joriy etgan. Sekin o'zgaradigan amplitudalar usulini 1927-yil golland olimi B. Vander-Pol taklif etgan. Kichik parametrlar usulini esa 1928-yil fransuz olimi G. Puankare taklif etgan.

Chiziqli bo'Imagan tebranishlar nazariyasidagi fundamental ishlarni akademiklar L. Mandelshtamm, N. Papaleksi va A. Andronov 1937-yil amalga oshirdilar.

Chiziqli bo'Imagan chastotaviy usulda tahlil etishni rus olimlari N.M. Krilov va N.N. Bogolyubov bиринчи bo'lib taklif etdilar. Elektr zanjirlar sintezini bиринчи bor nemis olimi I.O. Sobel (1924-y.), amerika olimi R. Foster (1924-y.), rus olimlari S. Yevlanov (1937-y.) hamda B.V. Bulgakov (1949-y.) nazariy jihatdan asosladilar.

Elektr zanjirlarni signal graflar bilan tahlil qilishni rus olimi B.N. Petrov (1945-y.) va amerika olimi S. Mezon (1953-y.) taklif etishgan.

Maydon nazariyasi masalalarini yechishda integral tenglamalarni qo'llashni rus olimlari G.A. Granberg, V.M. Alexin, O.V. Tozoni, E.V. Kotelnikov (1948-y.) taklif etdilar.

O'zbekistonda energetika va elektrotexnika fanlarini o'rganish va rivojlantirish XX asning 30-yillaridan boshlandi. Respublikadagi energetika va elektrotexnikaning asosiy ilmiy yo'nalishlari N. Shcherdin va akademik X. Fozilov rahbarligida belgilandi va elektr stansiyalar elektr tizimi va jihozlarini takomillashtirish, puxtaligini oshirish, samaradorligini ko'tarishga qaratildi. Elektr tizimlarini hisoblashning ixcham usullari (X. Fozilov, K.R. Allayev, T.X. Nosirov, 1960—70 yillar) taklif etildi.

Elektr tizimlari rejimini ifodalaydigan katta o'lchamli chiziqli bo'Imagan tenglamalarni yechish (S. Solihov) masalalari tadqiq qilindi.

An'anaviy energiya hamda tiklanuvchi energiyadan kompleks foydalaniш (R.A. Zohidov) masalalari xalq xo'jaligi uchun muhim ahamiyat kasb etadi.

1970—1980-yillarda akademik J.Abdullayev tomonidan energetika tizimlarida o'lhash texnikasi aniqligi, puxtaligi va samaradorligini oshi-

blashi bo'yicha muhim tadqiqotlar amalga oshirildi. Shu yillarda o'zbek ululari (M.Z.Xomidxonov, S.Z.Usmonov, N.M.Usmonxo'jayev, M.Xumanov, O.O.Xoshimov, K.Mo'minov) avtomatlashgan elektr yuritmalarning yangi avlodini hamda ko'p rotorli asinxron motorlarni (A.Dodajonov) yaratishga muvaffaq bo'ldilar. Elektr tarmoqlari optimal hujumlarini boshqarish asoslari (E. Payziyev) yaratildi.

Nazariy elektrotexnika sohasida chiziqli bo'Imagan elektr zanjirlari va hujumlarini nazariyasi (G.R. Rahimov, Z.I. Ismoilov, P.F. Hasanov) hamda avtoparametrik tebranishlar zanjirlarida o'zgaruvchan tok fazalar soni va chastotasini o'zgartirish nazariyasi (A.S.Karimov, M.I. Ibodullayev) takomillashtirildi.

Tarqoq parametrali zanjirlar nazariyasi va ular asosida elektrotexnik hujunda elektr o'lhash o'zgartikichlarini takomillashtirish (M.F. Zaripov) yo'nalishlarida ijobjiy natijalarga erishildi.

Elektr o'lhashlar fanida yangi xarakteristikalariga ega chastotasi o'zgaruvchan o'zgartikichlar va o'lhash ko'priklari nazariyasi Sh.Sh. Zoxidov tomonidan takomillashtirildi.

## O'ZBEKISTONDA ELEKTROTEXNIKANING RIVOJLANISHIGA DOIR TARIXIY MA'LUMOTLAR

Sobiq Turkistonning O'zbekiston hududiga taalluqli qismidagi barcha elektr stansiyalarining quvvati XX asr boshlarida 3000 kW bo'lib, jami 1,1 mln. kW-soat elektr energiya ishlab chiqarilgan hamda aholi jon boshiga yiliga 1 kW-soat to'g'ri kelgan.

Barcha mavjud sanoat korxonalarida 140 ta xususiy elektr stansiyalar mavjud bo'lib, eng kuchli elektr stansiya neft qazib olish korxonalarida Chimyon qishlog'i (650 kW) hamda Qovunchidagi shakar-qand zavodida (442 kW) edi.

Toshkent shahrida dastlabki dizel elektr stansiya 1910-yilda qurilgan va uning quvvati 125 kW bo'lgan. 1911—1912-yillarda Toshkent tramvaylari uchun Belgiya hissadorlik jamiyatি qurib ishga tushirgan usiqlik elektr stansiyasi har biri 290 kW quvvatli beshta o'zgarmas tok generatoridan tarkib topgan edi. Bu generatorlarning umumiyl quvvati

1450 kW (2159 ot kuchi), kuchlanishi esa 600 V bo'lib, ularni dizel agregatlari harakatga keltirar edi.

Rus savdogari Davidov qurdirgan elektr stansiya (231 kW) gidroelektr stansiya (GES) bo'lib, suv turbinasining quvvati 200 ot kuchiga teng, stansiya qo'shimcha quvvatini 260 ot kuchli Volf lokomotivi ta'minlar edi.

Qishloq xo'jaligida va paxta tozalash zavodlarida bor-yo'g'i 4 ta elektr motor o'rnatilgan edi. Toshkent, Samarqand, Qo'qon, Farg'on, Andijon shaharlarida atigi 2-3 tadan ko'cha elektr energiya hisobiga yoritildi. Eng badavlat kishilar xonadoni elektr ta'minotidan bahramand bo'lган.

Bir guruh tadbirkorlar—Belgiya hissadorlik jamiyatiga zolari Toshkent atrofida va Farg'ona viloyatida GES qurishni, uning energiyasini Qo'qon, Andijon va Naimanganga 60 kV kuchlanishli elektr uzatish liniyasi yordamida uzatishni rejalashtirgan edilar. Afsuski, bu rejaclar uzoq yillar amalga oshimadi.

1920-yillarda O'zbekiston shaharlarida bir necha dizel issiqlik elektr stansiyalar (IES) ishga tushirildi. Buxoro (490 kW), Samarqand (360 kW), Qo'qon (395 kW), Marg'ilon (75 kW), Termiz (89 kW), Qarshi, Vobkent, Xovos va boshqa shaharlardagi IESlar shular jumlasidandir.

1926-yilning 1 mayida Toshkentda Bo'zsuv GESining (loyiha quvvati 4000 kW) birinchi navbatni (2000 kW, har biri 1000 kW dan 2 ta agregat), 1929-yilda uchinchi agregat va 1936-yilning aprelida to'rtinchi agregat ishga tushirildi (hozir bu stansiya binosi O'zbekiston energetiklari muzeyi). 1924—1928-yillarda O'zbekiston Respublikasi elektr energetika xo'jaligi quvvati 2400 kW dan 12600 kW gacha ko'paydi. Jami elektr energiya ishlab chiqarish 10 barobarga oshdi.

Toshselmash zavodining qurilishi kuchli energetik baza yaratishni taqozo etdi. Shu sababli Toshkentda dizel elektr stansiya ishga tushirildi.

Respublikamizning bir qator sanoat korxonalarida — Kattaqo'rg'on yog'-moy zavodi, Andijon neft tarmoqlari va boshqa yirik korxonalarda yangi elektr stansiyalar qurildi, eskilari esa qayta jihozlandi. Natijada 1937-yilga kelib zavod va fabrikalar elektr stansiyalarining quvvati 25,4 ming kWga yetdi.

1937—1940-yillarda elektr energiya ishlab chiqarish tez sur'atlarda o'sib bordi. Chirchiq IES (12000 kW), Quvasoy IES (12000 kW) ishga tushirildi. Oq-tepa va Darg'om GESlari qurilishi boshlandi.

Sanoat korxonalarida elektr motorlarni ishlatish ko'lamlari kengaydi.

Shu davrlarda elektr ta'minotini markazlashtirish darajasi ham keskin yetdi. Agor 1925-yilda markazlashgan elektr ta'minoti umumiy 12,2%ni tashkil etgan bo'lsa, 1937-yilda bu ko'rsatkich yetdi. Umumenergetik balansda elektr energiyasining solishtirma elektrlashtirish koeffitsiyenti 1925—1926-yillardagi 22,5 yilda 1940-yilda 81,6 foizga yetdi. Elektr jihozlanganlik koeffitsiyenti yilda 1,31 marta ko'paydi.

Bundan ittifoqning markaziy hududlaridan ko'chirilgan sanoat korporalarini elektr energiya bilan uzlusiz ta'minlash Chirchiq kanalida GES larini loyihalab qurishni taqozo etdi. 1943 yilning quruvchilarining ulkan jasoratu-shijoati natijasida Oqtepa shu yilning mart oyida Oqqovoq GES va sentyabrda 3-Oqqovoq shijoatli ko'rilmagan tez muddatlarda ishga tushirildi. Bu O'zbekiston buyuk mehnat shijoati va g'alabasi edi.

Muniyat tarixidagi eng vaxshiyona va ayovsiz jahon urushi (1939-yil davrida O'zbekistonda beshta yangi GES qurish haqida Davlat qo'mitasining qarori qabul qilindi (1942-yil 18 noyabr). Farhod, Solar, 1- va 2- Bo'zsuv GESlari hamda Oqqovoq shijoating ikkinchi navbatini edi.

O'sha davrda loyiha quvvati jihatidan dunyodagi eng kuchli GESlar kirgan Farhod GES (loyiha quvvati 125000 kW) qurilishi 1942-yil noyabr oyida boshlandi. Urush yillarida 6 ta yirik GES ishga tushirildi. Toshkent yonidagi GES (1943-yil mart oyida), Bo'zsuv GESi (1944-yil) shular jumlasidandir. Shovot, Shahrixon, Yangiariq GESlar qurilishlari keng ko'lamda tezkorlik bilan olib borildi. 1940-yilga nisbatan elektr energiya ishlab chiqarish 2,5 marta ko'paydi (1940-yil 481,8 mln. kW soat, 1945-yil 1185,7 mln. kW soat).

Elektr stansiyalarda o'rnatilgan generatorlar quvvati 170,1 dan 300,1 MW ga yetdi. Respublika energetika bazasining mustahkamlanishi sanoat turilmasini batamom qayta qurib, qator yangi sohalarni rivojlantirishga mosiy turki bo'ldi. Og'ir sanoat keskin rivoj topdi. 1944-yilda esa Nekobod metallurgiya zavodi po'lat quymalarini tuhfa etdi.

Kimyo, mashinasozlik, elektrotexnika va boshqa soha mahsulotlari hajmi keskin ortdi.

Natijada jami ishlab chiqarishda og'ir sanoat ulushi 1940-yildagi 13,3 foizdan 1945-yilda 47,3 foizga ko'paydi.

Ammo, yengil sanoat (paxta tozalash, oziq-ovqat) ulushi 1940-yillari 61,1 foizdan 1945-yilda 39,1 foizgacha kamayganini ham e'tirof etish joiz.

1948-yilda Farhod GESining birinchi navbatni ishga tushirildi. Bu O'zbekiston energetikasi tarixidagi eng ulkan zafarli davr hisoblanadi. GESning ishga tushirilishi Toshkent-Farg'on energetika sistemalarini birlashtirishga asos soldi.

1- va 2- Oqqovoq, 2- va 3- Bo'zsuv, Shahrixon, Qumqo'rg'on GESlari qatori shu davrda Angren, Qo'qon IESlari va o'nlab boshqa sanou yo'nalishidagi stansiyalar ishga tushirildi.

1945—1956-yillarda elektr energiya ishlab chiqarish 1940-yildagiga nisbatan 5,5 marta, ishlab chiqarishning jihozlanganlik ko'rsatkichi 16,5 marta ko'paydi. 1951—1955-yillarda o'nlab yangi stansiyalar, xususan, Toshkentda Shayxontohur va 2 ta yangi Bo'zsuv GESlari, Chirchiqdagi Yoshlar GESi ishga tushirildi, Toshkent issiqqlik markazining quvvati ikki marta oshirildi. Andijonda 7-Shahrixon GESi qurildi. Farg'on va viloyatida Quvasoy GESning quvvati 3 marta ko'paytirildi. Angren IES qurilishi jadallashdi, Qayroqqum GES qurilishi qardosh O'zbekiston va Tojikiston energetikasining rivojiga alohida ahamiyat kasb etdi.

Chirchiq-Bo'zsuv GESlari qurilishi natijasida elektr energiya ishlab chiqarish ko'payibgina qolmay, balki bu gidrotexnik inshootlar qo'shimcha 70 ming hektar qo'riq yerni o'zlashtirish imkonini berdi. Farxod GES va Qayroqqum suv ombori qurilishlari 300 ming hektar yerga obi-hayot baxsh etdi.

1951-yil esa O'zbekiston olimlari uchun ulkan zafar yili bo'ldi. Sobiq Ittifoqda eng birinchi to'liq avtomatlashtirilgan va telemexanizatsiyalashgan stansiyalar majmui sifatida o'zbek energiya sistemasi GESlari ro'yxatga olindi.

O'zbekistonda bu davr asosan issiqqlik stansiyalarni loyihalash, qurish va ishga tushirish davri bo'ldi. 1958-yilda Angren GRESning birinchi navbatni (umumiy loyiha quvvati 600000 kW) ishga tushirildi. Toshkent energiya sistemasi GESlar bilan bu stansiya elektr energiya iste'molchi grafigini barcha rejimlarda tartibga tushirish va eng samarali rostlash imkonini yaratdi.

1960-yilda Navoiy GRESi (loyiha quvvati 840 mW), 1961-yilda esa Toshkent GRESi (loyiha quvvati 1800 MW) qurilishi boshlandi.

1961-yilda esa Toshkent GRESida birinchi energetik blok (150 MW) qurilishi boshchirildi. Taxiatoshda 2 ta yangi energoblok (quvvati 100 MWdan) qurilishi boshchirildi. Bu stansiya Xorazm hamda Qoraqalpog'iston elektr ta'minotida muhim o'rinni tutadi. Olmaliq va Farg'onan issiqlik markazlari kengaytirildi.

Chorbog' gidroenergetik qurilishining ahamiyatini ayniqsa, o'z vaqtingan ishlar qatorida munosib baholash joiz. Suv ombori hajmi 3 mlrd. m<sup>3</sup> bo'lib, doimiy ravishda 300 ming hektar yerni sug'o'liklarni yaratdi. GES quvvati 600 MW (har biri 150 MW li 4 ta operatorlar).

Irrigatsiylar nafaqat elektr ta'minot, balki irrigatsiya masalalarini shaxs hal etishga qaratilganligini alohida ta'kidlash kerak. Chorbog' qurilishi umuman Chirchiq-Bo'zsuv tizimida barcha GESlar ishlaring samarasini oshirish hamda qo'shimcha 160 MW arzon elektr olish imkonini yaratdi.

1963-yilda barcha elektr stansiyalar quvvati 2816,6 MWga yetdi. Uzor GESlar quvvati 2270,5 MW bo'lib, 9 mlrd. kW·soat elektr ishlab chiqardi.

Transformator nimstansiyalarida jami o'rnatilgan quvvat esa 45 mln. kV yetdi.

1970-yilga kelib respublikani yalpi elektrlashtirish nihoyasiga yetdi. O'zbekiston yalpi elektrlashtirish o'lkaza aylandi.

**Gidroenergetika.** O'zbekiston energetika sistemasida jami 27 ta ularda o'rnatilgan quvvatlar 1420 MWni tashkil etadi. 2002-yili ularda 1,2 mlrd. kW·soat elektr energiyasi ishlab chiqarildi.

Respublikadagi eng yirik GESlar bo'yicha ma'lumotlar 1-jadvalda illigan.

1-jadval

Nomi	O'rnatilgan quvvatlar, MW	Turbinalar soni	Qurilgan yillari	Suv manbai
Urvoq GES	620,5	4	1970—1972	Chirchiq
Chakent GES	165	3	1976	Chirchiq
Azalkent GES	120	3	1980—1981	Chirchiq
Chod GES	126	4	1948—1949	Sirdaryo

**Issiqlik energetikasi.** 60-yillarda respublikada elektr energiyasi hosil qilishni ko'paytirish asosan gazda ishlaydigan yirik IESlarni ishqo tushirish yo'nalishida olib borildi. Yirik GES va IESlar qurilishi natijasida O'zbekiston energetika sistemasining jami quvvati 2002-yilda 11,3 ming MW ga yetdi. Respublikadagi eng yirik IESlar to'g'risidagi ma'lumotlari 2-jadvalda keltirilgan.

2-jadval

Nomi	O'rnatilgan quvvatlar, MW	Turbo-agregatlar soni	Qurilgan yillari	Joylashgan shahar	Izoh
Sirdaryo GRES	3000	10	1972—1981	Shirin	
Yangi Angren GRES	1800	6	1985-qurilish davom etmoqda	Nurobod	Loyiha quvvati 2400 MW
Toshkent GRES	1860	12	1963—1971	Toshkent	
Navoiy GRES	1250	11	1963—1981	Navoiy	
Angren GRES	484	8	1957—1963	Angren	
Taxiatosh GRES	730	5	1961—1990	Taxiatosh	
Tolimarjon GRES	---	--	qurilish 1984 yilda boshlangan	Nuriston	Loyiha quvvati 3200 MW

O'zbekiston elektr energetika sistemasi yiliga 47—48 mlrd. kW soat elektr energiya ishlab chiqarmoqda, shundan 90 foizi IESlarning hisobiga bo'lmoqda. Bu aholi jon boshiga deyarli 2000 kW·soat dan to'g'ri keladi, demakdir. Taqqoslash uchun aytib o'tish joizki Norvegiyada bu raqam 25000 kW·soat, AQShda esa 14000 kW·soat.

Hozirgi vaqtida O'zbekiston energiya sistemasi Markaziy Osiyo Birlashgan energiya sistemasining tarkibiy qismi bo'lib qolmoqda. Unda deyarli 50 foiz elektr quvvatlari mujassamlangan.

Bozor iqtisodiyotiga o'tish davrida O'zbekiston elektroenergetika sistemasida energoresurslarning yetishmayotganligi respublika energetiklari oldiga sistema ishlarini avtomatlash, yangi energiya manbalarini topish, qayta tiklanuvchi energiya manbalarini yaratish, ularning samaradorligini oshirish kabi muhim vazifalarni qo'yamoqda. Bularni bosqichma-bosqich hal etish mamlakatni 2010-yilgacha rivojlantirish va rekonstruksiya qilish Energetik Dasturida o'z aksini topgan. Bu

monini yonilg'i energo resurslardan samarali foydalanish, yangi texnologiyalarni sohaga tatbiq etish, dolzarb ekologik solarni hal qilish, bozor iqtisodiyoti talablari asosida tashkiliy tizimini yangilash va h.k. tashkil etadi. Yangi (2001-yil) tashkil «Uzbekenergo» Davlat aksionerlik kompaniyasi aniq maqsadlar imlamlar ishlab chiqib, amaliyotga tatbiq etmoqda.

Yevropa rekonstruksiya, tiklanish va taraqqiyot banki kreditlari hisobiga «Siemens» (Germaniya) firmasi Sirdaryo IESda energo blokni qayta tiklash ishlarining birinchi bosqichini amalga

birinchi bosqich ishlarini AQShning Savdo va taraqqiyot Agentligi hisobiga Sirdaryo IESda 5- va 6-energoblokлarni qayta tiklash ishlari chiqilmoqda.

Yaponiy hukumatining imtiyozli krediti hisobidan eng zamonaviy energoblokni Toshkent IESda o'rnatish ishlari olib borilmoqda. Yaponianing xalqaro hamkorlik agentligi amalga oshirmoqda. Investitsiyalarini Navoiy IES, Muborak va Toshkent IEMlarida, Toshkent shahri elektr energiya uzatish tarmoqlarini yangilash qayta tiklashga jalb etish masalalari hal etilmoqda.

Tarraqqiyot banki va Bank moliya institutlarining mablag'larini minnatqamizda elektr tarmoq obyektlarini dispatcherlik va texnologik tarmoqlar boshqaruvini hamda elektr energiya uchun hisob-kitobni millahtirishga yo'naltirish mo'ljallanmoqda.

Tolimarjon IESda Markaziy Osiyoda birinchi bo'lib quvvati 800 MWli blokni montaj qilish ishlari tugallanmoqda. Samarkand viloyatida 1 kWli «So'g'diyona» nimstansiyasi qurilishi boshlandi. Umuman, umumiyimizda elektr tarmoqlarini yangilash va yanada rivojlantirishga, jadal va taqsimlash tarmoqlarini optimal shakllantirish va natijada uzatish samaradorligini oshirish kompleks texnik va texnologik shularini joriy etishga ahamiyat kuchaytirilmoqda.

Nepublikamiz suv xo'jaligi obyektlarining ulkan imkoniyatlaridan quriliroq foydalanish maqsadida yurtimizda kichik gidroenergetikani rivojlantirish Dasturi ishlab chiqildi. Jumladan, qurilayotgan To'palang Sida (Surxondaryo viloyati) ikkinchi blokni (quvvati 72 MW) jadal olib berilmoqda. Yaqin kelajakda jami 440 MW quvvatlisi kichik GESlar qurilishi loyihalashtirildi. Natijada qo'shimcha 1,3 mrd. kW/soat arzon elektr energiya iste'molchilarga yetkaziladi.

## O'ZBEKISTONDA ELEKTROTEXNIKANING RIVOJLANISHIGA HISSA QO'SHGAN OLIMLAR TO'G'RISIDA

O'zbekistonda energetika fanlari rivojlanishi XX asrning 30-yillariga to'g'ri keladi. Dastavval kichik bir olimlar guruhi sanoat xo'jaligi bilan hamkorlikda energetika muammolarini hal qilish ustida ishlar olib borishdi.

Respublikamizda elektr energetika ilmining ilk maskani sifatida 1943-yilda O'zbekiston Fanlar akademiyasi tarkibida Energetika instituti tashkil etildi (hozirgi energetika va avtomatika instituti). Bu ilmiy dargoh oldida dastlab mavjud elektr sistemasidan foydalanishni yaxshilashni O'zbekistonning katta energetikasini barpo etish, sanoat korxonalaridagi elektr uskuna va qurilmalardan foydalanishni yaxshilash vazifalari turardi.

Mavjud gidroelektr stansiyalaridan olinadigan quvvatni oshirish davr talabi edi. Sohaga malakali, ilmiy-pedagogik va injener-texniki kadrlar tayyorlash vazifalari O'rta Osiyo politexnika instituti (hozirgi Abu Rayhon Beruniy nomli Toshkent Davlat Texnika Universiteti), Suvxo'jaligi muammolari instituti va Energetika institutiga yuklatilgan edi.

Urush yillari Moskva, Leningrad, Kiyevdan Toshkentga ko'chirilgan keltirilgan mashhur olimlar M.Kostenko, M.Shatelen, L.Neymar N.Shchedrin va b. bilan bir qatorda O'zFA akademiklari A.Askoehenskiy V.Poslavskiy, R.Alimov va energetika instituti direktori O.Saidxo'jayev samaralari tadqiqot olib bordilar. Ular Chirchiq, Bo'zsuv, Sirdaryo, Norin Amudaryo suvidan energetika va sug'orishda kompleks foydalanish masalalarini tadqiq qilishdi. O'sha davrda M.Kostenko va yosh olim H.Fozilov o'tkazgan ilmiy izlanishlar mavjud GESlardan olinadigan quvvatni 20%ga oshirish mumkinligini ko'rsatdi.

Urushdan keyingi davrlarda elektr energetika fanining asosiy ilmiy yo'nalishi N. Shchedrin va H.Fozilov tomonidan belgilandi va elektr stansiyalari elektr tarmoqlari va jihozlari ishlarini yaxshilash, puxtaligini oshirish, samaradorligini ko'tarishga qaratildi.

Akademik H.Fozilov (1909—2003) rahbarligida (T.Nosirov, Q.Allayev, S.Solihov va b.) berilgan elektr sistemalarini optimal rejimlarini hisoblash sohasidagi ishlar katta ilmiy va amaliy ahamiyat kasb etdi.

Akademik G'.Rahimov (1905—1972) ning tashabbusi bilan Markaziy

birinchi bo'lib «Elektrotexnikaning nazariy asoslari» kafedrasini yaratishkiletildi. Bu olim elektrotexnika fanini rivojlantirish sohasida muktab yaratdi. Bu muktab ko'plab fan doktorlari (A.Karimov, H.Samalov, Z.Ismoilov, T.Qodirov, M.Ibodullayev, Y. Rashidov va b.) fan nomzodlarini tayyorladi.

Zamonaviy eksperimental baza yaratish va yuqori malakali kadrlar yaratishda N.Shchedrin, H.Fozilov, M.Homidxonov va Z.Solihovning rivojlantirishlari katta bo'ldi.

Elektroenergetika sohasini axborot va boshqarish sistemalarisiz qilish qilish mumkin emas. EHM yordamida energetika sistemalari operativ boshqarish bo'yicha ma'lumotlarni ishlab chiqish ushbu matematik modelini akademik J. Abdullayev, elektronika professorlari optimal rejimini boshqarishni prof. E.Payziyev taklif etdi. Axborot va o'lichash texnikasiga doir yangi prinsipdag'i birlamchi ushbu qurilmalarni prof. M.Zaripov va b. ishlab chiqdilar.

Elektr energiyasidan samarali foydalanish yo'nalishida akademik H.Homidxonov va uning shogirdlari (N.Usmoxo'jayev, O.Hoshimov, Hemonov, M.Xusanov, A.Dadajanov va b.), B. Umarov hamda Drevenskiy olib borgan ishlarni ilmiy va amaliy ahamiyatga ega.

O'zbekiston elektroenergetikasini rivojlantirishda O'zbekiston energetika va elektrlashtirish Vazirligi va uning sobiq vaziri A.Hamidov rivojlantirishlarni alohida qayd etish joiz.

Noan'anaviy energoresurslardan, xususan, quyosh energiyasidan samarali foydalanish yo'nalishida akademiklar G'.Umarov, R.Zohidov, H.Habibullayev, T.Risqiyev va b. izlanishlarini va ular rahbarligida qurilmalarni ko'rsatish mumkin.

«Noan'anaviy energoresurslardan, xususan, quyosh energiyasidan samarali foydalanish yo'nalishida akademiklar G'.Umarov, R.Zohidov, H.Habibullayev, T.Risqiyev va b. izlanishlarini va ular rahbarligida qurilmalarni ko'rsatish mumkin.

«Kadrlar tayyorlash milliy dasturi»da belgilangan vazifalarni amalga oshirish o'zbek tilida «Elektrotexnika» va «Elektrotexnikaning nazariy asoslari» fanlari bo'yicha yangi darslik va o'quv qo'llanmalarni nashr etishni taqozo etmoqda. Bu sohada professorlar A.Karimov, S.Majidov, H.Mansurov, U.Ibrohimov va b. mehnatini alohida ta'kidlash zarur.

## Birinchi bob

# O'ZGARMAS TOK CHIZIQLI ELEKTR ZANJIRLARI VA ULARNI HISOBBLASH USULLARI

## 1.1. ELEKTR ZANJIRLARNI TAVSIFLOVCHI ASOSIY KATTALIKLAR

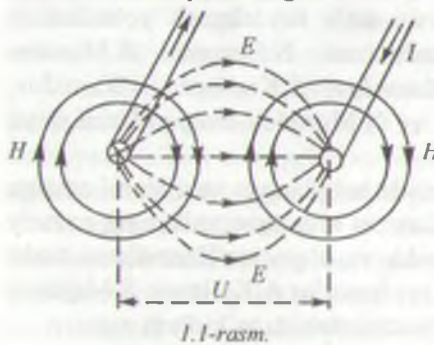
### 1.1.1. Elektr maydonining kuchlanganligi

Magnit maydonining o'zgarishi natijasida elektr maydoni va aksincha elektr maydonining o'zgarishi natijasida magnit maydoni hosil bo'lislari bu ikki maydonning o'zaro bog'liqligini bildiradi. Buni elektr energiyani uzatish liniyasining ish faoliyati misolida ko'rish mumkin (1.1-rasm).

Liniya simlari orqali energiya uzatishda bir-biridan izolatsiya qilingan simlar  $U$  kuchlanish ta'sirida bo'ladi. Buning natijasida simlar orasidagi kuchlanganligi  $E$  bo'lgan elektr maydon hosil bo'ladi. Liniya simlaridan tok o'tishi natijasida ularning ichida va atrofida kuchlanganligi  $H$  bo'lgan magnit maydon yuzaga keladi (1.1-rasmda elektr maydon uzuq chiziqlari magnit maydon esa uzlusiz chiziqlar bilan ko'rsatilgan).

1.1-rasmdagi maydonlar manzarasidan ko'rinishi qo'zg'almas elektr zaryadlarning maydoni hisoblanadi va u elektrostatik maydon deataladi. Bu maydonning har bir nuqtasi kuchlanganlik vektori  $\vec{E}$  bilan tavsiflanadi.

Elektr maydonining eng oddiy ko'rinishi qo'zg'almas elektr zaryadlarning maydoni hisoblanadi va u elektrostatik maydon deataladi. Bu maydonning har bir nuqtasi kuchlanganlik vektori  $\vec{E}$  bilan tavsiflanadi.



1.1-rasm.

Elektr maydonining kuchlanganligi unga kiritilgan nuqta zaryadga maydon tomonidan ta'sir etayotgan kuchning shu zaryadga nisbatiga teng. Kuchlanganlik vektorining yo'nalishi nuqta zaryadga ta'sir etayotgan kuch vektorining yo'nalishi bilan mo'tushadi, binobarin:

$$\bar{E} = \frac{\bar{F}}{q_0} \left[ \frac{N}{Kl} = \frac{JI}{m \cdot Kl} = \frac{A \cdot V \cdot s}{m \cdot A \cdot s} = \frac{V}{m} \right].$$

Nuqtali zaryad deb, shunday jism zaryadiga aytildadi, uning o'chami kichik bo'lib, zaryadi tadqiq etilayotgan maydon ko'rinishiga ta'sir qiladi.

Ayur  $q_0=1$  bo'lsa, u holda  $\bar{E}=\bar{F}$  bo'lib, elektr maydonning kuchlanganligi son jihatdan birlik zaryadga maydon tomonidan ta'sir qilg'an kuchga teng bo'ladi.

Kuchlanganligi barcha nuqtalarda bir xil bo'lgan maydon *bir jinsli deb* ataladi.

### 1.1.2. Elektr potensial va kuchlanish

Zaryndlangan zarrachani elektr maydon tomonidan ta'sir etuvchi yordamida ko'chirishda maydon energiyasining o'zgarishi hisobiga ham bir ish bajariladi.

Aytaylik, musbat  $q_0$  zaryadli zarracha elektr maydonida ma'lum bir  $a$  bo'ylab  $a$  nuqtadan  $b$  nuqtaga ko'chirilmoqda (1.2-rasm).

Zarrachaga maydon tomonidan ta'sir etayotgan kuch  $\bar{F}=q_0\bar{E}$  maydonning har bir nuqtasida kuchlanganlik kuch chiziqlariga urinma bo'ylab yo'naladi. 1.2-rasmida  $\alpha$ -kuch vektori  $\bar{F}$  va  $ab$  yo'l trayektoriyasi o'tkazilgan urinma orasidagi burchak.  $ab$  yo'l trayektoriyasidan zarracha harakati yo'nalishi bo'ylab  $d\bar{l}$  elementar vektor ajratsak, u holda  $d\bar{E}$  va  $d\bar{l}$  vektorlar orasidagi burchak  $\alpha$  bo'ladi.

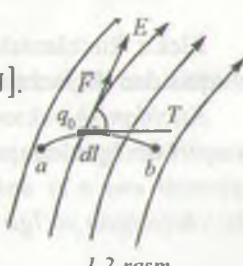
Zaryndlangan zarrachani / yo'l bo'ylab ko'chirishda maydon kuchlari bajaradi:

$$dA = F dl \cos \alpha = q_0 E dl \cos \alpha = q_0 \bar{E} d\bar{l}.$$

Butun  $ab$  yo'l bo'ylab bajarilgan ish:

$$A = \int_a^b F \cos \alpha \, dl = \int_a^b E q_0 \cos \alpha \, dl = q_0 \int_a^b \bar{E} d\bar{l} \quad [J].$$

Elektr maydon o'zining har bir nuqtasida potensial energiyaga yoki ish bajarish qobiliyatiga ega. Bu qobiliyat potensial funksiya yoki potensial qili'an aniqlanadi va u skalyar kattalik hisoblanadi.



Elektr maydoni berilgan nuqtasi potensialining o'chovi sifatida birlizaryadni maydonning shu nuqtasidan cheksizlikka ko'chirishda maydotmonidan bajarilgan ish qabul qilingan:

$$\varphi_a = \frac{A_a}{q_0} = \int_a^* \bar{E} d\bar{l} \quad [V].$$

Elektrostatika masalalarida odatda Yer yuzasining potensiali nolga teng deb qabul qilinadi. Fazoning cheklangan sohasida joylashgan va cheksiz dielektrik muhit bilan o'ralgan zaryadlangan jismlarga oid masalalarni yechishda bu jismdan cheksiz uzoqlikda joylashgan nuqtalar potensiali odatda nolga teng deb olinadi.

$q$  zaryaddan  $R$  masofada joylashgan nuqtaning potensiali quyidagicha aniqlanadi:

$$\varphi = \frac{q}{4\pi R \epsilon_0},$$

bu yerda  $\epsilon_0$  — moddaning absolyut dielektrik singdiruvchanligi.

Nuqtali zaryadni elektr maydoni kuchlari yordamida  $a$  nuqtadagi  $b$  nuqtaga ko'chirishda quyidagi tenglama bilan aniqlanadigan ish bajariladi:

$$A_{ab} = A_a - A_b = \varphi_a q_0 - \varphi_b q_0 = q_0 (\varphi_a - \varphi_b).$$

Elektr maydonning ikki nuqtasi orasidagi potensiallar ayirmasi elektr kuchlanish deb ataladi:

$$U_{ab} = \varphi_a - \varphi_b = \frac{A_{ab}}{q_0} = \int_a^b \bar{E} d\bar{l} \quad [V].$$

Elektr kuchlanish qiymati jihatdan birlik zaryadni maydonning birlizaryadni ikkinchi nuqtasiga ko'chirishda sarflangan ishga teng.

Kuchlanish vektor kattalik bo'lib, uning musbat yo'nalishi potensiali yuqori bo'lган nuqtadan potensiali past bo'lган nuqtaga tomon olinadi. Qiymati esa o'zi aniqlanayotgan nuqtalar holatiga bog'liq va zaryadni ko'chayotgan yo'lga bog'liq emas.

### 1.1.3. Elektr tok. Tok zichligi

~~Elektr zaryadlari erkin tashuvchilarining elektr maydoni ta'sirida tartibli elektr tok deyiladi.~~ Elektr tok son jihatdan quyidagicha aniqlanadi:

$$i = \lim_{\Delta t \rightarrow 0} \frac{\Delta q}{\Delta t} = \frac{dq}{dt},$$

Shunda  $\Delta q$  — elementar zaryad,  $\Delta t$  — shu zaryadni biror yuzadan o'tish

~~Bo'yicha qiymati va yo'nalishi o'zgarmaydigan tok o'zgarmas bo'yicha o'zgaradigan tok o'zgaruvchan tok deb ataladi.~~

O'zgarmas tokning qiymati o'tkazgich ko'ndalang kesimidan 1 s vaqt davomida o'tadigan elektr miqdori yoki zaryad bilan aniqlanadi:

$$I = \frac{Q}{t} \quad \left[ \frac{\text{Kl}}{\text{s}} = \text{A} \right].$$

*Amper* — o'zgarmas tokning shunday qiyamatiki, u cheksiz uzun va qizishka hamda vakuumda o'zaro 1 m masofada joylashgan ikkita shing'lohdan o'tganda ular orasida qiymati  $2 \cdot 10^{-7}$  N ga teng bo'lган yuzaga keladi.

Elektr tokning musbat yo'nalishi sifatida musbat zaryadlarning o'mbaning «+» qismasidan «-» qismasiga harakat yo'nalishi shartli shinda qabul qilingan.

~~Elektr tokning uzlusiz o'tishi uchun potensiallar farqini hosil qiluvchi quba va zaryadlar harakati uchun berk yo'l bo'lishi shart.~~

O'tkazgiehlarni elektr tok bilan qanday darajada yuklanganligini belash uchun tok zichligi tushunchasidan foydalaniladi.

~~Tok zichligi vektor kattalik bo'lib,  $\Delta s$  elementar yuzadan o'tayotgan elementar tokning  $\Delta s$  yuzaga nisbati  $\Delta s \rightarrow 0$  dagi limitiga teng:~~

$$\bar{\delta} = \lim_{\Delta s \rightarrow 0} \frac{\Delta i}{\Delta s} = \frac{di}{ds}$$

Masalan, elektr mashinalari chulg'amlarida ruxsat etilgan tok zichligi  $1 \text{ A/mm}^2$  ga teng.

Agar tok o'tkazgich kesimi bo'ylab bir tekis taqsimlangan bo'lsa, u holda tok zichligi:

$$\delta = \frac{I}{S}.$$

## 1.2. ELEKTR ZANJIR VA UNING ELEMENTLARI

Elektr zanjir elektr tokni hosil qilish va uning o'tishini ta'minlaydigan qurilma va obyektlarning majmui bo'lib, undagi elektromagnit jarayoni elektr yurituvchi kuch (EYK), tok va kuchlanish tushunchalari bilan ifodalanadi.

Elektr zanjir tushunchasi elektrotexnika fanining tayanch tushun chasidir.

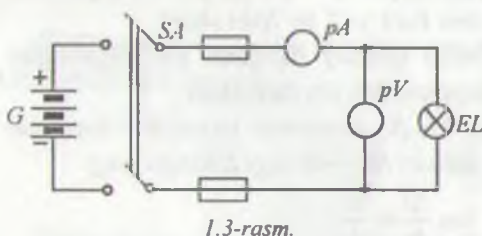
Elektr energiya manbai, iste'molchi va ularni o'zaro birlashtiruvchi o'tkazgichlar elektr zanjirning asosiy elementlari, o'lehash asboblar ulab-uzgichlar va himoyalash qurilmalari esa uning yordamchi elementlar hisoblanadi. Demak, elektr zanjir elementi bu elektr zanjir tarkibiga kiruvechi alohida qurilma bo'lib, u zanjirda aniq vazifani bajaradi.

Elektr zanjirning elementlari shartli belgilari bilan tasvirlanadi.

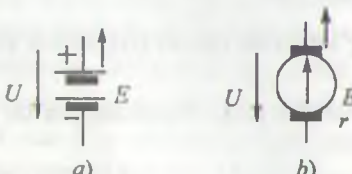
*Elektr zanjirning elementlari va ularni o'zaro ulanishining grafik tasviri elektr zanjirning sxemasi deyiladi.*

1.3-rasmda oddiy elektr zanjirning sxemasi keltirilgan. Unda  $G$  — akkumulyator — elektr energiya manbai. U kimyoviy energiyani elektr energiyaga aylantiradi.  $EL$  — cho'g'lanma lampa — iste'molchi, unda elektr energiyasi yorug'lik va issiqlik energiyalariga aylantiriladi.  $SA$  — kalit, zanjirni ulab uzadi.  $pA$  — ampermetr,  $pV$  — voltmetr. To'g'ri chiziqlar — ulagich simlar — o'tkazgichlardir.

Elektr energiya manbalarining shartli belgilari-sxemalari 1.4-a, b, d, e rasmlarda keltirган.



1.3-rasm.



1.4-rasm. a — galvanik element; b — doimiy magnitli o'zgartargas tok elektr generatori; d — termojuft; e — fotoelement.

manbalari kimyoviy va fizik manbalarga bo'linadi. Kimyoviy orasida oksidlanish-qaytarilish jarayonlari hisobiga elektr ishlab chiqaruvchi manbalar **kimyoviy manbalar** deyiladi. Kimyoviy manbalarga galvanik elementlar, akkumulyatorlar va mayalar kiradi.

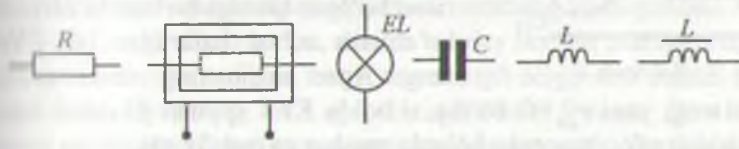
Moxonik, issiqlik, elektromagnit, yorug'lik, radiatsion nurlanish, kimyoviy parchalanish energiyalarini elektr energiyaga aylantiradigan elementlar **fizik manbalar** deyiladi. Ularga elektr generatorlar, termoelektr generatorlar, termoemission o'zgartkichlar, magnitogidrodinamik (MGD) generatorlar va quyosh nurlanishi hamda atom parchalanish generatorlari kirdi.

Elektr energiyasi iste'molchilarining shartli belgilari-sxemalari 1.5-a, b, c, d, e, f, g rasmlarda keltirgan.

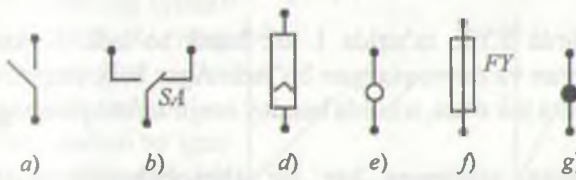
Elektr energiya iste'molchilari (elektr motorlar, elektr qo'ralar, issiqlik apparatlar, cho'g'lanish lampalari, rezistorlar va b.) elektr energiyani hujqa tur energiyaga aylantirish uchun xizmat qiladi.

Elektr zanjir yordamchi elementlarining shartli belgilari-sxemalari 1.5-a, b, d, e, f, g-rasmlarda keltirilgan.

Manba bilan iste'molchilar o'zaro o'tkazgich simlar yordamida aylantiriladi. Ular elektr energiyasini manbadan iste'molchiga kam qoldi bilan uzatadi. Elektr zanjirlariga ko'pincha yordamchi va o'lhash



1.5-rasm. a — rezistor; b — elektr qizdirgich; c — cho'g'lanma lampa; d — kondensator; e — induktiv g'altak; f — o'zakli g'altak — drossel.



1.6-rasm. a — kalit (ulab-uzgich); b — qayta ulagich; d — shtepsel (raz'em); e — ajratish mumkin bo'lgan o'tkazgichning ulangan joyi-qisqich; f — eruvchan saqlagich; g — o'tkazgichlar kavsharlanib ulangan tugun.

qurilmalari ulanadi. Ular elektr zanjiri ish holatini (misol uchun saqlagichlar) boshqarish, o'ta kuchlanish va katta toklardan saqlash va hujum uchun xizmat qiladi.

Demak, har qanday elektr zanjirming asosiy vazifasi elektr energiyini manbadan iste'molchiga uzatishdan iboratdir.

Elektr zanjirdagi elektromagnit jarayonlar EYK, tok, kuchlanish qarshilik (o'tkazuvchanlik), induktivlik, sig'im tushunchalari bilan ifodalanadi.

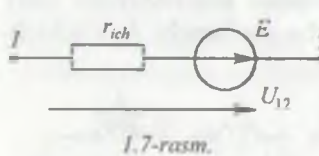
Har qanday tur energiyani elektr energiyaga aylantirishda EYK hosib bo'ladi.

O'zgarmas tok zanjirlarida EYK skalyar kattalik bo'lib, tashqi maydon va induksiyalangan elektr maydonning elektr tok hosil qilish xususiyatini tavsiflaydi.

*Manba ichida zaryadlangan zarrachani siljitisht uchun tashqi kuchlari tomonidan bajariladigan A ishni shu zarracha q zaryadiga bo'lgan nisbati EYKning qiymatini aniqlaydi:*

$$E = \frac{A}{q}.$$

Agar  $q=1 \text{ Kl}$  bo'lsa, unda  $E=A$  bo'ladi.

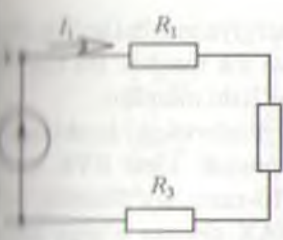


Binobarin, EYK manbaining ichida potensiali pastroq qismidan potensial yuqoriroq bo'lgan qismga birlamchi zaryadlarni ko'chirish uchun bajarilgan ish EYKga teng. Agar manbaning ichki qarshiligi nolga teng, yani  $r_{ich}=0$  bo'lsa, u holda EYK qiymat jihatdan energiyi manbaidan tok o'tayotgan holatda musbat va manfiy qisqichlar orasidagi kuchlanishga teng bo'ladi (1.7-rasm):

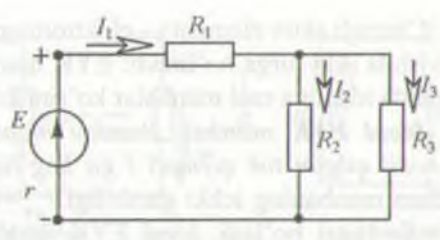
$$E=\varphi_1 - \varphi_2 = U_{12}.$$

Berk zanjirda EYK ta'sirida 1 tok hosil bo'ladi. Elektr zanjirlar tarmoqlanmagan va tarmoqlangan bo'ladi. Agar berk zanjirning barcha qismlaridan bitta tok o'tsa, u holda bunday zanjir tarmoqlanmagan bo'ladi (1.8-rasm, a).

Tarmoqlangan zanjirning har bir shoxobchasi o'zining toki bo'ladi (1.8-rasm, b). Elektr sxemada shoxobcha, tugun va kontur tushunchalaridan foydalilanadi.



a)



b)

1.8-rasm.

**Shoxobcha** — elektr zanjirning bir xil qiymatli tok o'tuvchi element. Bunda elektr zanjirning elementlari ketma-ket ulagan qismi konsolidatsiya qilinadi.

**Dugun** — elektr zanjirning uchtadan kam bo'lmagan shoxobchalari o'moni.

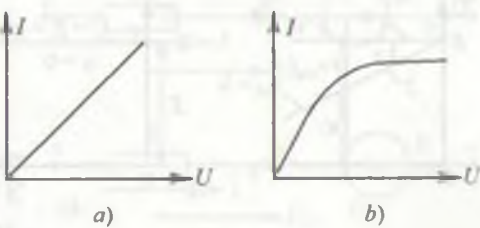
**Ko'ntur** — elektr zanjirning shoxobchalaridan hosil bo'lgan berk yo'l. Dugunmas tok  $I$  harfi bilan, qarshilik  $R$  va o'tkazuvchanlik  $G$  harflari bilan belgilanadi.

Elektr zanjir elementi qismalaridagi kuchlanishning undan o'tuvechi bog'liqligi elementning voltamper xarakteristikasi (VAX) deb ataladi (1.9-rasm). Masalan, rezistordan o'tuvchi tok bilan shu rezistorlarning chiziqli orasidagi bog'lanish rezistorning VAX bo'ladi.

Amalda abssissa o'qiga kuchlanish qiymatini, ordinata o'qiga esa tok qiymatini tanlangan mashtabda belgilab, elementning VAX quriladi. Agar rezistor VAX to'g'ri chiziq bo'lsa, u holda bunday rezistor chiziqli rezistor, chiziqli elementlardan tuzilgan zanjir esa chiziqli zanjir deb ataladi (1.9-rasm, a). Agar rezistorlarning VAX egri chiziq bo'lsa (1.9-rasm, b), u holda bunday rezistor chiziqli bo'lmagan rezistor, bunday rezistorlardan iborat egri zanjir esa, chiziqli bo'lmagan elektr zanjir deb ataladi.

**Chiziqli passiv element** — rezistor  $R$  qarshilikka ega. Undan o'tuvchi tok va rezistorlarning qismaligining kuchlanish  $U$  ning bog'lanishini  $Om$  ifodalaydi:  $I = U/R$ .

Qarshilikka teskari bo'lgan qatlilik o'tkazuvchanlik deb ataladi. O'lichov birligi Simens (m).



1.9-rasm.

Chiziqli aktiv element — elektromagnit energiya manbai bo'lib, shio ravishda ikki turga bo'linadi: EYK manbai va tok manbai. Bu manba amalda ideal va real manbalar ko'rinishida bo'lishi mumkin.

*Ideal EYK manbai.* Bunday manba qismalaridagi kuchlanish u hosil qilgan tok qiymati  $I$  ga bog'liq bo'lmaydi. Ideal EYK manb uchun manbaning ichki qarshiligi  $r_{ich} = 0$  (1.10-rasm, a). Shuning uchu  $U = E = \text{const}$  bo'ladi. Ideal EYK manbai VAX absissa o'qiga paralel to'g'ri chiziqdan iborat (1.10-rasm, a) dagi  $I$  to'g'ri chiziq.

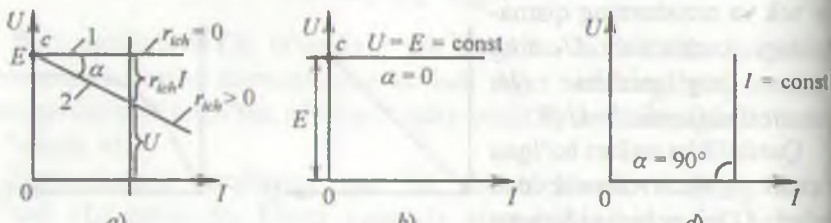
*Real EYK manbai.* Bunday EYK manbaining ichki qarshiligi nolda farq qiladi. Shuning uchun manba qismlaridagi kuchlanish  $U = E - r$  ya'ni  $U$  tok qiymati  $I$  ga bog'liq bo'ladi. Real EYK manbai VAX 1.10-rasm a da keltirilgan (2 to'g'ri chiziq). Real EYK manbaiga misol tariqasidagi akkumulyator batareyasi, o'zgarmas tok generatorini keltirish mumkin.

Real manbaning EYKi miqdor jihatidan uning salt ish rejimida (tok nolga teng), qismalaridagi potensiallar ayirmasi — kuchlanish teng (1.10-rasm, b) bo'ladi. Bu manbaga tashqi zanjir ulanganda uning EYuKi avvalgi qiymatini saqlab qola olmaydi, chunki manba qismlari ichki qarshilikka ega. Tok ortib borishi bilan  $r_{ich}$  ko'payadi, kuchlanish  $U = E - r_{ich} I$  esa, kamayadi (1.10-rasm, a).

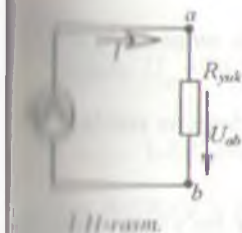
*Ideal tok manbai.* Agar manbaning toki u ta'minlab turgan zanjirning qarshiligiga bog'liq bo'lmasa, u holda bunday manba ideal tok manbai deyiladi (1.11-rasm).

Agar manbaning EYK  $E$  va ichki qarshiligi  $r_{ich}$  ni cheksiz oshirilganda borsak, unda c nuqta ordinata o'qi bo'yicha cheksizlikka,  $\alpha$  burchagi esa  $90^\circ$  ga intiladi. Bunday manba ideal tok manbai deb ataladi (1.10-rasm, d).

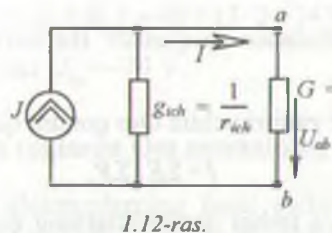
Demak, tok manbai elektromagnit energiya manbai bo'lib, manba toki va ichki o'tkazuvchanligi bilan tavsiflanadi. Demak, ideal tok manbaining ichki o'tkazuvchanligi  $g_{ich} = 0$ .



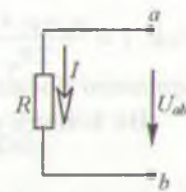
1.10-rasm.



1.11-rasm.



1.12-rasm.



1.13-rasm.

**Haqiqiy tok manbai.** Haqiqiy tok manbai ma'lum bir qiymatli ichki uchun uchunlikka ega bo'ladi. Bunda  $I = E/r_{ich}$ ,  $g_{ich} = 1/r_{ich}$ ,  $E = I/g_{ich}$  (1.12-rasm).

Tok manbaiga misol qilib elektrostatik generatori ko'rsatish qilinadi:

### 1.3. OM QONUNI

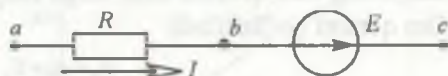
Aygor zanjirning biror qismida EYK manbai bo'lmasa (1.13-rasm), holda undagi tok bilan kuchlanish orasidagi bog'liqlik quyidagicha anujanadi:

$$U_{ab} = RI \text{ yoki } I = \frac{U_{ab}}{R} = \frac{\varphi_a - \varphi_b}{R}.$$

#### 1.3.1. Zanjirning EYK manbali qismi uchun Om qonuni

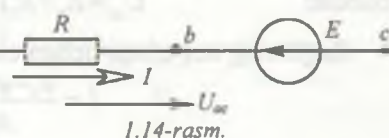
Aygor zanjirning biror qismida EYK manbai bo'lsa, u holda bu zanjir uchun potensiallar ayirmasi EYKning yo'nalishini e'tiborga olgan holda anujanadi. Om qonuni esa quyidagicha ifodalanadi (1.14-rasm, a):

$$I = \frac{\varphi_a - \varphi_c + E}{R} = \frac{U_{ac} + E}{R}.$$



1.14-rasm, b uchun:

$$I = \frac{\varphi_a - \varphi_c - E}{R} = \frac{U_{ac} - E}{R}.$$



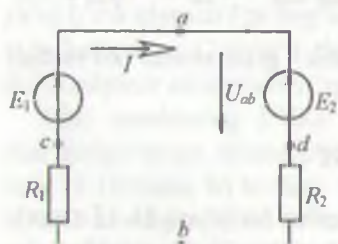
Umumiyl holda, ya'ni elektr tarkibida bir nechta EYK manbali va rezistorlar bo'lsa,

tok  $I = \frac{\varphi_a - \varphi_b + \Sigma E}{\Sigma R_{ac}}$  ifodadan aniqlanadi. Bu formula umumlashgan Om qonunini ifodalaydi.

Bir konturli elektr zanjiri uchun Om qonuni quyidagicha yoziladi:

$$I = \Sigma E / \Sigma R,$$

bunda  $\Sigma R$  — ichki va tashqi qarshiliklarning zanjir bo'yicha arifmoyig'indisi,  $\Sigma E$  — zanjirdagi EYKlarning algebraik yig'indisi. Agar to'yo'nalishi EYK yo'nalishi bilan bir xil bo'lsa, u holda EYK  $E$  musbat qarama-qarshi yo'nalishda bo'lsa, manfiy ishora bilan olinadi.



1.15-rasm.

**Masala.** Tarmoqlanmagan zanjir (1.15-rasm) EYK  $E_1 = 110$  V,  $E_2 = 48$  V, zistor  $R_1 = 18 \Omega$ ,  $R_2 = 13 \Omega$ .  $a$  va  $b$  nuqtalar orasidagi kuchlanishni aniqlang.

Tokning musbat yo'nalishini soat moharakati yo'nalishi bo'yicha qabul qilamiz. Om qonuniga asosan:

$$I = \frac{\Sigma E}{\Sigma R} = \frac{E_1 - E_2}{R_1 + R_2} = \frac{110 - 48}{18 + 13} = 2 \text{ A}.$$

EYK  $E_1$  ning yo'nalishi tok  $I$  yo'nalishi bilan bir xil bo'lgani uchun  $E_1$  musbat ishorada,  $E_2$  yo'nalishi esa tok  $I$  yo'nalishiga teskari bo'lgani uchun manfiy ishorada olindi. Tok yo'nalishi ixtiyoriy qabul qilinadi. Agar topilgan tokning qiymati manfiy ishora bilan chiqsa, u holda tokning haqiqiy yo'nalishi dastlab qabul qilingan tok yo'nalishiga teskari yo'nalgan bo'ladi.

$a$  va  $b$  nuqtalar orasidagi potensiallar ayirmasi  $U_{ab}$  ni aniqlash uchun zanjirming  $adb$  qismini olib, unga zanjirning EYK manbali qismi uchun Om qonuni qo'llaniladi:

$$I = \frac{\varphi_a - \varphi_b - E_2}{R_2} = \frac{U_{ab} - E_2}{R_2},$$

bundan

$$U_{ab} = E_2 + R_2 I = 48 + 13 \cdot 2 = 74 \text{ V}.$$

Zanjirming  $acb$  qismi uchun esa

$$I = \frac{\varphi_b - \varphi_a + E_1}{R_1} = \frac{U_{ba} + E_1}{R_1},$$

$$U_{ba} = -E_1 + R_1 I_1 = 48 + 13 \cdot 2 = 74 \text{ V.}$$

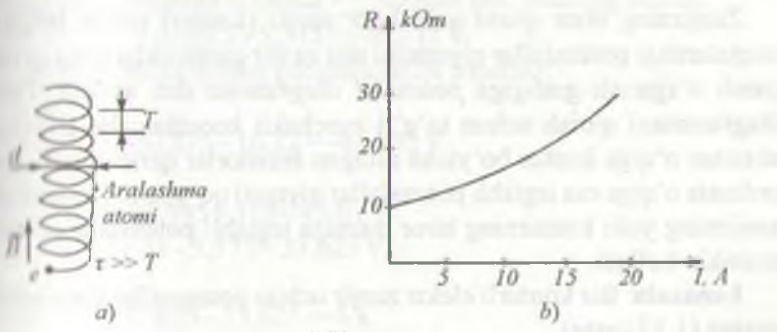
Demak,  $U_{ab} = 74 \text{ V}$  yoki  $U_{ba} = -74 \text{ V}$ .

### 1.3.2. Katta toklarda Om qonunining buzilishi

Bu paytgacha biz elektronlarning faqat elektr maydon ta'siridagi o'sganib keldik. Lekin ma'lumki, o'tkazgichdan o'tayotgan magnit maydonining manbaidir. Magnit maydoni esa o'tkazgichning tufayli toshqarisida, balki ichkarisida ham mavjuddir.

Misol uchun  $I=10 \text{ A}$  tok o'tayotgan va diametri  $d=1 \text{ mm}$  bo'lgan atrofisidagi magnit maydonning induksiysi  $B=4\mu_0 I/d \approx 0,012 \text{ T} / 10^{-7} \text{ V} \cdot \text{s}/\text{A} \cdot \text{m}$  — magnit doimiysi). Tokning magnit maydoni Om qonuning buzilishiga olib kelishi mumkin.

Haqiqatan ham, magnit maydonida harakatlanayotgan elektronga trnyektoriyasini buzuvchi Lorens kuchi ta'sir qiladi. Agar maydon induysi  $B$  elektron tezligi  $v$  ga perpendikulyar bo'lsa, u xolda elektron yektoriyasi  $r=mv/eB$  radiusli aylana ko'rinishiga ega bo'ladi ( $m$ ,  $e$  — elektron massasi va zaryadi). Agar  $B$  va  $v$  vektorlar orasidagi burchak bo'lmasa, u holda elektron diametri  $d=2(mv/eB)\sin\alpha$  li spiral bo'yicha harakat qiladi. Bunda elektron spiralning bir o'ramini  $T=2\pi m/eB$  vaqt davomida bosib o'tadi. Agar elektronning erkin harakatlanish vaqt  $\tau \gg T$  bo'lmasa, u spiral bo'ylab harakatlanadi (1.16-rasm, a). Bu holda spiralning diametri  $d < vT$   $\tau$  vaqt davomida magnit maydoni yo'qligida elektronning ushmasofasi  $I=\nu T$  dan ancha kam bo'ladi. Shuning uchun  $\tau$  vaqt davomida elektron diametri  $d$  bo'lgan quvurda «qamalib» qolganday bo'ladi.



1.16-rasm.

Natijada o'tkazgichning qarshiligi magnit maydon bo'lмаган болисбатан кетароq bo'ladi. Binobarin, o'z tokining magnit maydon ta'sirida bo'lган o'tkazgichning  $R$  qarshiligining o'zgarishi katta toklар Om qонунинг бузлишига оlib keladi.

Agar  $\tau \ll T$  bo'lsa, u holda ikkita ketma-ket kladigan to'qnashuvlорасидаги elektronlar harakati to'g'ri chiziqdan juda kam farq qiladi. holda magnit maydon o'tkazgich qarshiligiga amalda ta'sir qilmaydi.

Magnit maydon induksiyasi  $B_0$  ta'sir qiladigan qiymatni elektronni аylanma orbita bo'ylab harakat davrining  $T = 2\pi m/eB$  erkin harakat va  $\tau$  ga tengligidan keltirib chiqariladi:  $B_0 = 2\pi m/et$ .

Metall o'tkazgichlarda mazkur qiymat taxminan 0,01 Tl ga тен. Bunday maydon diametri  $d = 1$  mm bo'lган simdan  $I = 10$  A tok o'tgan paydo bo'ladi.

Metall o'tkazgich qarshiligini undan o'tayotgan tokka bog'liqligini eksperimental grafigi 1.16-rasm,  $b$  da keltirilgan. Grafikdan ko'rinish turibdiki, tok oshishi bilan qarshilik bir necha barobar ko'payadi. Shunduqilib, tok magnit maydonining u o'tayotgan o'tkazgich qarshiligiga ta'sir qilishi Om qонунинг бузлишига оlib keladi.

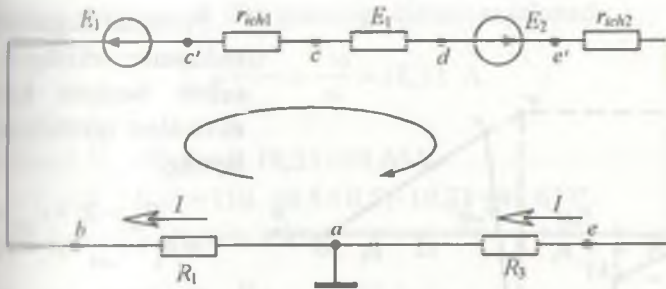
Biz o'tkazgichlarda Om qонунинг katta toklarda бузлишining fizik sabablarini ko'rib chiqdik. Bundan tashqari texnikada keng qo'llaniladiga chiziqli bo'lмаган elementlar — diod va tranzistorlarda hamda turli metalarning kontaktlashgan joylarida Om qонунинг бузлиши kuzatiladi.

O'zgaruvchan elektr va magnit maydonlari ta'siridagi o'tkazgichlар ham Om qонуни бузлиши ro'y beradi.

#### 1.4. POTENSIAL DIAGRAMMA

Zanjirning biror qismi yoki berk zanjir (kontur) uchun belgilangan nuqtalardagi potensiallar qiymatini shu zanjir qarshiliklarining qiymatiga qarab o'zgarish grafigiga *potensial diagramma* deb ataladi. Potensial diagrammani qurish uchun to'g'ri burchakli koordinatalar tekisliginin abssissa o'qiga kontur bo'yicha olingan rezistorlar qarshiliklari qiymat ordinata o'qiga esa tegishli potensiallar qiymati qo'yiladi. Diagrammada zanjirning yoki konturning biror qismiga tegishli potensiallarni aniqlas mumkin bo'ladi.

**1-masala.** Bir konturli elektr zanjir uchun potensiallar diagrammasini quring (1.17-rasm).



1.17-rasm.

Berilgan:  $E_1 = 24 \text{ V}$ ;  $E_2 = 110 \text{ V}$ ;  $R_1 = 4 \Omega$ ;  $R_2 = 3 \Omega$ ;  $R_3 = 7 \Omega$ ;  $r_{ich1} = 1 \Omega$ .

Yechish. EYK  $E_2 > E_1$  bo‘lganligi uchun tokning haqiqiy yo‘nalishi  $E_2$ , ov’olgini yo‘nalishi bilan bir xil bo‘ladi.

(1) Joriy ulagan uchun Om qonuniga ko‘ra tokni topamiz:

$$I = \frac{E_2 - E_1}{R_1 + r_{ich1} + R_2 + r_{ich2} + R_3} = \frac{110 - 24}{4 + 1 + 3 + 1 + 7} = 5,375 \text{ A.}$$

Potensial diagrammani qurish uchun zanjirning barcha nuqtalari bilish zarur.  $a$  nuqtani yerga ulangan deb qabul qilamiz. Uchun uning potensiali  $\varphi_a = 0$  bo‘ladi. Elektr zanjirda  $a$  nuqtadan  $b$  o‘tishda  $R_1$  qarshilikli rezistor mavjud. Bu rezistorda  $R_1 I$  kuchlanish tafsiivi hosil bo‘ladi, ya’ni u  $a$  va  $b$  nuqtalar potensiallari ayirmasiga teng:

$$\varphi_b - R_1 I = -21,5 \text{ V.}$$

$b$  va  $c'$  nuqtalar orasida  $E_1$  EYK manbai ulangani uchun  $c'$  nuqta o‘tishda  $E_1$  kattalikka pasayadi, ya’ni:

$$\varphi_c - E_1 = -21,5 - 24 = -45,5 \text{ V.}$$

$c$  nuqtadan  $c$  nuqtaga o‘tishda  $r_{ich1}$  rezistor bor. Shuning uchun:

$$\varphi_c - \varphi_d - r_{ich1} I = -45,5 - 5,375 = -50,875 \text{ V.}$$

Indi boshqa nuqtalarning potensiallarini topamiz:

$$\varphi_d - \varphi_e = R_2 I,$$

$$\varphi_d - \varphi_e - R_2 I = -50,875 - 16,12 = -66,995 \text{ V.}$$

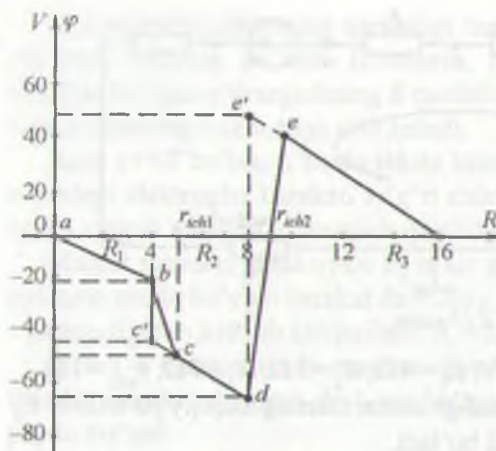
$$\varphi_d - \varphi_f = E_2,$$

$$\varphi_d - \varphi_f + E_2 = -66,995 + 110 \approx 43,01 \text{ V.}$$

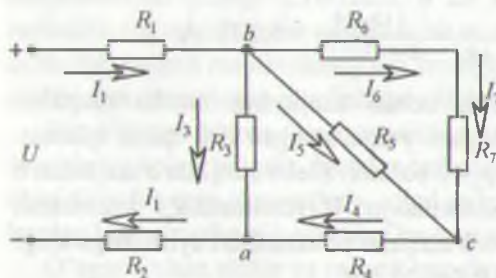
$$\varphi_f - r_{ich2} I = 43 - 5,375 = 37,625 \text{ V.}$$

$$\varphi_f - \varphi_g = R_3 I,$$

$$\varphi_f - \varphi_g - R_3 I = 37,625 - 37,625 = 0 \text{ V.}$$



I.18-rasm.



I.19-rasm.

va elementlardagi kuchlanishlar tushuvi qiymatlarini aniqlang. Elektr zanjir sxemasini 1.19-rasmda keltirilg'an.

**Yechish.** Toklar qiymatini to'g'ridan-to'g'ri aniqlash mumkin emas chunki elementlardagi kuchlanish qiymatlari noma'lum. Shuning uchun elektr zanjir sxemasini o'zgartirish usulini qo'llab, uning ekvivalent qarshiligidini hisoblaymiz:

$$R_{bc} = \frac{(R_6+R_7)R_5}{R_6+R_7+R_5} = \frac{(5+5)\cdot 10}{5+5+10} = 5 \Omega,$$

$$R_{ab} = \frac{(R_{bc}+R_4)R_3}{R_{bc}+R_4+R_3} = \frac{(5+5)\cdot 10}{5+5+10} = 5 \Omega,$$

$$R_{ekv} = R_{ab} + R_1 + R_2 = 5 + 0,5 + 0,5 = 6 \Omega.$$

Potensial diagrammning ordinatalar tekisligida qur'uchun berilgan konturning ekvivalent qarshiligidini hisoblaymiz:

$$R_{ekv} = R_1 + r_{ich1} + R_2 + r_{ich2} + R_3 = 16 \Omega$$

Qarshilik va potensial uchun masshtab tanlaymiz:  $m_R = 0,2 \Omega/\text{mm}$ ,  $m_V = 2 \text{ V/mm}$

Potensial diagrammning berilgan kesmaning og'li burchagini tangensi miqdoriga teng bo'lishi ishonch hosil qilish mumkin. de qismda  $E_2 = 110 \text{ V}$ , ya'ni  $r_{ich}I = 5,37 \text{ V}$  potensialidan martadan ko'proq.

**2-masala.** Manba kuchlanishi  $U = 110 \text{ V}$ , elementlarning qarshiliklari  $R_1 = R_2 = 0,5 \Omega$ ,  $R_3 = R_5 = 10 \Omega$ ,  $R_4 = R_6 = R_7 = 5 \Omega$  bo'lgan elektr zanjiridagi toki

Bugindagi umumiyl tok Om qonuniga binoan aniqlanadi:

$$I_1 = \frac{U}{R_{ekv}} = \frac{110}{6} = 18,33 \text{ A.}$$

$$\text{Duchlanish } U_{ab} = R_{ab} I_1 = 5 \cdot 18,33 = 91,65 \text{ V}$$

$$U_e = U - (R_1 + R_2) I_1 = 110 - (0,5 + 0,5) \cdot 18,33 = 91,67 \text{ V.}$$

Duchhalardan o'tuvchi toklar

$$I_3 = \frac{U_{ab}}{R_3} = \frac{91,65}{10} = 9,16 \text{ A,}$$

$$I_4 = I_1 - I_3 = 18,33 - 9,16 = 9,17 \text{ A.}$$

Bo'lgani uchun  $R_5$  va  $R_6$  rezistorlardan o'tuvchi toklar

$$I_5 = I_1 - I_4 / 2 = 4,58 \text{ A.}$$

Egishli kuchlanishlarning qiymatlari esa:

$$U_1 = R_1 I_5 = 10 \cdot 4,58 = 45,8 \text{ V,}$$

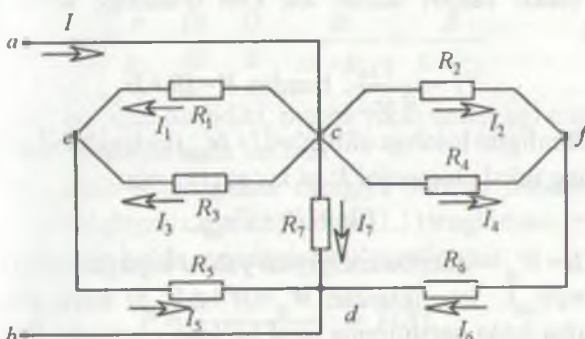
$$U_2 = R_4 I_4 = 5 \cdot 9,17 = 45,85 \text{ V.}$$

Masul. 1.20-rasmda keltirilgan elektr zanjirini hisoblang. Berilgan:

$$10 \text{ A, } R_1 = R_3 = 8 \Omega, R_2 = R_4 = 4 \Omega, R_5 = R_6 = 1,5 \Omega, R_7 = 3 \Omega.$$

Vinchish. E'tibor bering, manba kuchlanishining qiymati berilmagan. Uchun uchun dastlab rezistor va shoxobcha toklari bo'yicha kuchlanishlarni hisoblaymiz:

$$U_{ed} = R_5 I_5 = 1,5 \cdot 20 = 30 \text{ V.}$$



1.20-rasm.

$$U_{ec} = R_1 I_1 = R_3 I_3 = I_5 \frac{R_1 R_3}{R_1 + R_3} = 80 \text{ V},$$

$$U_{cd} = U_{ed} + U_{ec} = 110 \text{ V}.$$

Zanjirning shoxobchalanmagan qismidagi toklar

$$I_6 = \frac{U_{cd}}{R_{246}} = \frac{U_{cd}}{R_6 + R_2 \frac{R_4}{R_2 + R_4}} = \frac{110}{1,5 + 4 \frac{4}{4+4}} = \frac{110}{3,5} = 31,4 \text{ A},$$

chunki  $R_1 = R_3$ ,  $R_2 = R_4$  bo'lgani uchun  $I_2 = I_4$  bo'ladi, ya'ni:

$$I_2 = I_4 = \frac{I_6}{2} = \frac{31,4}{2} = 15,7 \text{ A}.$$

$U_{cf}$  kuchlanish:  $U_{cf} = R_2 I_2 = 4 \cdot 15,7 = 62,8 \text{ V}$ .

$$R_7 \text{ rezistordan o'tuvchi tok: } I_7 = \frac{U_{cd}}{R_7} = \frac{110}{3} = 36,6 \text{ A}.$$

Sxemaning shoxobchalanmagan qismidan o'tuvchi umumiy tok

$$I = \frac{U_{cd}}{R_{sum}} = \frac{R_7 R_{246} R_{135} U_{cd}}{R_{246} R_{135} + R_7 R_{135} + R_7 R_{246}} = \frac{110}{1,25} = 88 \text{ A}.$$

## 1.5. ELEKTR ENERGIYA VA ELEKTR QUVVAT. QUVVATLAR BALANSI

### 1.5.1. Elektr energiya

Oddiy elektr zanjiri uchun tok  $Om$  qonuniga ko'ra quyidagi aniqlanadi:

$$I = \frac{E}{R + r_{ich}}, \text{ bundan } E = IR + Ir_{ich}.$$

$IR = U$  ekanligini hisobga olib,  $E = U + Ir_{ich}$  ifodani hosil qilamiz. Oxir tenglamaning ikkala tomonini  $It$  ga ko'paytiramiz:

$$EIt = UIt + I^2 r_{ich} t,$$

bu yerda  $EIt = W_G$  — manba energiyasi yoki u bajargan ish.  $U = A/q = W/q$   $q = It$ ,  $\Delta W = I^2 r_{ich} t$  tengliklardan  $W_G = W + \Delta W$  ni hosil qilamiz. Bund  $\Delta W$  — manba ichki qarshiligidida isrof bo'lgan energiya.  $W - R$  qarshilik iste'molchida sarf bo'lgan energiya.

Momni ta'kidlash kerakki, ish va energiya teng kuchli tushunchalardir. Yani o'lchash uchun jism shu cnergyiani sarflab bajargan ishini hish kerak bo'ladi.

Energiyining o'lchov birligi  $[W] = [UIt] = V \cdot A \cdot s = J$ .

1 W soat = 3600000 J.

### 1.5.2. Elektr quvvat

Elektr quvvat — elektr energiyani uzatish va boshqa tur energiyaga qarshiga teng quvvatini ifodalovchi fizik kattalikdir:

$$P_G = \frac{W_G}{t} = E_G I,$$

Yerda  $P_G$  — manbaning quvvati.

Quvvatning o'lchov birligi vatt. 1 vatt — 1 sekund davomida 1 J ish qarshiga teng quvvat.

Energiya manbaining iste'molchiga berayotgan quvvati:

$$P = UI = I^2 R = U^2 G. \quad (1.1)$$

Manba ichki qarshiligidagi isrof bo'lgan quvvat:  $\Delta P_G = I^2 r_{ich}$ .

### 1.5.3. Energiya manbaining FIK

Iste'molchi quvvati (foyndali quvvat)ning energiya manbai quvvatiga qarshiligidagi foyndali ish koefitsiyenti (FIK) deb ataladi:

$$\eta = \frac{P}{P_G} = \frac{UI}{EI} = \frac{U}{E} = \frac{IR}{IR + Ir_{ich}} = \frac{R}{R + r_{ich}}.$$

Tenglamadan ko'rinish turibdiki, manba ichki qarshiligi qancha kichik bo'sa, uning FIK shuncha katta bo'ladi.

Indi qanday shart bajarilganda energiya manbai maksimal foyndali quvvat uzatishini aniqlaymiz. Buning uchun (1.1) tenglamani  $I = E/(R + r_{ich})$  shadimi hisobga olgan holda quydagicha o'zgartiramiz:

$$P = \frac{E^2}{R + 2r_{ich} + \frac{r_{ich}^2}{R}} = f(R).$$

$P=f(R)$  funksiyani maksimumga tekshiramiz:

$$\frac{df(R)}{dR} = \frac{d\left(R + 2r_{ich} + \frac{r_{ich}^2}{R}\right)}{dR} = 1 - \frac{r_{ich}^2}{R^2} = 0 \quad \text{yoki} \quad R=r_{ich}. \quad \text{Bu shart}$$

$$P=f(R) \text{ ga qo'yib, } P_{\max} = \frac{E^2}{4r_{ich}} \text{ ni hosil qilamiz.}$$

Shunday qilib, EYK manbai maksimal foydali quvvatda ishlashi uchta tashqi zanjirning qarshiligi  $R$  manba ichki qarshiligi  $r_{ich}$  ga teng bo'lishi shart. *Bu rejim moslangan iste'molchi rejimi deb ataladi.*

Shu bilan birga bu rejimda manba quvvatining 50% ichki qarshilik isrof bo'ladi va bunda  $\eta = \frac{R}{R + r_{ich}} = \frac{R}{2R} = 0,5$  ga teng.

Bu rejim avtomatika, telemekhanika va aloqa texnikasida kichik quvvli signallarni uzatishda ishlatalidi. Katta quvvatli signallarni uzatish bu rejimda ishlashtga ruxsat etilmaydi. Katta quvvatli manbalar, odad  $R=(10...20)r_{ich}$  rejimda ishlab FIK 95% gacha yetadi.

#### 1.5.4. Elektr zanjirlarida quvvatlar balansi

*Energiya saqlanish qonuniga ko'ra o'zgarmas tok zanjiriga ulang manbalar quvvatlarining algebraik yig'indisi zanjirning barcha iste'molchilaridagi quvvatlarning arifmetik yig'indisiga tengdir:*

$$\Sigma EI = \Sigma I^2 R.$$

Bu ifoda energetik balans (muvozanat) tenglamasi deyiladi, ya'ni manbalarining ishlab chiqargan elektr energiyasi (quvvati) iste'molchilarda, uzatishliniyasida va manbalarning o'zida sarf bo'lgan energiya (quvvat)ga tengdir.

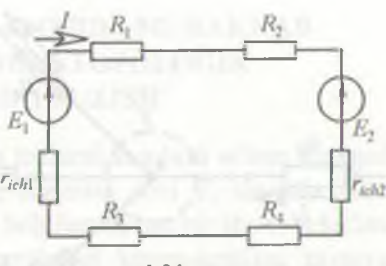
Agar elektr zanjirda tok yo'nalishi EYK yo'nalishi bilan bir xil bo'lsa, u holda manba vaqt birligi ichida zanjirga energiya uzatuvchi manbalar hisoblanadi. Agar tok yo'nalishi EYK yo'nalishiga qarama-qarshi bo'sa, u holda EYK manbai zanjirga energiya bermaydi, aksincha energiyani qabul qiladi, ya'ni iste'molchi vazifasini bajaradi. Misol tariqasida akkumulyatorning zaryadlanishini keltirish mumkin. Bu holda  $E/ko'paytma$  quvvatlar muvozanati tenglamasiga manfiy ishora bilan kiradi.

1.21-rasmida keltirilgan zanjir uchun energetik balans tenglamasi quyidagi ko'rinishga ega:

$$E_1 I - E_2 I = R_1 I^2 + R_2 I^2 + \\ + R_3 I^2 + R_4 I^2 + r_{ich1} I^2 + r_{ich2} I^2$$

Agar elektr zanjiriga EYK va manbalari ulangan bo'lsa, ya'ni ayrim tugunlariga EYK tashqari tok manbai ham bo'lsa, u holda bir tugundan tashqi tugun tomon yo'nalgan tok hosil bo'lgan qvvat sarfini hisobga olish kerak bo'ladi. Zanjirning  $a$  tuguniga  $I$  tok kirib  $b$  tugunidan chiqsa, u holda qanobi sarflayotgan qvvat  $P = U_{ab} I_k$  bo'ladi. Bunday holda energetik tenglamasi quyidagicha yoziladi:

$$\sum_{i=1}^n R_i I_i^2 = \sum_{k=1}^m E I_k + \sum_{k=1}^m U_{ab} I_k.$$



1.21-rasm.

Tenglama qvvatlar muvozanatining umumiy tenglamasi deyiladi.

## 1.6. KIRXGOF QONUNLARI

Bir qanday elektr zanjiridagi jarayonlar Kirxgofning 1- va 2-qonunlari ifodalanadi.

**1-qonun.** Kirxgofning 1-qonuni zanjirning tugunlariga tegishli bo'lib, ko'ra zanjirning istalgan tugunida toklarning algebraik yig'indisi teng bo'ladi, ya'ni:

$$\sum_{k=1}^m I_k = 0$$

Elektr zanjirming istalgan tuguniga kiruvchi toklarning arifmetik yig'indisi shu tugundan chiquvchi toklarning arifmetik yig'indisiga egaldir, ya'ni:

$$\sum_{i=1}^m I_i = \sum_{j=1}^q I_j.$$

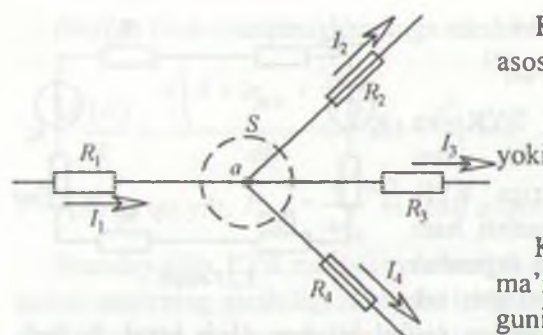
1.22-rasmda elektr zanjirming  $a$  tuguni ko'rsatilgan. Agar  $a$  tugunga muvelhi toklar musbat ishora bilan olinsa, tugundan chiquvchi toklar manfiy olinadi (yoki aksincha).

Kirxgofning 1-qonuni  
asosan:

$$I_1 - I_2 - I_3 - I_4 = 0$$

$$I_1 = I_2 + I_3 + I_4.$$

Kirxgof 1-qonuning  
ma'nosi: elektr zanjirining  
gunida zaryadlarning harob  
uzluksizdir va unda zaryad  
to'planib qolmaydi.



1.22-rasm.

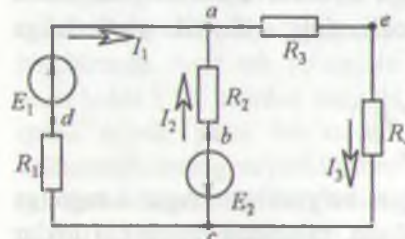
**2-qonun.** Kirxgofning 2-qonuni zanjirning berk konturlariga tegishli bo'lib, unga ko'ra elektr zanjirining istalgan berk konturida kuchlanishli tushuvining algebraik yig'indisi shu konturdagi EYKlarning algebraik yig'indisiga teng, ya'ni:

$$\sum_{k=1}^n R_k I_k = \sum_{i=1}^m E_i.$$

Agar konturni aylanib chiqish yo'nalishi bilan tok yoki EYK yo'nalishi bir xil bo'lsa, u holda yig'indiga tegishli tashkil etuvchilar «musbat» ishora bilan, aks holda esa «manfiy» ishora bilan kiradi.

Kirxgofning 2-qonunini boshqa ko'rinishda yozish ham mumkin. Zanjirning ixtiyoriy konturida kuchlanishlarning algebraik yig'indisi nolga teng:

$$\sum_{k=1}^n U_k = 0.$$



1.23-rasm.

1.23-rasmdagi abcd konturu uchun  $U_{ab} + U_{bc} + U_{cd} + U_{da} = 0$  yoki  $R_1 I_1 - R_2 I_2 = E_1 + E_2$ . Kirxgof qonunlarini chiziqli va chiziqli bo'lmasligi elektr zanjirlarni hisoblash uchun qo'llash mumkin.

## 1.7. KIRXGOF QONUNLARI ASOSIDA MURAKKAB ELEKTR ZANJIRLARINING TOPOLOGIK TENGLAMALARINI TUZISH

Qonday zanjir shoxobchalaridagi toklarni aniqlash uchun Kirxgof foydalaniлади. Zanjirdagi tugunlar soni  $T$ , shoxobchalar tok manbalari soni  $Sh_{TM}$  deb belgilansa, har bir shoxobchadan tokni hisoblashda ma'lum tartibdagi ketma-ketlikni tavsiya umumokin. Bunda tok manbai ulangan shoxobchalardan o'tuvchi tok noma'lum bo'lganligi uchun ularni umumiylar sonidan ayrıldi, sh.  $Sh_{TAP}$ . Zanjirning qolgan shoxobchalaridagi noma'lum toklarni oldin quyidagilarni bajarish kerak:

Har bir shoxobchadagi toklar yo'nalishlarini ixtiyoriy tanlab, ularni belgilaymiz;

Kirxgofning 2-qonuni bo'yicha tenglamalar tuzish uchun konturlarni belgilish yo'nalishini ixtiyoriy (soat mili harakati yo'nalishida yoki tenglamalarini) belgilaymiz.

Kirxgofning 1-qonuniga asoslangan va o'zaro bog'liq bo'limgan tenglamalar sistemasini tuzish uchun tugunlar sonidan bitta kam tenglama kerak.

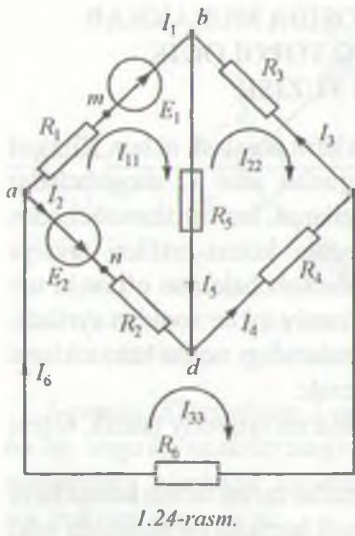
Kirxgofning 2-qonuniga asoslanib tuzilgan tenglamalar soni umumiylar sonidan tok manbalari ulangan shoxobchalar soni  $Sh_{TM}$ . Kirxgofning 1-qonuni bo'yicha tuzilgan tenglamalar sonini ayirib oldi, ya'ni konturlar uchun tuzilgan tenglamalar soni:

$$K = (Sh - Sh_{\phi M}) - (T - 1) = Sh - Sh_{\phi M} - T + 1.$$

Kirxgofning 2-qonuni bo'yicha tenglamalarni o'zarobog'liq bo'limgan (mashqil) konturlar uchun tuzish lozim. O'zaro bog'liq bo'limgan deb shunday konturga aytildadi, u oldingi konturlardan kamida yangi shoxobcha bilan farq qiladi.

Chiziqli algebraik tenglamalar sistemasi-o'zgarmas tok zanjirlarining matematik modeli hisoblanadi.

Ikkii zanjirlar nazariyasida ikki turdag'i masalalar uchraydi. Birinchi turdag'i masalalarda sxemasi va elementlari ma'lum bo'lgan zanjirning shoxobchaldagi toklar va ayrim qismlaridagi kuchlanish va quvvatlarni hisoblash kerak bo'ladi. Bu turdag'i masalalar zanjirlarning analiz masalalari deb ataladi. Ikkinci turdag'i masalalarda teskari masala-



1.24-rasm.

asosan tenglamalar tuzamiz.

Ularning soni zanjir tugunlaridan bitta kam bo'ladi:

$I_6 - I_1 - I_2 = 0$  a tugun uchun,  $I_1 + I_3 - I_5 = 0$  b tugun uchun,  $-I_3 + I_4 - I_6 = 0$  c tugun uchun.

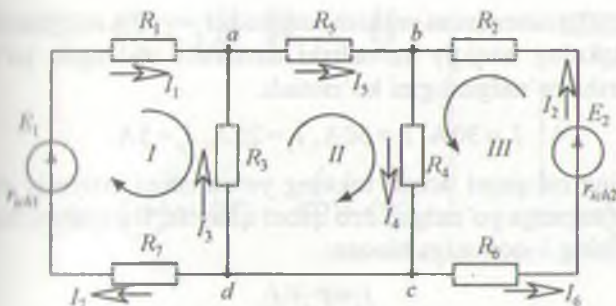
3. Zanjir konturlarini aylanib chiqish yo'naliishi tanlanadi. Bundanlangan yo'naliish bo'yicha tuzilgan tenglamalar o'zaro bog'li bo'lmasligi lozim. Kirxgofning ikkinchi qonuniga ko'ra mustaq konturlar uchun tenglamalar tuziladi:

$$R_1 I_1 + R_5 I_5 - R_2 I_2 = E_1 - E_2 \text{ abda kontur uchun,}$$

$$-R_5 I_5 - R_3 I_3 - R_4 I_4 = 0 \text{ dbcd kontur uchun,}$$

$$R_2 I_2 + R_4 I_4 + R_6 I_6 = E_2 \text{ adca kontur uchun.}$$

Bu tenglamalarda konturlarni aylanib chiqish yo'naliishi bilan ma'kaladigan EYK va toklar ishorasi musbat, aylanib chiqish yo'naliishi qarama-qarshi bo'lgan EYK va toklar ishorasi esa manfiy ishor bilan yoziladi. Bu misoldan ko'rinish turibdiki, tuzilgan tenglamalar soni zanjirdagi noma'lum toklar yoki toklari aniqlanishi kerak bo'lgan shaxobchalar soniga tengdir. Olti noma'lum tokli oltita tenglamalarda iborat sistema yuqorida ko'rilib, zanjirning matematik modelidir. Agar hisoblash natijasida qandaydir tokning ishorasi manfiy chiqsa u holda bu tokning haqiqiy yo'naliishi dastlab tanlangan yo'naliishiga nisbatan qarama-qarshi bo'ladi.



1.25-rasm.

**Masal.** Kirxgof qonunlaridan foydalananib 1.25-rasmida keltirilgan sanjir shoxobchalaridan o'tuvchi toklarni aniqlang.  $R_1 = 0,3 \Omega$ ;  $R_3 = 0,1 \Omega$ ;  $R_5 = R_6 = 0,4 \Omega$ ;  $R_3 = R_4 = 0,4 \Omega$ ;  $R_7 = 6 \Omega$ ;  $E_1 = 110 \text{ V}$ ;  $E_2 = 48 \text{ V}$ . EYK manbalarining ichki qarshiligi  $r_{ich1} = 0,1 \Omega$ ,  $r_{ich2} = 0,2 \Omega$ .

**Shart.** Berilgan sxemada tugunlar soni  $T=3$  ( $c$  va  $d$  nuqtalar toplamasi bir xil). Noma'lum toklar yo'naliishlarini ixtiyoriy tanlaymiz. Beshta shoxobcha bo'lgani uchun shuncha tokni hisoblash zarur. Beshta tenglama tuzib, ularni birgalikda yechish kerak.

Kirxgofning birinchi qonuni bo'yicha tenglamalar soni  $T-1=3-1=2$ .

*a* tugun uchun:

$$I_1 + I_3 - I_5 = 0$$

*b* tugun uchun:

$$I_2 + I_5 - I_4 = 0$$

I, II va III konturlar uchun Kirxgofning ikkinchi qonuni asosida qolgan tenglomani tuzamiz. Ma'lumki, konturlarni aylanib chiqish yo'naliishi turzda tanlanadi.

I kontur uchun:

$$E_1 = (r_{ich1} + R_1 + R_3)I_1 - R_3I_3,$$

II kontur uchun:

$$E_2 = (r_{ich2} + R_2 + R_6)I_2 + R_4I_4,$$

Shoyat III kontur uchun:

$$0 = R_3I_3 + R_5I_5 + R_4I_4,$$

Shonki II kontur passiv kontur, u faqat passiv elementlar —  $R_3$ ,  $R_4$  va  $R_5$ -dan tarkib topgan. Unda EYK manbai yo'q.

Tenglamalar sistemasini yechish natijasida  $I_3 = -45\text{ A}$  aniqlanadi. Manfiy ishora  $I_3$  tokning haqiqiy yo'nalishi dastlabki tanlangan yo'nalishi qarama-qarshi yo'nalganligini ko'rsatadi.

$$I_4 = 30\text{ A}, I_1 = 50\text{ A}, I_2 = 25\text{ A}, I_5 = 5\text{ A}.$$

Zanjirning  $cd$  qismi uchun tokning yo'nalishini ixtiyoriy ravishda tugundan  $d$  tugunga yo'nalgan deb qabul qilaylik. Bu qism uchun  $R_{cd}$

Kirxgofning 1-qonuniga binoan:

$$\begin{aligned} I_4 &= I_{cd} + I_6 \\ I_{cd} &= I_4 - I_6 = 25 - 30 = -5\text{ A}. \end{aligned}$$

Manfiy ishora  $I_{cd}$  tokning haqiqiy yo'nalishi dastlabki qabul qilingan yo'nalishiga qarama-qarshi ekanligini bildiradi.

## 1.8. CHIZIQLI ELEKTR ZANJIR SXEMALARINI EKVIVALENT O'ZGARTIRISH

Elektr zanjirlarni tahlil qilishda ko'p hollarda uni soddalashtirish zarbo'ladi. Buning uchun sxemaning ayrim qismlarini yanada sodda ekvivalent zanjir bilan almashtirish lozim bo'ladi. Agar elektr zanjir sxemasi o'zaro almashtirganda zanjir elementlaridagi tok va kuchlanishlari qiymatlari o'zgarmasa, u holda ular o'zaro ekvivalent bo'ladi.

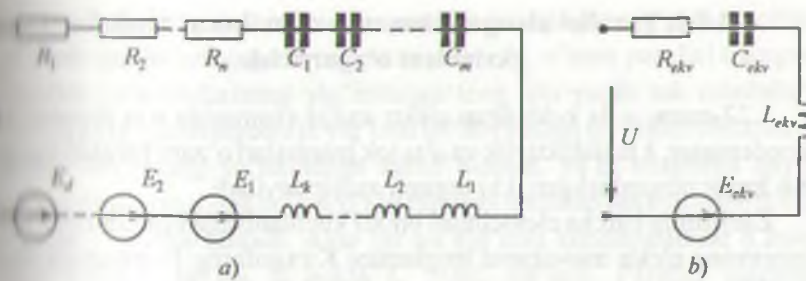
*Elektr zanjirning ayrim qismlarini unga ekvivalent bo'lgan qismlar bilan almashtirish ekvivalent o'zgartirish deb ataladi.*

*Agar elektr zanjirining ikkita qismi har qanday tashqi ta'sirda ha ekvivalentlik xususiyatini saqlab qolsa, u holda zanjirning bunda qismlari mutlaq ekvivalent qismlar deyiladi.*

Elektr zanjirlarini ekvivalent o'zgartirish tegishli elektr muvozanat tenglamalari sistemasini ekvivalent o'zgartirishga asoslangan. Amalda elektr zanjirlarini o'zgartirish elektr muvozanat tenglamalarini tuzmasdi aniq qoidalar asosida bevosita sxemalar yordamida bajariladi.

### 1.8.1. Ketma-ket ulangan elementlardan iborat zanjirni ekvivalent o'zgartirish

1.26-rasm,  $a$  da keltirilgan sxemada  $n$  ta rezistor,  $m$  ta kondensator,  $k$  ta induktivlik va  $d$  ta EYK manbalari o'zaro ketma-ket tutashgan va kuchlanishli manbara ulangan.



1.26-rasm.

Janzirning barcha elementlaridan bir xil tok o'tganligi sababli shu berk uchun Kirxgofning 2-qonuniga asosan quyidagi elektr muvozanat masasini yozish mumkin:

$$(R_1 + R_2 + \dots + R_n) i + \frac{1}{C_1} \int idt + \dots + \frac{1}{C_n} \int idt + L_1 \left( \frac{di}{dt} \right) + \dots + L_K \left( \frac{di}{dt} \right) = U - (E_1 + \dots + E_d). \quad (1.2)$$

Bir xil hadlarni umumlashtirib, (1.2) tenglamani quyidagi ko'rinishda yozamiz:

$$R_{ekv} i + \left( \frac{1}{C_{ekv}} \right) \int idt + L_{ekv} \left( \frac{di}{dt} \right) = U - E_{ekv}, \quad (1.3)$$

$$\text{Huda } R_{ekv} = \sum_{i=1}^n R_i; \quad \frac{1}{C_{ekv}} = \sum_{i=1}^n \frac{1}{C_i}; \quad L_{ekv} = \sum_{i=1}^k L_i; \quad E_{ekv} = \sum_{i=1}^d E_i.$$

(1.3) tenglama o'zgartirilgan sxema (1.26-rasm, b) ning tenglamasidir. May qilib, zanjirning bir xil elementli qismlarini ekvivalent yagona elementlar, ya'ni ekvivalent rezistiv  $R_{ekv}$ , induktiv  $L_{ekv}$ , sig'im  $C_{ekv}$  va elementlari bilan almashirsak, uning bir xil turdag'i elementlardan topgan qismlaridagi tok va kuchlanish o'zgarmaydi. Bunda EYK va kuchlanishlarning algebraik yig'indisi olinadi. Konturni aylanib chiqish yo'nalishiga qarab EYK larning ishoralarini yoki musbat bo'ladi. Kondensatorlar o'zaro ketma-ket ulanganda  $C_{ekv}$  ning teskari qiymati ketma-ket ulangan kondensatorlar unlurining teskari qiymatlari yig'indisiga teng va  $C_{ekv}$  hamma vaqt bir ketma-ket ulangan sig'im qiymatidan ham kichik bo'ladi. Agar  $m$  ta kondensator ketma-ket ulangan bo'lsa,  $C_{ekv}$  har bir kondensator sig'imidan  $m$  marta kam bo'ladi.

### 1.8.2. Parallel ulangan elementlardan iborat zanjirlarni ekvivalent o'zgartirish

1.27-rasm, *a* da keltirilgan elektr zanjir sxemasida *n* ta rezistor, *m* ta kondensator, *k* ta induktivlik va *d* ta tok manbalari o'zaro parallel ulangan. Bu zanjir umumlashgan ikki tugunli zanjir deyiladi.

Zanjirning barcha elementlari bir xil kuchlanishga ega. Shuning uchun zanjirning elektr muvozanat tenglamasi Kirxgofning 1-qonuniga aylanuz tuziladi:

$$i = \frac{1}{R_1} u + \frac{1}{R_2} u + \dots + \frac{1}{R_n} u + C_1 \frac{du}{dt} + C_2 \frac{du}{dt} + \dots + C_m \frac{du}{dt} + \\ + \frac{1}{L_1} \int_{-\infty}^t u dt + \frac{1}{L_2} \int_{-\infty}^t u dt + \dots + \frac{1}{L_k} \int_{-\infty}^t u dt - (J_1 + J_2 + \dots + J_d).$$

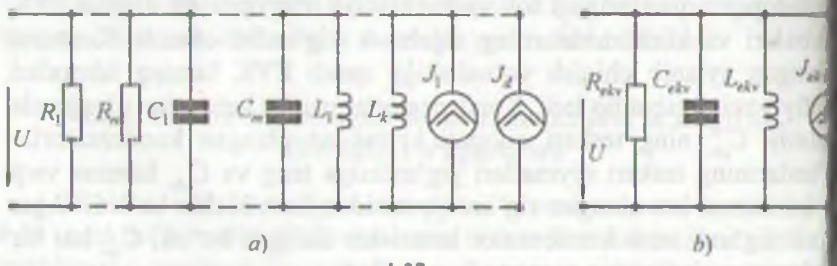
Bir xil hadlarni ixchamlab, quyidagicha yozish mumkin:

$$i = \frac{1}{R_{ekv}} u + C_{ekv} \frac{du}{dt} + \frac{1}{L_{ekv}} \int_{-\infty}^t u dt - J_{ekv}, \quad (1)$$

bu yerda

$$\frac{1}{R_{ekv}} = \sum_{i=1}^n \frac{1}{R_i}; \quad C_{ekv} = \sum_{i=1}^m C_i; \quad \frac{1}{L_{ekv}} = \sum_{i=1}^k \frac{1}{L_i}; \quad J_{ekv} = \sum_{i=1}^d J_i.$$

(1.4) tenglamaga 1.27-rasm, *b* dagi o'zgartirilgan ekvivalent sxemas keladi. Har bir guruhda parallel ulangan bir xil turdag'i elementlari ekvivalent element bilan almashtirsak, ularning parametrlari  $R_{ekv}$ ,  $C_{ekv}$ ,  $L_{ekv}$  bo'ladi va ular (1.4) ifodalar yordamida aniqlanadi. Umumlashgan ikki tugunli zanjirda (1.27-rasm) kirish kuchlanishi va tok qiymatlari o'zgartiriladi.



1.27-rasm.

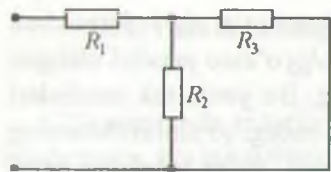
topladi. O'zaro parallel ulangan kondensatorlar sig'imiqli uchun tok manbalarining ekvivalent qiymati  $J_{ekv}$  o'zaro parallel ulangan element parametrlarining yig'indisiga teng. Bu yerda tok manbalari uchun yig'indisi algebraik yig'indi bo'lib, undagi qo'shiluvchilarning dori toklarning yo'nalishiga qarab olinadi, ya'ni tenglama qaysi nisbatan tuzilgan bo'lsa, o'sha tugunga nisbatan tok manbalarining shabi e'tiborga olinadi. Agar bir xil sig'imiqli kondensatorlar o'zaro parallel ulangan bo'lsa, u holda  $C_{ekv} = mC$  bo'ladi. Parallel ulangan element va induktivliklar ekvivalent qiymatlarining teskari qiymati uchun har bir element uchun teskari olingan qiymatlarining yig'indisiga teng bo'ladi. Bir xil qarshilik va induktivlikka ega bo'lgan elementlar o'zaro parallel ulunganda, ularning ekvivalent parametrlari  $R_{ekv} = R/n$  va  $L_{ekv} = L/k$

### **I.8.3. Aralash ulangan elementlardan iborat zanjirlarni ekvivalent o'zgartirish**

Aralash ulangan zanjirda parallel yoki ketma-ket ulangan elementlar ekvivalent ikki qutblik bilan almashtiriladi. Bunda ekvivalent qutbliklarning parallel ulangan elementlar o'tkazuvchanliklarining yig'indisiga teng bo'ladi.

Siz turdagagi ketma-ket ulangan elementlarni bitta ekvivalent ikki qutblik bilan almashtirib, uning umumiy qarshiligi ketma-ket ulangan elementlarning yig'indisiga teng deb olinadi. Elementlari aralash ulangan elementlarga zanjirsimon yoki narvonsimon zanjirlar kiradi. Ularning qarshiligi yoki kirish o'tkazuvchanligi uzlusiz zanjirsimon kasrligida qoldalanishi mumkin:

$$a_1 + \cfrac{1}{a_2 + \cfrac{1}{a_3 + \cfrac{\vdots}{\vdots + \cfrac{1}{a_{n-1} + \cfrac{1}{a_n}}}}},$$



1.28-rasm.

bu yerda  $a_1, a_2, a_3, a_4, \dots, a_n$  ko'effitsiyentlari deb ataladi. Kasr elementlarining soni  $n$  chegarali zanjirsimon kasr bo'lishi mumkin. Oddoq narvonsimon zanjir (1.28-rasm) umum qarshiligidini aniqlaymiz:

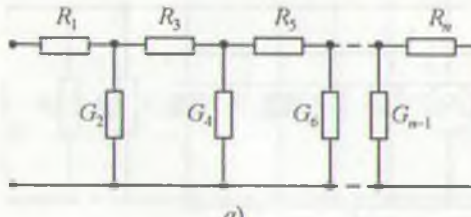
$$R = R_1 + \frac{R_2 R_1}{R_2 + R_3} = R_1 + \frac{1}{\left(\frac{1}{R_2}\right) + \left(\frac{1}{R_3}\right)}.$$

Bu formuladagi  $R_2$  qarshilikni  $G_2 = 1/R_2$  o'tkazuvchanlik bilalmashtiramiz va quyidagi ifodani hosil qilamiz:

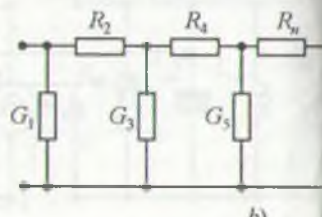
$$R = R_1 + \frac{1}{G_2 + \left(\frac{1}{R_3}\right)}.$$

Shunday qilib, ko'rileyotgan zanjirning kirish qarshiligi zanjirsimon kasr bilan tasvirlanadi, bunda  $a_1, a_2, a_3$  lar tegishli  $R_1, R_2, R_3$  lardir. Xud shunday o'zgartirishlar ishlatib narvonsimon zanjirning kirish qarshiligidini zanjirsimon kasr ko'rinishda ifodalaymiz (1.29-rasm, a):

$$R = R_1 + \frac{1}{G_2 + \frac{1}{R_3 + \frac{1}{G_4 + \frac{1}{R_5 + \frac{1}{G_6 + \frac{1}{R_7 + \frac{1}{G_{2n+2} + \frac{1}{R_{2n-1} + \frac{1}{G_{2n}}}}}}}}}}.$$



a)



b)

1.29-rasm.

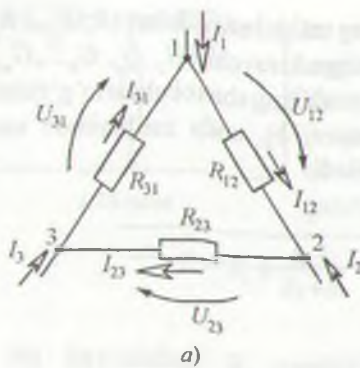
vonsimon zanjir shaxobchalarining tashkil etuvchilari ( $R_1, R_3 \dots R_n$ ) qutblik ko'ndalang shaxobchalariga kiruvchi ( $G_2, G_4, G_6 \dots, G_{n-1}$ ) par narvonsimon zanjirlarning ko'ndalang shaxobchasi to'g'ridan-tashqi qismlarga ulansa (1.29-rasm, b), unda zanjirsimon kasr ikazuvchanlik ko'rinishida yoziladi:

$$G = G_1 + \frac{1}{R_2 + \frac{1}{G_3 + \frac{1}{\vdots + \frac{1}{R_{2n-2} + \frac{1}{G_{2n-1} + \frac{1}{R_{2n}}}}}}}$$

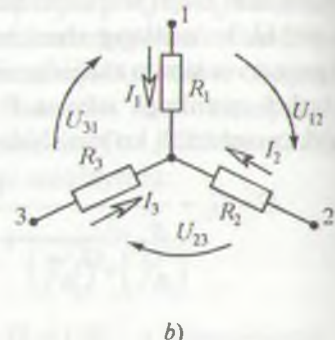
#### 1.8.4. Qarshiliklar uchburchagini qarshiliklar yulduziga va aksincha ekvivalent o'zgartirish

Uchburchakni ekvivalent yulduzga o'zgartirish zanjirning uchburchak bo'yicha ulangan qismini yulduz sxemada ulangan qism bilan o'zgartirish bo'lib, bu holda zanjirning qolgan qismlarida tok va qurash o'zgarmay qoladi. 1.30-rasmida passiv ideal ikki qutbliklarning uchburchak va yulduz ulangan sxemalari keltirilgan. Bu ikkita elektr bo'laklarining o'zaro ekvivalentlik shartlarini aniqlaymiz. Ta'rifga uchburchakning bo'laklarini almashtirganda tugunlardagi  $I_1, I_2, I_3$  toklar va tugunlararo  $U_{12}, U_{23}, U_{31}$  kuchlanishlar o'zgarmay qolsa, u holda bu bo'laklari o'zaro ekvivalent bo'ladi. Uchta kuchlanishlardan ikkitasi o'zarobog'liq bo'lqani uchun uchinchisini kuchlanishlarning sonnat tenglamasiga ko'ra aniqlash mumkin.

Uchburchak sxema qarshiliklarini yulduz sxema qarshiliklariga ekvivalentlash uchun birinchi zanjir qismalari orasidagi uchta kuchlanishga teng deb olinadi (bu holda tashqi qismalarga keluvchi toklar uchun bir xil qoladi). Uchburchak tomonlari  $R_{12}, R_{23}, R_{31}$  qarshiliklaridagi uchta tugunga keluvchi  $I_1, I_2, I_3$  toklar orqali aniqlaymiz. Kirxgof qurashiga asosan zanjirga tegishli quyidagi elektr muvozanat tenglamasini tuzamiz:



a)



b)

1.30-rasm.

$$I_1 + I_{31} - I_{12} = 0, \quad I_2 + I_{12} - I_{23} = 0, \quad R_{12}I_{12} + R_{23}I_{23} + R_{31}I_{31} = 0.$$

Bu tenglamalarni  $I_{12}$ ,  $I_{23}$ ,  $I_{31}$  toklarga nisbatan yechamiz:

$$I_{12} = (R_{31}I_1 - R_{23}I_2)/(R_{12} + R_{23} + R_{31}),$$

$$I_{23} = (R_{12}I_2 - R_{31}I_3)/(R_{12} + R_{23} + R_{31}), \quad (1)$$

$$I_{31} = (R_{23}I_3 - R_{12}I_1)/(R_{12} + R_{23} + R_{31}).$$

(1.5) tenglamalardan foydalanib, uchburchak sxema kuchlanishlar topamiz:

$$U_{12} = R_{12}I_{12} = R_{12}(R_{31}I_1 - R_{23}I_2)/(R_{12} + R_{23} + R_{31}),$$

$$U_{23} = R_{23}I_{23} = R_{23}(R_{12}I_2 - R_{31}I_3)/(R_{12} + R_{23} + R_{31})$$

Yulduz sxemasiga (1.30, b-rasm) tegishli kuchlanishlar  $U_{12} = R_1I_1 - R_{23}I_2$ ,  $U_{23} = R_2I_2 - R_3I_3$  bo‘ladi.

Endi  $U_{12}$  va  $U_{23}$  kuchlanishlarni o‘zaro tenglashtirib, tashqi o‘tkazg simlar orasidagi munosabatlarni aniqlaymiz.

$$\frac{R_{12}R_{31}}{R_{12} + R_{23} + R_{31}}I_1 - \frac{R_{12}R_{23}}{R_{12} + R_{23} + R_{31}}I_2 = R_1I_1 - R_2I_2,$$

$$\frac{R_{23}R_{12}}{R_{12} + R_{23} + R_{31}}I_2 - \frac{R_{23}R_{31}}{R_{12} + R_{23} + R_{31}}I_3 = R_2I_2 - R_3I_3.$$

(1.6) tenglamalar tashqi o‘tkazgich simlardagi har qanday tokla bajarilishi shart. Bu tenglamalarda avval  $I_2 = 0$ , keyin esa  $I_3 = 0$  deb o‘qarshiliklar orasidagi bog‘lanish formulasini topamiz. Bu holda zanjirni bo‘laklari o‘zaro ekvivalent bo‘ladi:

$$R_1 = \frac{R_{12}R_{31}}{R_{12} + R_{23} + R_{31}}; \quad R_2 = \frac{R_{12}R_{23}}{R_{12} + R_{23} + R_{31}}; \quad R_3 = \frac{R_{23}R_{31}}{R_{12} + R_{23} + R_{31}}. \quad (1.7)$$

Buzilgan  $R_{12}$ ,  $R_{23}$ ,  $R_{31}$  qarshiliklar bo'yicha yulduz sxema uchun  $R_1$ ,  $R_2$ ,  $R_3$  qarshiliklarni hisoblaymiz. Buning uchun qarshiliklar uchburchagini ekvivalent qarshiliklar yulduziga o'zgartiramiz. 1.30-rasmdan turibdiki, bunday o'zgartirishda zanjirdagi  $R_{12}$ ,  $R_{23}$ ,  $R_{31}$  qarshiliklardan iborat kontur o'rniغا yangi yulduz sxema qarshiliklari  $R_1$ ,  $R_2$ ,  $R_3$  birlashtirilgan tugun paydo bo'ladi.

(1.7) tenglamalar sistemasini  $R_{12}$ ,  $R_{23}$ ,  $R_{31}$  qarshiliklariga nisbatan yulduz sxema qarshiliklarini ekvivalent uchburchak sxema qarshiliklari orqali ifodalarini aniqlaymiz:

$$R_{11} = R_1 + R_2 + \frac{R_1 R_2}{R_3}, \quad R_{22} = R_2 + R_3 + \frac{R_2 R_3}{R_1}, \quad R_{33} = R_3 + R_1 + \frac{R_1 R_3}{R_2}. \quad (1.8)$$

Yulduzni uchburchakka o'zgartirish sxemasida tugunlar soni kamayadi, zanjirda yangi  $R_{12}$ ,  $R_{23}$ ,  $R_{31}$  qarshiliklardan tuzilgan kontur paydo bo'ladi. (1.8) tenglamalardagi qarshiliklarni o'tkazuvchanliklar bilan oshshitiramiz. O'zgartirishlarni bajarib, uchburchak tomonlarini belgilashi elementlar o'tkazuvchanliklarini aniqlaymiz:

$$G_{12} = \frac{G_1 G_2}{G_1 + G_2 + G_3}, \quad G_{23} = \frac{G_2 G_3}{G_1 + G_2 + G_3}, \quad G_{31} = \frac{G_3 G_1}{G_1 + G_2 + G_3}. \quad (1.9)$$

O'tkazuvchanliklarni aniqlash formulalari (1.9) yulduz sxema qarshiliklarini aniqlash formulalarining (1.7) strukturasi bilan bir xildir. Shunday yulduz sxema nurlarining o'tkazuvchanliklari ( $G_1$ ,  $G_2$ ,  $G_3$ ) ni aniqlash struktura jihatidan (1.8) tenglamalarga o'xshaydi. (1.9) tenglamalarga asoslanib  $n$  nurli yulduzni  $n$  tomonli ko'pburchakka o'zgartirish tenglamasini yozamiz:

$$G_{kl} = G_k G_l / G_1 + G_2 + \dots + G_N$$

$n$  tomonli ko'pburchak bir tomonining o'tkazuvchanligi, ya'ni  $k$  va  $l$  tugunlarni birlashtiruvchi tomonning o'tkazuvchanligi,  $G_1$ ,  $G_2$  ...  $G_n$  — yulduz nurlarini tashkil etuvchi elementlarning o'tkazuvchanligi.

$n$  tomonli ko'pburchakni  $n$  nurli yulduzga aylantirish umumiy holda mungkin emas.

Yuqorida keltirilgan o'zgartirishlar ko'p hollarda zanjir tahlilini anch soddalashtiradi, xususiy hollarda esa bu o'zgartirishlar murakkab zanj bo'laklarini soddalashtirishga olib keladi.

### 1.8.5. EYK va tok manbaiga ega bo'lgan parallel shoxobchalarni ekvivalent o'zgartirish

Murakkab elektr zanjirlarini hisoblashda EYK, tok manbai qarshiliklari bo'lgan bir nechta parallel ulangan shoxobchalarni bitt ekvivalent shoxobcha bilan almashtirish jiddiy yengilliklarga olib kelad. Agar tok  $I$  ning har qanday qiymatida  $a, b$  qismalardagi kuchlanish ikkala sxemada bir xilda qolsa, u holda 1.31-rasm,  $b$  da keltirilgan zanj 1.31-rasm  $a$  da tasvirlangan zanjirga ekvivalent bo'ladi.  $R_{ekv}$  va  $E_{ekv}$  qanday qiymatlarga teng bo'lishini bilish uchun ikkala sxema uchun tenglamal tuzamiz:

$$I_1 + I_2 + I_3 + I_r + I_s = I_{ekv}$$

$$I_1 = (E_1 - U_{ab})/R_1 = (E_1 - U_{ab})G_1$$

$$I_2 = (E_2 - U_{ab})/R_2 = (E_2 - U_{ab})G_2$$

$$I_n = (E_n - U_{ab})G_n$$

Demak,

$$I = \sum_{k=1}^m G_k + \sum_{k=1}^n G_k + \sum_{k=1}^q I_k - U_{ab} \sum_{k=1}^n G_k, \quad (1.10)$$

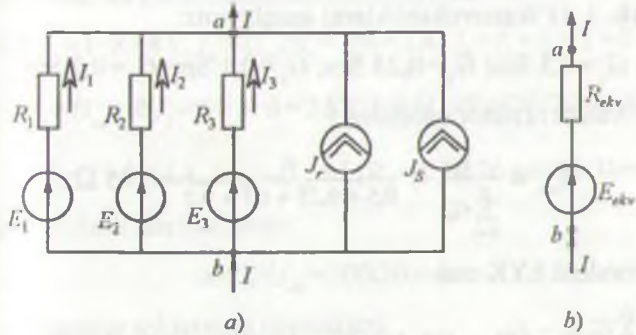
bu yerda  $m$ -zanjirdagi parallel shoxobchalarning umumiy soni,  $n$  — EYK manbali shoxobchalar soni,  $q$  — tok manbai ulangan shoxobchalar soni.

1.31-rasm,  $b$  uchun quyidagi tenglamalarni yozamiz:

$$I = E_{ekv} G_{ekv} - U_{ab} G_{ekv}. \quad (1.11)$$

1.31-rasm,  $a$  va  $b$  lardagi toklarning tengligi  $I$  tok va  $U_{ab}$  kuchlanishni har qanday qiymatlarida bajarilishi kerak, bu faqat (1.10) tenglamadagi  $U_{ab}$  ning koefitsiyenti (1.11) tenglamadagi  $U_{ab}$  ning koefitsiyentiga ten bo'lsa bajariladi, ya'ni,

$$G_{ekv} = \sum_{k=1}^n G_k. \quad (1.12)$$



1.31-rasm.

Agar (1.10) va (1.11) tenglamalardagi  $U_{ab}$  ga tegishli hadlar va toklar ravishda o'zaro teng bo'lsa, unda ekvivalentlik shartidan:

$$\sum_{k=1}^n G_k E_k + \sum_{k=1}^q J_{TM} = G_{ekv} E_{ekv}. \quad (1.13)$$

(1.13) ifodadan  $E_{ekv}$  hisoblanadi:

$$E_{ekv} = \frac{\sum_{k=1}^n G_k E_k + \sum_{k=1}^q J_{TM}}{\sum_{k=1}^n G_k}. \quad (1.14)$$

(1.12) formula orqali ekvivalent o'tkazuvchanlik  $G_{ekv}$  ni aniqlash va u qall  $R_{ekv}$  ni (1.31-rasm, b) hisoblash mumkin.

(1.14) formuladan quyidagilar kelib chiqadi: agar qaysi bir shoxobchada bo'lmasa, u holda bu shoxobchaning o'tkazuvchanligi (1.14) formulaning maxrajida bo'ladi, agar biror shoxobchada EYK manbaining qoldihi 1.31-rasm, a da ko'rsatilgandan teskari bo'lsa, u holda shu EYK ga tegishli had (1.14) formula suratiga manfiy ishora bilan kiradi.

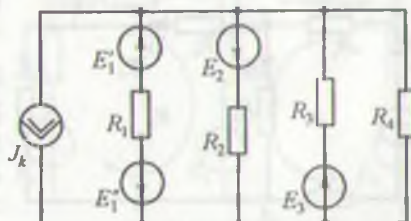
1.31-rasm, a va b dagi shaxob-  
dar o'zaro ekvivalentdir.

Munaqa. 1.32-rasmida keltirilgan  
ekvivalent shoxobcha bilan  
uchitiring.

Qilligan:  $E_1 = 12\text{ V}$ ;  $E_2 = 24\text{ V}$ ;

$E_3 = 48\text{ V}$ ;  $R_1 = 2\Omega$ ;

$R_2 = 1\Omega$ ;  $R_3 = 10\Omega$ ;  $R_4 = 5\Omega$ ;  $J_k = 6\text{ A}$ .



1.32-rasm.

**Yechish.** 1. O'tkazuvchanliklarni aniqlaymiz:

$$G_1 = 0,5 \text{ Sm}; G_2 = 0,25 \text{ Sm}; G_3 = 0,1 \text{ Sm}; G_4 = 0,2 \text{ Sm}.$$

2. Ekvivalent rezistor qarshiligi:

$$R_{ekv} = \frac{1}{\sum_{k=1}^n G_k} = \frac{1}{0,5 + 0,25 + 0,1 + 0,2} = 0,95 \Omega.$$

3. Ekvivalent EYK esa:

$$E_{ekv} = \frac{\sum_{k=1}^n G_k E_k - J_{TM}}{\sum G_k} = \frac{(12-24) \cdot 0,5 - 36 \cdot 0,25 + 48 \cdot 1 - 6}{1,05} = \frac{27}{1,05} = 25,7 \text{ V}$$

Javob:  $R_{ekv} = 0,95 \Omega$ ;  $E_{ekv} = 25,7 \text{ V}$ .

## 1.9. PROPORSIONAL KATTALIKLAR USULI

Proporsional kattaliklar usulini bitta manbadan ta'minlanayotga qarshiliklari o'zaro aralash ulangan zanjirni hisoblashda qo'lla maqsadga muvofiq.

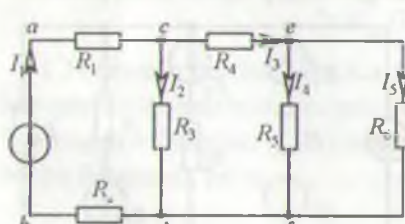
Hisoblash ketma-ketligi quyidagicha:

1) manbadan eng uzoqda joylashgan shoxobchadagi tokka ixtiyor masalan 1 A qiymat beramiz;

2) tanlangan shoxobchadagi tok qiymatidan foydalanib qolgan barcha shoxobchalaridagi tok va kuchlanishlarni hisoblab topamiz;

3) qayta hisoblash koefitsiyentini topamiz.  $U$  manba EYK ini uni qismalaridagi hisoblab topilgan kuchlanishga nisbatiga teng;

4) barcha shoxobchalaridagi hisoblab topilgan toklar va kuchlanishlarni qayta hisoblash koefitsiyentiga ko'paytirib, tok va kuchlanishlarni haqiqiy qiymatlarini topamiz.



1.33-rasm.

**Masala.** 1.33-rasmida keltirilg'an zanjir shoxobchalaridagi toklar proporsional kattaliklar usuli yordamini topilsin.  $R_1 = R_2 = 3 \Omega$ ;  $R_3 = 26 \Omega$ ;  $R_4 = 6 \Omega$ ;  $R_5 = 4 \Omega$ ;  $R_6 = 8 \Omega$ ;  $E = 200 \text{ V}$ .

**Yechish.**  $I'_s = 1 \text{ A}$  deb qabul lamiz. Shunga ko'ra boshqa shoxo

Jahonligi toklar va kuchlanishlarni hisoblaymiz.

$$U_{ed} = R_6 I_5 = 1 \cdot 8 = 8 \text{ V}, I_4 = U_{ed}/R_5 = 8/4 = 2 \text{ A}, I_3 = I_5 + I_4 = 1 + 2 = 3 \text{ A},$$

$$U_{cd} = U_{ed} + R_4 I_3 = 8 + 3 \cdot 6 = 26 \text{ V}, I_2 = U_{cd}/R_3 = 26/26 = 1 \text{ A},$$

$$I_1 = I_2 + I_3 = 1 + 3 = 4 \text{ A}, U_{ab} = U_{cd} + I_1(R_1 + R_2) = 26 + 4(3 + 3) = 50 \text{ V}.$$

Qayta hisoblash koefitsiyenti:

$$k = E/U_{ab} = 200/50 = 4.$$

Demak, haqiqiy toklarning qiymatlari:

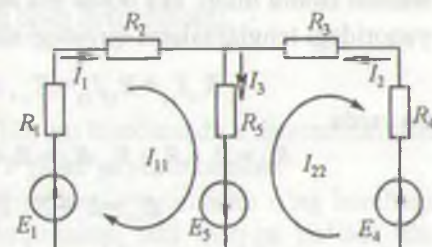
$$I_1 = kI_1 = 4 \cdot 1 = 16 \text{ A}, I_2 = 4 \cdot 1 = 4 \text{ A}, I_3 = 4 \cdot 3 = 12 \text{ A},$$

$$I_4 = 4 \cdot 2 = 8 \text{ A}, I_5 = 4 \cdot 1 = 4 \text{ A}.$$

## 1.10. KONTUR TOKLAR USULI

Ilu usulda o'zaro bog'liq bo'limgan (mustaqil) konturdan yagona kontur toki o'tadi deb faraz qilinadi va shoxobchalar toki shu kontur toklari aniqlanadi. Kontur toklar usuli Kirxgofning 2-qonuniga asoslanadi. Tenglamalar shu kontur toklariga nisbatan tuziladi. Tenglamalar sistemasi solib, noma'lum kontur toklar, ular orqali esa shoxobchalardagi haqiqiy toklar aniqlanadi. Shunday qilib, kontur toklar usulu asosida tuzilgan tenglamalarda noma'lumlar soni o'zaro bog'liq bo'limgan konturlar nisbatan tenglamalar soni va ularni yechishga sarf bo'ladigan vaqt bo'lib ladi. Kontur toklar usuli ko'pincha murakkab zanjirdagi mustaqil konturlar soni tugunlar sonidan kam bo'lganda qo'llaniladi.

1.34-rasmda keltirilgan sxema uchun tenglamalarni tuzamiz. Bu rasmda ikkita bog'liq bo'limgan kontur mavjud. Bu konturlardan ularning kontur toklar orqali shoxobchalardagi toklarni aniqlash kerak.



1.34-rasm.

Faraz qilaylik, sxemaning chap konturida soat mili harakati yo'nalishidagi  $I_{11}$ , o'ngdagagi konturda esa shu yo'nalishda  $I_{22}$  kontur toklari o'tmoqdagi. Har bir kontur uchun Kirxgofning 2-qonuniga asoslanib tenglamaligiz tuzamiz. Bunda  $R_5$  qarshilikli shoxobchadan ikkala kontur toklarini ayirmasi (yoki yig'indisi) o'tishi mumkin. Bunday shoxobcha yondon shoxobcha deyiladi.

Yondosh shoxobchalardagi haqiqiy toklarni aniqlash uchun kontur toklar yo'nalishi albatta e'tiborga olinishi kerak. Konturlarni aylanish chiqish yo'nalishini ham soat mili bo'yicha olamiz. 1-kontur uchun:

$$\begin{aligned} & (R_1 + R_2)I_{11} + R_5(I_{11} - I_{22}) = E_1 + E_5 \\ \text{yoki} \quad & (R_1 + R_2 + R_5)I_{11} - R_5I_{22} = E_1 + E_5. \end{aligned} \quad (1.15)$$

2-kontur uchun:

$$\begin{aligned} & R_5(I_{22} - I_{11}) + (R_3 + R_4)I_{22} = -E_4 - E_5 \\ \text{yoki} \quad & -R_5I_{11} + (R_3 + R_4 + R_5)I_{22} = -E_4 - E_5. \end{aligned} \quad (1.16)$$

(1.15) tenglamada  $I_{11}$  oldidagi koefitsiyent bиринчи konturga tegish xususiy qarshiliklar yig'indisidir, uni  $R_{11}$  bilan belgilaymiz,  $I_{22}$  oldidagi koefitsiyent esa konturlar orasidagi o'zaro qarshilik, uni  $R_{12}$  bilan belgilaymiz. (1.16) tenglamada esa  $I_{11}$  oldidagi koefitsiyentni  $R_{21}$ ,  $I_{22}$  oldidagi koefitsiyentni esa  $R_{22}$  bilan belgilaymiz.  $R_{11}$ ,  $R_{22}$  — tegish konturlarning xususiy qarshiliklari,  $R_{12} = R_{21}$  esa — konturlararo o'zaro qarshiliklar deyiladi. (1.15) va (1.16) tenglamalar o'ng tomonini mos ravishda  $E_{11}$  va  $E_{22}$  bilan belgilaymiz, bunda  $E_{11}$ ,  $E_{22}$  — mos ravishda bиринчи va ikkinchi konturdagi EYK larning algebraik yig'indisi. Bunday EYK yo'nalishi konturni aylanib chiqish yo'nalishi bilan bir xil bo'lsa musbat ishora bilan, aks holda esa manfiy ishora bilan olinadi. Bu holda yuqoridagi tenglamalarni quyidagi shaklda yozish mumkin:

$$R_{11}I_{11} + R_{12}I_{22} = E_{11}, \quad R_{21}I_{11} + R_{22}I_{22} = E_{22},$$

bu yerda

$$\begin{aligned} R_{11} &= R_1 + R_2 + R_5, \quad R_{22} = R_3 + R_4 + R_5, \quad R_{12} = R_{21} = -R_5, \\ E_{11} &= E_1 + E_5, \quad E_{22} = -E_4 - E_5. \end{aligned}$$

Agar sxemada mustaqil konturlar soni ikkitadan ko'p, masalan uchta bo'lsa, u holda tenglamalar sistemasi quyidagi shaklda yoziladi:

$$R_{11}I_{11} + R_{12}I_{22} + R_{13}I_{33} = E_{11},$$

$$R_{21}I_{11} + R_{22}I_{22} + R_{23}I_{33} = E_{22},$$

$$R_{31}I_{11} + R_{32}I_{22} + R_{33}I_{33} = E_{33},$$

yoki matritsa ko'rnishida  $[R]$   $[I] = [E]$ , bunda

$$[R] = \begin{vmatrix} R_{11} & R_{12} & R_{13} \\ R_{21} & R_{22} & R_{23} \\ R_{31} & R_{32} & R_{33} \end{vmatrix}; \quad [I] = \begin{vmatrix} I_{11} \\ I_{22} \\ I_{33} \end{vmatrix}; \quad [E] = \begin{vmatrix} E_{11} \\ E_{22} \\ E_{33} \end{vmatrix}$$

Har xil belgili qarshiliklar ishoralari bir xil bo'lishi uchun kontur  
yo'nalishi bir xil yo'nalishda: faqat soat mili harakati yoki  
teskari yo'nalishda qabul qilinishi lozim. Tenglamalar sistemasi  
qaysi bir kontur toki manfiy ishorali chiqsa, shu kontur tokining  
yo'nalishi dastlab qabul qilinganiga teskari bo'ladi. Konturlararo  
qarshilikdan ikkita yondosh kontur toklari o'tadi.

Shoxobchadagi tok qiymati shu shoxobchadan o'tadigan kontur toklar  
aniqlanadi. Masalan,  $R$ , shoxobchasidan  $I_{11} - I_{22}$  ayirma toki o'tadi,  
ayirma tok shoxobchadagi haqiqiy tokdir. Agar elektr zanjirida  $n$   
aro bog'liq bo'lmagan konturlar bo'lsa, unda  $n$  ta mustaqil tenglamalar  
tuziladi. Bunda  $n$  ta tenglamalar sistemasining umumiy yechimi  
mog'lich bo'ladi:

$$I_{kk} = \frac{\Delta_{k1}}{\Delta} E_{11} + \frac{\Delta_{k2}}{\Delta} E_{22} + \frac{\Delta_{k3}}{\Delta} E_{33} + \dots + \frac{\Delta_{kn}}{\Delta} E_{nn}.$$

Tenglamada

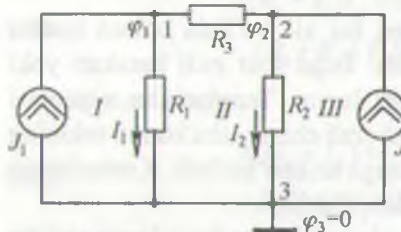
$$\Delta = \begin{vmatrix} R_{11} & R_{12} & \dots & R_{1n} \\ R_{21} & R_{22} & \dots & R_{2n} \\ \dots & \dots & \dots & \dots \\ R_{n1} & R_{n2} & \dots & R_{nn} \end{vmatrix} — \text{sistemaning bosh determinanti,}$$

$\Delta_{km}$  — algebraik to'ldiruvchi bo'lib, uni hisoblashda  $\Delta$  determinantdan  
 $m$ -suhum va  $m$ -qatorni o'chirib,  $(-1)^{k+m}$  ga ko'paytirib olinadi.

Agar bosh aniqlovchining chap burchagi yuqorisidan o'ng burchagi  
dingonal o'tkazsak, u determinantni ikki qismga bo'ladi. Bu  
determinantning bosh diagonalga nisbatan simmetriklik xususiyatidir.  
Simmetriyaga asoslanib,  $\Delta_{km} = \Delta_{mk}$  tenglikni yozish mumkin.

## 1.11. TUGUN POTENSIALLAR USULI

Bu usulga ko'ra Kirxgofning 1-qonuniga asoslanib elektr zanj tugunlaridagi potensiallar zanjirning *tayanch* tuguniga nisbatan aniqlanadi. Bunda *tayanch tugun potensiali nolga teng* deb qabul qilinadi. Ma'lumki, har qanday shaxobchadagi kuchlanish shu shaxobcha ulangan tugunlar potensiallarining ayirmasiga teng bo'lib, bu kuchlanishni shu shaxobcha o'tkazuvchanligiga ko'paytmasi esa shaxobcha tokigeng bo'ladi. Shunday qilib, tugun potensiallarini aniqlab har bi shaxobchadagi tok qiymatini topishimiz mumkin.



1.35-rasm.

Ushbu usul noma'lum toklari topishda tugun potensiallarini aniqlashga asoslanganligi uchun *tugun potensiallar usuli* deb ataladi. 1.35-rasmida keltirilgan elektr sxemada ikkita  $J_1$  va  $J_2$  tok manbai, 3 ta — 1, 2, 3 tugun va 3 ta — I, II, III konturlari mavjud. Bu sxemada 3-tugun.

*tayanch tugun deb qabul qilamiz* va uni shartli ravishda yerga ulaymiz.

Demak,  $\varphi_3 = 0$ . Tegishli shoxobchalar o'tkazuvchanliklari:

$$G_1 = 1/R_1; G_2 = 1/R_2; G_3 = 1/R_3.$$

Ushbu berilgan zanjirming 3 ta tugun uchun Kirxgofning 1-qonuniga asosan  $T - 1 = 3 - 1 = 2$  ta tenglama tuzish lozim.

1-tugun uchun:

$$I_{1T} = (\varphi_1 - \varphi_3)G_1 + (\varphi_1 - \varphi_2)G_3 = (G_1 + G_3)\varphi_1 - G_3\varphi_2,$$

2-tugun uchun:

$$I_{2T} = (\varphi_2 - \varphi_3)G_2 + (\varphi_2 - \varphi_1)G_1 = -G_2\varphi_1 (G_2 + G_3)\varphi_2,$$

bunda  $G_{11} = G_1 + G_3$ ,  $G_{22} = G_2 + G_3$  — mos ravishda 1- va 2-tugunlarning xususiy o'tkazuvchanliklari,  $G_{12} = G_{21} = G_3$  — 1 va 2-tugunlar orasidagi o'zar o'tkazuvchanlik.  $I_{1T}$ ,  $I_{2T}$  — mos ravishda 1- va 2-tugunlarning tugun toklari.

Umumiy holda, agar elektr sxema  $q$  ta tugunga ega bo'lsa, Kirxgofning 1-qonuniga asosan o'zarob bog'liq bo'limgan  $T = q - 1$  ta tenglama tuzish mumkin, bunda  $q$  ta tugundan ixtiyoriy bittasi *tayanch tugun deb qabul qilinadi*, ya'ni:

$$\begin{cases} G_{11}\varphi_1 + G_{12}\varphi_2 + \dots + G_{1n(q-1)}\varphi_{q-1} = I_{1T} \\ G_{21}\varphi_1 + G_{22}\varphi_2 + \dots + G_{2n(q-1)}\varphi_{q-1} = I_{2T} \\ \dots \\ G_{(q-1)1}\varphi_1 + G_{(q-1)2}\varphi_2 + \dots + G_{(q-1)(q-1)}\varphi_{q-1} = I_{(q-1)T} \end{cases}$$

Tenglamalar tuzishda tugunga kirib keluvchi tok musbat ishora bilan, olinadi chiquvchi tok esa manfiy ishora bilan olinadi.  $G_{ik}$  –  $i$  tugunga shoxobchalar o'tkazuvchanliklarining yig'indisi, ya'ni tugunning  $i$ -uyuniy o'tkazuvchanligi,  $G_{ik}$  –  $i$  va  $k$  tugunlararo (o'zaro) o'tkazuvchanlik. Tenglamalar sistemasini yechib tugunlardagi potensiallarni aniqlaymiz.

Masulan,  $k$ -tugun uchun  $\varphi_k$  tugun potensiali tayanch tugunga nisbatan quyidagicha aniqlanadi:

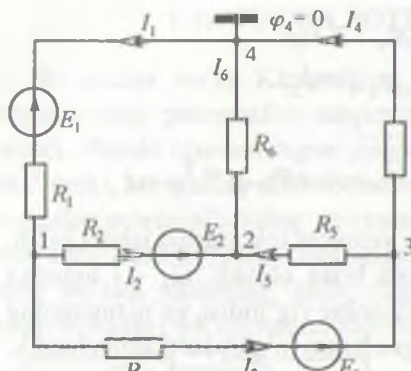
$$\varphi_k = \frac{1}{\Delta} \sum_{i=1}^{q-1} I_i \Delta_{ik},$$

bunda,

$$\Delta = \begin{vmatrix} G_{11} G_{12} \dots G_{1,(q-1)} \\ G_{21} G_{22} \dots G_{2,(q-1)} \\ \hline \dots \\ G_{(q-1)1} \dots G_{(q-1)(q-1)} \end{vmatrix},$$

$\Delta$  – algebraik to'ldiruvchi.

Agar elektr sxemada EYK manbalari berilgan bo'lsa, u holda ular equivalent tok manbai bilan almashtiriladi, ya'ni EYK ni o'zi ulangan shoxobcha o'tkazuvchanligiga ko'paytirib yoziladi. Agar zanjirning biror shoxobchasi ideal EYK manbai ulangan bo'lsa (bunday manbaning o'tkazuvchanligi cheksiz katta), u holda shu shoxobchaga ulangan tugun potensialga ega deb qabul qilinadi va tenglamalar sistemasida tenglamaning o'ng tomoniga o'tkaziladi. Shuni ta'kidlash joizki, agar qofning 1-qonuni bo'yicha tuzilgan tenglamalar soni ikkinchi qonuni tuzilgan tenglamalar sonidan kam bo'lsa, tugun potensiallar usuli xuritir toklar usulidan afzal bo'ladi. Agar berilgan elektr zanjir  $q$  ta tugun shoxobchaga ega bo'lsa va  $q-1 < p-q+1$  yoki  $2(q-1) < p$  shart berilishi, u holda *tugun potensiallar usuli* afzal bo'ladi.



1.36-rasm.

tugunlar potensiallari topiladi;

5) Om qonuni yordamida shoxobchalardagi noma'lum toklar topilad

Masala. 1.36-rasmda keltirilgan zanjir shoxobchalaridagi toklar tug  
potensiallari usuli yordamida topilsin:

$$E_1 = 6 \text{ V}, E_2 = 12 \text{ V}, E_3 = 18 \text{ V}, R_1 = R_2 = R_3 = 2 \Omega, R_4 = R_5 = R_6 = 2 \Omega.$$

Yechish. Shoxobchalardagi toklar yo'nalishini ixtiyoriy tanlo  
olamiz va 4-tugun potensialini nolga tenglaymiz. Keyin boshqa tugun  
potensiallari uchun quyidagi tenglamalar sistemasini tuzamiz:

$$\varphi_1 \left( \frac{1}{R_1} + \frac{1}{R_2} + \frac{1}{R_3} \right) - \varphi_2 \frac{1}{R_2} - \varphi_3 \frac{1}{R_3} = -E_1 \frac{1}{R_1} - E_2 \frac{1}{R_2} - E_3 \frac{1}{R_3},$$

$$-\varphi_1 \left( \frac{1}{R_2} \right) + \varphi_2 \left( \frac{1}{R_2} + \frac{1}{R_5} + \frac{1}{R_6} \right) - \varphi_3 \frac{1}{R_5} = E_2 \frac{1}{R_2},$$

$$-\varphi_1 \frac{1}{R_3} - \varphi_2 \frac{1}{R_5} + \varphi_3 \left( \frac{1}{R_3} + \frac{1}{R_4} + \frac{1}{R_5} \right) = E_3 \frac{1}{R_3}.$$

Hosil bo'lgan sistemani shoxobchalarning qarshiligi va ularda  
EYK qiymatlarini hisobga olgan holda yechib, tugunlar potensiallari  
topamiz:

$$\varphi_1 = -9 \text{ V}; \varphi_2 = 3 \text{ V}; \varphi_3 = 6 \text{ V}.$$

Shoxobchalardagi toklarni Om qonuni asosida aniqlaymiz:

$$I_1 = (\varphi_4 - \varphi_1 - E_1) \frac{1}{R_1} = (-\varphi_1 - E_1) \frac{1}{R_1} = (9 - 6) \cdot \frac{1}{2} = 1,5 \text{ A},$$

$$I_2 = (\varphi_1 - \varphi_2 + E_2) \frac{1}{R_2} = (-9 - 3 + 12) \cdot \frac{1}{2} = 0,$$

$$I_3 = (\varphi_1 - \varphi_3 + E_3) \frac{1}{R_3} = (-9 - 6 + 18) \cdot \frac{1}{2} = 1,5 \text{ A},$$

$$I_4 = (\varphi_3 - \varphi_4) \frac{1}{R_4} = (6 - 0) \frac{1}{6} = 1 \text{ A},$$

$$I_5 = (\varphi_3 - \varphi_2) \frac{1}{R_5} = (6 - 3) \frac{1}{6} = 0,5 \text{ A},$$

$$I_6 = (\varphi_2 - \varphi_4) \frac{1}{R_6} = (3 - 0) \frac{1}{6} = 0,5 \text{ A}.$$

## 1.12. IKKI TUGUN USULI

Bu'zi hollarda zanjirda faqat ikkita tugun bo'lib, konturlar soni ko'p bo'lib (1.37-rasm). Bunday zanjirlarni hisoblash uchun eng qulay bo'lgan ikki tugun potensiallar usulining xususiy holi — ikki tugun usulidan foydalaniladi. Bunda tenglamalar soni  $T=1=2-1=1$  tani tashkil etadi.

Nuqtani tayanch tugun deb olib, uni shartli yerga ulaymiz. Bunda nuqtaning potensialini aniqlasak, masalani yechish uchun shartli bo'ladi. Buning uchun parallel ulangan shoxobchalarни bitta equivalent manba bilan almashtiramiz. Berilgan sxema uchun  $a$  va  $b$  nuqtalar orasidagi kuchlanish:

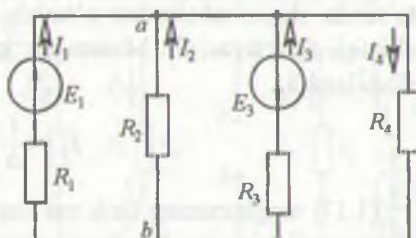
$$U_{ab} = \frac{JE_k G_k + \sum I_k}{JG_n}.$$

Kuchlanishni hisoblaganimizdan keyin har bir shoxobchadagi Om qonuniga binoan topamiz:

$$I_n = G_n(E - U_{ab}),$$

onda  $n$ -parallel shoxobchalar soni.

Mesnula. 1.37-rasmida berilgan zanjiridagi toklarni ikki tugun usuli yordamida aniqlang va quvvatlar balansini tekshiring.  $E_1 = 110 \text{ V}$ ,  $E_2 = 48 \text{ V}$ ,  $R_1 = 2 \Omega$ ,  $R_2 = 4 \Omega$ ,  $R_3 = 2 \Omega$ ,  $R_4 = 10 \Omega$ .



1.37-rasm.

Yechish.

$$U_{ab} = \frac{G_1 E_1 - G_3 E_3}{G_1 + G_2 + G_3 + G_4} = \frac{0,5 \cdot 110 - 0,5 \cdot 48}{0,5 + 0,25 + 0,5 + 0,1} = \frac{31}{1,35} = 22,96 \text{ V},$$

$$I_1 = \frac{E_1 - U_{ab}}{R_1} = \frac{110 - 22,96}{2} = \frac{87,04}{2} = 43,52 \text{ A},$$

$$I_2 = \frac{E_2 - U_{ab}}{R_2} = \frac{0 - 22,96}{4} = -5,74 \text{ A},$$

$$I_3 = \frac{-E_3 - U_{ab}}{R_3} = \frac{-48 - 22,96}{2} = \frac{-70,96}{2} = -35,48 \text{ A},$$

$$I_4 = \frac{E_4 + U_{ab}}{R_4} = \frac{0 + 22,96}{10} = 2,3 \text{ A}.$$

Quvvatlar balansini tekshirish uchun iste'molchi va manba quvvatlarini hisoblaymiz:

$$\begin{aligned} P_{ist} &= R_1 I_1^2 + R_2 I_2^2 + R_3 I_3^2 + R_4 I_4^2 = 2 \cdot (43,52)^2 + 4 \cdot (-5,74)^2 + \\ &+ 2 \cdot (-35,48)^2 + 10 \cdot (-2,29)^2 = 6489,87 \approx 6490 \text{ W}, \end{aligned}$$

$$P_M = E_1 I_1 - E_3 I_3 = 110 \cdot 43,52 - 48(-35,48) = 6490,2 \text{ W}.$$

Demak,  $P_{manba} \approx P_{ist}$ .

### 1.13. USTMA-USTLASH PRINSIPI VA UNI ELEKTR ZANJIRLARINI HISOBЛАSHDA QO'LLASH

*Ustma-ustlash teoremasi.* Chiziqli elektr zanjirlarida o'zaro bog'liq bo'limgan bir nechta manbalarning umumiy ta'siri alohida olingan haqda bir manba ta'siri natijalarining algebraik yig'indisiga teng.

Ma'lumki, kontur toklar usuliga binoan elektr zanjirida EYK manba ta'sirida shoxobchalardan o'tuvchi kontur toklar kontur EYK larini chiziqli funksiyasidir. Matematik ko'rinishda bu quyidagi tenglik bilan ifodalanadi:

$$I_k = \frac{1}{\Delta} \sum_{i=1}^n \Delta_{ik} E_i \quad (1.1)$$

(1.17) tenglamaning fizik ma'nosi shundan iboratki, murakkab chiziqli elektr zanjirining har bir shoxobchasi dagi tok alohida olingan har bir  $E_i$  manbaining ta'siridan hosil bo'lgan toklarning algebraik yig'indisiga teng.

Bu prinsip *superpozitsiya* (ustma-ustlash) prinsipi deyiladi. Ushbu prinsipga asosan kontur yoki shoxobchadagi toklarni aniqlash usuli *ustma-ustlash usuli* deb ataladi.

Murakkab elektr zanjirni ustma-ustlash usulida hisoblash quyidagi ketma-ketlikda bajariladi:

a) har bir EYK manbai ta'siridan shoxobchalarda hosil bo'lgan xususiy toklar aniqlanadi, bunda fikran sxemada yagona EYK manbai qoldirilib, boshqa EYK lar olib tashlanadi va ularning ichki qarshiliklari zanjirga EYK lar o'miga ulangan deb qabul qilinadi;

b) shoxobchalardagi haqiqiy toklar esa alohida hisoblangan xususiy ularning algebraik yig'indisiga teng bo'ladi.

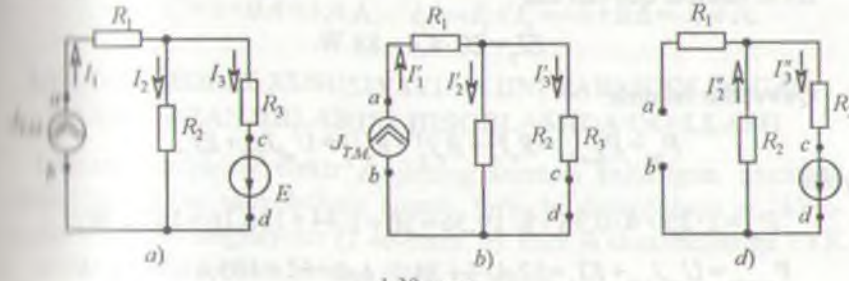
Agar chiziqli zanjirda tok manbalari ulangan bo'lsa, tugunlardagi potensiallar yoki shoxobchalardagi kuchlanishlar har bir tok manbai toklarning chiziqli funksiyasi bo'ladi. Ular matematik ko'rinishda quyidagi formula bilan ifodalandi:

$$\varphi_k(U_k) = \frac{1}{\Delta} \sum_{i=1}^{q-1} I_i \Delta_{ik}. \quad (1.18)$$

(1.18) formulaning fizik ma'nosi: chiziqli elektr zanjirda har bir tuguning potensiali shu tugunda alohida har bir tok manbaining ta'siridan hosil bo'lgan potensialarning algebraik yig'indisiga tengdir. Ustma-ustlash usuliga binoan har bir tugun potensialini aniqlashda fikran bitta tok manbini qoldirilib, qolganlari sxemadan chiqariladi, ularning o'rniga esa buk manbalarining ichki o'tkazuvchanliklari ulangan deb qaraladi (ideal buk manbaida  $G_{ik} = 0$  bo'lganligi sababli shoxobcha uzuq qoldiriladi).

Agar murakkab zanjirga bir vaqtda EYK va tok manbalari ulangan bo'lsa, bunda ham ustma-ustlash usulini qo'llash mumkin.

**Masala.** 1.38-rasmdagi sxema uchun ustma-ustlash usuli yordamida shoxobchalardagi toklarni aniqlang va quvvatlar balansini tekshiring.



1.38-rasm.

Berilgan:  $R_1 = 2 \Omega$ ,  $R_2 = 4 \Omega$ ,  $R_3 = 6 \Omega$ ,  $I_{TM} = 5 \text{ A}$ ,  $E = 24 \text{ V}$ .

**Yechish.** a) shoxobchalardagi toklar yo'nalishini ixtiyoriy belgilaym  
EYK manbaini sxemadan chiqarib tashlab,  $c$  va  $d$  nuqtalarni birlash  
ramiz. EYK manbaining ichki qarshiligi  $r_{ik} = 0$  (1.38-rasm,  $b$ ). Si  
sxema uchun shoxobchalarda tok manbai ta'siridan hosil bo'lgan xusu  
toklarni aniqlaymiz:

$$I_1^1 = J_{TM} = 5 \text{ A}, \quad I_2^* = I_1^* \frac{R_2 R_3}{(R_2 + R_3) R_2} = 3 \text{ A}, \quad I_3^* = I_1^* \frac{R_2 R_3}{(R_2 + R_3) R_3} = 2 \text{ A}.$$

Endi EYK manbai ta'siridan zanjir shoxobchalaridagi xususiy tokla  
aniqlaymiz. Bunda tok manbai sxemadan olib tashlangan hamda  $a$  va  
nuqtalar orasi uzilgan, chunki tok manbaining ichki o'tkazuvchanligi  
 $G_{ich} = 0$  ga teng (1.38-rasm,  $d$ ). Demak, 1.38-rasm,  $d$  uchun:

$$I_1^* = 0; \quad I_2^* = I_3^* = E / (R_2 + R_3) = \frac{24}{10} = 2,4 \text{ A}.$$

b) ustma-ustlash prinsipidan foydalanib har bir shoxobchadagi haqiqi  
toklarni aniqlaymiz:

$$I_1 = I_1' + I_1'' = 5 + 0 = 5 \text{ A}, \quad I_2 = I_2' - I_2'' = 3 - 2,4 = 0,6 \text{ A},$$

$$I_3 = I_3' + I_3'' = 2 + 2,4 = 4,4 \text{ A}.$$

$a$  nuqtaning potensiali:

$$\varphi_a = \varphi_b + R_2 I_2 + R_1 I_1, \quad U_{ab} = \varphi_a - \varphi_b = R_2 I_2 + R_1 I_1 = 4 \cdot 0,6 + 2 \cdot 5 = 12,4 \text{ V}.$$

Tok manbai quvvati:

$$P_{ab} = U_{ab} J_{TM} = 12,4 \cdot 5 = 62,0 \text{ W}.$$

EYK manbai quvvati esa

$$EI_3 = 20 \cdot 4,4 = 88 \text{ W}.$$

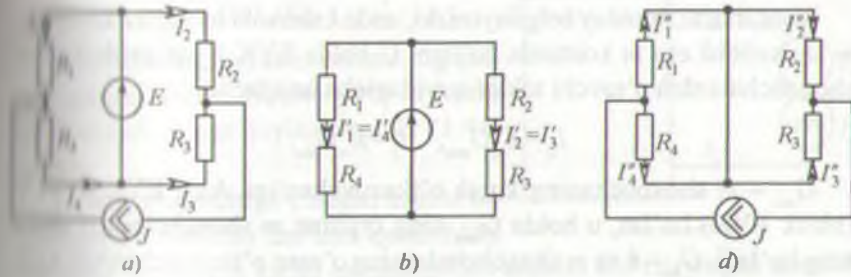
Quvvatlar balansi:

$$P_{ist} = P_{manba} = R_1 I_1^2 + R_2 I_2^2 + R_3 I_3^2 = U_{ab} J_{TM} + EI_3,$$

yoki

$$P_{ist} = 2 \cdot 25 + 4 \cdot 0,36 + 6 \cdot 19,36 = 50 + 1,44 + 116,16 = 167,6 \text{ W},$$

$$P_{manba} = U_{ab} J_{TM} + EI_3 = 12,4 \cdot 5 + 24,4 \cdot 4,4 = 62 + 105,6 = 167,6 \text{ W}.$$



1.39-rasm.

Mumkin, 1.39-rasmda keltirilgan zanjir shoxobchalaridagi toklar ustmashtash usulida aniqlansin.  $E=5$  V,  $J=1$  A,  $R_1=R_2=2\Omega$ ,  $R_3=R_4=3\Omega$ .

Vechish. Toklarni aniqlash uchun ikkita alohida zanjir toklarini hisoblash kerak (1.39-b va d rasmlari).

$$I_1^1 = I_4^1 = E / (R_1 + R_4) = 5 / (2 + 3) = 1 \text{ A},$$

$$I_2^1 = I_3^1 = E / (R_2 + R_3) = 5 / (2 + 3) = 1 \text{ A}.$$

EYK manbai tufayli  $R_1$  va  $R_4$ ,  $R_2$  va  $R_3$  qarshiliklar parallel ulangan, shuning uchun  $J$  tok manbaidan shoxobchalarda hosil bo'lgan qismiy toklar  $I_1^*$  va  $I_4^*$  yoki  $R_2$  va  $R_3$  lar orqali hisoblanadi:

$$I_1^* = J \frac{R_4}{R_1 + R_4} = 1 \cdot \frac{3}{3+2} = 0,6 \text{ A}, I_4^* = J \frac{R_1}{R_1 + R_4} = 1 \cdot \frac{2}{5} = 0,4 \text{ A},$$

$$I_2^* = J \frac{R_3}{R_2 + R_3} = 1 \cdot \frac{2}{2+3} = 0,4 \text{ A}, I_3^* = J \frac{R_2}{R_2 + R_3} = 1 \cdot \frac{3}{2+3} = 0,6 \text{ A}.$$

Bu ilg'un sxema shoxobchalaridagi toklar alohida ajratilgan sxemalar shoxobchalaridagi toklarning algebraik yig'indisiga teng:

$$I_1 = I_1^* - I_1'' = 1 - 0,6 = 0,4 \text{ A}; \quad I_4 = I_4^* + I_4'' = 1 + 0,4 = 1,4 \text{ A};$$

$$I_2 = I_2^* + I_2'' = 1 + 0,4 = 1,4 \text{ A}; \quad I_3 = -I_3^* + I_3'' = -1 + 0,6 = -0,4 \text{ A}.$$

## 1.14. O'ZAROLIK XUSUSIYATI VA UNI TARMOQLANGAN ELEKTR ZANJIRLARINI HISOBBLASHDA QO'LLASH

1.40-rasmda passiv elektr zanjirning sxemasi keltirilgan. Sxemada bor ikkita shoxobchani ajratib, birinchi shoxobchani  $m$ , ikkinchi esa  $k$  deb belgilaymiz (1.40-rasm, a). Endi  $m$  shaxobchasiga EYK ni kiritamiz (sxemada boshqa EYK lar yo'q).

Konturlarni shunday belgilaymizki, unda  $k$  shoxobchaga faqat  $k$  kontur  $m$  shoxobchaga esa  $m$  konturda bo'lsin. U holda EYK  $E_m$  ta'sirida  $k$  va  $m$  shoxobchalaridan o'tuvchi toklar quyidagicha aniqlanadi:

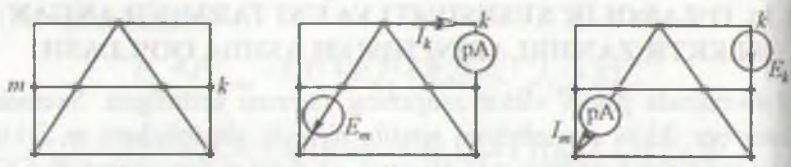
$$I_m = E_m G_{mm}, \quad I_k = E_m G_{km}.$$

$G_{mm}$  –  $m$  shoxobchaning kirish o'tkazuvchanligi. Agar EYK  $E_m = 1V$  (birlik EYK) bo'lsa, u holda  $G_{mm}$  ning qiymati  $m$  shoxobchadagi tokka teng bo'ladi.  $G_{km}$  –  $k$  va  $m$  shoxobchalarining o'zaro o'tkazuvchanligi. Agar  $m$  shaxobchaga  $E_m = 1V$  birlik EYK manbai ulansa,  $G_{km}$  ning qiymati  $m$  shoxobchadagi tokka teng bo'ladi. Kirish va o'zaro o'tkazuvchanliklari chiziqli elektr zanjirlarining umumiy xususiyatlarini aniqlash va zanjim ustma-ustlash usuli yordamida hisoblashda foydalilanadi. Kirish va o'zaro o'tkazuvchanliklarni hisoblash yoki tajriba orqali aniqlash mumkin. Berilgan sxema uchun kontur toklar usulidan foydalananib tenglamalas tuziladi. Bunda  $m$  va  $k$  shaxobchalarining har biri o'z konturiga kirdi. Shu konturlarning kirish va o'zaro o'tkazuvchanliklari bosh aniqlovchi va unga tegishli algebraik to'ldiruvchilar yordamida hisoblanadi:

$$G_{mm} = \Delta_{mm} / \Delta, \quad G_{km} = \Delta_{km} / \Delta. \quad (1.19)$$

(1.19) formulada  $G_{km}$ -musbat yoki manfiy bo'lishi mumkin. Agar EYK  $E_m$   $m$  konturga ulanganda  $k$  shoxobchada hosil bo'lgan tok yo'naliishi konturda dastlab ixtiyoriy qabul qilingan  $I_k$  kontur tokning yo'naliishi bilan bir xil bo'lsa, u holda  $E_m$  musbat ishora, aks holda esa manfiy ishora bilan olinadi.

$G_{mm}$  va  $G_{km}$  larni tajriba yo'li bilan aniqlashda sxemanining  $m$  shoxobchadagi EYK ta'sirida  $k$  shoxobchadagi tokni o'lchash uchun ampermetr ulanadi (1.40-rasm, b).  $k$  shoxobchadagi tokni EYK  $E_k$  ga nisbatli  $G_{km}$  o'tkazuvchanlikka teng bo'ladi. Kirish o'tkazuvchanlik  $G_{mm}$  ni aniqlash uchun  $m$  shoxobchadagi  $I_m$  tokni o'lchash kerak va uni shoxobchaga ulangan EYK  $E_m$  ga bo'lish kerak (1.40-rasm, d):

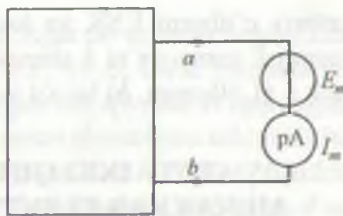


1.40-rasm.

$$G_{mm} = I_m / E_m.$$

$m$  shoxobchani ajratib, sxemaning qol-  
ni qismini (ya'ni EYK yo'q qismini)  
i'tburchak ichiga joylashtiramiz (1.41-  
rasm).

Io'rtburchak ichiga olingan sxema  $ab$   
tumlariga nisbatan ma'lum qarshilikka



1.41-rasm.

va u sxemaning kirish qarshiligi deb ataladi. Ko'rileyotgan misolda  
shoxobchaning  $ab$  qismalariga nisbatan kirish qarshiligi

$$R_{kir} = \frac{E_m}{I_m} = \frac{1}{G_{mm}}.$$

Shunday qilib,  $m$  shoxobchaning kirish qarshiligi shu shoxobcha  
tkazuvchanligining teskari qiymatidir. Bu qarshilikni  $m$  konturning  
mumiy qarshiligi bilan, masalan kontur toklar usulidagi konturning  
mumiy qarshiligi bilan almashtirish mumkin emas.

Teorema: har qanday chiziqli elektr zanjirida  $m$  shoxobchadagi  
YK  $E_k$  ta'siridan  $k$  shoxobchada hosil bo'ladigan tok  $I_k = G_{mk} E_m$  ifoda  
slam aniqlanadi va bu tok  $m$  shoxobchadagi  $I_m$  tokka teng bo'лади. Agar  
bu tokning sababchisi EYK  $E_k$  qiymati jihatidan EYK  $E_m$  ga teng va k  
shoxobchada bo'lsa, u holda  $I_m = G_{mk} E_k$ .

O'zarolik teoremasini isbot qilish uchun 1.40-rasm, a ga c'tibor  
hamiz. Sxemadan  $k$  va  $m$  shoxobchalarni ajratamiz.  $m$  shoxobchaga  
YK  $E_m$  ni,  $k$  shoxobchaga esa ampermetr  $pA$  ni ulab, tok  $I_k$  ni o'lchaymiz  
(1.40-rasm, b).  $k$  va  $m$  shoxobchalar faqat mos ravishda tegishli  $k$  va  $m$   
konturlarga kiradi, deb qaraymiz. U holda kontur toklar usuliga ko'ra  
 $I_k = E_m (\Delta_{mk} / \Delta)$  bo'лади.

Keyin EYK bilan ampermetr o'mini almashtiramiz, ya'ni EYKni  $m$   
shoxobchaga o'tkazamiz va uni endi  $E_k$  deb olamiz, ampermetrni esa,  $k$   
shoxobchadan  $m$  shoxobchaga ko'chiramiz (1.40-rasm, d). Bu holda tok

$$I_{mm} = E_k (\Delta_{mk} / \Delta), E_k = E_m, \Delta_{mk} = \Delta_{km}$$

liganligi uchun sistema determinanti  $\Delta$  asosiy diagonaliga nisbatan  
simmetrik bo'лади. Shuning uchun 1.40-rasm, b dagi tok  $I_k$  1.40-rasm,  
dagi  $I_m$  tokka teng bo'лади. O'zarolik teoremasi amalda ishlatilganda

asosiy e'tiborni EYK va tok yo'nalishlarining o'zaro to'g'ri kelishi  
qaratish zarur, ya'ni  $k$  shoxobchadagi EYK  $E_k$  (1.40-rasm, *d*) va kontra  
tok  $I$  (1.40-rasm, *b*) bir xil yo'nalishda bo'lishi lozim.

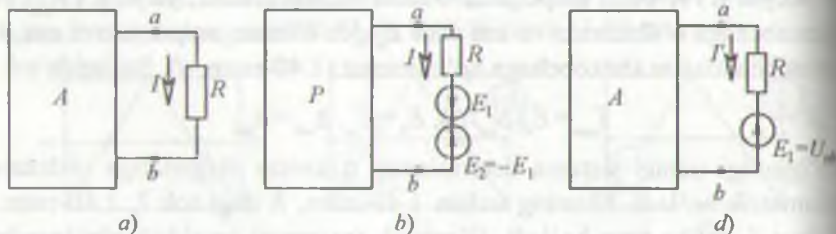
### 1.15. AKTIV IKKI QUTBLIK HAQIDA TEOREMA VA UNI MURAKKAB ELEKTR ZANJIRLARNI HISOBBLASHDA QO'LLASH. EKVIVALENT GENERATOR USULI

Elektr zanjirlar nazariyasida ikki qutblik tushunchasi keng qo'llaniladi.  
Har qanday elektr sxemada fikran biror shoxobchani ajratib olib sxemaning  
qolgan elementlarini tartibli ravishda to'rtburchak ichiga joylashtirish  
mumkin. To'rtburchak ichiga olingen sxema ajratilgan shoxobchaga  
nisbatan *ekvivalent ikki qutblik* deb ataladi. Demak, ikki qutblik —  
elektr zanjir sxemasining umumiyligi nomi bo'lib, u o'zining ikki qismalari  
(qutblari) bilan ajratilgan shaxobchaga ulanadi.

Agar ikki qutblikda EYK yoki tok manbai bo'lsa, u holda bunday  
ikki qutblik *aktiv ikki qutblik* deb ataladi va to'rtburchak ichiga *A* harfi  
yoziladi (1.42-rasm, *a*).

Agar ikki qutblikda EYK yoki tok manbalari bo'limasa yoki ul  
o'zaro kompensatsiyalangan bo'lsa, u holda bunday ikki qutblik *pasif*  
*ikki qutblik* deb ataladi va to'rtburchak ichiga *P* harfi yoziladi.

Ajratilgan shoxobchaga nisbatan ikki qutblikli elektr zanjirni hisob  
lashda ikki qutblikni ekvivalent generator bilan almashtirib, uning EYK  
ajratilgan shoxobchaning qismalaridagi salt rejimdagi kuchlanishiga,  
ichki qarshiligi esa ikki qutblikning kirish qarshiligiga teng qilib olinadi.  
Masalan, berilgan zanjirming *ab* shoxobchasidagi tok aniqlanishi kerak  
bo'lsin (1.42-rasm, *a*). Buning uchun zanjirning qolgan qismini fikran  
to'rtburchak ichiga olib hamda sxemadagi EYK va qarshiliklari



1.42-rasm.

ivalent parametrlar bilan almashtiramiz. Agar  $ab$  shoxobchaga ikkita bir xil va o'zaro teskari yo'nalgan  $E_1$  va  $E_2$  EYK manbalarini u holda shu shoxobchadan o'tayotgan tok qiymati o'zgarmaydi (rasm, b). Superpozitsiya prinsipiiga asosan shoxobcha tokini ikkita  $I'$  toklar yig'indisidan iborat deb qaraymiz. Tok  $I'$  EYK  $E_1$  manbai o'tadi. Shu sababdan  $I'$  va  $I''$  toklarni aniqlashda 1.42-rasm d va rasm a dan foydalanamiz.

Pasiv ikki qutblik sxemasida barcha EYK manbalari olib tashlanadi, bu manbalar ichki qarshiliklari sxemada qoldiriladi. EYK  $E_1$  shinanish  $U_{ab}$  ga teskari yo'nalgan. Zanjirning EYK manbai bo'lgan obhasi uchun Om qonuniga asosan:

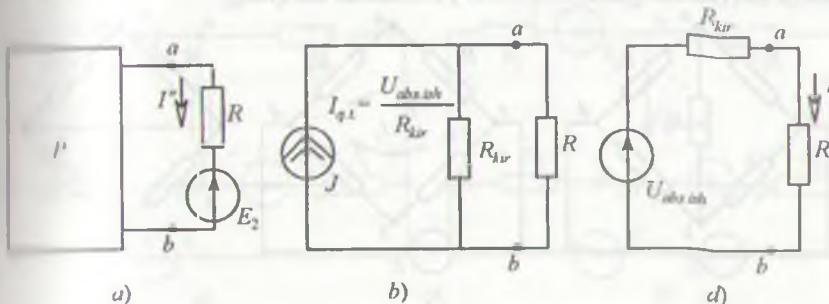
$$I' = U_{ab} - E_1 / R.$$

Indi  $E_1$  EYK qiymatini o'zgartirib tok  $I'$  ifodasini nolga tenglab deyiladi. Salt ish rejimida  $ab$  qismalardagi kuchlanishni  $U_{ab,ish}$  belgilaymiz. Agar  $E_1$  EYKni  $U_{ab,ish}$  ga teng qilib olsak, unda  $I'=0$  deyiladi. Umumiy tok  $I=I'+I''$ , bizda esa  $I'=0$ , shuning uchun  $I=I''$ . Tok sxemaga asosan (1.43-rasm, d) quyidagicha aniqlanadi:

$$I'' = \frac{U_{ab,ish}}{R+R_{k_{ab}}} = \frac{U_{ab,ish}}{R+R_{k_{ab}}} = I. \quad (1.20)$$

Ifodada  $R_{k_{ab}}$  ikki qutblikning  $ab$  qismalariga nisbatan kirish qarshiligidir.

(1.20) tenglamaga 1.43-rasm, v dagi ekvivalent sxema mos kladidi. Dondiry EYK li ikki qutblikni  $E=U_{ab,ish}$  va qarshiligi  $R_{k_{ab}}$  ga teng bo'lgan



1.43-rasm.

ekvivalent generator bilan almashtirish mumkin. Shuning uchun bu usul *ekvivalent generator usuli* deb ataladi. Ba'zi adabiyotlarda bu usul *aktsi* ikki qutblik yoki salt ish va qisqa tutashish usuli deb ham nomlangan.

Bu usulda tokni aniqlash quyidagi ketma-ketlikda bajariladi:

a) elektr zanjir sxemasidan *ab* shoxobchasini fikran uzib, uning qismalaridagi kuchlanish aniqlanadi;

b) *ab* qismalariga nisbatan ichki EYK manbalari qisqa tutashtirilganda kirish qarshiligi  $R_{kir}$  hisoblanadi;

d) shoxobchadan o'tayotgan tok quyidagi formula yordamida topiladi:

$$I = U_{ab.s.ish} / (R + R_{kir}). \quad (1.21)$$

Agar *ab* shoxobchadagi qarshilikni nolga tenglasak ( $R_{ab} = 0$ ), u holda sxemada qisqa tutashish rejimi bo'ladi va shoxobchadan o'tuvchi tok qisqa tutashish toki bo'ladi ( $I_{q.t}$ ). (1.21) formulada  $R=0$  bo'lganida

$$I_{q.t} = U_{ab.s.ish} / R_{kir} \quad \text{yoki} \quad R_{kir} = U_{ab.s.ish} / I_{q.t} \quad (1.22)$$

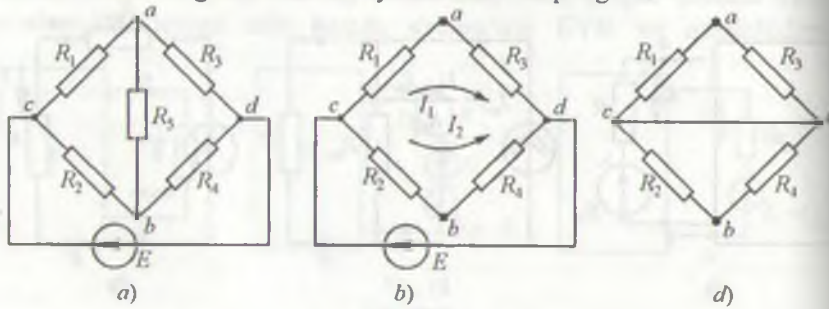
topiladi.

(1.22) formuladan ko'rinish turibdiki,  $U_{ab.s.ish}$  va  $R_{kir}$  larni aniqlash uchun oddiy tajriba usulidan foydalanish mumkin.

Buning uchun *ab* qismalaridagi salt ish rejimidagi kuchlanish  $U_{ab.s.ish}$  o'lchanadi va zanjir qisqa tutashish rejimiga o'tkazilib, shoxobchadagi qisqa tutashish toki  $I_{q.t}$  aniqlanadi, keyin  $R_{kir}$  hisoblanadi:

$$R_{kir} = U_{ab.s.ish} / I_{q.t}$$

**Masala.** 1.44-rasm, a) da keltirilgan ko'priksxemaning *ab* diagonalidagi tokni ekvivalent generator usuli yordamida aniqlang.



1.44-rasm.

Berilgan:  $R_1 = R_4 = 1 \Omega$ ,  $R_2 = 4 \Omega$ ,  $R_3 = 2 \Omega$ ,  $R_5 = 2 \Omega$ ,  $E_1 = 10 \text{ V}$ .

Yechish.  $ab$  shoxobchani uzamiz (1.44-rasm, b) va salt ish rejimi bo‘lib  $U_{ab}$  kuchlanishni aniqlaymiz:

$$\varphi_a = \varphi_b + R_2 I_2 - R_1 I_1 = \varphi_b + \frac{R_2 E}{R_2 + R_4} - \frac{R_1 E}{R_1 + R_3}$$

$$U_{ab,ish} = \varphi_a - \varphi_b = \left( \frac{R_2}{R_2 + R_4} - \frac{R_1}{R_1 + R_3} \right) E = \left( \frac{4}{4+1} - \frac{1}{1+2} \right) 10 = 4,67 \text{ V}.$$

$ab$  qismalariga nisbatan EYK manbai qisqa tutashtirilgan holdagi kirish shiligidini aniqlaymiz (1.44-rasm, d). Bu holda sxemadagi c va d nuqtalar qisqa tutashtirilgan. Shuni hisobga olsak:

$$R_{kir} = \frac{R_1 R_3}{R_1 + R_3} + \frac{R_2 R_4}{R_2 + R_4} = \frac{1 \cdot 2}{1+2} + \frac{4 \cdot 1}{4+1} \approx 1,47 \Omega$$

$ab$  shoxobchadagi tok esa

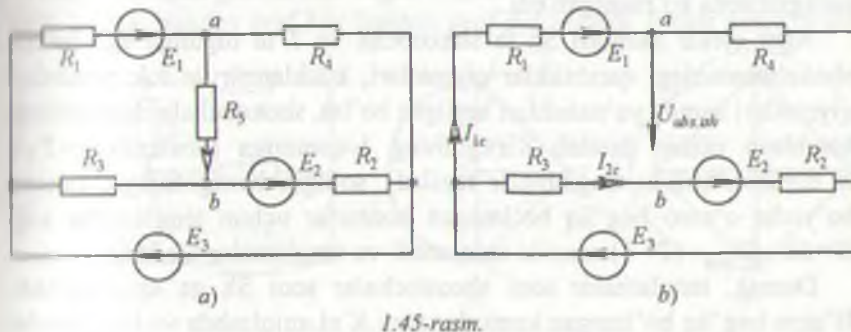
$$I = \frac{U_{ab,ish}}{R_5 + R_{kir}} = \frac{4,67}{2+1,47} = \frac{4,67}{3,47} = 1,39 \text{ A}.$$

Masala. Berilgan zanjirdagi (1.45-rasm, a)  $I_s$  tok ekvivalent generator usulida aniqlansin.

$$E_1 = 50 \text{ V}; E_2 = 80 \text{ V}; E_3 = 100 \text{ V}; R_4 = 20 \Omega; R_1 = 10 \Omega;$$

$$R_2 = 20 \Omega; R_3 = 40 \Omega; R_5 = 20 \Omega.$$

Yechish. Tokni aniqlash kerak bo‘lgan shoxobchani uzamiz va uzilish nuqtalari  $ab$  orasidagi  $U_{ab,ish}$  kuchlanishni aniqlaymiz. Hosil bo‘lgan sxema 1.45-rasm b da keltirilgan.



1.45-rasm.

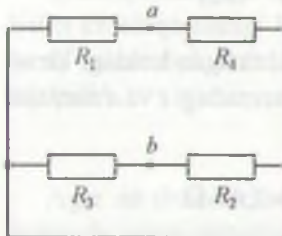
Kirxgofning ikkinchi qonunidan:

$$E_3 + E_1 = (R_4 + R_1)I_{1s.ish.}, \quad E_3 + E_2 = (R_3 + R_2)I_{2s.ish.}$$

1.45-rasm, *b* dagi zanjir shoxobchalaridagi toklarni aniqlaymiz:

$$I_{1s.ish.} = \frac{(E_3 + E_1)}{(R_4 + R_1)} = \frac{100+50}{20+10} = 5 \text{ A}, \quad I_{2s.ish.} = \frac{(E_3 + E_2)}{(R_3 + R_2)} = \frac{(100+80)}{(40+20)} = 3 \text{ A}.$$

2. Salt ish kuchlanishi:



1.45-rasm.

$$U_{ab.s.ish.} = j_a - j_b = E_1 - R_1 I_{1s.ish.} + R_3 I_{2s.ish.} = 50 - 10 \cdot 5 + 40 \cdot 3 = 120 \text{ V}.$$

Uzilgan nuqtalarga nisbatan butun zanjirning kirish qarshiligidini aniqlaymiz. Bunda uchali EYK manbalarini fikran qisqa tutashtiramiz (1.46-rasm):

$$R_{kir} = \frac{R_1 R_4}{R_1 + R_4} + \frac{R_2 R_3}{R_2 + R_3} = \frac{10 \cdot 20}{10+20} + \frac{20 \cdot 40}{20+40} = 20 \Omega$$

3. Izlanayotgan tokni hisoblaymiz:

$$I_5 = \frac{U_{ab.s.ish.}}{R_{kir} + R_5} = \frac{120}{20+20} = 3 \text{ A}.$$

## 1.16. ASOSIY TOPOLOGIK TUSHUNCHALAR VA ULARNI ELEKTR ZANJIRLARNI HISOBBLASHDA QO'LLASH

Elektr zanjirlarini hisoblashda izlanayotgan elektr kattaliklar va ularning nisbatlarini aniqlash uchun umumiy holda Kirxgof qonunlari asosida tuzilgan tenglamalar sistemasini yechish zarurligi avvalgi paragraflarda ko'rsatilgan edi.

Agar elektr sxemasi Sh ta shaxobcha va *T* ta tugunga ega bo'lib, shoxobchalaridagi qarshiliklar qiymatlari, kuchlanish va tok manbalari qiymatlari hamda yo'naliishlari berilgan bo'lsa, shoxobchalaridagi toklarni hisoblash uchun dastlab Kirxgofning 1-qonuniga asoslanib  $y = T - 1$  ta tugunlar uchun tenglamalar tuziladi, so'ngra Kirxgofning 2-qonuni bo'yicha o'zaro bog'liq bo'lmasan konturlar uchun tenglamalar soni  $K = Sh - Sh_{T.M.} - (T - 1)$  asosida aniqlanadi va tenglamalar tuziladi.

Demak, tenglamalar soni shoxobchalar soni Sh ga teng bo'ladi. O'zaro bog'liq bo'lmasan konturlar soni  $K$  ni aniqlashda va tenglamalar

Elektr zanjiri sxemasini *graf shaklida* ifodalash elektr zanjirlarini  
tasvirlashda ma'lum qulayliklar yaratadi.

Elektr zanjiri shoxobchalarini o'zaro birlashtirishni chizmada ifoda  
lovchi geometrik struktura sxema grafi deb ataladi. *Graf — elektr zanjiri*  
*shaxobchalarini barcha axborotni o'zida mujassamlushtiruvchi geometrik*  
*strukturasiyalarni iborat chizmadir.* Bu chizmada elektr zanjiri shaxobchalar  
bilan, tugunlar esa nuqta bilan, kuchlanish manbai qisqa tutashgan  
shaxobcha, tok manbai uzilgan shoxobcha yordamida ko'rsatiladi. Shun  
qilib graf bu ikki xil elementlar tizimidir. Bunday tizimda tugunlar —  
nuqta bilan, belgilanadi. Shoxobcha — graf qirrasi —  
nuqta bilan ko'rsatiladi. Bu kesma ikkita tugunni o'zaro birlashtiradi.  
Elektr zanjiri grafi har xil ko'rinishda bo'lishi mumkin:

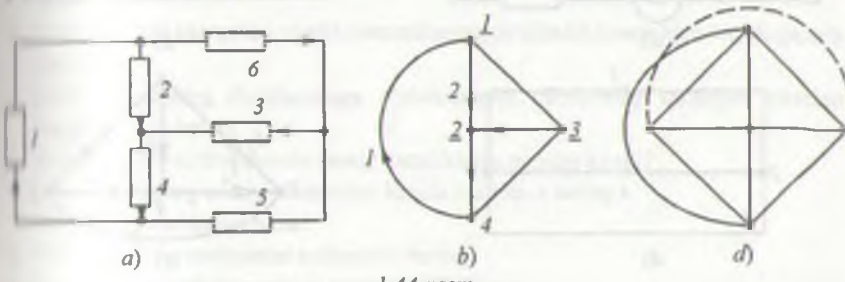
- a) planar-yassi graf,
- b) noplanner-fazoviy graf.

*Planar* graf chizma tekislikligida o'zaro kesishmagan shoxobchalar —  
tugunlar bilan tasvirlanadi (1.47-rasm, a, b).

*Noplanner* grafni chizma tekisligida o'zaro kesishmagan shoxobchalar  
tugun tasvirlab bo'lmaydi. Unda o'zaro kesishgan kesmalar ham bo'ladi  
(1.47-rasm, d).

Agar grafning har qanday qismi tayanch (asosiy) graf elementlaridan  
tashkil topgan bo'lsa, uning bu qismi-*qismiy graf* (*podgraf*) deyiladi.  
Qismiy graf asosiy grafning ba'zi shoxobchalarini (kesmalarini) olib  
tasvirlash natijasida hosil bo'ladi. Qismiy grafning muhim qismi graf yo'li  
deyil, ataladi. U uzlusiz shoxobchalar ketma-ketligidan iborat bo'lib,  
ita tanlangan tugunning bog'lovchisi sifatida oraliqdagi tugunlardan  
tasvirlanib marta o'tadi.

Agar berilgan grafda ikki tugun orasida kamida bitta — yagona graf  
yo'li bo'lsa, bunday graf *bog'langan graf* deb ataladi. Elektr zanjirlarida



bog'langan graf elementlari o'zaro ulangan zanjirni tasvirlaydi. Kirmog' qonunlari asosida berilgan zanjirning elektr holati tenglamalarini tuzishda zanjir shoxobchalaridagi tok yo'nalishi graf kesmalarida belgilanadi. Natijada zanjir shoxobchalari yo'naltirilgan grafi hosil bo'lib, bunday graf yo'naltirilgan graf deyiladi.

Demak, graf dagi yo'nalishlar elektr zanjiri shoxobchalaridagi tok yo'nalishlarini ko'rsatadi.

Barcha tugunlarni o'z ichiga olgan grafning qismi berk kontur bo'lsa, uni *graf daraxti* deb ataladi.

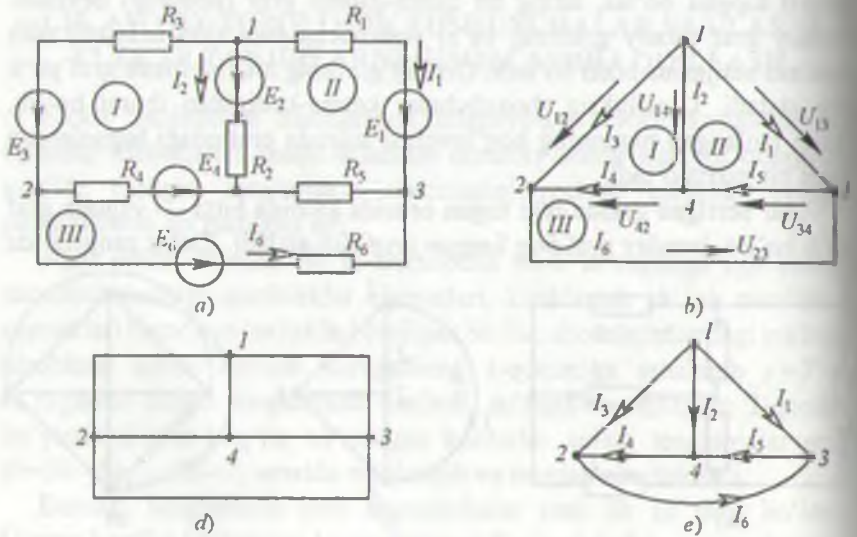
Graf daraxtining shoxobchalari — kesmalari elektr zanjiri sxemasida tugunlar sonidan bittaga kam bo'ladi, ya'ni (*T-1*) ga teng.

Graf daraxtining tarkibiga kirmagan shoxobchalar vatarlar yoki *graf daraxtining asosiy shoxobchalari* deyiladi.

Graf daraxti asosiy shoxobchalarining yig'indisi *daraxt to'ldiruvchi* deb ataladi.

Shunday qilib, elektr zanjirining grafi Sh ta shoxobchaga, graf daraxti (*T-1*) shoxobchaga ega bo'lib, daraxtning asosiy shoxobchalari soni [*Sh*] (*T-1*) ga teng. Bu esa o'zaro bog'liq bo'limgan konturlar soniga tengdir.

Endi misol tariqasida quyidagi elektr zanjiri sxemasi (1.48-rasm, a) va uning grafini keltiramiz.



1.48-rasm.

1.48-rasin, *a* dagi sxema grafini har xil ko'rinishda tasvirlash mumkin (1.48-rasm, *b* da yo'naltirilmagan graf va 1.48-rasm, *d*, *e*, larda yo'naltirilgan graflar keltirilgan).

Yo'naltirilgan graf (1.48-rasm, *d*) uchun Kirxgof qonunlari bo'yicha tenglamalarni yozish mumkin:

$$\begin{aligned}I_1 + I_2 + I_3 &= 0, \quad I_6 - I_3 - I_4 = 0, \quad I_5 - I_1 - I_6 = 0, \\U_{14} + U_{42} - U_{12} &= 0, \quad U_{13} - U_{23} - U_{12} = 0, \quad U_{23} + U_{34} + U_{42} = 0.\end{aligned}$$

No'nggi tenglamalardagi kuchlanishlar quyidagicha aniqlanadi:

$$\begin{aligned}U_{12} &= -E_3 + R_3 I_3, & U_{23} &= -E_6 + R_6 I_6, \\U_{13} &= -E_1 + R_1 I_1, & U_{34} &= R_5 I_5, \\U_{14} &= -E_2 + R_2 I_2, & U_{42} &= E_2 + R_4 I_4.\end{aligned}$$

### MUSTAQIL TAYYORLANISHGA DOIR REFERAT MAVZULARI

- 1 O'zbekistonni elektrlashtirish tarixi va istiqboli. Mustaqil O'zbekistonning energetik dasturi.
- 2 Kirxgof qonunlari va ularni elektr zanjirlarni hisoblashda qo'llanilishi.
- 3 Elektr zanjirlarida ekvivalent o'zgartirishlar.
- 4 Murakkab zanjirlarni hisoblash usullari va ularni qiyosiy taqqoslash.
- 5 Elektr zanjirlarda energiya va quvvat. Quvvatlar balansi.

### O'Z-O'ZINI SINASH SAVOLLARI

- 1 «Elektrotexnikaning nazariyi asoslari» fanining maxsus fanlarni o'zlashtirishdagi o'tmi haqida so'zlab bering.
- 2 Elektrotexnikaning rivojlanishiga chet el olimlarining qo'shgan hissasi nimalardan ihorat?
- 3 O'zbekistonda energetika va elektrotexnikaning rivojlanish bosqichlari haqida gapirib bering.
- 4 Elektrotexnikaning rivojlanishiga o'zbekistonlik olimlarning qo'shgan hissalari haqida so'zlab bering.
- 5 Elektr zanjirlarni tavsiflovchi asosiy kattaliklarga nimalar kiradi?
- 6 Elektr zanjirining asosiy elementlari haqida ma'lumot bering.
- 7 BYK va tok manbalari nima?
- 8 Om qonuning mohiyatini tushuntirib bering.
- 9 Katta toklarda Om qonuning buzilishini izohlang.

10. Potensial diagramma nima va u qanday quriladi?
11. Elektr zanjirlarida quvvatlar balansi nimadan iborat?
12. Kirxgof qonunlarini ta'riflang va mohiyatini tushuntiring.
13. Kirxgof tenglamalari yordamida murakkab zanjirlarni hisoblash ketma-ketligini aytинг.
14. Elektr zanjiri sxemalarini ekvivalent o'zgartirishlar deganda nimani tushunasiz?
15. Qarshiliklar uchburchagini qarshiliklar yulduziga ekvivalent o'zgartirish qanday amalga oshiriladi?
16. Qarshiliklar yulduzini qarshiliklar uchburchagiga ekvivalent o'zgartirish qanday amalga oshiriladi?
17. EYK va tok manbaiga ega bo'lgan parallel shoxobchalarni ekvivalent o'zgartirishning o'ziga xos xususiyatlarini aytilib bering.
18. Proporsional kattaliklar usulining mohiyati nimadan iborat?
19. Elektr zanjirlarni kontur toklar usuli yordamida hisoblash tartibini aytинг.
20. Tugun potensiallar usulining mohiyati nimadan iborat va u qanday zanjirlarni hisoblashda qulay usul hisoblanadi?
21. Ikki tugun usulining afzalliklarini aytинг.
22. Ustina-ustlash prinsipi nima va u qanday zanjirlarni hisoblashda qo'llaniladi?
23. O'zarolik prinsipining mohiyati nima?
24. Aktiv va passiv ikkiqutbliklar xossalarni aytинг.
25. Elektr zanjirming kirish va shoxobchalararo o'tkazuvehanligi nima?
26. Ekvivalent generator usuli yordamida zanjirlarni hisoblash tartibini aytilib bering.
27. Chiziqli elektr zanjirlarni hisoblash usullarini qiyosiy taqqoslang.

# Ikkinci bob

## BIR FAZALI SINUSOIDAL TOK CHIZIQLARI ELEKTR ZANJIRLARI

### 1. UMUMIY MA'LUMOTLAR

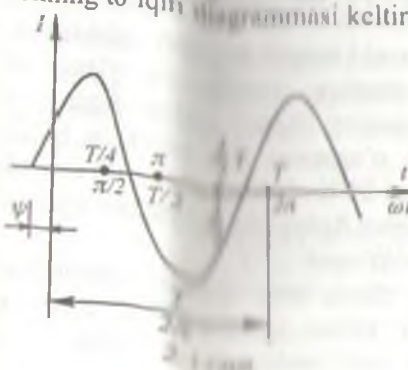
Amaliy elektrenergiyalarda asosiy rolni o'zgaruvchan tok o'yndaydi. Hozirgi vaqtga tani deyarli barcha elektr energiya o'zgaruvchan tok elektr energiyasi bo'yindan ishlab chiqariladi. O'zgaruvchan tokni o'zgarmas tokka qo'shish asosiy avzalligi — uni uzatishda kuchlanishni oson va kam qo'shish bilan o'zgartirish imkoniyatidir. Bundan tashqari, o'zgaruvchan tok generatorlari va motorlari o'zgarmas tok mashinalariga nisbatan tuzilishi shakli, ishlashda ishonchli va narxi arzon.

### 2.2. SINUSOIDAL TOK VA KUCHLANISHLARNING AMPLITUDASI, CHASTOTASI VA FAZASI

Yo'nalishi va amplitudagi davriy ravishda o'zgarib turuvchi EYK, tok va kuchlanish o'zgaruvchan EYK, tok va kuchlanish deyiladi. Vaqt bo'yicha sinusoidal qonuniga ko'ra o'zgaruvchan EYK, tok va kuchlanish *sinusoidal EYK, tok va kuchlanish* deb ataladi. Sinusoidal tok quyidagicha ifodalanadi:

$$i = I_m \sin(\omega t + \psi),$$

bunda  $i$  — tok oniy qiymati, [A],  $I_m$  — tokning maksimal (amplituda) qiymati, [A],  $\omega$  — tokning chastota, [rad/s],  $\psi$  — boshlang'ich faza — faza  $(\omega t + \psi)$  ni.  $t=0$  vaqtdagi qiymati, [grad], 2.1-rasmida sinusoidal tokning to'lqin tebranishining ornatmasi keltirilgan.



Davr  $T$  — bu muayyan vaqt oralig'i bo'lib, tokning o'zgarishi takrorlanadi, ya'ni to'liq bitta to'lqin o'zgarishi kuzatiladi. Bir sekunddag'i davrlar soni *chastota*  $f$  deb ataladi:  $f=1/T$ , [Gs].  $\omega=2\pi f=2\pi/T$  — o'zgaruvchan tokning burchak chastotasi.

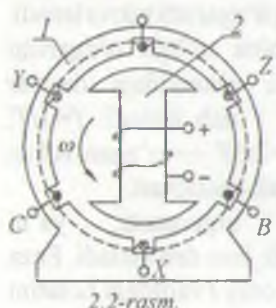
Sinusning argumenti, ya'ni  $(\omega t + \psi)$  kattalik *faza* deb ataladi. Faza tebranishning oniy  $t$  vaqtdagi holatini

tasvirlaydi. Elektrotexnik qurilmalar uchun kuchlanishning chastotasi standartlashtirilgan. Yevropada va mustaqil davlatlar hamdo'stligi hududlarida 50 Gs, AQSh va Yaponiyada esa 60 Gs qilib olingan. Sanoatda maxsus maqsadlar uchun turli xil chastotali o'zgaruvchan toklardan keng foydalaniladi. Masalan, tezyurar yuritmalarda chastotasi 200—400 Gs, elektron qurilmalarda — 500 Gs — 50 MGs va h.k. Radiotexnika, televideniyeda  $3 \cdot 10^{10}$  Gs gacha va sanoat elektronikasining ko'p qurilmalarida nisbatan kichik miqdordagi energiyani elektromagnit to'lqinlar vositasida simsiz uzatish uchun yuqori chastotali o'zgaruvchan toklar zarur. Har qanday sinusoidal o'zgaruvchan funksiya uchta kattalik bilan aniqlanadi: amplituda qiymati, burchak chastotasi va boshlang'ich fazasi. Past chastotali sinusoidal EYK va toklar sinxron generatorlar yordamida hosil qilinadi. Yuqori chastotali sinusoidal EYK va toklar yordamida olinadi.

### 2.3. SINUSOIDAL EYKNI HOSIL QILISH

O'zgaruvchan tokning eng ko'p tarqalgan manbalaridan biri mexanik energiyani elektr energiyasiga aylantirib beruvchi sinxron generatordir. Sinxron generatorda sinusoidal EYK olish uchun doimiy magnit maydonida ramka ko'rinishdagi chulg'am o'zgarmas burchak tezligida aylantiriladi. O'zgaruvchan tok generatorlari ikki asosiy qismdan iborat (2.2-rasm). Qo'zg'almas qism — stator I va aylanuvchi qism-rotor 2 dir. Ularning birida (ko'pincha rotorda) doimiy elektromagnit joylashtirilishi va uning chulg'amlari o'zgarmas tok manbaidan ta'minlanadi.

Silindrsimon statorning ichki yuzasidagi pazlarda joylashgan chulg'amlarda rotoring aylanishi natijasida  $e = Blv$  EYK paydo bo'ladi, bu yerda  $B$ -o'tkazgich simga ta'sir etuvchi magnit maydon induksiyasi.



$I$ -o'tkazgich simning uzunligi,  $v$ -aylanuvchi magnit maydonining chiziqli tezligi. Agar  $I$  va  $v$  kattaliklarni o'zgarmas deb olsak, u holda chulg'amlardagi EYK  $e(t)$  ning o'zgarish qonuni magnit induksiyasi  $B$  ning vaqt bo'yicha o'zgarish qonuni bilan aniqlanadi.

EYK egri chizig'inining shakli sinusoida yaqin bo'lishi uchun generatorning rotorida joylashtirilgan qutb boshmog'i chetidagi havfa

oralig'i uning markaziga nisbatan 1,5...2 marta kattalashtiriladi. Shu sababdan, magnit induksiyaning o'zgarish qonuni stator bilan rotor oralig'ida sinusoidal bo'ladi, qutb boshmoqlarining o'rtasida magnit induksiyasi maksimal bo'lib, qutb boshmoqlarining chetiga qarab kamayib boradi. Agar juft magnit qutblari soni  $p$  va rotorning bir minutdag'i nylanishlar soni  $n$  bo'lsa, u holda o'zgaruvchan EYK ning chastotasi:

$$f = \frac{pn}{60}.$$

Elektrotexnikada o'zgaruvchan tokning keng qo'llanishi elektr enerjiyani markazlashgan holda ishlab chiqarish va uni uzoq masofalarga uzatish masalasi yechilganidan keyin boshlandi.

Energiyani uzatish va taqsimlash iqtisodiy tarafdan hamda xavfsizlik nuqtai nazaridan uzatish uchun yuqori kuchlanishni va taqsimlash uchun esa nisbatan past kuchlanishni ta'lab etadi. O'zgaruvchan tok kuchlanishini o'zgartirish nihoyatda sodda statik apparat — transformator yordamida bajariladi.

Agar bir xil chastotali bir necha sinusoidal funksiyalar (masalan, EYK va tok) sinusoidalarining boshlanishlari mos kelmasa, u holda bu sinusoidalar buza jihatidan bir biriga nisbatan siljigan deyiladi. Faza siljishi tok va EYK boshlang'ich fazalarining ayirmasi bilan o'chanadi, ya'ni  $\varphi = \psi_1 - \psi_2$ .

Agar bir xil chastotali sinusoidal funksiyalar boshlang'ich fazalari bir il bo'lsa, u holda sinusoidalar faza jihatidan mos tushadi. Agar fazalar ayirmasi  $\pm\pi/2$  ga teng bo'lsa, u holda sinusoidalar bir biriga nisbatan kvadraturada deyiladi.

## 2.4. SINUSOIDAL TOK, EYK VA KUCHLANISH TA'SIR ETUVCHI (EFFEKTIV) VA O'RTACHA QIYMATLARI

Sinusoidal o'zgaruvchan kattalikning juda keng ishlataladigan qiymati bu uning ta'sir etuvchi qiymatidir. U effektiv yoki o'rtacha kvadratik qiymat deb ham ataladi. Tokning ta'sir etuvchi qiymati quyidagicha aniqlanadi:

$$I = \sqrt{\frac{1}{T} \int_0^T i^2 dt} = \sqrt{\frac{1}{T} \int_0^T I_m^2 \sin^2(\omega t + \psi_i) dt} = \\ = \sqrt{\frac{I_m^2}{2 \cdot T} \int_0^T [1 - \cos(2\omega t + 2\psi_i)] dt} = \sqrt{\frac{I_m^2}{2T} (T - 0)} = \frac{I_m}{\sqrt{2}} = 0,707 I_m.$$

Demak, sinusoidal tokning ta'sir etuvchi qiymati davr mobaynidagi o'rta kvadratik qiymatiga teng va u tok maksimal qiymatining 70,7 foizini tashkil etadi.

EYK va kuchlanishning ta'sir etuvchi qiymatlari mos ravishda  $E = E_m / \sqrt{2}$ ,  $U = U_m / \sqrt{2}$  ga teng. Rezistordan bir xil vaqtida o'tgan sinusoidal va o'zgarmas toklar energiyasining issiqlik energiyasiga aylanish natijasini taqqoslab ko'ramiz. Rezistordan sinusoidal tok o'tganda bir davr ichida ajralayotgan issiqlik miqdori:

$$Q = \int_0^T r i^2 dt = r I_m^2 \frac{T}{2}.$$

Shu vaqt ichida o'zgarmas tok ta'sirida ajralib chiqqan issiqlik miqdori:

$$Q = rI^2 T.$$

Ularni o'zaro tenglab, quyidagini hosil qilamiz:

$$rI_m^2 (T/2) = rI^2 T \text{ yoki } I = I_m / \sqrt{2}.$$

*Shunday qilib, sinusoidal tokning ta'sir etuvchi qiymati miqdor jihatdan o'zgarmas tokning shunday qiymatiga tengki, unda sinusoidal va o'zgarmas toklar teng vaqt mobaynida rezistordan o'tganda undan ajralib chiqqan issiqlik miqdorlari o'zaro teng bo'ladi.* Ko'pchilik (elektromagnit, ferrodinamik, elektrordinamik, issiqlik va h.k. sistemali) o'lchash asboblari sinusoidal kattalikning ta'sir etuvchi (effektiv) qiymatini o'lchaydi.

Sinusoidal kattalikning amplituda qiymatini ossillograflarda o'lchash yoki ta'sir etuvchi qiymat orqali hisoblab topish mumkin.

Sinusoidal o'zgaruvchan kattaliklarning o'rta qiymati deb, uning yarim davr ichidagi o'rtacha qiymati tushuniladi. Demak, sinusoidal tokning o'rtacha qiymati:

$$I_{o'rtा} = \frac{1}{T/2} \int_0^{T/2} I_m \sin \omega t dt = \frac{2}{\pi} I_m,$$

ya'ni sinusoidal tokning o'rtacha qiymati amplituda qiymatning  $2/\pi = 0,63$  qismini tashkil qiladi. Sinusoidal EYK va kuchlanishlar uchun ham xuddi shunday tengliklar o'rindan:

$$E_{o'rtа} = \frac{2}{\pi} E_m, \quad U_{o'rtа} = \frac{2}{\pi} U_m.$$

Sinusoidal tokning o'ttacha qiymatini magnitoelektrik asbobga ketma-ket yarim o'tkazgichli diod ulab o'chash mumkin.

**1-masala.** Magnit induksiyasi  $B = 0,8 \text{ T}$  bo'lgan birjinsli magnit maydonda uzunligi  $l = 0,25 \text{ m}$  eni  $d = 0,2 \text{ m}$  mis simdan yasalgan ramka  $\omega = 314 \text{ 1/s}$  burchak tezlik bilan aylanmoqda (2.3-rasm).

Ramkadagi mis sim o'ramlar soni  $w = 25$ . Ramkada induksiyalangan EYK ni ramkaning burchak tezligiga bog'liqligini aniqlang.

**Yechish.** Ko'rilyotgan ramka birxil sharoitdaturgan 25 takvadratsimon konturlardan iborat. Binobarin, bitta konturda induksiyalanayotgan YuKnani aniqlab, keyin uni  $w$  ga ko'paytirish kifoya.

Ramka konturida induksiyalanadigan EYK ni  $e_k = -d\Phi/dt$  formula asosida aniqlaymiz. Buning uchun vaqt bo'yicha magnit oqim o'zgarishini bilish lozim. Ramkaning boshlang'ich holatida (2.3-rasm) konturni maksimal magnit oqim  $\Phi$  kesib o'tadi, ixtiyoriy boshqa holatda esa  $\Phi = \Phi_m \cos \omega t = \Phi_m \cos \omega t$ .

Binobarin, bir o'ramdag'i EYK:

$$e_k = -\frac{dF}{dt} = -\frac{d(F_m \cos \omega t)}{dt} = -F_m \omega (-\sin \omega t) = F_m \omega \sin \omega t.$$

Ramkadagi  $w$  o'ramlar uchun esa

$$e = w e_k = -w \frac{dF}{dt} = w F_m \omega \sin \alpha.$$

Bu tenglamaga qiymatlarni qo'yib,  $e = f(\omega)$  ni topamiz

$$e = w \omega B_m l d \sin \omega t = 314 \cdot 25 \cdot 0,8 \cdot 0,2 = 310,8 \sin \omega t \text{ V.}$$

Sinusoidal tok zanjirlarining tahlilida amplituda va shakl koeffitsiyentlaridan keng foydalaniadi.

Amplituda koeffitsiyenti davriy o'zgaruvchi funksianing amplitudasini uning ta'sir etuvchi qiymatiga nisbati bilan aniqlanadi. Sinusoidal tok uchun:

$$k_a = \frac{I_a}{I} = \sqrt{2}.$$

Shakl koeffitsiyenti davriy o'zgaruvchan funksianing ta'sir etuvchi qiymatini uning o'ttacha qiymatiga nisbati bilan aniqlanadi. Sinusoidal tok uchun:

$$k_{sh} = \frac{I}{I_{sh}} = \frac{I_m \sqrt{2}}{(2/\pi) I_m} = \frac{\sqrt{2}}{2/\pi} = 1.11.$$

Shunday qilib, agar so'z davriy o'zgaruvchan kuchlanish va toklar to'g'risida ketsa, u holda odatda ularning ta'sir etuvchi qiymatlari tushuniladi.

Elektrotexnika qurilmalarida juda kichik va katta tok va kuchlanishlar uchraydi. Radiopriyomnik kirishidagi kuchlanish bir necha mikrovolt atrofida bo'ladi. Elektr uzatish liniya simlari orasidagi kuchlanish 500, 750 va 1150  $kV$  larga yetadi. Tranzistorlardagi toklar 1 mA dan ancha kichik, metallurgiyadagi elektr pccchlarda esa tok bir necha yuz kA larga yetadi.

**2-masala.**  $i=310\sin(314t + \psi)$  A tokning  $t=0$  dagi oniy qiymati  $i(0)=269$  A ga teng,  $\psi$ , ning qiymatini toping. Agar shu tok elektromagnit ampermetr bilan o'lchansa, u holda asbob nechani ko'rsatadi?

**Yechish.**  $t=0$  da tokning ifodasi  $i(0)=310\sin\psi=269.0$  A. Bundan,

$$\psi_i = \arcsin \frac{269}{310} = 60^\circ.$$

Elektromagnit sistemali ampermetr tokning ta'sir etuvchi qiymatini ko'rsatadi, ya'ni:  $I = I_m / \sqrt{2} = 310 / \sqrt{2} = 220$  A.

**3-masala.** Ikki juft qutbga ega generator  $n=1500$  ayl/min tezlik bilan aylanmoqda. O'zgaruvchan tok chastotasini aniqlang.

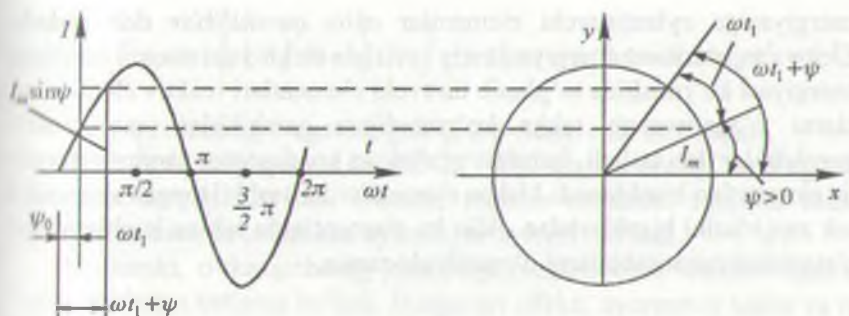
$$\text{Yechish. } f = \frac{pn}{60} = \frac{2 \cdot 1500}{60} = 50 \text{ Gs.}$$

**4-masala.** Chorvoq GES turbogeneratorlari 250 ayl/min tezlik bilan aylanadi. Chastota  $f=50$  Gs bo'lganda generatorlarning juft qutblar sonini aniqlang.

$$\text{Yechish. } p=60f/n=60 \cdot 50/250=12.$$

## 2.5. SINUSOIDAL KATTALIKLARNI VEKTORLAR BILAN TASVIRLASH

Matematika kursidan ma'lumki,  $\omega t$  argumentli sinusoidal funksiya soat mili harakatiga qarama-qarshi yo'nalishda  $\omega t$  radianga buriluvchi birlik radiusning ordinata o'qidagi proyeksiyasini bilan aniqlanadi. Sinusoidal tok  $i$  ga soat mili harakatiga teskari yo'nalishda  $\omega = \text{const}$  burchak tezlik bilan uzlusiz aylanuvchi  $I_m$  radiusli vektor mos keladi. Sinusoidani dekar koordinatalar sistemasida aylanuvchi vektor bilan tasvirlash mumkin (2.4-



2.4-rasm.

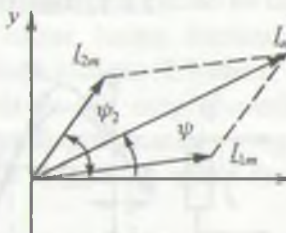
rasm).  $i = I_m \sin(\omega t + \psi)$  tokni aylanuvchi vektor ko'rinishda tasvirlash uchun uzunligi  $I_m$  ga teng bo'lgan vektor abssissa o'qiga nisbatan  $\psi$  burchak ( $\psi$  burchak musbat qiymatga ega bo'lsa, abssissa o'qidan soat mili harakatiga teskari yo'nalishda olinadi, manfiy qiymatga ega bo'lsa — aksincha) ostida qo'yiladi va u koordinata boshiga nisbatan soat mili harakatiga qarama-qarshi yo'nalishda  $\omega$  burchak tezlik bilan aylanib turadi.  $I_m$  vektorining istalgan  $t=t_1$  vaqtidagi ordinata o'qiga proyeysiysi sinusoidal tokning shu vaqtdagi oniy qiymatiga teng bo'ladi, ya'ni  $i(t_1) = I_m \sin(\omega t_1 + \psi_1)$ .

Sinusoidal funksiyani aylanuvchi vektor ko'rinishida tasvirlash uchun uni  $xy$  tekisligida  $t=0$  vaqt uchun tasvirlash kifoya (2.4- rasm).

Sinusoidal kattaliklarni qo'shish yoki ayirishda ularning vektor tasvirlaridan foydalanilsa, amallarni bajarish ancha osonlashadi. Masalan,  $i_1 = I_{1m} \sin(\omega t + \psi_1)$  va  $i_2 = I_{2m} \sin(\omega t + \psi_2)$  toklarni qo'shib ko'ramiz. 2.5-rusmda  $i_1$  va  $i_2$  toklar  $I_1$  va  $I_2$  vektorlar ko'rinishida tasvirlangan. Natijaviy tok  $i_1 + i_2 = I_m \sin(\omega t + \psi)$ . Amalda ko'pincha oniy tokni emas, balki uning ta'sir etuvchi qiymatini bilish zarur bo'ladi. Shuning uchun ham amplituda vektorlari emas, balki ta'sir etuvchi tok vektorlari qo'shiladi.

## 2.6. SINUSOIDAL TOK ZANJIRLARIDA REZISTOR, INDUKTIV G'ALTAK VA KONDENSATOR

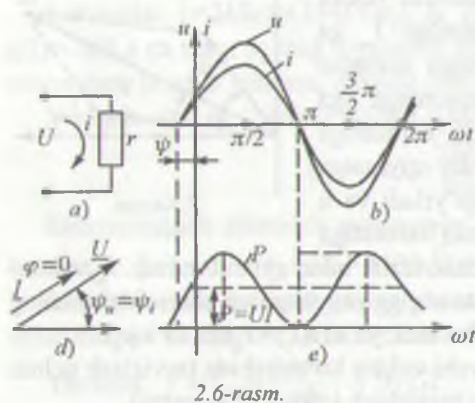
O'zgarmas tok zanjirlaridan farqli o'laroq, sinusoidal tok zanjirlarida rezistordan tashqari induktiv g'altak va kondensator kabi elementlardan keng foydalaniлади. Sinusoidal tok zanjirlarida energiyani issiqlik



2.5-rasm.

energiyasiga aylantiruvchi elementlar aktiv qarshiliklar deb ataladi. Elektr zanjirlarining energiya davriy ravishda elektr yoki magnit maydoni energiyasi ko'rinishida to'planib turuvchi elementlari reaktiv elementlar, ularni o'zgaruvchan tokka ko'rsatadigan qarshiliklari esa reaktiv qarshiliklar deb ataladi. Induktiv g'altak va kondensator zanjirning reaktiv elementlari hisoblanadi. Ushbu elementlardan tashkil topgan sinusoidal tok zanjirlarini hisoblashdan oldin bu elementlarda tok va kuchlanishni o'rta sidagi munosabatlarni o'rganib chiqamiz.

### 2.6.1. Rezistiv elementli sinusoidal tok zanjiri



Rezistiv elementdan tarkib topgan oddiy elektr zanjir sxemasi 2.6-rasmida keltirilgan. Sxemada  $r$ -rezistor. Sinusoidal kuchlanishi  $u = U_m \sin(\omega t + \psi_u)$  ta'sirida rezistor  $r$  dan o'tuvchi tok  $i$  Ohm qonuniga binoan:  $i = \frac{u}{r} = (U_m/r) \times \sin(\omega t + \psi_u) = I_m \cdot \sin(\omega t + \psi_i)$  ifoda bilan aniqlanadi, bu yerda  $I_m = U_m/r$ ;  $\psi_u = \psi_i$ .  
2.6-rasm, b da kuchlanish va tok oniy qiymatlarining to'lqin

diagrammasi keltirilgan. Demak, rezistiv elementli elektr zanjirdagi tok shakli sinusoidal bo'lib, uning chastotasi va boshlang'ich fazasi manba kuchlanishi chastotasi va boshlang'ich fazasi bilan bir xil bo'ladi. Kuchlanish va tokning o'zaro faza siljish burchagi  $\varphi = \psi_u - \psi_i = 0$  ga teng (2.6-rasm, d).

Rezistiv elementli zanjir uchun Ohm qonuni kuchlanish va tokning ta'sir etuvchi qiymatlari orqali  $I = U/r$  ko'rinishda yoziladi:

Ushbu zanjir uchun oniy quvvat quyidagi formula yordamida hisoblanadi:

$$p = ui = U_m I_m \sin^2(\omega t + \psi_u) = U_m I_m \left[ \frac{1 - \cos 2(\omega t + \psi_u)}{2} \right] = \\ = UI - UI \cos 2(\omega t + \psi_u).$$

Quvvatning  $T$  davrdagi o'rta qiymati:

$$P = \frac{1}{T} \int_0^T p \, dt = \frac{1}{T} UI \int_0^T dt - \frac{1}{T} UI \int_0^T \cos 2(\omega t + \psi_u) dt = UI = rI^2 = U^2/r.$$

Oniy quvvatning o'zgarish grafigi 2.6-rasm, e da keltirilgan.

Rezistorda oniy quvvat noldan  $2P=2UI$  qiymat oralig'ida o'zgarishi nisbatan ko'rinish turibdi. Demak, rezistiv elementli zanjirda manba quvvati rezistorda issiqlikka aylanib, to'la isrof bo'ladi.

Ma'lumki, o'tkazgichning qarshiligi o'zgaruvchan tokda o'zgarmas tokka nisbatan kattaroq bo'ladi. Bunga sirt effekti, uyurmaviy toklar va o'tkazgich atrofiga sochilgan elektromagnit maydon energiyasi sabab bo'ladi.

**Masala.** Quvvati  $P=100$  W li cho'g'lanma lampa kuchlanishi  $U=220$  V va chastotasi  $f=50$  Gs bo'lgan manbaga ulangan (2.7-rasm, a). Zanjirdan o'tuvchi tokni toping. Kuchlanish va tok oniy qiymatlari ifodasini yozing, ularning grafiklarini va vektor diagrammasini quring.

**Yechish.** Cho'g'lanma lampa aktiv qarshilik bo'lganligi uchun  $P=UI$  ifodadan  $I=P/U=100/220=0,45$  A.

Kuchlanish va tok oniy qiymatlari quyidagicha yoziladi:

$$u = \sqrt{2} U \sin(\omega t + \psi_u) = U_m \sin \omega t = \sqrt{2} \cdot 220 \sin \omega t = 310,2 \sin \omega t,$$

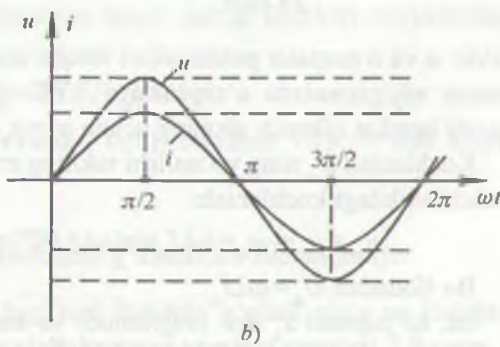
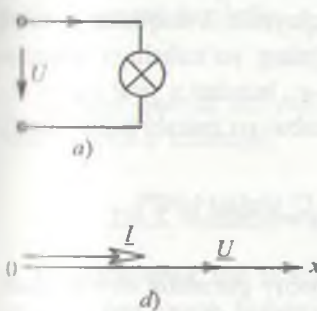
$$i = \sqrt{2} I \sin(\omega t + \psi_i) = I_m \sin \omega t = \sqrt{2} \cdot 0,45 \sin \omega t = 0,63 \sin \omega t,$$

$$\varphi = \psi_u - \psi_i = 0 - 0 = 0,$$

$$\text{bunda } U_m = \sqrt{2} \cdot 220 = 310,2 \text{ V}, \quad I_m = \sqrt{2} \cdot 0,45 = 0,63 \text{ A}.$$

$$\text{Burchak chastotasi } \omega = 2\pi f = 2 \cdot 3,14 \cdot 50 = 314 \text{ rad/s},$$

$$\text{Davri } T = 1/f = 1/50 = 0,02 \text{ s}.$$



2.7-rasm.

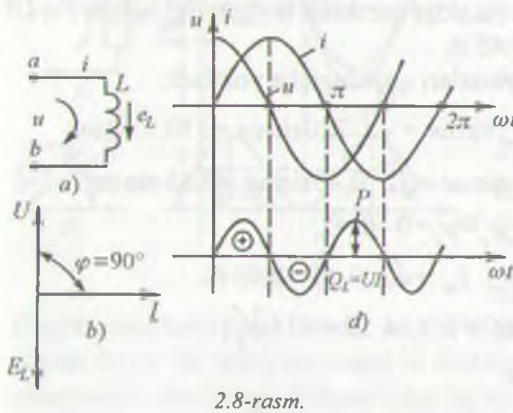
Sinusoidal kuchlanish va tokning grafiklarini qurish uchun masshtab tanlaymiz:

$$m_u = 100 \text{ V/sm} \quad m_i = 0,3 \text{ A/sm} \quad m_{\phi} = 60 \text{ grad/sm}.$$

$u(\omega t)$ ,  $i(\omega t)$  funksiyalar grafiklarini hamda  $U$  va  $I$  vektor diagrammasini quramiz (2.7-rasm, b, d).

## 2.6.2. Induktiv elementli elektr zanjirda sinusoidal tok. Induktiv qarshilik

Amalda har qanday induktiv g'altak aktiv qarshilik  $r$  va induktivlik  $L$  ga cga. Induktiv g'altak sxemada ko'pincha ketma-ket ulangan rezistor (aktiv qarshilik) va induktiv elementlari bilan tavsiflanadi. Sxemada faqat induktiv element  $L$  ni ajratib olamiz va  $r=0$  deb hisoblab, ideal induktiv g'altakdagi jarayonni tahlil qilamiz.



2.8-rasm.

Agar induktiv element dan  $i = I_m \sin \omega t$  tok o'tsa, unda o'zinduksiya hodisasiiga asosan EYK hosil bo'ladi (2.8-rasm):

$$e_L = -L \frac{di}{dt} = -\omega L I_m \cos \omega t = -\omega L I_m s$$

2.8-rasm, a da EYK  $e_L$  ning musbat yo'nalishi strelka bilan ko'rsatilgan; uning yo'nalishi  $i$  tokning musbat yo'nalishi bilan bir xildir. a va b nuqtalar potensiallari farqini aniqlaymiz. b nuqtadan a nuqta tomon siljiganimizda o'zinduksiya EYK  $e_L$  ning yo'nalishiga qaramaqarshi harakat qilamiz, shuning uchun  $\varphi_a = \varphi_b - e_L$ , bundan  $u_{ab} = \varphi_a - \varphi_b = -e_L$ .

Kuchlanish  $u_{ab}$  ning yo'nalishi tokning musbat yo'nalishi bilan bir xil. Induktivlikdagi kuchlanish:

$$u_{ab} = u_t = -e_L = \omega L I_m \sin(\omega t + 90^\circ) = U_m \sin(\omega t + 90^\circ).$$

Bu ifodadan  $U_m = \omega L I_m$ .

$\omega L$  ko'paytma  $x_L$  deb belgilanadi va induktiv qarshilik deb ataladi, ya'ni:  $x_L = \omega L$ , uning o'lchami  $[x_L] = [\omega] \cdot [L] = [(1/c) \cdot \Omega \cdot c] = [\Omega]$ .

Shunday qilib, induktivlik o'zgaruvchan tokka  $x_L = \omega L$  ga teng bo'l qarshilik ko'rsatadi. U chastotaga to'g'ri proporsional, ya'ni chastota o shosha,  $x_L$  ko'payadi va aksincha.

Induktiv g'altakda kuchlanish vektori tok vektoriga nisbatan faza jihatidan  $90^\circ$  oldinda yuradi (2.8-rasm, b). O'zinduksiya EYKning vektori kuchlanishga nisbatan teskari yo'nalgan.

2.8-rasm, d da  $i$ ,  $u$ ,  $p$  lar oniy qiymatlarining grafigi keltirilgan. Oniy quvvat:

$$p = ui = U_m \cos \omega t \cdot I_m \sin \omega t = \frac{U_m I_m}{2} \sin 2\omega t = UI \sin 2\omega t.$$

Uning grafigi noldan o'tadi, chunki kuchlanish yoki tok noldan o'tganda  $p=0$ . Davrning birinchi choragida,  $u$  va  $i$  lar musbat bo'lganda  $p$  ham musbatdir.

Abssissa o'qi va oniy quvvat  $p$  egri chizig'i bilan chegaralangan yuza vaqt birligidagi energiya — quvvatdir. Bunda manbadan qabul qilingan energiya magnit maydonini hosil qiladi, ya'ni magnit maydoni energiyasiga aylanadi. Davrning ikkinchi choragida esa, tok zanjirda maksimumdan nolgacha kamayadi, bu holda magnit maydonining energiyasi manbaga qaytariladi, oniy quvvat esa, manfiy. Davrning uchinchi choragida manbadan yana energiya qabul qilinadi va magnit maydoni hosil bo'ladi, keyingi chorakda esa, manbaga qaytariladi va hokazo, ya'ni energiya davriy ravishda induktiv elementda magnit maydonini hosil qiladi yoki induktiv element energiyani orqaga — manbaga qaytaradi. *Iste'molchi bilan manba o'rtaida bir turdan ikkinchi turga o'tib sarf bo'lmaydigan va manbaga qaytariladigan energiya reaktiv energiya deb ataladi.* Uning quvvatini esa, ko'rib chiqilayotgan zanjir uchun induktiv xarakterdagi reaktiv quvvat deyiladi:

$$Q_L = UI = I^2 x_L [\text{VAr}].$$

Reaktiv quvvat aktiv quvvatdan farqli ravishda VAr — volt amper reaktivlarda o'lchanadi.

### 2.6.3. Rezistor va induktiv g'altakdan iborat zanjir

O'zgaruvchan tok ta'siridagi real induktiv g'altak aktiv va induktiv qarshilikdan iborat. Induktiv g'altakning ekvivalent sxemasi 2.9-rasm, a da keltirilgan.

G'altakdan  $i = I_m \sin(\omega t + \psi_i)$  tok o'tmoqda deb, faraz qilaylik Kirxgofning ikkinchi qonuniga binoan oniy qiymatlar uchun:

$$u = u_r + u_L = ir + Ldi/dt, \quad (2.1)$$

bunda,  $u_r$  — induktiv g'altakning aktiv qarshiligidagi kuchlanish;  $u_r = ir = I_m r \sin \omega t$ ,  $u_L$  — induktiv qarshilikdagi kuchlanish:

$$\begin{aligned} u_L &= L \frac{di}{dt} = L \frac{d[I_m \sin(\omega t + \psi_i)]}{dt} = \omega L I_m \cos(\omega t + \psi_i) = \\ &= U_{Lm} \sin(\omega t + \psi_i + 90^\circ). \end{aligned}$$

Kuchlanishlarning ta'sir etuvchi qiymatlari uchun (2.1) ni quyidagicha yozish mumkin:  $U = U_r + U_L$ .

Tok va kuchlanishlar vektor diagrammasini (2.9-rasm, b) quyidagi ketma-ketlikda quramiz.  $(x, y)$  koordinata tekisligida  $I$  tok vektorini tasvirlaymiz. Undan keyin aktiv qarshilikdagi kuchlanish  $U$  vektorini quramiz. Bu vektor tok bilan bir xil fazada bo'ladi.  $U_L$  kuchlanish vektori tok vektoridan  $90^\circ$  ga ilgarilaydi. Shu vektorlarning yig'indisi manba kuchlanishi vektorini beradi va bu vektor tok vektoriga nisbatan  $\varphi$  burchakka ilgarilaydi. Diagrammagaga ko'ra:

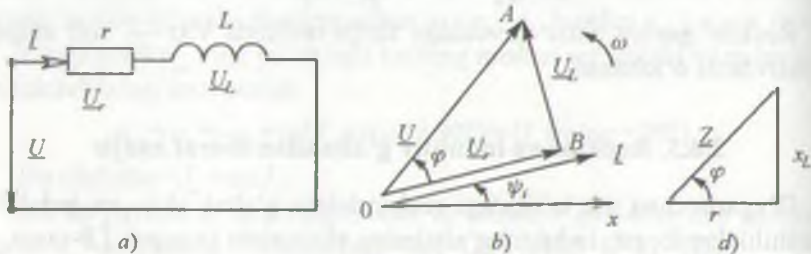
$$U^2 = U_r^2 + U_L^2 = I^2 r^2 + I^2 x_L^2, \text{ bundan, } I = \frac{U}{\sqrt{r^2 + x_L^2}} = \frac{U}{z},$$

bunda  $z = \sqrt{r^2 + x_L^2}$  — zanjirning to'la qarshiligi.

2.9-rasm, b da keltirilgan vektor diagrammadagi  $OAB$  uchburchak kuchlanishlar uchburchagi deb ataladi.

Tok fazasi bilan bir xil bo'lgan kuchlanishning tashkil etuvchisi uning aktiv tashkil etuvchisi deyiladi:

$$U_a = U_r = U \cos \varphi = I_r.$$



2.9-rasm.

Tok vektoriga perpendikulyar bo'lgan kuchlanishning tashkil ctuvchisi kuchlanishning *reaktiv tashkil etuvchisi* deyiladi:

$$U_r = U_L = U \sin \varphi = I x_L.$$

Agar kuchlanishlar uchburchagi tomonlari tokning ta'sir etuvchi qiymatiga bo'linsa, u holda qarshiliklar uchburchagi hosil bo'ladi (2.9-rasm, d). Qarshiliklar uchburchagidagi fazalar siljishi va zanjir parametrlari orasidagi munosabatlarni hosil qilamiz:

$$r = z \cos \varphi, \quad x_L = z \sin \varphi, \quad \operatorname{tg} \varphi = \frac{x_L}{r}, \quad \varphi = \operatorname{arctg} \frac{x_L}{r}.$$

**Masala.** Kuchlanishi 220 V bo'lgan sanoat tarmog'iga aktiv qarshiligi  $6 \Omega$  va induktivligi 50 mGn bo'lgan induktiv g'altak ulangan (2.9-rasm, a). G'altakdan o'tuvchi tokning oniy qiymati ifodasini yozing. Induktiv g'altak uchun qarshiliklar uchburchagini, tok va kuchlanishlar vektor diagrammasini quring.

**Yechish.** G'altakning induktiv qarshiligi ( $f=50$  Gs):  $x_L = \omega L = 314 \cdot 50 \cdot 10^{-3} = 15,7 \Omega$ .

G'altakning to'la qarshiligi:  $z = \sqrt{r^2 + x_L^2} = \sqrt{6^2 + 15,7^2} = 16,1 \Omega$ . Qarshiliklar uchburchagining katetlari ma'lum mashtabda  $r$  va  $x_L$ , yipotenuzasi esa  $z$  ga teng (2.9-rasm, d).

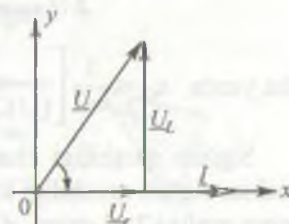
Zanjirdagi tok:

$$I = U/Z = 220/16,1 = 13,1 \text{ A.}$$

G'altakning aktiv qarshiligidagi kuchlanish:  $U_r = Ir = 13,1 \cdot 6 = 78,6 \text{ V}$ , induktiv qarshiligidagi kuchlanish esa  $U_L = Ix_L = 13,1 \cdot 15,7 = 205 \text{ V}$ .

Vektor diagrammani qurish uchun abssissa o'qining musbat yo'nalishi bo'yicha ma'lum mashtabda ( $m_r = 55 \text{ V/sm}$ ;  $m_i = 3 \text{ A/sm}$ ) uzunligi 4,33 sm ga teng tok vektorini quramiz (2.10-rasm). Shu vektorning boshlanish nuqtasidan unga parallel ravishda belgilangan mashtabda  $U_r$  kuchlanish vektorini quramiz.  $U_r$  kuchlanish vektori  $U_r$  vektorining oxiridan tok vektoriga nisbatan  $90^\circ$  ilgarilagan ravishda quriladi.  $U_r$  vektorning boshi bilan  $U_L$  vektorining oxirini birlashtirib  $U$  kuchlanish vektorini hosil qilamiz.  $I$  tok va  $U$  kuchlanish vektorlari orasidagi burchakni o'lchab  $\varphi = -69^\circ$  ni topamiz.

Shunday qilib,  $i = 13,1 \sqrt{2} \sin (314 - 69^\circ) \text{ A.}$



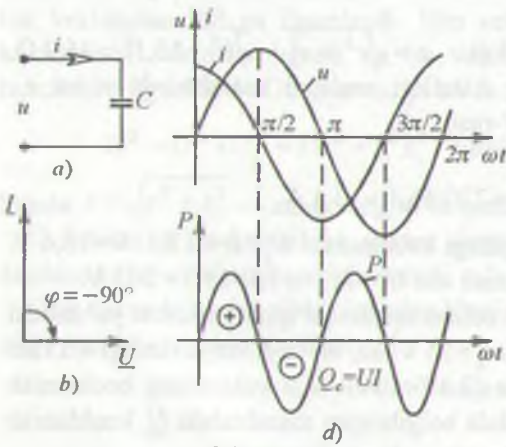
2.10-rasm.

## 2.6.4. Sig'im elementli elektr zanjirdagi sinusoidal tok. Sig'im qarshiligi

Agar kondensatorga berilgan kuchlanish vaqt bo'yicha o'zgarmasi unda kondensator qoplamlaridan birida yig'ilgan zaryad  $q = C U$  ikkinchisidagi esa  $q = -CU$  bo'ladi, bu yerda  $C$ - kondensatorning sig'imi. Zaryadlar miqdori o'zgarmas bo'lib, kondensatordan tok o'tmaydi, chunki  $i = dq/dt = 0$ .

Agar kondensatorga berilgan kuchlanish vaqt bo'yicha sinusoidal o'zgarsa, ya'ni  $u = U \sin \omega t$  bo'lsa, u holda undagi zaryad  $q$  ham sinusoidal qonun bo'yicha o'zgaradi:  $q = Cu = CU_m \sin \omega t$  va kondensator davriy ravishda zaryadlanadi va zaryadsizlanadi. Kondensatorning davriy zaryadlanishi esa zanjirdan mos ravishda davriy tok o'tishiga sabab bo'ladi:

$$i = \frac{dq}{dt} = \frac{d}{dt} (CU_m \sin \omega t) = \omega C U_m \cos \omega t = I_m \sin (\omega t + 90^\circ).$$



2.11-rasm.

Kondensatorda tokning musbat yo'nalishi kuchlanishning musbat yo'nalishi bilan bir xil (2.11-rasm, a).

Kondensatordan o'tayotgan tok faza jihatdan kuchlanishga nisbatan  $90^\circ$  oldinda bo'ladi (2.11-rasm, b). Tokning amplituda qiymati kuchlanish amplitudasining sig'im qarshiligidagi nisbati bilan aniqlanadi:

$$I_m = \frac{U_m}{x_C} = \frac{U_m}{1/\omega C} = \omega C_m,$$

bu yerda,  $x_C = \frac{1}{\omega C} \left[ \frac{1}{(1/C)Kl/V} \right] = \left[ \frac{V}{A} \right] = [\Omega]$  — sig'im qarshiligi.

Sig'im qarshiligi chastotaga teskari proporsionaldir, ya'ni chastota oshsa, sig'im qarshiligi kamayadi va aksincha.  $i$ ,  $u$ ,  $p$  lar oniy qiymatlarining grafigi 2.11-rasm, d da keltirilgan.

Zanjirdagi oniy quvvat:

$$p = ui = U \sin \omega t I \cos \omega t = \frac{U_i I}{2} \sin 2\omega t = UI \sin 2\omega t.$$

Davrning birinchi choragida kondensator manbadan energiyani qabul qilib o'zida elektr maydoni hosil qiladi. Davrning ikkinchi choragida kuchlanish kondensatorda maksimumdan nolgacha kamayadi va yig'ilgan elektr maydoni energiyasi orqaga-manbaga qaytariladi. Oniy quvvat bu vug'ida manfiy. Davrning uchinchi choragida energiya yana elektr maydon energiyasi ko'rinishida kondensatorda yig'iladi va keyingi choragida esa, orqaga-manbaga qaytadi va hokazo.

Agar  $i = C \frac{du_c}{dt}$  tenglamani integrallasak, u holda quyidagini hosil qilamiz:  $u_c = \frac{1}{C} \int i dt$ .

Bu tenglama yordamida kondensator kuchlanishini undan o'tayotgan tok orqali aniqlash mumkin.

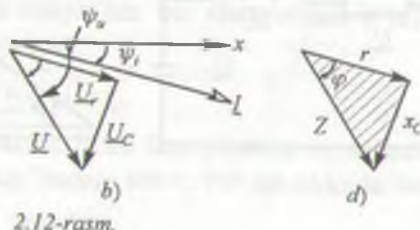
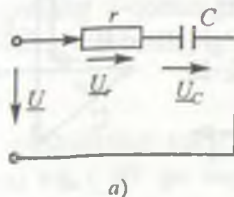
### 2.6.5. Rezistor va kondensatordan iborat zanjir

R va C elementlari ketma-ket ulangan zanjirda (2.12-rasm, a) kirish kuchlanishning ta'sir etuvchi qiymati Kirxgofning ikkinchi qonuniga ko'ra  $\underline{U} = \underline{U}_r + \underline{U}_c$  ga teng.

Zanjirdan o'tadigan tok  $i = I \sin(\omega t + \psi)$  va  $\psi < 0$  deb vektor diagrammani quramiz. Tok vektorini absissa o'qiga nisbatan  $\psi$  burchak ostida manfiy, ya'ni soat strelkasi harakati yo'nalishida quramiz (2.12-rasm, b). Rezistordagi  $\underline{U}_r$  kuchlanish vektori  $I$  tok vektori bilan faza bo'yicha mos tushadi, kondensatordagi  $\underline{U}_c$  kuchlanish vektori  $\underline{U}$  vektoridan  $90^\circ$  ga orqada qoladi. Ikkita vektorning yig'indisi manba kuchlanishi  $\underline{U}$  vektorini hosil qiladi. Bu vektor diagrammadan:

$$I = \frac{\underline{U}}{\sqrt{r^2 + x_c^2}} = \frac{\underline{U}}{z}, \text{ bu yerda } z = \sqrt{r^2 + x_c^2} \text{ — zanjirming to'la qarshiligi.}$$

Qarshiliklar uchburchagi 2.12-rasm, d da keltirilgan.



2.12-rasm.

Zanjir elementlaridagi kuchlanishlarning oniy qiymatlari:

$$u_r = I_m r \sin(\omega t + \psi) = U_m \sin(\omega t + \psi),$$

$$u_C = I_m x_C \sin(\omega t + \psi - 90^\circ) = U_m \sin(\omega t + \psi - 90^\circ),$$

$$u = I_m z \sin(\omega t + \psi + \varphi) = U_m \sin(\omega t + \psi - \varphi).$$

### 2.6.6. Rezistor, induktiv g'altak va kondensator ketma-ket ulangan sinusoidal tok zanjiri

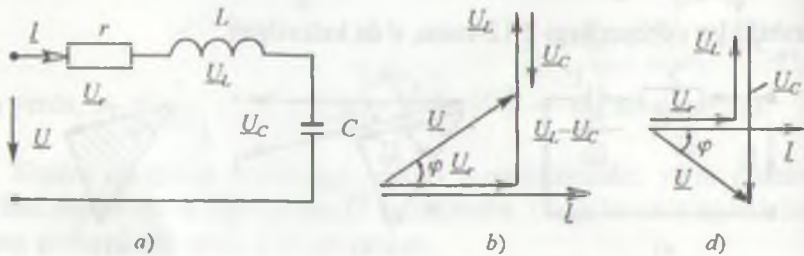
$r$ ,  $L$  va  $C$  elementlari ketma-ket ulangan zanjir (2.13-rasm, a) dan  $i = I_m \sin \omega t$  sinusoidal tok o'tganda uning elementlarida pasaygan sinusoidal kuchlanishlarning algebraik yig'idisiga teng bo'lgan kuchlanish hosil bo'ladi. Kirxgofning 2-qonuniga ko'ra:

$$u = u_r + u_L + u_C \text{ yoki } \underline{U} = \underline{U}_r + \underline{U}_L + \underline{U}_C.$$

$r$  qarshilikdagi kuchlanish fazajihatdan tok bilan mos,  $L$  induktivlikdagi kuchlanish tokdan  $90^\circ$  oldinda,  $C$  sig'imdiagi kuchlanish esa tokdan  $90^\circ$  orqada bo'ladi (2.13-rasm, b). Om qonunidan foydalanib quyidagini yozishimiz mumkin:

$$\begin{aligned} u &= ri + L \frac{di}{dt} + \frac{1}{C} \int idt = rI_m \sin \omega t + \omega L I_m \cos \omega t - \frac{I_m}{\omega C} \cos \omega t = \\ &= rI_m \sin \omega t + \left( \omega L - \frac{1}{\omega C} \right) I_m \cos \omega t = rI_m \sin \omega t + xI_m \cos \omega t. \end{aligned}$$

Bu tenglama kuchlanishlar oniy qiymatlari uchun Kirxgofning 2-qonuning trigonometrik shakli deb ataladi. Undagi  $x = x_L - x_C$  = kattalik zanjirning reaktiv qarshiliqi deb ataladi.  $x_L > x_C$  bo'lganda,  $x > 0$  va  $\varphi > 0$  bo'lib (2.13-rasm, b), zanjir induktiv xarakterga,  $x_L < x_C$  bo'lganda,  $x < 0$  va  $\varphi < 0$  bo'lib (2.13-rasm, d).



2.13-rasm

ganda esa,  $x < 0$  va  $\varphi < 0$  bo'lib (2.13-rasm, d), zanjir *sig'im xarakterga*,  $x_C$  bo'lganda  $x = 0$  va  $\varphi = 0$  bo'lib, zanjir *aktiv xarakterga* ega bo'ladi.

Yuqoridagi tenglamadan  $U_m$  va  $\varphi$  larni topish uchun quyidagi trigonometrik munosabatdan foydalanamiz:

$$m \sin \alpha \pm n \cos \alpha = \sqrt{m^2 + n^2} \sin(\alpha \pm \varphi), \quad \varphi = \arctg \frac{n}{m}.$$

Bu munosabatlarni va qarshiliklar uchburchagini hisobga olib:

$$U_m = \sqrt{r^2 + x^2} I_m, \quad \operatorname{tg} \varphi = x/r = (x_L - x_C)/r.$$

Tok va kuchlanishlarning ta'sir etuvchi qiymatlari uchun:

$$U = \sqrt{r^2 + x^2} I = zI, \quad \text{bundan } I = U / \sqrt{r^2 + x^2},$$

$$\text{bu yerda } z = \sqrt{r^2 + x^2} = \sqrt{r^2 + \left( \omega L - \frac{1}{\omega C} \right)^2} \quad \text{zanjirning to'la qarshiligi.}$$

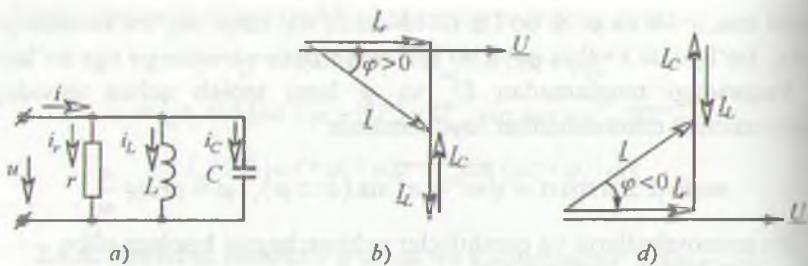
Ko'rileyotgan zanjir uchun tok va kuchlanishlar vektor diagrammasini quramiz (2.13-rasm, b). Uni tok vektori  $I$  ni qurishdan boshlaymiz.  $r$  elementdagi kuchlanish vektori  $U_r$  tok  $I$  bilan faza jihatdan mos,  $L$  elementdagi kuchlanish vektori  $U_L$  tok  $I$  dan  $90^\circ$  ga oldinda,  $C$  elementdagi kuchlanish vektori  $U_C$  tok  $I$  vektoridan  $90^\circ$  ga orqada bo'ladi.  $U$  kuchlanish vektori Kirxgofning 2-qonuniga ko'ra  $U_r$ ,  $U_L$  va  $U_C$  vektorlarning yig'indisi ko'rinishida quriladi. Tok bilan zanjir qismalaridagi kuchlanish vektorlari orasidagi faza siljish burchagi  $\varphi = \arctg \frac{x}{r}$  ga teng bo'ladi.

### 2.6.7. Rezistor, induktiv g'altak va kondensator parallel ulangan sinusoidal tok zanjiri

$r$ ,  $L$  va  $C$  elementlari parallel ulangan zanjir (2.14-rasm, a)  $u = U_m \sin \omega t$  sinusoidal kuchlanish manbaiga ulansa, undan o'tadigan sinusoidal tok Kirxgofning 1-qonuniga ko'ra zanjir har bir elementidan o'tayotgan toklarning algebraik yig'indisiga teng:

$$i = i_r + i_L + i_C$$

$r$  qarshilikdagi tok  $i_r$  kuchlanish bilan faza jihatdan mos, induktivlikdagi tok  $i_L$   $90^\circ$  ga orqada, sig'imdagi tok  $i_C$   $90^\circ$  ga oldinda bo'ladi. Zanjirdagi umumiy tok:



2.14-rasm.

$$\begin{aligned}
 I_m \sin(\omega t - \varphi) &= \frac{1}{r} U_m \sin \omega t - \frac{1}{\omega L} U_m \cos \omega t + \omega C U_m \cos \omega t = \\
 &= U_m \left[ \frac{1}{r} \sin \omega t - \left( \frac{1}{\omega L} - \omega C \right) \cos \omega t \right] = U_m [g \sin \omega t - b \cos \omega t].
 \end{aligned}$$

Oxirgi tenglama toklar oniy qiymatlari uchun Kirxgof 1-qonuning trigonometrik shakli hisoblanadi.

$b = b_L - b_C = (1/\omega L) - \omega C$  — zanjirming reaktiv o'tkazuvchanligi deb ataladi.  $b_L > b_C$  bo'lganda,  $b > 0$  va  $\varphi > 0$  bo'lib (2.14-rasm, b), zanjir induktiv xarakterga,  $b_L < b_C$  bo'lganda,  $b < 0$  va  $\varphi < 0$  bo'lib (2.14-rasm, d), zanjir sig'im xarakterga,  $b_L = b_C$  bo'lganda esa  $b = 0$  va  $\varphi = 0$  bo'lib, zanjir aktiv xarakterga ega bo'ladi.

$I_m$  va  $\varphi$  quyidagi munosabatlar yordamida aniqlanadi:

$$I_m = \sqrt{g^2 + b^2} U_m = y U_m, \quad \operatorname{tg} \varphi = b/g,$$

bu yerda  $y = \sqrt{g^2 + b^2}$  — zanjirming to'la o'tkazuvchanligi.

Toklar va kuchlanish orasidagi fazalar siljish burchagi quyidagi formula yordamida topiladi:

$$\varphi = \operatorname{arctg} \frac{(1/\omega L - \omega C)}{g} = \operatorname{arctg} \frac{b}{g}.$$

Ko'rيلотган zanjir uchun tok va kuchlanish vektor diagrammasini quramiz (2.14-rasm, b). Diagrammani kuchlanish vektori  $\underline{U}$  ni qurishdan boshlaymiz.  $r$  elementdagi tok vektori  $\underline{I}$ , kuchlanish vektori bilan mos,  $L$  elementdagi tok vektori undan  $90^\circ$  ga orqada,  $C$  elementdagi tok vektori esa  $\underline{U}$  dan  $90^\circ$  ga oldinda bo'ladi. Umumiy tok vektori  $\underline{I}$  uchala elementlardagi tok vektorlarining geometrik yig'indisiga teng bo'ladi.

## 2.7. SINUSOIDAL TOK ZANJIRIDA QUVVAT

Sinusoidal tok zanjirining  $r$ ,  $L$  va  $C$  kabi ayrim elementlaridagi energetik munosabatlari avvalgi paragraflarda ko'rib chiqildi. Endi umumiy holat, ya'ni zanjirdagi kuchlanish  $u = U_m \sin \omega t$  va tok  $i = I_m \sin(\omega t - \varphi)$  ga teng bo'lgan holat uchun energetik munosabatlarni ko'rib chiqamiz.

Zanjirdagi oniy quvvatni aniqlaymiz:

$$p = ui = U_m I_m \sin \omega t \cdot \sin(\omega t - \varphi) = UI[\cos \varphi - \cos(2\omega t - \varphi)].$$

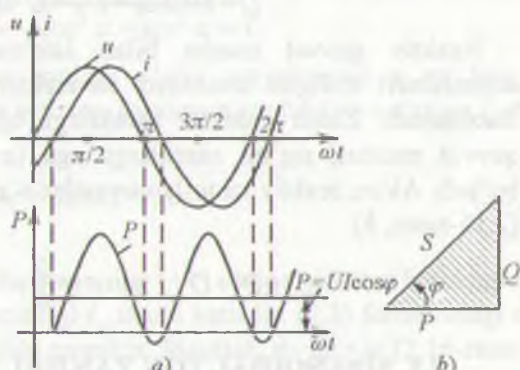
Oniy quvvat ikkita: doimiy ( $UI \cos \varphi$ ) va ikkilangan chastota bilan o'zgaruvchi kosinusoidal ( $UI \cos(2\omega t - \varphi)$ ) tashkil etuvchilardan iborat. Induktiv xarakterli  $\varphi > 0$  zanjirdagi tok, kuchlanish va quvvat oniy qiyamatlarining grafigi 2.15-rasm, a da keltirilgan.

Davrning kuchlanish va tok ishoralari bir xil bo'lgan qismlarida oniy quvvat musbat energiya manbaidan iste'mol qilinadi: bir qismi rezistorda iste'mol qilinadi, qolgan qismi esa g'altak magnit maydoniga to'planadi. Davrning kuchlanish va tok ishoralari har xil bo'lgan qismlarida oniy quvvat manfiy, energiya qisman iste'molchidan manbagaga qaytariladi. Rezistorda iste'mol qilinayotgan aktiv quvvat oniy quvvatning bir davr mobaynidagi o'rtacha qiymatiga teng:

$$P = \frac{1}{T} \int_0^T pdt = UI \cos \varphi. \quad (2.2)$$

$\cos \varphi$  ko'paytma quvvat koeffitsiyenti deb ataladi. (2.2) ifodadan ko'rinish turibdiki, zanjirning aktiv quvvati kuchlanish, tok ta'sir etuvchi qiyamlari va quvvat koeffitsiyentlarining ko'paytmasiga teng.

Zanjirdagi tok va kuchlanishlar orasidagi faza siljish burchagi  $\varphi$  nolga qancha yaqin bo'lsa,  $\cos \varphi$  birga shuncha yaqin bo'ladi. Bunda  $U$  va  $I$  larning berilgan qiyamlarida  $\cos \varphi$  qancha katta bo'lsa, shuncha ko'aktiv quvvat manbadan iste'molchiga uzatiladi.



2.15-rasm.

Aktiv quvvatni quyidagicha ifodalash mumkin:

$$P=ziI^2\cos\varphi=rI^2, \quad P=yU^2\cos\varphi=gU^2.$$

*Kuchlanish va tokning berilgan qiymatlarida aktiv quvvatning maksimal qiymati zanjirning to'la quvvati deb ataladi:  $S=UI$  [V·A].*

Aktiv quvvat ifodasidan:  $\cos\varphi=P/S$ .

Elektr zanjirini hisoblashda va amaliyotda reaktiv quvvat tushunchasidan foydalaniladi:

$$Q=UI\sin\varphi=I^2x=U^2b[VAr].$$

Reaktiv quvvat manba bilan iste'molchi o'rtasidagi energiya almashinuvi tezligini tavsiflaydi va reaktiv tok iste'molining o'lchovi hisoblanadi. Zanjir induktiv xarakterga ega ( $\varphi>0$ ) bo'lganda reaktiv quvvat musbat, sig'im xarakterga ega ( $\varphi<0$ ) bo'lganda esa manfiy bo'ladi. Aktiv, reaktiv va to'la quvvatlar o'zaro quyidagicha bog'langan (2.15-rasm, b):

$$S^2=P^2+Q^2, \quad \sin\varphi=\frac{Q}{S}, \quad \operatorname{tg}\varphi=\frac{Q}{P}.$$

## 2.8. SINUSOIDAL TOK ZANJIRLARINI KOMPLEKS USULDA HISOBBLASH

Sinusoidal tok zanjirlarini kompleks usulda hisoblashni amerikalik olim J. Shteynmetz 1894-yilda ishlab chiqqan. Bu usul bilan hisoblashning asosida sinusoidal tok zanjiri uchun tuzilgan differensial tenglamalarini algebraik tenglamalar bilan almashtirish yotadi. Bunda tok va kuchlanishlarning oniy qiymatlari ularning kompleks tasvirlari bilan almashtiriladi, ya'ni vaqt funksiyasidagi integro-differensial tenglamalardan kompleks shaklda yozilgan va vaqt kattaligi istisno qilingan algebraik tenglamalar hosil qilinadi. Bu esa, tabiiyki zanjirlarni hisoblashni ancha soddalashtiradi.

### 2.8.1. Sinusoidal kattaliklarni kompleks tekislikda vektorlar bilan tasvirlash

Ma'lumki har qanday kompleks son haqiqiy va mavhum qismlardan iborat. 2.16-rasmda kompleks tekislik keltirilgan. Abssissa o'qi haqiqiy sonlar o'qi, ordinata o'qi esa mavhum sonlar o'qi hisoblanadi. Kompleks

tekislikda haqiqiy sonlar o'qi +1 belgi bilan, mavhum sonlar o'qi esa  $+j$  ( $j = \sqrt{-1}$ ) bilan belgilanadi. Agar kompleks tekislikda abssissa o'qiga kompleks sonning haqiqiy qismini, ordinata o'qiga esa mavhum qismini joylashtirsak, u holda kompleks son tekislikda bir nuqtani ifodalaydi. Euler formulasiga binoan  $e^{ia} = \cos a + j \sin a$ . Kompleks son  $e^{ia}$  kompleks tekislikda vektor ko'rnishida tasvirlanadi, uning amplitudasi  $I$  ga teng va  $\alpha$  burchakning musbat yo'nalishi haqiqiy sonlar o'qi (+1) ga nisbatan soat miliga teskari yo'nalishda hisoblanadi.  $e^{ia}$  funksiyaning moduli birga teng:

$$|e^{ia}| = \sqrt{\cos^2 a + \sin^2 a} = 1.$$

$e^{ia}$  funksiya vektorining haqiqiy o'qqa proyeksiyasi  $\varphi$  ga teng, mavhum o'qqa proyeksiyasi esa  $\sin \varphi$  ga teng. Agar funksiya o'miga  $I_m e^{i\omega t}$  funksiyasini olsak, u holda

$$Ie^{ia} = I \cos \alpha + j I \sin \alpha \quad (2.3)$$

ifoda hosil bo'ladi.

Kompleks tekislikda bu funksiyaning (+1) o'qiga nisbatan burchagi  $\alpha$  ga teng, faqat vektoring uzunligi  $I_m$  marta kattadir. (2.3) formuladagi  $\alpha$  burchak qiymati har xil bo'lishi mumkin. Masalan,  $\alpha = \omega t + \psi_i$  (2.16-rasm, b), ya'ni  $\alpha$  burchak  $t$  vaqtga proporsional o'zgarsa, u holda

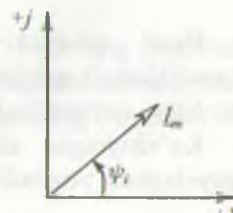
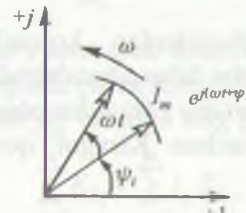
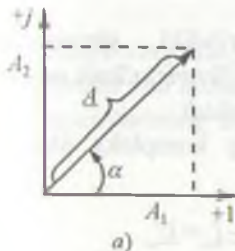
$$I_m = I_m e^{i(\omega t + \psi_i)} = I_m \cos(\omega t + \psi_i) + j I_m \sin(\omega t + \psi_i).$$

$I_m \cos(\omega t + \psi_i)$  tashkil etuvchi  $I_m e^{i(\omega t + \psi_i)}$  ifodaning haqiqiy ( $Re$ ) qismi bo'lib, u quyidagicha ifodalanadi:

$$\operatorname{Re}[I_m e^{i(\omega t + \psi_i)}] = I_m \cos(\omega t + \psi_i).$$

$I_m \sin(\omega t + \psi_i)$  tashkil etuvchi  $I_m e^{i(\omega t + \psi_i)}$  ifodaning mavhum  $I_m$  qismi bo'lib, u quyidagicha yoziladi:

$$I_m [I_m e^{i(\omega t + \psi_i)}] = I_m \sin(\omega t + \psi_i).$$



2.16-rasm.

Shunday qilib, sinusoidal tokni  $i = I_m e^{j(\omega t + \psi_i)}$  ko'rinishda yozish mumkin. Bu aylanuvchi vektor  $\underline{I}_m = I_m e^{j(\omega t + \psi_i)}$  ning  $+j$  o'qiga proyeksiyasidir. Kompleks tekislikda sinusoidal kattaliklarni vektor tasvirlarini  $\omega t = 0$  dagi holatini tasvirlash qabul qilingan. Bu holda  $\underline{I}_m = I_m e^{j(\omega t + \psi_i)}$  vektor  $\omega t = 0$  bo'lganda quyidagicha ifodalanadi:

$$I_m e^{j\psi_i} = \underline{I}_m.$$

$\underline{I}_m$  — kompleks tok, uning moduli  $I_m$  ga, argumenti esa vektorni haqiqiy sonlar o'qiga nisbatan hosil qilgan burchagi (boslang'ich fazasi  $\psi_i$ ) ga teng bo'ladi (2.16-rasm, d).

### 2.8.2. Om va Kirxgof qonunlarining kompleks shakli

Om va Kirxgof qonunlarining kompleks shaklini hosil qilish uchun  $r, L$  va  $C$  elementlari ketma-ket ulangan zanjirni ko'rib chiqamiz (2.11-rasm).

Bu zanjir uchun:

$$u_r + u_L + u_C = u \text{ yoki } ri + L \frac{di}{dt} + \frac{1}{C} \int idt = u,$$

bu yerda

$$i = I_m \sin(\omega t + \psi_i), \quad u_r = r I_m \sin(\omega t + \psi_i),$$

$$u_L = \omega L I_m \sin(\omega t + \psi_i + 90^\circ), \quad u_C = \frac{1}{\omega C} I_m \sin(\omega t + \psi_i - 90^\circ)$$

Yuqoridagi tenglamalarni kompleks shaklda yozamiz:

$$\begin{aligned} \underline{I}_m &= I_m e^{j\psi_i}, & \underline{U}_{rm} &= r I_m e^{j\psi_i} = r \underline{I}_m, & \underline{U}_{Lm} &= \omega L I_m e^{j(\psi_i + 90^\circ)} = \omega L I_m e^{j\psi_i} e^{j90^\circ} = \\ &= \omega L I_m e^{j\psi_i} (\cos 90^\circ + j \sin 90^\circ) = j \omega L I_m e^{j\psi_i} = j \omega L \underline{I}_m \\ \underline{U}_{Cm} &= \frac{1}{\omega C} I_m e^{j(\psi_i - 90^\circ)} = \frac{1}{\omega C} I_m e^{j\psi_i} e^{-j90^\circ} = -j \frac{1}{\omega C} I_m. \end{aligned}$$

Hosil qilingan tenglamalardan ko'rinish turibdiki, sinusoidal kattaliklarni kompleks sonlar bilan almashtirishda *differensiallash amali*  $j\omega$  bilan, *integrallash amali* esa  $1/j\omega$  bilan almashtiriladi.

Ko'rileyotgan zanjir uchun Kirxgof qonuning kompleks shakli quyidagicha yoziladi:

$$\underline{U}_{rm} + \underline{U}_{Lm} + \underline{U}_{Cm} = \underline{U}_m \text{ yoki } r \underline{I}_m + j \omega L \underline{I}_m - j \frac{1}{\omega C} \underline{I}_m = \underline{U}_m.$$

bundan

$$I_m = \frac{\underline{U}_m}{r + j\left(\omega L - \frac{1}{\omega C}\right)} = \frac{\underline{U}_m}{Z}$$

yoki ta'sir etuvchi qiymatlar uchun  $I = \underline{U}/Z$ .

Oxirgi tenglik  $\underline{Om}$  qonuning kompleks shakli deb ataladi. Demak, sinusoidal tok zanjiridagi kompleks tok unga berilgan kompleks kuchlanishga to'g'ri proporsional, zanjirning to'la kompleks qarshiligiga esa teskari proporsionaldir.

$$Z = r + j\left(\omega L - \frac{1}{\omega C}\right) = r + jx = z \cos \varphi + jz \sin \varphi = \sqrt{r^2 + x^2} \cdot e^{j\varphi} = ze^{j\varphi}.$$

— zanjirning kompleks qarshiligi deb ataladi. Bunda kompleks qarshilikning haqiqiy qismi-aktiv qarshilik, mavhum qismi-reaktiv qarshilikka teng bo'ladi.

To'la kompleks qarshilikka teskari bo'lgan kattalik to'la kompleks o'tkazuvchanlik deb ataladi:

$$\underline{Y} = \frac{1}{Z} = \frac{1}{ze^{j\varphi}} = ye^{-j\varphi} = y \cos \varphi \mp jy \sin \varphi = g \mp jb,$$

bunda  $y = \sqrt{g^2 + b^2}$ ,  $\varphi = \operatorname{arctg} \frac{b}{g}$  — mos ravishda to'la kompleks o'tkazuvchanlikning moduli va argumenti.

Sinusoidal tok zanjirlari uchun Kirxgof qonunlari kompleks tok va kuchlanishlar orqali quyidagicha ifodalanadi:

Zanjirning istalgan tugunidagi kompleks toklarning algebraik yig'indisi nolga teng (Kirxgofning 1-qonuni):

$$\sum_{k=1}^n \underline{I}_k = 0.$$

Zanjirning istalgan berk konturida kompleks EYK larning algebraik yig'indisi shu kontur kompleks qarshiliklaridagi kompleks kuchlanishlar pasayishlarining algebraik yig'indisiga teng (Kirxgofning 2-qonuni):

$$\sum_{k=1}^n \underline{E}_k = \sum_{q=1}^m \underline{I}_q \underline{Z}_q.$$

### 2.8.3. Kompleks quvvat

To'la quvvatni kompleks ko'rinishda yozish uchun kompleks kuchlanishni qo'shma kompleks tokka ko'paytiramiz:

$$\bar{S} = U \dot{I} = UI e^{-j\varphi} = UI \cos \varphi \pm jUI \sin \varphi = P \pm jQ.$$

bunda  $\dot{I}$  — qo'shma kompleks tok. Masalan, agar  $\dot{I} = I_m e^{-j\varphi}$  bo'lsa, u hol'da bu tokning qo'shmasi  $\dot{I} = I_m e^{-j\varphi}$  bo'ladi.  $\bar{S}$  — kompleks to'la quvvat deb ataladi. Uning haqiqiy qismi aktiv quvvatga, mavhum qismi reaktiv quvvatga teng, ya'ni:

$$P = \operatorname{Re}[U \dot{I}] = \operatorname{Re}[\bar{S}]; \quad Q = \operatorname{Im}[U \dot{I}] = \operatorname{Im}[\bar{S}].$$

**Masala.** agar tok va kuchlanishning oniy qiymat ifodalari mos ravishida  $i = 14 \sin(314t + 60^\circ)$  A,  $u = 7,07 \sin(314t + 30^\circ)$  V ko'rinishida berilgan bo'lsa, aktiv, reaktiv va to'la quvvatlar aniqlansin.

**Yechish.** Tok va kuchlanishning kompleks ta'sir ctuvchi qiymatlarini yozib olamiz:

$$U = \frac{14}{\sqrt{2}} e^{j60^\circ} = 100 e^{j60^\circ} \text{V}; \quad I = \frac{7,07}{\sqrt{2}} e^{j30^\circ} = 5 e^{j30^\circ} \text{A}.$$

Kompleks to'la quvvati:

$$\begin{aligned} \bar{S} = U \dot{I} &= 100 e^{j60^\circ} \cdot 5 e^{j30^\circ} = 500 e^{j30^\circ} = 500 \cos 30^\circ + j500 \sin 30^\circ = \\ &= 433 + j250 \text{ V} \cdot \text{A}. \end{aligned}$$

Shunday qilib,  $S = 500 \text{ V} \cdot \text{A}$ ,  $P = 433 \text{ W}$ ,  $Q = 250 \text{ VAr}$ .

### 2.8.4. Sinusoidal tok zanjirlarida quvvatlar balansi

Energiya saqlanish qonunidan ma'lumki, har qanday zanjirda aktiv quvvatlar balansi saqlanadi: manbalar uzatayotgan aktiv quvvatlar yig'indisi iste'molchilar qabul qilayotgan aktiv quvvatlar yig'indisiga teng:

$$\sum_{k=1}^m P_{km} = \sum_{k=1}^n I_k^2 r_k,$$

bu yerda  $m$  — manbalar soni,  $n$  — iste'molchilar soni.

Zanjirdagi manbalar uzatayotgan reaktiv quvvatlar yig'indisi qomadagi induktiv g'altak va kondensatorlar iste'mol qilayotgan reaktiv quvvatlarning algebraik yig'indisiga teng:

$$\sum_{k=1}^m Q_{km} = \sum_{k=1}^n I_k^* x_k.$$

Kompleks quvvatlar balansi:

$$\sum_{k=1}^m \bar{S}_{km} = \sum_{k=1}^n \bar{S}_k.$$

Zanjir elementlarining kompleks qarshiliklari yig'indisi teng bo'lsada, ular modullarining yig'indisi umumiy holda teng bo'limasligi mumkin. Shuning uchun to'la quvvatlar balansi har doim ham saqlanmasligi mumkin, ya'ni:

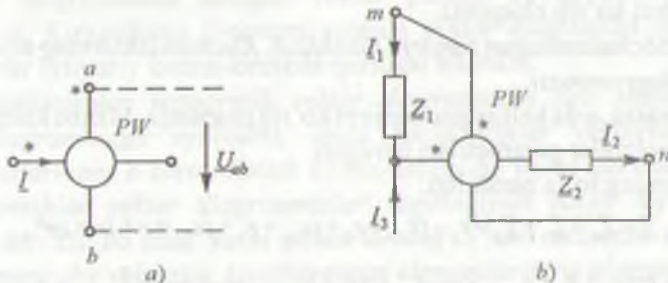
$$\sum_{k=1}^m S_{km} \neq \sum_{k=1}^n S_k.$$

Bir fazali sinusoidal tok zanjirlarida aktiv quvvatni o'lhash uchun elektrodinamik yoki ferrodinamik vattmetrlar qo'llaniladi (2.17-rasm, a). Bunda vattmetning belgilangan  $I^*$  tok va  $U^*$  kuchlanish qismalari (generator qismalari) manba qismalariga ularadi.

Sinusoidal tok zanjirida reaktiv quvvatni o'lhash uchun tok va kuchlanish vektorlari orasidagi faza siljish burchagi  $90^\circ$  ga farq qilishi kerak. Bunda vattmetr strelkasining burchagi:

$$\alpha = S_p U_p \cos(\pi/2 - \varphi) = S_p U_p \sin \varphi.$$

$\varphi = 90^\circ$  li burchak asbobning parallel qismiga qo'shimcha rezistor va g'altakdan iborat zanjirni ularash bilan hosil qilinadi. Shuni aytib o'tish



2.17-rasm.

joizki, bir fazali zanjirlarda reaktiv quvvat faqat laboratoriya tadqiqotlarida o'chanadi.

To'la quvvatni hisoblash uchun tok  $I$  va kuchlanish  $U$  ni ampermetr va voltmetr yordamida o'chanan qiyamatlari ko'paytiriladi:  $S = UI$ .

**Masala.** 2.17-rasm,  $b$  da keltirilgan vattmetr ko'rsatkichini aniqlang. Quyidagilar berilgan:

$$I_1 = 10e^{-j37^\circ} \text{ A}, I_3 = 8e^{-j15^\circ} \text{ A}, Z_1 = 2 \Omega, Z_2 = 1,8e^{-j44^\circ} \Omega.$$

**Yechish.** Vattmetr orqali o'tadigan tok quyidagiga teng:

$$\begin{aligned} I_2 &= I_1 + I_3 = 8e^{-j15^\circ} + 10e^{-j37^\circ} = 8\cos 15^\circ - j8\sin 15^\circ + \\ &+ 10\cos 37^\circ + j10\sin 37^\circ = 16,2e^{j14^\circ} \text{ A}. \end{aligned}$$

Vattmetr parallel g'altagidagi kuchlanish:

$$U_{mn} = I_1 Z_1 + I_2 Z_2 = 10e^{-j37^\circ} \cdot 2 + 16,2e^{j14^\circ} \cdot 1,8e^{-j44^\circ} = 41 - j2,5 = 41,03e^{-j3,5^\circ} \text{ V}.$$

Vattmetr ko'rsatkichi:

$$\begin{aligned} P &= \operatorname{Re} \left| U_{mn} I_2 \right| = \operatorname{Re} \left| 41,03e^{-j3,5^\circ} \cdot 16,2e^{-j14^\circ} \right| = \operatorname{Re} \left| 665e^{-j17,5^\circ} \right| = \\ &= 665 \cos 17,5^\circ = 634 \text{ W}. \end{aligned}$$

### 2.8.5. Sinusoidal tok zanjirlarini kompleks usulda hisoblash

Sinusoidal tok zanjirlarini hisoblashda o'zgarmas tok zanjirlarini hisoblashda qo'llanilgan barcha usullardan foydalaniladi. Bunda tuzilgan tenglamalardagi tok, kuchlanish, EYK va qarshiliklar kompleks shaklda yoziladi. Sinusoidal tok zanjirini hisoblashdagi o'ziga xos xususiyatlarni aniqroq tasavvur qilish uchun ayrim zanjirlarni kompleks usulda hisoblashni ko'rib chiqamiz.

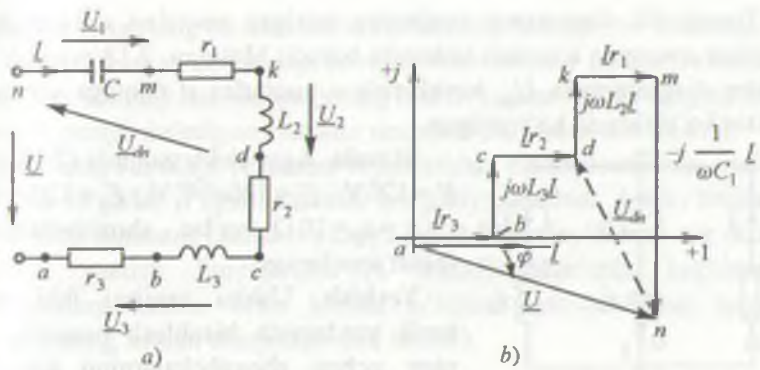
*Shoxobchalanmagan zanjirni hisoblash. Kuchlanishlarning topografik vektor diagrammasi.*

2.18-rasm,  $a$  da keltirilgan zanjirni ko'rib chiqamiz. Manba kuchlanishi va iste'molchilar parametrlari berilgan.

Zanjirning to'la qarshiligi:

$$Z = Z_1 + Z_2 + Z_3 = r_1 - jx_{C_1} + r_2 + jx_{L_2} + r_3 + jx_{L_3} = r + jx = ze^{\varphi},$$

bu yerda  $r = r_1 + r_2 + r_3$ ,  $x = -x_{C_1} + x_{L_2} + x_{L_3}$ ,  $\varphi = \operatorname{arctg} \frac{x}{r}$



2.18-rasm.

Om qonuni asosida zanjirdagi tok va uning elementlaridagi kuchlanishlarni topamiz:

$$I = \underline{U}/Z, \quad U_1 = IZ_1 = I(r_1 - jx_{C_1}), \quad U_2 = IZ_2 = I(r_2 + jx_{L_2}),$$

Zanjirning to'la, aktiv va reaktiv quvvatlari:

$$\bar{S} = \underline{U} \dot{I} = P + jQ = \bar{S}_1 + \bar{S}_2 + \bar{S}_3 = \underline{U}_1 \dot{I}_1 + \underline{U}_2 \dot{I}_2 + \underline{U}_3 \dot{I}_3,$$

$$P = \text{Re}|\bar{S}| = \sum_{k=1}^n I_k^2 r_k = \sum_{k=1}^n P_k = P_1 + P_2 + P_3,$$

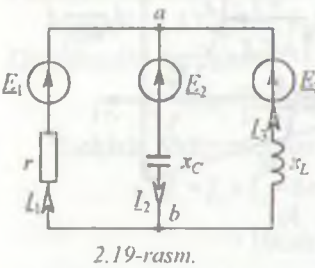
$$Q = I_m |\bar{S}| = \sum_{k=1}^n I_k^2 x_k = \sum_{k=1}^n Q_k = -Q_1 + Q_2 + Q_3.$$

Zanjirdagi jarayonlarni grafik tasvirlash uchun kuchlanishlar vektor diagrammasi qurilgan (2.18-rasm, b).

Bu diagrammada istalgan vektor parallel ravishda ko'chirilishi mumkin. Kirxgofning 2-qonuni asosida vektor diagramma qurilganda vektorlar ixtiyoriy ketma-ketlikda qurilishi mumkin.

*Kuchlanishlar topografik vektor diagrammasi deb shunday vektor diagrammaga aytildiki, unda kuchlanishlar vektorlari zanjir elementlarining o'zaro ulanish ketma-ketligi bo'yicha quriladi. Bunda kuchlanishlar vektor diagrammalari topologiyasi zanjir topologiyasi bilan bir xil bo'ladi, ya'ni vektorlarning o'zaro ulangan nuqtasiga zanjirning shu vektorlar tavsiflayotgan elementlarining ulangan nuqtasi mos keladi.*

Topografik diagramma zanjirning istalgan nuqtalari orasida kuchlanishni osongina aniqlash imkonini beradi. Masalan, 2.18-rasm,  $b$  dagi vektor diagrammada  $\underline{U}_{ab}$  kuchlanish  $n$  nuqtadan  $d$  nuqtaga yo'nalgan vektor ko'rinishida ko'rsatilgan.



**Masala.** Agar elektr zanjirda (2.19-rasm)  $E_1 = 120V$ ;  $E_2 = 120e^{j120^\circ} V$ ;  $E_3 = 120e^{j240^\circ} V$ ;  $r = x_L = x_C = 10\Omega$  bo'lsa, shoxobchalardagi toklar aniqlansin.

**Yechish.** Ushbu zanjirni ikki tugun usuli yordamida hisoblash osonroq. Buning uchun shoxobchalarning kompleks o'tkazuvchanliklarini aniqlaymiz:

$$Y_1 = \frac{1}{r} = 0,1 \text{ Sm}; \quad Y_2 = \frac{1}{-jx_C} = j0,1 \text{ Sm}; \quad Y_3 = \frac{1}{jx_L} = -j0,1 \text{ Sm}.$$

Ikki tugun orasidagi kompleks kuchlanishni topamiz:

$$\underline{U}_{ab} = \frac{E_1 Y_1 + E_2 Y_2 + E_3 Y_3}{Y_1 + Y_2 + Y_3} = \frac{120 \cdot 0,1 + 120e^{-j120^\circ} \cdot j0,1 + 120e^{-j240^\circ} (-j0,1)}{0,1 + j0,1 - j0,1} = 328 \text{ V}.$$

Om qonuni bo'yicha shaxobchalardagi toklar:

$$I_1 = (E_1 - \underline{U}_{ab}) Y_1 = (120 - 328) \cdot 0,1 = -20,8 \text{ A.}$$

$$I_2 = (-E_2 + \underline{U}_{ab}) Y_2 = (-120e^{j120^\circ} + 328) \cdot j0,1 = -40e^{j105^\circ} \text{ A.}$$

$$I_3 = (-E_3 + \underline{U}_{ab}) Y_3 = (120e^{j240^\circ} - 328) \cdot (-j0,1) = -40e^{j75^\circ} \text{ A.}$$

## 2.9. ELEKTR ZANJIRLARIDA REZONANS

Elektr zanjirlarida reaktiv qarshiliklar musbat, manfiy va nolga teng bo'lishi mumkin. Zanjirda induktiv va sig'im elementlar bo'lganda zanjirning kirish reaktiv qarshiligi nolga teng bo'lishi mumkin. Bunda zanjir aktiv xarakterga ega bo'lib, tok bilan kuchlanish orasidagi faza siljish burchagi nolga teng bo'ladi. Elektr zanjirlaridagi bu hodisa *rezonans* deb ataladi.

$r$ ,  $L$  va  $C$  elementlari ketma-ket (parallel) ulangan sinusoidal tok zanjirining xususiy chastotasi  $\omega = 1/\sqrt{LC}$  manba kuchlanishining chastotasi  $\omega = 2\pi f$  ga teng bo'lganda  $x_L = x_C$ ,  $(b_L = b_C)$  va  $|U_L| = |U_C|$ , ( $|I_L| = |I_C|$ ) bo'lib, reaktiv elementlardagi kuchlanish (tok)lar modul

jihatdan bir-biriga teng hamda manba kuchlanishi (toki) dan bir necha marta ortib ketadi. Elektr zanjirlaridagi bu rejim kuchlanishlar (toklar) rezonansi deb ataladi. Bunday holatda zanjirming reaktiv quvvati nolga teng bo'ladi. Rezonans yuzaga keladigan chastota rezonans chastotasi deb ataladi.

Elektr zanjirlaridagi rezonans rejimlaridan elektrotexnikada, radio-texnikada va elektr o'zgartkichlarda keng foydalaniladi. Ayrim hollarda esa, zanjirda rezonans hodisasi yuzaga kelishi noqulayliklarni tug'diradi (masalan, uzatish liniyalarida va transformatorlarda kuchlanish va toklarning keskin ortib ketishi o'lchash asboblarining hamda izolyatsiyaning ishdan chiqishiga olib keladi).

### 2.9.1. Kuchlanishlar rezonansi

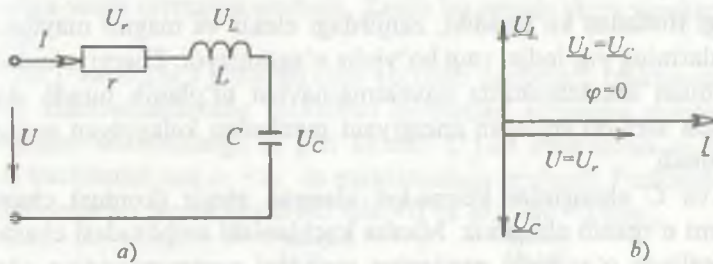
$r, L$  va  $C$  elementlari ketma-ket ulangan zanjirni ko'rib chiqamiz (2.20-rasm, a). Zanjirning kompleks qarshiligi:

$$Z = r + j \left( \omega L - \frac{1}{\omega C} \right).$$

Kuchlanishlar rezonansi shartiga ko'ra:  $X = \omega L - 1/\omega C = 0$  yoki  $\omega L = 1/\omega C$ , bunda  $\omega_r = 1/\sqrt{LC}$  — rezonans chastotasi.

Kuchlanishlar rezonansi rejimi uchun tok va kuchlanishlar vektor diagrammasi 2.20-rasm, b da keltirilgan. Unda reaktiv elementlardagi kuchlanishlarning modul qiymatlari teng, yo'naliishlari esa qaramaqarshi. Rezonans shartidan ko'rinish turibdiki, zanjirda bu rejimni hosil qilish uchun manba chastotasini rostlab yoki zanjir xususiy chastotasini  $L$  yoki  $C$  ni o'zgartirish (rostlash) hisobiga hosil qilish mumkin.

Rezonans rejimida zanjirming to'la qarshiligi minimal bo'lib, aktiv qarshilikka teng bo'ladi:



2.20-rasm.

$$Z = \sqrt{r^2 + (x_L - x_C)^2} = r.$$

Zanjirdagi tok bu paytda maksimal qiymatga erishadi:

$$I = U/z = U/r.$$

$r$  qarshilikdagi kuchlanish pasayishi manba kuchlanishiga teng bo'ladi:

$$U_r = Ir = U.$$

Rezonans rejimidagi induktiv yoki sig'im qarshilik rezonans zanjir (kontur)ning to'lqin qarshiliqi deb ataladi:

$$\rho = \omega_r L = \frac{1}{\omega_r C} = \sqrt{\frac{L}{C}}.$$

Agar zanjirda  $\rho \gg r$  shart bajarilsa, u holda reaktiv elementlarda kuchlanishlar manba kuchlanishidan ko'p marta ortiq bo'ladi.

$U_{Lr}$  yoki  $U_{Cr}$  ning  $U$  dan necha marta katta bo'lishi konturning aslliligi bilan tavsiflanadi:

$$Q = \frac{U_{Lr}}{U} = \frac{U_{Cr}}{U} = \frac{I_r \omega_r L}{I_r r} = \frac{\omega_r L}{r} = \frac{\rho}{r}.$$

$$d = 1/Q = r/\rho — zanjir (kontur) ning so'nishi.$$

Rezonans rejimida zanjirdagi energetik munosabatlar ham o'ziga xos ayrim xususiyatlarga ega. Zanjirdagi tok  $i = I_m \sin \omega_r t$  bo'lsa, kondensatordagli kuchlanish  $U_C = \frac{1}{C} \int idt = U_{sm} \cos \omega_r t$  bo'ladi.

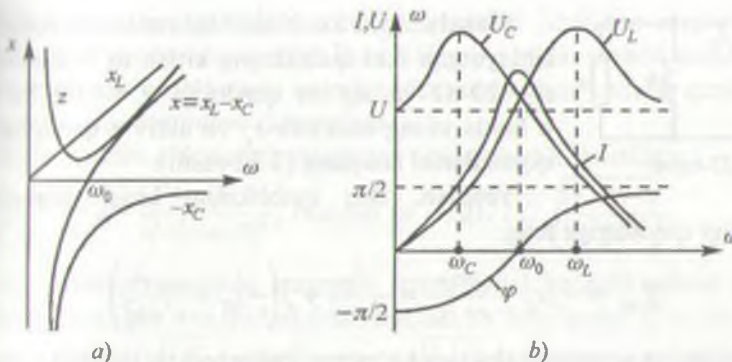
Zanjir elektr va magnit maydonlaridagi energiya:

$$W = \frac{Li^2}{2} + \frac{Cu_c^2}{2} = \frac{LI_m^2}{2} \sin^2 \omega_r t + \frac{CU_{sm}^2}{2} \cos^2 \omega_r t = \frac{LI_m^2}{2} + \frac{CU_{sm}^2}{2} = \text{const.}$$

$$U_{cm} = \frac{1}{\omega_r C} I_m = \sqrt{\frac{L}{C}} I_m \text{ bo'lgani uchun } \frac{CU_{cm}^2}{2} = \frac{LI_m^2}{2}.$$

Oxirgi ifodadan ko'rindaniki, zanjirdagi elektr va magnit maydonlari energiyalarining yig'indisi vaqt bo'yicha o'zgarmaydi. Energiya induktiv g'altak bilan kondensatorda navbatma-navbat to'planib turadi. Aktiv qarshilikda sarf bo'layotgan energiyani manbadan kelayotgan energiya qoplab turadi.

$r$ ,  $L$  va  $C$  elementlar ketma-ket ulangan zanjir (kontur) chastota tavsiflarini o'rganib chiqamiz. Manba kuchlanishi amplitudasi chastotasining oraliqda o'zgarishi zanjirning quyidagi parametrlarining o'zga-



2.21-rasm

rishiga olib keladi:

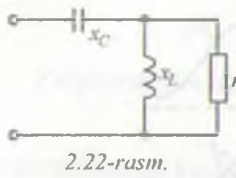
$$x_L = \omega L, \quad x_C = 1/\omega C, \quad x = x_L(\omega) - x_C(\omega), \\ Z = \sqrt{r^2 + [x_L(\omega) - x_C(\omega)]^2}, \quad \varphi = \arctg[x(\omega)/r],$$

2.21-rasm, a da  $x_L = (\omega)$ ,  $x_C = (\omega)$ ,  $x(\omega)$ ,  $Z(\omega)$  va 2.21-rasm, b da  $I(\omega)$ ,  $U_L(\omega)$ ,  $U_C(\omega)$ ,  $\varphi(\omega)$  grafiklari keltirilgan.  $\omega=0$  bo'lganda  $I(0)=0$ , chunki kondensator o'zgarmas tokni o'tkazmaydi. Barcha kuchlanish kondensatorda pasayadi. Chastota  $0 < \omega < \omega_r$  diapazonda o'zgarganda  $x_L$  qarshilik oshadi,  $x_C$  esa kamayadi,  $Z$  qarshilik ham kamayadi. Bu diapazonda reaktiv qarshilik sig'im xarakterga ega bo'ladi. Shuning uchun ham faza siljish burchagi  $-90^\circ < \varphi < 0$  oraliqda o'zgaradi. Chastota  $\omega_r < \omega < \infty$  diapazonda o'zgarganda,  $Z(\omega)$  va  $x(\omega)$  lar 0 dan  $\infty$  gacha ortib boradi. Zanjir induktiv xarakterga ega bo'ladi. Tok esa maksimal qiymatdan 0 gacha kamayadi.  $U_L(\omega)$  kuchlanish manba kuchlanish  $U$  gacha kamayadi  $U_C(\omega)$  esa 0 gacha kamayadi.

Chastota  $\omega = \omega_r$  bo'lganda grafiklarda aks ettirilgandek  $Z(\omega_r) = Z_{\min} = r$ ,  $x_r = x_L - x_C = 0$ ,  $\varphi = 0$ ,  $I_{(\omega_r)} = I_{\max} = U/r$  bo'ladi.  $U_L(\omega_r)$  va  $U_C(\omega_r)$  esa maksimal qiymatga yaqin qiymatga erishadi. Zanjir bu paytda aktiv xarakterga ega bo'ladi.

$U_L(\omega)$  va  $U_C(\omega)$  grafiklaridan ko'rinish turibdiki, reaktiv elementlardagi kuchlanishlarning maksimal qiymatlari rezonans chastotasidan farq qilgan chastotalarga to'g'ri keladi.  $U_L(\omega)$  kuchlanish  $\omega_L < \omega_r$  da,  $U_C(\omega)$  kuchlanish esa  $\omega_L < \omega_r$  da maksimumga erishadi. Funksiyalarning ekstremumlarini topish sharti  $dU_L/d\omega = 0$  va  $dU_C/d\omega = 0$  dan:

$$\omega_L = \omega_r \sqrt{\frac{2}{2-d^2}}, \quad \omega_C = \omega_r \sqrt{\frac{2-d^2}{2}}.$$



**Masala.** Agar kuchlanishlar rezonansni rejimida ishlayotgan ikki qutblikning kirish to'la qarshiligi  $z_{ku} = 20 \Omega$  va sig'im qarshiligi  $x_C = 40 \Omega$  bo'lسا, u holda uning induktiv  $x_L$  va aktiv  $r$  qarshiliklari qiymatlarini aniqlang (2.22-rasm).

**Yechish.** Ikki qutblikning kirish kompleksi qarshiligi quyidagiga teng:

$$Z_{kir} = -jx_C + \frac{jx_Lr}{r+jx_L} = \frac{x_L^2r}{r^2+x_L^2} + j\left(-x_C + \frac{x_Lr^2}{r^2+x_L^2}\right).$$

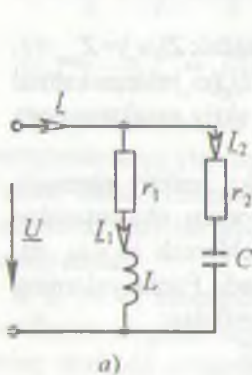
Kuchlanish rezonansi shartiga ko'ra zanjirning reaktiv qarshiligi nolga teng. Bu shartdan foydalanib quyidagi tenglamalar sistemasini tuzishimiz mumkin:

$$\left. \begin{aligned} Z_{kir} &= \frac{x_L^2r}{r^2+x_L^2} = 20; \\ x &= -x_C + \frac{x_Lr^2}{r^2+x_L^2} = 0. \end{aligned} \right\}$$

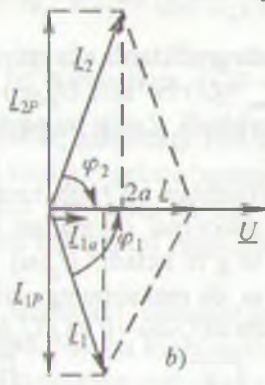
Bu sistemani  $x_L$  va  $r$  ga nisbatan yechib, quyidagilarni topamiz:  $x_L = 50 \Omega$ ,  $r = 100 \Omega$ .

### 2.9.2. Toklar rezonansi

Reaktiv elementlar o'zaro parallel ulangan zanjirda (2.23-rasm, a) ma'lum shartlar bajarilganda toklar rezonansi yuz berishi mumkin.



2.23-rasm.



Rezonans rejimida manba toki va kuchlanish orasidagi fazasiljish burchagi nolga teng bo'ladi, reaktiv o'tkazuvchanlik esa  $b = b_L - b_C = 0$  yoki  $b_L = b_C$  bo'ladi.

Rezonans rejimi uchun qurilgan vektor diagrammadan ko'rinish turibdiki (2.23-rasm, b),

reaktiv elementlardagi toklar modul qiymatlari jihatidan o'zaro teng, yu'nalishlari esa qarama-qarshi. Bunda  $|I_L| = |I_C|$  toklar manba tokidan bir necha marotaba ortib ketishi mumkin. Shuning uchun ham bu zanjirdagi rezonans toklar rezonansi deb ataladi.

Zanjir reaktiv o'tkazuvchanligining nolga tenglik shartidan:

$$\frac{\omega_r L}{r^2 + (\omega_r L)^2} = \frac{1/\omega_r C}{r_1^2 + (1/\omega_r C)^2}, \text{ bundan } \omega_r = \sqrt{1/LC} \sqrt{\frac{(L/C) - r_1^2}{(L/C) - r_2^2}}.$$

Ko'rileyotgan zanjirda rezonans rejimi hosil bo'lishi uchun oxirgi tenglamaning ildiz osti ifodasi doim musbat bo'lishi lozim.  $r_1 = r_2$ , bo'lgan hol uchun  $\omega_r = 1/\sqrt{LC}$  bo'ladi.  $r_1 = r_2 = \sqrt{L/C}$  hol uchun  $\omega_r = 0/0$  bo'ladi. Bu holatda zanjirda ixtiyoriy chastotada rezonans yuz beradi. Zanjirning kirish qarshiligi  $Z = Z_1 Z_2 / (Z_1 + Z_2) = r$  ga teng bo'ladi.

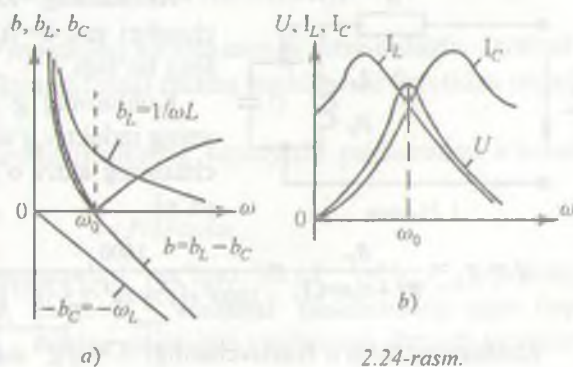
Ideallashtirilgan holat  $r_1 = r_2 = 0$  uchun zanjirning kirish qarshiligi cheksiz katta qiymatga teng bo'lib, tok nolga teng. Energiya manbadan zanjirga uzatilmaydi va kondensator hamda induktiv g'altak maydonlarida davriy ravishda almashinib to'planib turadi.

$\omega_r C = 1/\omega_r L = \sqrt{C/L} = \gamma$  — zanjirning to'lqin o'tkazuvchanligi deb ataladi.

Induktiv g'altak yoki kondensatordagi tokning manba tokidan necha marta katta ekanligini ko'rsatuvchi kattalik zanjir (kontur) ning aslligi deb ataladi:

$$Q = \frac{I_C}{I} = \frac{I_{Lr}}{I} = \frac{\omega_r C U}{g U} = \frac{1}{g} \sqrt{\frac{C}{L}} = \frac{\gamma}{g}.$$

Toklar rezonansida ham kuchlanishlar rezonansidagiga o'xshash energetik jarayonlar yuz beradi.  $g \neq 0$  bo'lgan zanjirda  $p_L = -p_C$  bo'lib, energiya g'altak bilan kondensator maydonlarida davriy to'planib turadi. Qarshilikda sarf bo'layotgan energiyani manbadan kelayotgan energiya qoplab turadi. 2.24-rasm, a



2.24-rasm.

da  $b_L(\omega)$ ,  $b_C(\omega)$ ,  $b(\omega)$ , 2.24-rasm,  $b$  da esa  $I_L(\omega)$ ,  $I_C(\omega)$ ,  $U(\omega)$  larning grafiklari keltirilgan. Bu kattaliklar va zanjir parametrlarining chastotasi  $0 \leq \omega \leq \omega_0$ , va  $\omega_0 \leq \omega \leq \infty$  diapazonlardagi o'zgarishlari xuddi kuchlanishi rezonansidagi o'zgarishlariga o'xshash bo'ladi.

**Masala.** Induktivligi  $L_F = 2,5 \cdot 10^{-3} \text{ Gн}$  va aktiv qarshiligi  $R_F = 1000 \Omega$  bo'lgan induktiv g'altak hamda sig'imi  $C = 120 \text{ nF} = 120 \cdot 10^{-12} \text{ F}$  bo'lgan kondensator parallel rezonansli konturni tashkil qiladi va  $R = 210 \text{ k}\Omega$  rezistor orqali qiymati  $U = 66 \text{ V}$  bo'lgan sinusoidal kuchlanish manbiyi ulangan.

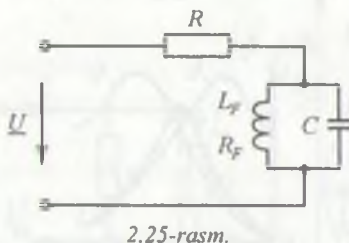
Tok rezonansi rejimini ta'minlaydigan manba chastotasini va rejimdagi konturning to'la qarshiligini hamda shoxobchalaridagi toklami hisoblang.

**Yechish.** Tok rezonansi sharti ( $b_L = b_C$ )ni ta'minlaydigan manba chastotasini  $R_F = R_1$  va  $R_2 = 0$  larni e'tiborga olib quyidagicha hisoblaymiz:

$$\begin{aligned} f_p &= \frac{1}{2\pi\sqrt{LC}} \sqrt{\frac{(L/C) - R_1^2}{(L/C) - R_2^2}} = \\ &= \frac{1}{2 \cdot 3,14 \sqrt{2,5 \cdot 10^{-3} \cdot 120 \cdot 10^{-12}}} \sqrt{\frac{(2,5 \cdot 10^{-3} / 120 \cdot 10^{-12}) - (1000)^2}{2,5 \cdot 10^{-3} / 120 \cdot 10^{-12}}} = \\ &= 290,4 \cdot 10^3 \cdot 0,976 = 284 \cdot 10^3 \text{ Гц} \end{aligned}$$

Rezonans konturini tashkil qiluvchi shoxobchalarining o'tkazuvchanliklari:

$$b_L = b_C = \omega_p C = 2\pi f_p \cdot C = 2 \cdot 3,14 \cdot 284 \cdot 10^3 \cdot 120 \cdot 10^{-12} = 2,14 \cdot 10^{-4} \text{ Sm.}$$



Konturning to'la reaktiv o'tkazuvchanligi esa  $b = b_L - b_C = 2,14 \cdot 10^{-4} = 0$  ga teng bo'ladi.

Konturning g aktiv o'tkazuvchanligi uning induktiv g'altagidan iborat shoxobchasingin aktiv o'tkazuvchanligiga teng, ya'ni:

$$g = g_1 = \frac{R_F}{R_F^2 + 6(\omega \cdot L)^2} = \frac{1000}{1000^2 + (178 \cdot 10^4 \cdot 2,5 \cdot 10^{-3})^2} = 0,48 \cdot 10^{-4} \text{ Sm.}$$

Konturning to'la o'tkazuvchanligi  $C = \sqrt{g^2 + b^2} = g = 0,48 \cdot 10^{-4} \text{ Sm.}$

Rezonans konturining to'la qarshiligini quyidagicha hisoblaymiz:

$$Z_x = 1/y = 1/0,48 \cdot 10^{-4} = 20,8 \cdot 10^3 \Omega.$$

Konturning hisoblangan to'la qarshiliqi zanjir uchun dastlab berilgan qarshilik  $R$  dan 10 baravar kichik. Shu sababli konturdagi kuchlanish quyidagi teng:

$$U_K = \frac{U}{R+Z_K} \cdot Z_K = 66 \cdot \frac{21}{210+21} = 6 \text{ V}.$$

Induktiv g'altakdagisi tokning aktiv va reaktiv tashkil etuvchilari:

$$I_{1a} = Uq_1 = 6,0 \cdot 0,48 \cdot 10^{-4} = 0,284 \cdot 10^{-3} \text{ A},$$

$$I_{1r} = Ub_1 = 6,0 \cdot 2,14 \cdot 10^{-4} = 1,26 \cdot 10^{-3} \text{ A}.$$

Shu shoxobchadagi umumiy tok

$$I_1 = \sqrt{I_{1a}^2 + I_{1r}^2} = \sqrt{(0,284 \cdot 10^{-3})^2 + (1,26 \cdot 10^{-3})^2} = 1,29 \cdot 10^{-3} \text{ A}.$$

Ikkinchchi shoxobchadagi tok  $I_{2a} = Ug_2 = U \cdot 0 = 0$ ,  $I_{2r} = Ub_2 = Ub_1 = I_{1r} = 1,26 \cdot 10^{-3} \text{ A}$  va shuning uchun ham  $I_2 = 1,26 \cdot 10^{-3} \text{ A}$ .

Zanjirning umumiy toki

$$I = \sqrt{(I_{1a} + I_{2a})^2 + (I_{1r} - I_{2r})^2} = \sqrt{(0,284 \cdot 10^{-3})^2 + 0} = 0,284 \cdot 10^{-3} \text{ A}.$$

## 2.10. ELEKTROTEXNIK QURILMALARNING QUVVAT KOEFFITSIYENTI VA UNING MOHIYATI. QUVVAT KOEFFITSIYENTINI OSHIRISH USULLARI VA HISOBBLASH ASOSLARI

Elektr energiya iste'molchilarli amalda asosan aktiv-induktiv xarakterli bo'ladi va yuklama tokining fazasi manba kuchlanishi fazasidan orqada qoladi.

Yuklama qvvat koeffitsiyentining kamayishi yuklamadan o'tuvchi tokni oshiradi, chunki

$$I = P/U \cos \varphi.$$

Sinusoidal tok generatorlari ma'lum bir  $S_{nom} = U_{nom} I_{nom}$  qvvatga mo'ljallangan bo'ladi, ya'ni  $U_{nom}$  nominal kuchlanishda ular faqat belgilangan nominal  $I_{nom}$  tokdan oshmagana yuklamaga ulanishi mumkin.

Shu sababli yuklamaning quvvat koefitsiyenti past bo'lganda generator toki belgilangan nominal qiymatdan oshmasligi uchun uning aktiv quvvatini kamaytirish kerak bo'ladi. Bunday hollarda generator tok bo'yicha to'la yuklangan bo'lsa-da aktiv quvvat bo'yicha to'la yuklanmagan bo'ladi.

Generator va birlamchi motordan iborat elektr manbaining umumiy foydali ish koefitsiyenti har bir uskunaning foydali ish koefitsiyentiga bog'liq bo'lib, birlamchi motorning ishi asosan generatorning aktiv quvvatiga bog'liq. Shu sababli generatormi aktiv quvvat bilan to'la yuklanmasligi birlamchi motorning va umuman energetik qurilmaning foydalanish koefitsiyenti pasayishiga olib keladi. Bundan tashqari uzatish liniyasidagi quvvat isrofi katta bo'ladi:

$$\Delta P = r_i I^2 = \frac{\eta P^2}{U^2 \cos^2 \varphi},$$

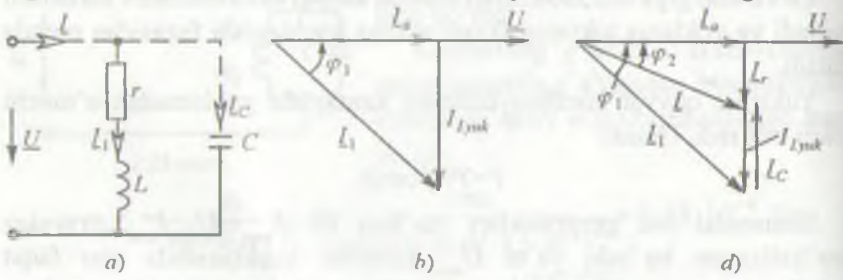
bu yerda  $r_i$  — uzatish liniyasining aktiv qarshiligi.

Ifodadan ko'rinish turibdiki, yuklamaning quvvat koefitsiyenti qancha kam bo'lsa, quvvat isrofi shuncha ko'p bo'ladi. Binobarin, yuklamaning quvvat koefitsiyenti qancha kam bo'lsa, uzatish liniyasidagi quvvat isrofi shuncha ko'p bo'ladi. Quvvat koefitsiyenti manba quvvati qanday foydalanilayotganligini bildiradi.

Elektr uskunaning quvvat koefitsiyentini oshirishning uchta usuli mavjud:

1. Induktiv xarakterli yuklamaga kondensator batarcyalarini parallel ulash.
2. Induktiv xarakterli yuklamaga kondensatorni ketma-ket ulash.
3. Elektr tarmog'iga sinxron motor ulash.

Quyida birinchi usulga binoan qo'llaniladigan kondensatorlar batarcyasi sig'imini hisoblash uslubini ko'rib chiqamiz. 2.26-rasmdagisi vektor



2.26-rasm.

diagrammdan  $I$  tok bilan  $U$  kuchlanish orasidagi kerakli burchak siljishini olish uchun sig‘im shoxobchadagi  $I_c$  tok yuklamaning kompensatsiya qilishdan avvalgi reaktiv tashkil etuvchi  $I_{r,yuk}$  tokidan kompensatsiya qilingandan keyingi  $I_c$  toklarning ayirmasiga teng bo‘lishi kerak:  $I_c = I_{r,yuk} - I_r$ .

Bu ifodadagi toklarni yuklama tokining aktiv tashkil etuvchisi  $I_a$  orqali  $I_{r,yuk} = I_a \operatorname{tg} \varphi_{yuk}$  va  $I_r = I_a \operatorname{tg} \varphi$  ko‘rinishda ifodalash mumkin. Natijada quyidagilarni yozish mumkin:

$$I_c = I_a (\operatorname{tg} \varphi_{yuk} - \operatorname{tg} \varphi).$$

Bu ifodada kondensator uchun  $I_c = U\omega C$  ekanligi va  $I_a$  tokni quvvat va kuchlanish orqali ifodalab, ifodani  $U\omega C = (P/U)(\operatorname{tg} \varphi_{yuk} - \operatorname{tg} \varphi)$  ko‘rinishda yozishimiz mumkin.

Oxirgi ifodadan kondensator batareyasining sig‘imini topamiz:

$$C = \frac{P(\operatorname{tg} \varphi_{yuk} - \operatorname{tg} \varphi)}{\omega U^2}.$$

Odatda kondensator batareyalari yordamida  $\cos \varphi (0,92 - 0,96)$  gacha oshiriladi. Quvvat koefitsiyentining bundan katta bo‘lishi texnik-iqtisodiy ko‘rsatkichlarga ko‘ra maqsadga muvofiq emas.

**Masala.** Elektr motor kuchlanishi  $U_{nom} = 220 \text{ V}$  va chastotasi  $f = 50 \text{ Gs}$  bo‘lgan manbaga ulangan.

Motorning quvvati  $P_{nom} = 20 \text{ kW}$  va quvvat koefitsiyenti  $\cos \varphi_1 = 0,6$ . Uskuna quvvat koefitsiyenti  $\cos \varphi_2 = 0,9$  bilan ishlashi uchun motorga qanday sig‘imli kondensator ulash kerak?

**Yechish.** Quvvat koefitsiyenti  $\cos \varphi_1 = 0,6$  da motorning toki:

$$I_1 = P/(U \cos \varphi_1) = 20 \cdot 10^3 / (220 \cdot 0,6) = 152 \text{ A}.$$

$$\varphi_1 = \arccos 0,6 = 53^\circ 10' \text{ va } \sin \varphi_1 = 0,8.$$

Motor tokining reaktiv tashkil etuvchisi:

$$I_{r1} = I_1 \sin \varphi_1 = 152 \cdot 0,8 = 121,6 \text{ A},$$

$$\varphi_2 = \arccos 0,9 = 26^\circ 50' \text{ va } \sin \varphi_2 = 0,436.$$

Motorning  $\cos \varphi_2 = 0,9$  quvvat koefitsiyenti bilan ishlashini ta’minlovchi kondensator toki:

$$I_2 = P/(U \cos \varphi_2) = 20 \cdot 10^3 / (220 \cdot 0,9) = 101 \text{ A}.$$

Shu tokning reaktiv tashkil etuvchisi:

$$I_{r2} = I_2 \sin \varphi_2 = 101 \cdot 0,436 = 44 \text{ A}.$$

Kondensator ulangandan keyingi tokning qiymati:

$$I_c = I_{r1} - I_{r2} = 121,6 - 44 = 77,6 \text{ A}.$$

Sig‘im qarshiligi:

$$x_C = \frac{1}{\omega C} = \frac{U}{I_c} = \frac{220}{77,6} = 2,83 \Omega.$$

Kondensator sig‘imi:

$$C = \frac{1}{x_C \omega} = \frac{1}{x_C 2\pi f} = \frac{1}{2,83 \cdot 2 \cdot 3,14 \cdot 50} = 1130 \text{ mкF.}$$

## 2.11. INDUKTIV BOG‘LANGAN ZANJIRLAR. O‘ZARO BOG‘LANISH KOEFFITSIYENTI

### 2.11.1. Umumiy ma’lumotlar

Agar elektr zanjirning bir elementidagi tokning o‘zgarishi zanjirning boshqa elementida EYK paydo bo‘lishiga sabab bo‘lsa, u holda bu elementlar *o‘zaro induktiv bog‘langan*, paydo bo‘ladigan EYK esa *o‘zaro induksiya EYKi* deyiladi.

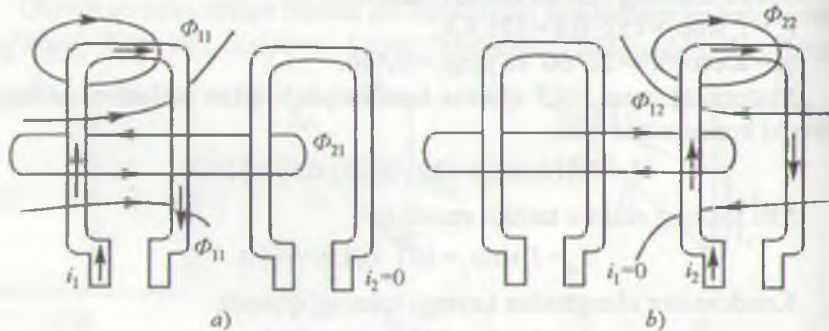
Ikki elementning induktiv bog‘lanish darajasi bog‘lanish koeffitsiyenti yordamida tavsiflanadi:

$$k = \frac{M}{\sqrt{L_1 L_2}},$$

bu ifodada  $M$  — zanjir elementlarining o‘zaro induktivligi,  $L_1$  va  $L_2$  — zanjir elementlarining xususiy induktivliklari.

Induktiv bog‘lanish koeffitsiyenti har doim birdan kichik bo‘lishini ko‘rib chiqamiz.

Nisbatan katta o‘lchamli ikkita induktiv g‘altak berilgan bo‘lsin (2.27-rasm). G‘altaklarning har bir o‘rami bir xil magnit oqimi bilan ilashgan



2.27-rasm.

bo'lsin. 2.27-rasm, *a* da birinchi g'altakdan  $i_1$  tok o'tgan holat uchun magnit maydonning tasviri ko'rsatilgan. Birinchi g'altak o'ramlari o'zinduksiya magnit oqimi  $\Phi_{11}$ , ikkinchi g'altak o'ramlari esa o'zaro induksiya magnit oqimi  $\Phi_{12}$  bilan ilashgan. Birinchi va ikkinchi g'altaklarning o'zinduksiya va o'zaro induksiya ilashish magnit oqimlari quyidagicha aniqlanadi:

$$\psi_{11} = w_1 \Phi_{11}, \quad \psi_{21} = w_2 \Phi_{21},$$

bunda  $w_1$  va  $w_2$  — g'altaklardagi o'ramlar soni.

O'zaro induksiya oqimlari ( $\Phi_{21}$  va  $\Phi_{12}$ ) va ilashish oqimlari ( $\psi_{21}$  va  $\psi_{12}$ ) indeksidagi birinchi raqam oqimning qaysi kontur bilan ilashayotganligini, ikkinchisi esa shu oqimni hosil qilgan tok qaysi konturga tegishliligini bildiradi.

Ta'rif bo'yicha birinchi g'altakning induktivligi va g'altaklarning o'zaro induktivligi quyidagilarga teng:

$$L_1 = \frac{\psi_{11}}{i_1} = \frac{w_1 \Phi_{11}}{i_1}, \quad M = M_{21} = \left| \frac{\psi_{21}}{i_1} \right| = \left| \frac{w_2 \Phi_{21}}{i_1} \right|.$$

G'altakdan o'tadigan tok va o'zinduksiya magnit oqimining musbat yo'nalishlarini o'ng vint qoidasiga ko'ra tanlaymiz, shuning uchun  $i_1 > 0$  bo'ladi va  $\psi_{11}/i_1$  nisbat har doim musbat qiymatga ega. O'zaro induksiya oqimining musbat yo'nalishi esa ixtiyoriy va shuning uchun  $\psi_{21}/i_1$  nisbat musbat yoki manfiy ishorali bo'lishi mumkin.

2.27-rasm, *b* da faqat ikkinchi g'altakdan  $i_2$  tok o'tayotgan holat uchun magnit maydonining tasviri berilgan. Ta'rif bo'yicha

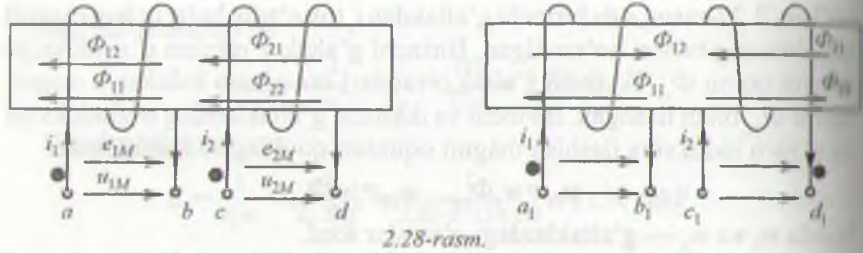
$$L_2 = \frac{\psi_{22}}{i_2} = \frac{w_2 \Phi_{22}}{i_2}, \quad M = M_{12} = \left| \frac{\psi_{12}}{i_2} \right| = \left| \frac{w_1 \Phi_{12}}{i_2} \right|.$$

Amalda ikki g'altakning o'ramlari bir xil bo'lmagan (bir-biridan farq qila-digan) magnit oqimlar bilan ilashadi, shuning uchun har doim  $k < 1$  bo'ladi.

O'zaro induktiv bog'lanish koeffitsiyenti qiymatini g'altaklarni bir-biriga nisbatan siljitis h bilan o'zgartirish mumkin. G'altaklari bir-biriga nisbatan siljishi mumkin bo'lgan asbob variometr deb ataladi.

## 2.11.2. O'zaro induksiya EYK

Induktiv bog'langan elementlardan biridagi tok o'zgarsa, boshqa elementda o'zaro induksiya EYKi paydo bo'ladi. O'zaro induksiya (elektromagnit induksiya qonuni) tufayli paydo bo'ladigan EYK va kuchlanishning absolyut qiymati mos ravishda quyidagilarga teng:



2.28-rasm.

$$|u_{1M}| = |e_{1M}| = \left| \frac{d\psi_{12}}{dt} \right| = \left| M \frac{di_2}{dt} \right|, \quad |u_{2M}| = |e_{2M}| = \left| \frac{d\psi_{21}}{dt} \right| = \left| M \frac{di_1}{dt} \right|.$$

Bu kattaliklar ishoralarini aniqlash uchun o'zaro bog'langan zanjir elementlarining bir xil nomlangan qismalarini topish kerak. Bunda quyidagi qoida o'rinnlidir:

*Agar qismalarga nisbatan bir xil yo'nalishda o'tadigan tokdan har bir elementda hosil bo'ladigan o'zinduksiya va o'zaro induksiya magnit oqimlari qo'shilsa, u holda bu qismalar induktiv bog'langan ikkita elementning bir xil nomlangan qismalari deyiladi.*

Bu qoida asosida 2.28-rasm,  $a$  da keltirilgan g'altaklar qismalari belgilangan.  $i_1$  tok  $a$  qismadan  $b$  qismaga yo'nalgan bo'lsa va  $i_2$  tok  $c$  qismadan  $d$  qismaga yo'nalgan bo'lsa, o'zinduksiya magnit oqimi  $\Phi_{11}(\Phi_{22})$  va o'zaro induksiya magnit oqimi  $\Phi_{12}(\Phi_{21})$  bilan qo'shiladi. Shuning uchun  $a$  qisma bilan  $c$  qisma bir xil nomlangan bo'ladi, xuddi shunday  $b$  qisma  $d$  qisma bilan bir xil nomlangan bo'ladi.

2.28-rasm,  $b$  dagi g'altaklar uchun  $a_1$  va  $d_1$  hamda  $b_1$  va  $c_1$  bir xil nomlangan qismalar bo'ladi.

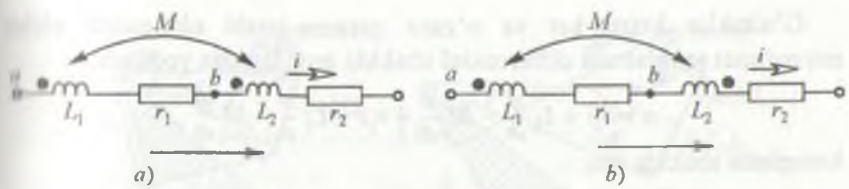
Avvalgi holdan farqli joyi shundaki, 2-g'altakning o'ralish yo'nalishi l-g'altakning o'ralish yo'nalishiga qarama-qarshidir.

Bir xil nomlangan ikkita juft qismalardan biri maxsus belgilar: nuqta yoki yulduzcha bilan belgilanadi.

### 2.11.3. Ketma-ket va parallel ulangan o'zaro induktiv bog'langan zanjirlar

#### 1. Induktiv bog'langan g'altaklarning o'zaro ketma-ket ulanishi.

Bunday ulanish ikki xil bo'lishi mumkin: mos yoki qarama-qarshi ulanish. Mos ulangan g'altaklarda toklar bir xil nomli qismalarga nisbatan bir xil yo'nalgan bo'ladi (2.29-rasm, a). Qarama-qarshi ulangan



2.29-rasm.

g'altaklarda toklarning yo'naliishi bir xil nomlangan qismalarga nisbatan qurama-qarshi yo'nalangan bo'ladi (2.29-rasm, b).

Kirxgofning ikkinchi qonuniga asosan ikkita induktiv g'altakning o'zaro mos ulangan zanjiri uchun elektr muvozanat tenglamasini tuzamiz. Tokning musbat yo'naliishi va konturning aylanib chiqish yo'naliishi bir xil deb faraz qilaylik. Induktiv bog'langan elementlari bo'lgan elektr zanjirlarni bevosita hisoblash uchun zanjirlami hisoblashning avval ko'rib o'tilgan barcha usullari ishlataliladi, faqat tugun potensiallar usulini qo'llash uchun ba'zi bir qo'shimcha qoidalardan foydalanishga to'g'ri keladi.

O'zaro bog'langan ikkita induktiv g'altak ketma-ket va induktiv jihatdan mos ulanganda uning differensial tenglamasi quyidagicha yoziladi:

$$u = r_1 i + L_1 \frac{di}{dt} + M \frac{di}{dt} + r_2 i + L_2 \frac{di}{dt} + M \frac{di}{dt}.$$

Kompleks shaklda esa:

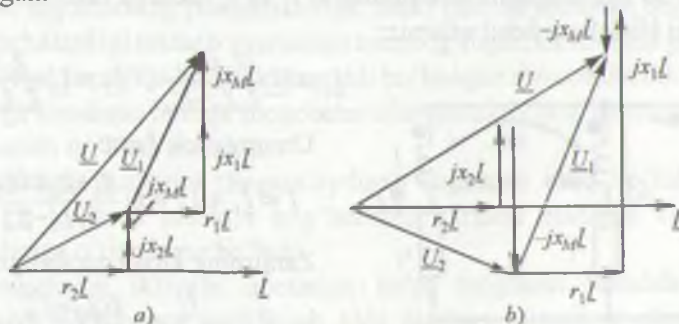
$$\underline{U} = r_1 \underline{I} + j\omega L_1 \underline{I} + j\omega M \underline{I} + j\omega L_2 \underline{I} + r_2 \underline{I} + j\omega M \underline{I} = Z_{\text{mos}} \underline{I},$$

bunda

$$Z_{\text{mos}} = r_1 + r_2 + j(\omega L_1 + \omega L_2 + 2\omega M) = r_1 + r_2 + j(x_1 + x_2 + 2x_M),$$

bu yerda  $x_M = \omega M$  — o'zaro induktiv qarshilik.

Mos ulangan zanjir uchun vektorlar diagrammasi 2.30-rasm, a da keltirilgan.



2.30-rasm.

G'altaklar ketma-ket va o'zaro qarama-qarshi ulanganda elektrik muvozanat tenglamasi differensial shaklda quyidagicha yoziladi:

$$u = r_1 i + L_1 \frac{di}{dt} - M \frac{di}{dt} + r_2 i + L_2 \frac{di}{dt} - M \frac{di}{dt},$$

kompleks shaklda esa:

$$\underline{U} = r_1 \underline{I} + j\omega L_1 \underline{I} - j\omega M \underline{I} + r_2 \underline{I} + j\omega L_2 \underline{I} - j\omega M \underline{I} = Z_{qq} \underline{I},$$

$$Z_{qq} = r_1 + r_2 + j(\omega L_1 + \omega L_2 - 2\omega M) = r_1 + r_2 + j(x_1 + x_2 - 2x_M).$$

Ketma-ket va induktiv jihatdan qarama-qarshi ulangan zanjir uchun vektorlar diagrammasi 2.30-rasm, b da keltirilgan.

Induktiv bog'langan g'altaklar o'zaro mos ulanganda ularning to'la qarshiligi ular o'zaro qarama-qarshi ulangandagiga nisbatan katta bo'ladi. Bu xususiyatdan o'zaro induktiv bog'langan g'altaklar bir xil nomlangan qismalarini aniqlashda foydalaniлади.

### 2. Induktiv bog'langan g'altaklarning o'zaro parallel ulanishi

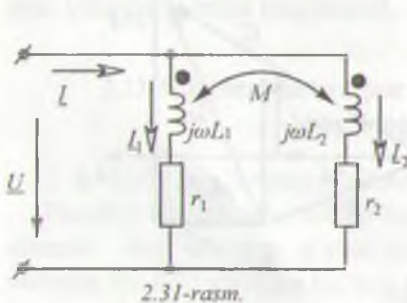
Ikkita o'zaro induktiv bog'langan g'altaklarning parallel ulanishini (2.31-rasm) tahlil qilish uchun Kirxgofning 1- va 2-qonunlariga asoslanib differensial va kompleks shakllarda muvozanat tenglamalarini tuzamiz:

$$i = i_1 + i_2, \quad u = r_1 i_1 + L_1 \frac{di_1}{dt} \pm M \frac{di_2}{dt}, \quad u = r_2 i_2 + L_2 \frac{di_2}{dt} \pm M \frac{di_1}{dt}, \quad \underline{I} = \underline{I}_1 + \underline{I}_2,$$

$$\begin{aligned} \underline{U} &= r_1 \underline{I}_1 + jx_1 \underline{I}_1 \pm jx_M \underline{I}_2, \\ \underline{U} &= r_2 \underline{I}_2 + jx_2 \underline{I}_2 \pm jx_M \underline{I}_1. \end{aligned} \quad \text{yoki} \quad \left. \begin{aligned} \underline{U} &= Z_1 \underline{I}_1 \pm Z_M \underline{I}_2, \\ \underline{U} &= Z_2 \underline{I}_2 \pm Z_M \underline{I}_1, \end{aligned} \right\}$$

bunda  $Z_1 = r_1 + jx_1$ ,  $Z_2 = r_2 + jx_2$ ,  $Z_M = \pm jx_M$

Agar o'zinduksiya va o'zaro induksiya magnit oqimlari yo'nalishlari mos tushsa, u holda  $x_M$  «musbat», aks holda esa — «manfiy» ishora bilan olinadi. So'ngi tenglamalar sistemasini  $I_1$  va  $I_2$  toklarga nisbatan yechib, quyidagi ifodalarni hosil qilamiz:



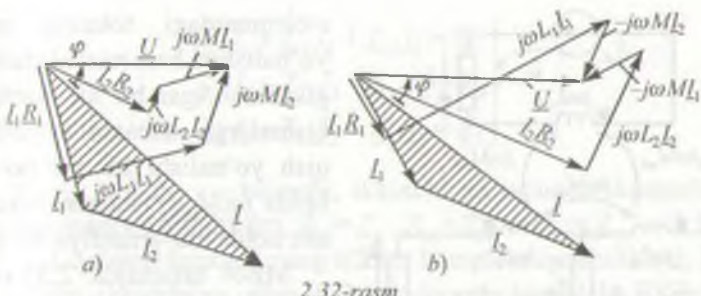
$$\underline{I}_1 = \underline{U} \frac{Z_2 \mp Z_M}{Z_1 Z_2 - Z_M^2}, \quad \underline{I}_2 = \underline{U} \frac{Z_1 \mp Z_M}{Z_1 Z_2 - Z_M^2}.$$

Umumiy tok  $I$  esa:

$$I = I_1 + I_2 = \underline{U} \frac{Z_1 + Z_2 \mp 2Z_M}{Z_1 Z_2 - Z_M^2}.$$

Zanjirning kirish qarshiligi:

$$Z_{kir} = \frac{\underline{U}}{\underline{I}} = \frac{Z_1 Z_2 - Z_M^2}{Z_1 + Z_2 \mp 2Z_M}.$$



2.32-rasm.

Agar  $r_1 = r_2 = 0$  bo'lsa, u holda:

$$L_1 = \frac{L_1 L_2 - M^2}{L_1 \mp M}, \quad L_2 = \frac{L_1 L_2 - M^2}{L_2 \mp M}, \quad L = \frac{L_1 L_2 - M^2}{L_1 + L_2 \mp 2M}.$$

2.32-rasmda o'zaro parallel ulangan va induktiv bog'langan ikkita yultak vektor diagrammalari qurilgan: a) mos; b) qarama-qarshi ulangan zanjirlar uchun.

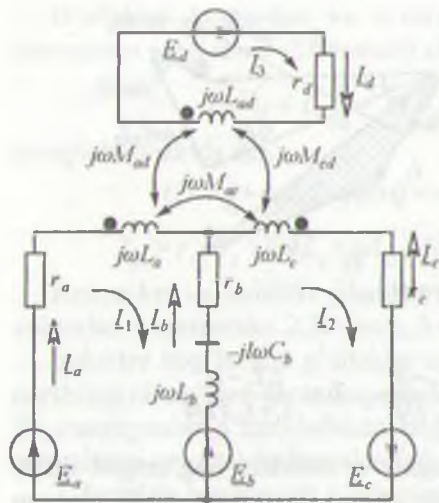
Vektor diagrammalarni qurishda manba kuchlanishi vektori  $U$  ning boshlang'ich fazasi nolga teng deb olingan.

#### 2.11.4. O'zaro induktiv bog'langan zanjirlarni hisoblash

Tarmoqlangan induktiv bog'langan zanjirlarni Kirxgofning birinchi va ikkinchi qonunlari asosida yoki kontur toklar usulida hisoblash mumkin. Tugun potensiallar usulini bevosita qo'llab bo'lmaydi, chunki bir shoxobchadagi tok nafaqat shu shoxobchadagi EYK va shoxobcha ulangan tugunlarning potensiallariga, balki boshqa induktiv bog'langan shoxobchalar toklari o'zgarishiga ham bog'lqidir. Ekvivalent generator usulini esa, faqat ikki qutblikka tegishli bo'limgan shoxobcha ikki qutblik tarkibiga kiradigan boshqa shoxobcha bilan induktiv bog'lanchagan elektr zanjirlarida qo'llash mumkin.

Hisoblash usullarini chegaralaydigan hollarda ozod bo'lish uchun ba'zi bir hollarda induktiv bog'lanishni bartaraf etadigan ekvivalent sxemalariga o'tish zarur bo'ladi.

Kirxgofning ikkinchi qonuniga ko'ra tenglama tuzishda o'zaro induksiya EYKi mos kuchlanish kabi hisobga olinadi.  $k$  elementdag'i kompleks  $\pm j\omega M_{ks} I_s$  kuchlanish ishorasi  $k$  elementini aylanib chiqishda



2.33-rasm.

s-elementdagi tokning mushos yo'nalishini ham nazarda tutib bolgilanadi. Agar bir xil nomlangan qismalarga nisbatan aylanib chiqish yo'nalishi bir xil bo'lsa, u holda  $j\omega M_{ks} I_s$  ishorasi «musbat», aks holda esa «manfiy» bo'ladi.

Misol tariqasida 2.33-rasmda keltirilgan zanjir uchun Kirxgof qonunlari asosida tenglamalari tuzamiz. Tenglamalardagi kuchlanishlar ifodalarini konturdagi elementlarning joylashish tartibiga ko'ra yozamiz:

$$I_a + I_b + I_c = 0,$$

$$\begin{aligned} r_a I_a + j\omega L_a I_a + j\omega M_{ac} I_c - j\omega M_{ad} I_d - r_b I_b + \frac{jI_b}{\omega C_b} - j\omega L_b I_b &= E_a - E_b, \\ j\omega L_b I_b + \frac{jI_b}{\omega C_b} + r_b I_b - j\omega L_c I_c + j\omega M_{ac} I_a - j\omega M_{cd} I_d - r_c I_c &= E_b + E_c, \\ r_d I_d + j\omega L_d I_d - j\omega M_{ad} I_a + j\omega M_{cd} I_c &= E_d. \end{aligned}$$

Kirxgofning 2-qonuniga asosan tuzilgan kontur toklar tenglamalari sistemasini ham keltiramiz:

$$\left[ r_a + r_b + j\left(\omega L_a + \omega L_b - \frac{1}{\omega C_b}\right) \right] I_1 - \left[ r_b - j\left(\omega L_b - \frac{1}{\omega C_b}\right) \right] \times \\ \times I_2 - j\omega M_{ad} I_3 = E_a - E_b;$$

$$- \left[ r_b - j\left(\omega L_b - \frac{1}{\omega C_b}\right) \right] I_1 + \left[ r_b + r_c + j\left(\omega L_b + \omega L_c - \frac{1}{\omega C_b}\right) \right] \times \\ \times I_2 - j\omega M_{cd} I_3 = E_b + E_c;$$

$$-j\omega M_{ab} I_1 - j\omega M_{cd} I_2 + (r_d + \omega L_d) I_3 = E_d;$$

Bu tenglamalarni quyidagicha ko'rinishda yozish mumkin:

$$\left. \begin{aligned} Z_{11}I_1 + Z_{12}I_2 + Z_{13}I_3 &= E_1 \\ Z_{21}I_1 + Z_{22}I_2 + Z_{23}I_3 &= E_2 \\ Z_{31}I_1 + Z_{32}I_2 + Z_{33}I_3 &= E_3 \end{aligned} \right\}$$

Bunda  $Z_{11}$ ,  $Z_{22}$  va  $Z_{33}$  — birinchi, ikkinchi va uchinchi konturlarning sinusiy kompleks qarshiliklari,  $Z_{12} = Z_{21}$ ;  $Z_{23} = Z_{32}$  va  $Z_{31} = Z_{13}$  — 1 va 2, 2 va 3, 3 va 1 qo'shni konturlarning o'zaro kompleks qarshiliklari;  $E_1$ ,  $E_2$ ,  $E_3$  — birinchi, ikkinchi va uchinchi konturlarning kompleks EYK lari.

Misol uchun:

$$Z_{11} = r_a + r_b + j\left(\omega L_a + \omega L_b - \frac{1}{\omega C_b}\right), \quad Z_{12} = -\left[r_b - j\left(\omega L_b - \frac{1}{\omega C_b}\right)\right],$$

$$Z_{13} = -j\omega M_{ab}; \quad E_1 = E_a - E_b.$$

Induktiv bog'langan zanjirlar uchun ham o'zarolik xossasi o'rnlidir. Bu holat o'zgarmas tok zanjirlari uchun o'zarolik xossasining qo'llanishi kabi tushuntiriladi.

**1-masala.** Induktiv bog'langan zanjir (masalan, avtotransformator) ning (2.34-rasm) 1-1' qismalariga sinusoidal kuchlanish ulangan. Yuklama ulanmagan chiqish qismalaridagi kuchlanish topilsin.

Berilgan:

$$r_2 = r_3 = 3 \Omega; \quad \omega L_2 = \omega L_3 = 4 \Omega; \quad \omega M = 2 \Omega; \quad U_1 = 10 \text{ V.}$$

**Yechish.** Kirish kuchlanishi  $U_1 = U_1 = 10 \text{ V.}$  Kirish tokini hisoblaymiz:

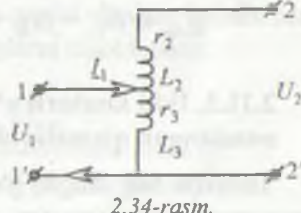
$$I_1 = \frac{U_1}{(r_3 + j\omega L_3)} = \frac{10}{(3 + j4)} = 1,2 - j1,6 \text{ A.}$$

Chiqish  $U_2$  kuchlanishi zanjirming 2 qismasidan 2' qismasigacha bo'lgan kuchlanishlar yig'indisidan iborat:

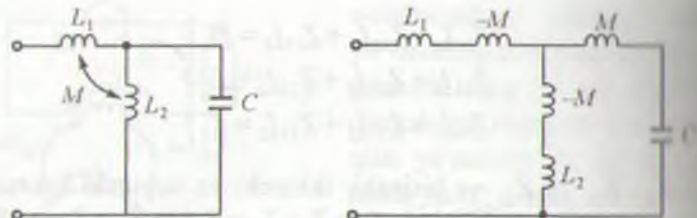
$$U_2 = j\omega M I_1 + U_1 = j2(1,2 - j1,6) + 10 = 13,2 + j2,4 \text{ V.}$$

Agar  $L_2$  induktivlikning pastki qismasi  $L_3$  induktivlikning yuqori qismasi bilan bir xil nomlangan bo'lsa, u holda  $L_2$  va  $L_3$  elementlardan o'tuvchi toklar bir xil nomlangan qismalarga nisbatan har xil yo'nalishda bo'ladi. Shuning uchun  $j\omega M I_1$  had  $U_2$  kuchlanish ifodasiga minus ishora bilan qo'shilar edi va bu holda:

$$U_2 = -j\omega M I_1 + U_1 = -j2(1,2 - j1,6) + 10 = -6,8 - j2,4 \text{ V.}$$



2.34-rasm.



2.35-rasm.

**2-masala.** Parametrlari  $x_{L_1} = 10 \Omega$ ,  $x_{L_2} = 5 \Omega$ ,  $x_M = 5 \Omega$ ,  $x_C = 10 \Omega$  bo'lgan zanjirning (2.35-rasm, a) kompleks kirish qarshiligini aniqlang.

**Yechish.** Bir xil nomlangan qismalar bitta tugunga ulanganligini hisobga olib zanjirni induktiv bog'lanishsiz ko'rinishga keltiramiz (2.35-rasm, b).

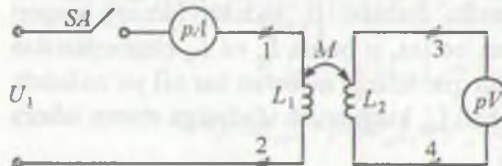
Hosil bo'lgan zanjir kirish qarshiligining kompleks qiymatini aniqlaymiz:

$$Z_{kir} = jx_{L_1} - jx_M + \frac{(jx_M - jx_C)(jx_{L_2} - jx_M)}{jx_M - jx_C + jx_{L_2} - jx_M} = j5 = 5e^{j90^\circ} \Omega.$$

#### 2.11.5. Ikki konturli o'zaro induktiv bog'langan zanjirda bir xil nomlangan qismalarni va o'zaro induktivlikni aniqlash usullari

Induktiv bog'langan g'altaklar bir xil nomlangan qismalarini aniqlash generator, transformator, elektr motor va bir qator radiotexnik hamda elektr o'lchash qurilmalarini normal ishlatalish uchun zarur bo'ladi.

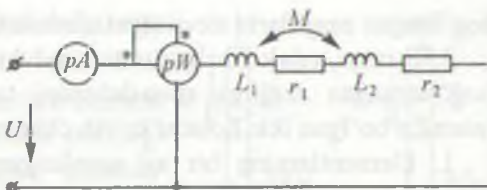
Ikkita o'zaro induktiv bog'langan g'altaklar bir xil nomli qismalarini tajribada aniqlash juda oson. Buning uchun 2.36-rasmdagi sxemaga binoan o'zgarmas tok manbaining «+» belgili qismasini birinchi g'altakning 1 belgili qismasiga, 2 belgili qismasini esa, manbaning «-» ishorali qismasiga ulanadi. Noli o'rtada joylashgan o'zgarmas tok voltmetri ikkinchi induktiv g'altakka ulanadi. Agar kalit SA ulanganda voltmetr mili (strelkasi) musbat yo'nalishga, ya'ni o'ngga burilsa, u holda ikkinchi



2.36-rasm.

induktiv g'altakning bir xil nomli qismasi 3 bo'ladi. Agar voltmetr strelkasi manfiy yo'nalishga, ya'ni chapga burilsa, u holda bir xil nomli qisma 4 bo'ladi.

a) o'zaro induktivlikni  
lashning birinchi usuli  
ish rejimida ikkinchi  
induktiv g'altakning qisma-  
da hosil bo'lgan  $U_2$  kuch-  
shini birinchi g'altak chul-  
midan o'tayotgan  $I_1$  tokka



2.37-rasm.

batimi olib, undan o'zaro induktiv qarshilik  $x_M$  ni va o'zaro induktivlikni hisoblash mumkin.

$x_M = U_2/I_1$ ;  $x_M = \omega M$  va bundan  $M = x_M/\omega$ . Yoki birinchi induktiv g'altakning amida hosil bo'lgan kuchlanish  $U_2$  ni ikkinchi g'altakdan o'tayotgan tok qiyamatiga bo'lib, o'zaro induktiv qarshilik  $x_M$  va o'zaro induktivlikni aniqlash mumkin:  $x_M = U_2/I_1$ ;  $x_M = \omega M$ ;  $M = x_M/\omega$ .

b) o'zaro induktivlikni aniqlashning ikkinchi usuli

Buning uchun 2.37-rasmda keltirilgan sxemani yig'amiz va U kuchlanish, I tok va P aktiv quvvatlarni o'zaro induktiv bog'langan ikkita g'altak ketma-ket va mos hamda ketma-ket va qarama-qarshi ulangan holatlarida o'chaymiz. O'chash natijalari asosida quyidagilarni hisoblaymiz:

$$\cos \varphi_{mos} = \frac{P_{mos}}{UI_{mos}}; \quad \cos \varphi_{q.q.} = \frac{q.q.}{UI_{q.q.}},$$

$$z_{mos} = \frac{U}{I_{mos}} = \sqrt{r_{mos}^2 + x_{mos}^2} = \sqrt{(r_1 + r_2)^2 + \omega^2(L_1 + L_2 + 2M)^2},$$

$$r_{mos} = r_1 + r_2 = Z_{mos} \cos \varphi_{mos}; \quad x_{mos} = \omega(L_1 + L_2 + 2M) = z_{mos} \sin \varphi_{mos},$$

$$z_{q.q.} = \frac{U}{I_{q.q.}} = \sqrt{r_{q.q.}^2 + x_{q.q.}^2} = \sqrt{(r_1 + r_2)^2 + \omega^2(L_1 + L_2 - 2M)^2},$$

$$r_{q.q.} = r_1 + r_2 = z_{q.q.} \cos \varphi_{q.q.}; \quad x_{q.q.} = \omega(L_1 + L_2 - 2M) = z_{q.q.} \sin \varphi_{q.q.}.$$

Bu ifodalarda *mos* indeksi — g'altaklar o'zaro induktiv jihatdan mos, q.q. indeksi esa, g'altaklar o'zaro qarama-qarshi ulashga taalluqli. O'zaro induktivlik quyidagicha hisoblanadi:  $M = (x_{mos} - x_{q.q.})/4\omega$ .

Bog'lanish koefitsiyenti esa  $k = M/\sqrt{L_1 L_2}$  bo'ladi.

## 2.11.6. Induktiv bog'langan zanjirlarning ekvivalent sxemalari

Induktiv bog'langan zanjirlarni tahlil etish va hisoblash birmuncha qiyinchiliklar tug'diradi. Bu ishni soddalashtirish maqsadida induktiv

bog'langan zanjirlarni ekvivalent almashtirish usuli qo'llaniladi.

2.38-rasm, a da keltirilgan o'zaro induktiv bog'langan zanjirni induktiv bog'lanmagan zanjirga almashtirishni tahlil qilaylik. Bunda bo'lishi mumkin bo'lgan ikki holatni ko'rib chiqamiz:

1. Elementlarning bir xil nomlangan qismalari umumiy tugung ulangan sxema (2.38-rasm, a).

2. Elementlarning har xil nomlangan qismalari umumiy tugung ulangan sxema (2.38-rasm, b).

Agar 3-tugunda faqat uchta shoxobcha ulangan bo'lsa, u holda sxemaga qo'shimcha shoxobcha kiritish shart emas.

1, 3 va 2, 3 qismalar orasidagi kuchlanishlar uchun quyidagi ifodalarni yozish mumkin:

$$\left. \begin{array}{l} \underline{U}_{13} = Z_1 I_1 \pm Z_M I_2, \\ \underline{U}_{23} = Z_2 I_2 \pm Z_M I_1. \end{array} \right\}$$

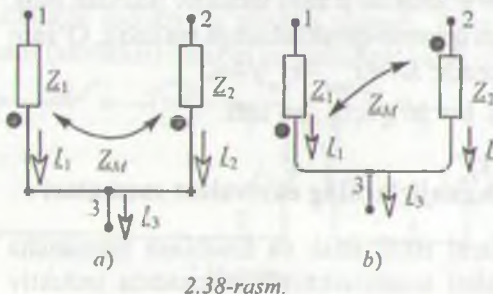
Ushbu tenglamalardagi «+» ishora bir xil nomlangan qismalar ulangan birinchi holatga, «-» ishora esa har xil nomlangan qismalar ulangan ikkinchi holatga mos keladi. Ishoralarning bunday tartibini keyingi ifodalar uchun ham qo'llaymiz.

$I_1 + I_2 - I_3 = 0$  ifodadan foydalanib sistemaning birinchi tenglamasidan  $I_2$  tokni, ikkinchi tenglamasidan esa  $I_1$  tokni istisno qilib, quyidagi tenglamalarni yozish mumkin:

$$\left. \begin{array}{l} \underline{U}_{13} = (Z_1 \mp Z_M) I_1 \pm Z_M I_3, \\ \underline{U}_{23} = (Z_2 \mp Z_M) I_2 \pm Z_M I_1. \end{array} \right\}$$

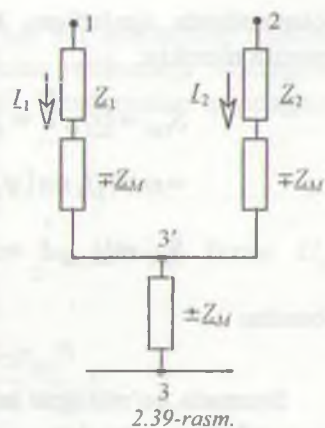
Bundan tashqari quyidagini hosil qilish mumkin:

$$\underline{U}_{12} = (Z_1 \mp Z_M) I_1 - (Z_2 \pm Z_M) I_2.$$



Yuqorida keltirilgan oxirgi uchta tenglama 2.39-rasm-dagi sxema uchun o'rinli va shuning uchun ham bu sxema induktiv bog'lanmagan ekvivalent sxema bo'ladi. Demak, zanjirdagi induktiv bog'lanishni istisno etish

uchun  $Z_1$  va  $Z_2$  qarshilikli shoxobchalarga  $\mp Z_M$  qo'shimcha qarshiliklar kiritib, 3'-3 tugunlar orasiga esa  $\mp Z_M$  qarshilikli element kiritish kerak bo'ladi.  $Z_M$  qarshilik oldidagi  $\leftrightarrow$  ishora bir xil nomlangan qismalar umumiy tugunga ulangan holatga to'g'ri keladi. Induktiv bog'langan elementlar uch qirrali yulduz yoki uchburchak usulida ulangan bo'lsa, yuqorida bayon etilgan ekvivalent almashlash usulidan foydalaniib, induktiv bog'lanishi bo'lmagan sxemaga o'tish mumkin. To'rt qirrali yulduz usulida ulangan sxemalarni ekvivalent almashlash birmuncha murakkab, chunki almashlash natijasida induktiv bog'langan elementlar umumiy tuguni bo'lmagan shoxobchalarda joylashgan bo'lib qoladi.



2.39-rasm.

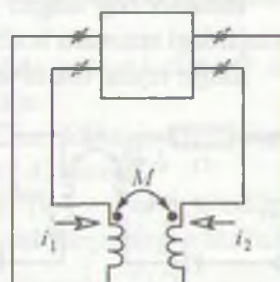
### 2.11.7. Induktiv bog'langan zanjirlarda energiya uzatish

Ikkita o'zaro induktiv bog'langan elementlarda o'zaro energiya uzatilishini ko'rib chiqamiz. Buning uchun induktiv bog'langan elementlardan tashqari zanjirning qolgan qismini aktiv to'rtqutblik sifatida qaraymiz (2.40-rasm).

Har bir davr mobaynida  $i_1$  va  $i_2$  toklarning o'zgarishi natijasida induktiv bog'langan elementlar magnit maydoni orqali berilayotgan energiya to'rtqutblikka qayta uzatiladi. Agar  $i_1$  va  $i_2$  toklar orasidagi fazal siljish burchagi bir-biriga nisbatan 0 va  $\pi$  oralig'ida bo'lsa, u holda magnit maydonini hosil qilishga sarflanayotgan energiya maydondan qaytayotgan energiyaga nisbatan ko'proq bo'ladi va aksincha, boshqa elementdan magnit maydoniga berilayotgan energiya maydondan chiqayotgan energiyadan kam bo'ladi. Natijada energiya bir elementdan boshqa elementga uzatilib turadi.

Quyidagi toklar ma'lum bo'lsin:  $I_1 = I_1 e^{j\varphi_1}$  va  $I_2 = I_2 e^{j\varphi_2}$ .

O'zaro induksiya ta'sirida birinchi va ikkinchi



2.40-rasm.

elementlarda ajraladigan kompleks quvvatlar ifodasini quyidagicha yozish mumkin:

$$\left. \begin{aligned} \bar{S}_{1M} &= \underline{U}_{1M} \dot{\underline{I}}_1 = j\omega M I_2 I_1 e^{j(\psi_2 - \psi_1)} = \\ &= \omega M I_2 I_1 \sin(\psi_2 - \psi_1) + j\omega M I_2 I_1 \cos(\psi_2 - \psi_1), \\ \bar{S}_{1M} &= \underline{U}_{2M} \dot{\underline{I}}_2 = -j\omega M \dot{I}_1 \dot{\underline{I}}_2 = -S_{-1M}. \end{aligned} \right\}$$

bundan

$$P_{1M} = -P_{2M} = \omega M I_1 \sin(\psi_1 - \psi_2).$$

Sxemada ko'rsatilgan tok va kuchlanishlarning muşbat yo'nalishida quvvatlarning musbat qiymati aktiv to'rtqutblikdan elementlarga berilayotgan energiyaga mos keladi, quvvatlarning manfiy qiymati esa, elementdan to'rtqutblikka uzatiladigan energiyaga mos keladi.

Lekin o'zaro induksiya ta'sirida paydo bo'ladigan va ikkala elementga berilayotgan aktiv quvvat nolga teng, ya'ni  $P_{1M} + P_{2M} = 0$  bo'ladi.

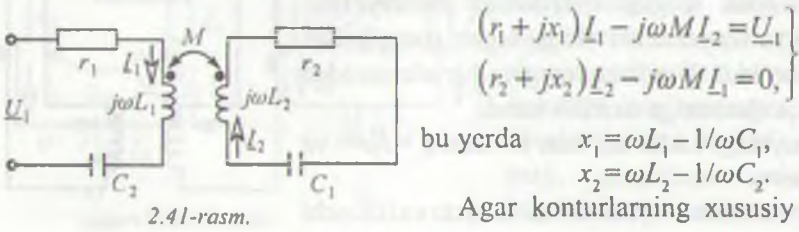
Agar  $\pi > \psi_1 - \psi_2 > 0$  bo'lsa, u holda  $P_{1M} > 0$ ,  $P_{2M} < 0$ , ya'ni fizik nuqtai nazardan, energiya to'rtqutblikdan olinib, birinchi elementdan ikkinchi element orqali yana to'rtqutblikka qayta uzatiladi. Agar  $2\pi > \psi_1 - \psi_2 > \pi$  bo'lsa, u holda  $P_{2M} > 0$  va  $P_{1M} < 0$  bo'ladi. Bu holda energiya ikkinchi elementdan birinchi element orqali to'rtqutblikka qayta uzatiladi.

### 2.11.8. Induktiv bog'langan konturlarda rezonans

Amaliyotda radiotexnik va elektron qurilmalarda, konturlari o'zaro induktiv yoki sig'imiyligining bog'langan zanjirlar keng qo'llaniladi.

Induktiv bog'langan va reaktiv elementlari o'zaro ketma-ket ulangan zanjirdagi rezonans hodisalarini ko'rib chiqamiz (2.41-rasm).

Zanjir rejimi ikkita tenglama bilan aniqlanadi:



chak chastotalari  $\omega_1 = \omega_2 = 1/\sqrt{LC} = \omega_0$  va har bir konturning reaktiv qarshiligi  $x=0$  bo'lsa, u holda har bir kontur rezonansga sozlangan bo'ladi. Bunday holat *to'la rezonans* deyiladi. Tenglamadan quydagini keltirib chiqarish mumkin:

$$I_{1rez} = \frac{r_1 U_1}{(r_1^2 + \omega_0^2 M^2)},$$

Zanjir rezonansga sozlanganligi uchun bu tokning fazasi  $U_1$  kuchlanishning fazasi bilan bir xil bo'ladi.

Ikkinchi konturdagi tok esa

$$I_{2rez} = j\omega_0 \frac{M I_{1rez}}{r_2} = j\omega_0 \frac{M r_1}{(r_2^2 + \omega_0^2 M^2) r_2} U_1.$$

Har qanday boshqa chastotada  $I_2$  tok uchun quydagini hosil qilish mumkin:

$$I_2 = \frac{j\omega M U_1}{[(r_2 + jx_2)^2 + (\omega^2 M^2)]}.$$

Nisbiy birlikda:

$$\frac{I_2}{I_{2rez}} = \frac{\omega}{\omega_0} \cdot \frac{r_2^2 + \omega_0^2 M^2}{(r_2 + x_2)^2 + \omega^2 M^2} = \omega^* \cdot \frac{1 + \omega_0^2 M^2 / r_2^2}{(1 + x_2 / r_2)^2 + \omega^2 M^2 / r_2^2} = \omega^* \cdot \frac{1 + (kQ)^2}{(1 + \xi)^2 + (kQ)^2},$$

chunki  $\frac{\omega_0 M}{r_2} = \frac{\omega_0 L}{r_2} \cdot \frac{M}{L} = kQ$ ,

$$\omega^* = \frac{\omega}{\omega_0} — nisbiy chastota,$$

$Q$  — har bir konturning asllik koefitsiyenti,

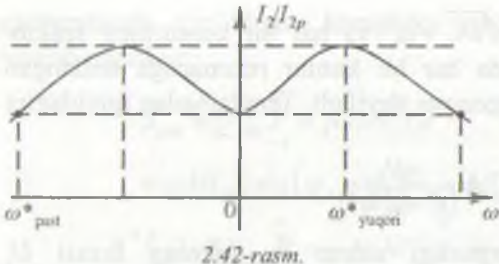
$$k = \frac{M}{\sqrt{L_1 L_2}} — bog'lanish koefitsiyenti va$$

$\xi = \frac{\omega L - 1}{\omega C} = \frac{\omega^* \omega_0 L - 1}{\omega^* \omega_0 C} = Q \left( \frac{\omega^* - 1}{\omega^*} \right) = \xi — konturning umumlashgan nosozligi.$

Zanjirning rezonans xarakteristikasini qurishda  $\omega/\omega_0 = 1$  deb,  $Q$  ni hisoblashda esa,  $\omega L = \omega_0 L$  deb qabul qilish mumkin.

Konturlar kuchli bog'langan, ya'ni  $kQ > 1$  bo'lsa, ikkita maksimumga ega bo'lgan rezonans egri chizig'i hosil bo'ladi (2.42-rasm).

Ushbu zanjirning signalni o'tkazish kengligi ( $\omega^*_{\text{yopchi}} - \omega^*_{\text{post}}$ ), oddiy bir konturli  $L$  va  $C$  elementlar ketma-ket ulangan zanjirning o'tkazish qobiliyatidan 3,1 marta katta bo'ladi.  $kQ > 1$  bo'lganda  $\frac{I_2}{I_{2rez}} = \frac{1}{\sqrt{1 + \xi^4 / 4}}$



2.42-rasm.

lanish koefitsiyentiga bog'liq.

Tokning eng katta qiymati esa  $\omega_0 M = r$  shart bajarilganda  $I_{2\text{max}} = U_1 / 2r$  ga teng bo'ladi.

Konturlarda xususiy rezonans rejimini o'rnatish uchun har bir kontur parametrlarini-kondensator sig'imini yoki g'altak induktivligini o'zgartirish mumkin.

«Murakkab rezonans» esa, bog'lanish koefitsiyenti va kontur parametrlarini o'zgartirish bilan amalga oshiriladi.

### 2.11.9. O'zaksiz transformatorlar. Transformatorlarni almashlash sxemasi va vektor diagrammasi

O'zaksiz transformatorlar radiotexnikada va o'chash texnikasida keni qo'llaniladi. Umumiy holda transformator statik elektromagnit qurilma bo'lib, unda elektr energiya zanjirning bir qismidan ikkinchi qismiga o'zaro induktiv bog'lanish yordamida uzatiladi. Transformatorlar induktiv bog'langan bir necha chulg'am (g'altak) lardan iborat bo'lib, ularning induktivligini oshirish va sochilgan magnit oqimlarini kamaytirish maqsadida chulg'amlar umumiy ferromagnit o'zakka joylashtiriladi. Transformator chulg'amlaridan biri energiya manbaiga ulanadi, qolgan chulg'amlariga esa, iste'molchilar ulanadi. Energiya manbaiga ulangan chulg'amni *birlamchi*, qolganlarini esa *ikkilamchi chulg'amlar* deb ataladi. Transformator chulg'amlari bir-biridan elektr izolyasiyalangan bo'lishi kerak. Magnit materiallarining xossalari magnit maydonining kuchlanganligiga bog'liq bo'lgani uchun, ular shu magnit maydonni hosil qiluvchi toklarga ham bog'liq bo'ladi. Shuning uchun o'zakli transformator umumiyl holda chiziqli bo'limgan xarakteristikali qurilmadir. Undagi jarayonlar chiziqli bo'limgan differensial tenglamalar bilan ifodalanadi. Ferromagnit o'zaksiz (havoli) transformatorda elektromagnit jarayonlar

va  $\xi = \pm \sqrt{2}$  bo'ladi. Bu holda ham o'zaro induktiv bog'langan ikki kontur zanjirning o'tkazish qobiлиятини бир контурли занжирнидан кatta bo'ladi.

Shunday qilib,  $I_{2\text{max}}$  tok qiymati konturlarning bog'

chiziqli differensial tenglamalar bilan ifodalanadi, shu sababdan bunday transformatorlar *chiziqli transformatorlar* deb ataladi (2.43-rasm).

Ikki chulg'aqli chiziqli transformatorni o'zaro induktiv bog'langan ikkita g'altak ko'rinishida qarash mumkin.

Transformator chulg'amlaridagi energiya isrofini  $r_1$  va  $r_2$  rezistiv qarshiliklar bilan hisobga olinadi. Induktiv bog'langan zanjir tenglamasidan foydalaniib sxemasi 2.43-rasmida keltirilgan ideal zanjir uchun kuchlanishlar muvozanat tenglamasini tuzamiz:

$$\left. \begin{aligned} U_1 &= r_1 i_1 + L_1 \frac{di_1}{dt} - M \frac{di_2}{dt} \\ -U_2 &= r_2 i_2 + L_2 \frac{di_2}{dt} - M \frac{di_1}{dt} \end{aligned} \right\}$$

Tok va kuchlanishlarning kompleks ifodasiga o'tamiz:

$$\left. \begin{aligned} \underline{U}_1 &= (r_1 + j\omega L_1) \underline{I}_1 - j\omega M \underline{I}_2 \\ -\underline{U}_2 &= [(r_2 + j\omega L_2)] \underline{I}_2 - j\omega M \underline{I}_1 \end{aligned} \right\} \quad (2.3)$$

Agar tahlil qilinayotgan ikki chulg'aqli chiziqli transformatorda ikkilamchi chulg'am toki  $I_1 = 0$  bo'lsa, u holda transformatorning bu holati uning *salt ish rejimi* deyiladi. Bu rejim uchun birlamchi chulg'am toki  $\underline{I}_1$  ni aniqlaymiz:

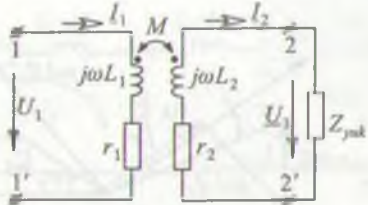
$$\underline{I}_1 = \frac{\underline{U}_1}{r_1 + j\omega L_1} = \underline{I}_{10}.$$

Transformatorning salt ish rejimida manbadan qabul qilayotgan toki  $\underline{I}_{10}$  magnitlovchi tok deb ataladi.

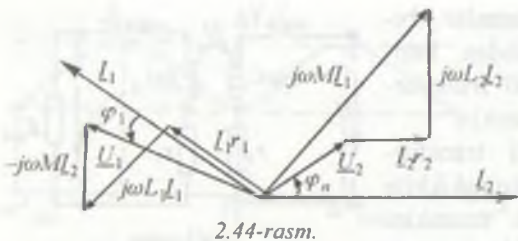
(2.3) tenglamalar sistemasini  $\underline{U}_1$  kuchlanish va  $\underline{I}_1$  tokka nisbatan yechamiz:

$$\underline{U}_1 = \left[ \frac{r_1 + j\omega L_1}{j\omega M} + \frac{(r_1 + j\omega L_1)(r_2 + j\omega L_2) + \omega^2 M^2}{j\omega M Z_{yuk}} \right] \underline{U}_2, \quad \underline{I}_1 = \frac{r_2 + j\omega L_2 + Z_{yuk}}{j\omega M} \underline{I}_2.$$

Chiziqli transformatorda  $\underline{U}_1$  kuchlanish va birlamchi chulg'am toki  $\underline{I}_1$ , ikkilamchi chulg'am  $\underline{U}_2$  kuchlanishi va toki  $\underline{I}_2$  ga mos ravishda proporsional bo'lib, proporsionallik koefitsiyenti ikkala tenglamada ham iste'molchi qarshiligi  $Z_{yuk} = \underline{U}_2 / \underline{I}_2$  ga bog'liq bo'ladi.



2.43-rasm.



2.44-rasm.

Ferromagnit transformator vektor grammasini quramiz (2.44-rasm).

Bunda iste'molchidagi  $Z_{yuk} = Z_{yuk} e^{j\varphi_{yuk}}$  ni induktiv xarakterga ega

faraz qilamiz. Tok  $I_2$  ni +1 abssissa yarim o'qi bo'yicha yo'nalturamiz. Iste'molchidagi kuchlanish  $U_{yuk}$  tok  $I_2$  ga nisbatan  $\varphi_y$  burchakka oldindida,  $r_2 I_2$  esa kuchlanishi faza jihatidan tok  $I_2$  bilan bir xil bo'ladi. Vektor  $j\omega M I_2$  esa, tok  $I_2$  ga nisbatan  $90^\circ$  oldindida bo'ladi, (2.3) tenglamaga asosan vektor  $j\omega M I_2$  ni shunday o'tkazamizki, unda ikkilamchi zanjir kuchlanishiga vektorlarining yig'indisi nolga teng bo'lsin.  $I_1$  tok vektori kuchlanishiga  $j\omega M I_2$  vektoridan  $90^\circ$  orqada qoladi. Vektor  $r_1 I_1$  faza jihatidan  $I_1$  tok vektori bilan mos tushadi, vektor  $j\omega L_1 I_1$  esa vektor  $I_1$  dan  $90^\circ$  oldindida bo'ladi.  $j\omega M I_2$  vektori  $I_2$  vektorga nisbatan  $90^\circ$  oldindida bo'ladi. Unda  $U_1 = r_1 I_1 + j\omega L_1 I_1 + (-j\omega M I_2)$ .

Elektr zanjirlar nazariyasida «mukammal» va «ideal» transformator tushunchalari katta ahamiyatga ega.

*Mukammal transformator* deb bog'lanish koefitsiyenti birga ( $k=1$ ) teng bo'lgan ideal to'rtqutblikka aytildi. Demak, bunday transformatororda sochilgan magnit oqimlari bo'lmaydi.

Agar yuqoridagi ifodalarda  $r_1 = r_2 = 0$  va  $M = \sqrt{L_1 L_2}$  bo'lsa, u holda birlamchi chulg'amdag'i tok va kuchlanish mukammal transformator uchun quyidagicha ifodalanadi:

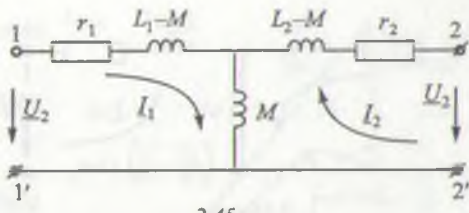
$$U_1 = \left( \sqrt{\frac{L_1}{L_2}} \right) U_2, \quad I_1 = \left[ \left( \sqrt{\frac{L_2}{L_1}} \right) + \left( \sqrt{\frac{Z_{yuk}}{j\omega L_2}} \right) \left( \sqrt{\frac{L_1}{L_2}} \right) \right] I_2, \quad n = \sqrt{\frac{L_1}{L_2}} = \frac{L_2}{M} = \frac{L_2}{L_1}.$$

bu yerda  $n$  — transformatsiya koefitsiyenti deb ataladi. Transformatsiya koefitsiyenti o'ramlar soni orqali quyidagicha ifodalanadi:

$$n = w_1 / w_2, \quad U_1 = n U_2, \quad I_1 = (I_2 / n + I_{10}).$$

Mukammal transformatorning magnitlovchi toki  $I_{10} = U_1 / j\omega L_1$  ga teng bo'ladi, chunki unda  $r_1 = 0$ . Birlamchi chulg'am kuchlanishining ikkilamchi chulg'am kuchlanishiga nisbatli transformatsiya koefitsiyentiga teng, ya'ni  $n = U_1 / U_2$  va u iste'molchi qarshiligiga bog'liq emas. Mukammal transformatorning kompleks almashlash sxemasi 2.45-rasmda keltirilgan.

Agar mukammal transformatorning magnitlovchi to'l nolga teng bo'lsa, bunday transformator *ideal transformer* deb ataladi.  $I_{10} = U/\omega L_1$ , holdadan ko'rinishib turibdiki, agar mukammal transformatororda



2.45-rasm.

$I_{10} = \infty$  bo'lsa, u holda uning magnitlovchi toki nolga teng bo'ladi.

Demak, ideal transformator tenglamalarini  $U_1 = nU_2$  ko'rinishda yozish mumkin. Oniy qiymatlar uchun esa:  $i_1 = i_2/n$ ,  $u_1 = nu_2$  bo'ladi.

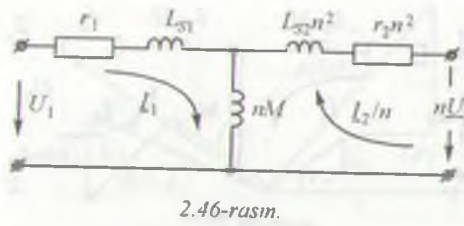
Agar ideal transformator 2-2' qismalariga  $Z_{\text{isk}} = U_2/I_2$  kompleks qarshilikli istemolchi ulangan bo'lsa, u holda transformatorning 1-1' qismalari tomonidan kirish qarshilikgi  $Z_{\text{kip}} = U_1/I_1 = U_2 n^2 / I_2 = n^2 Z_{\text{isk}}$  bo'ladi.

Shunday qilib, iste'molchi qarshiligi qanday xarakterda bo'lsa, transformatorning kirish qarshiligi shunday xarakterda bo'ladi, ammo uning moduli  $n^2$  marta farq qiladi. Transformatorlarning qarshiliklar «modulini» o'zgartirish xususiyati radiotexnika qurilmalarida keng qo'llaniladi. Manba qarshiligini iste'molchi qarshiligi bilan moslashda real transformatororda ideal transformatorga qaraganda quvvat isrofi yuzaga keladi, ba'zi hollarda esa transformatorning chulg'amlarida sig'im qarshiliklar paydo bo'lib, induktivligi chegara qiymatga cga bo'ladi va sochilgan magnit maydonlar nolga teng bo'lmaydi. Bunday holat yuqori chastotada sodir bo'ladi. Demak, bunday holatni real transformatorlarda hisobga olish kerak bo'ladi.

Agar kuchlanishlar muvozanati tenglamalari (2.3) ning birinchisiga  $j\omega M I_1$  ni, ikkinchisiga esa  $j\omega M I_2$  ni qo'shib va ayirsak, u holda quyidagi tenglamalarni hosil qilamiz:

$$\left. \begin{aligned} U_1 &= [r_1 + j\omega(L_1 - M) + j\omega M]I_1 - j\omega M I_2 \\ -U_2 &= [r_2 + j\omega(L_2 - M) + j\omega M]I_2 - j\omega M I_1 \end{aligned} \right\}$$

Bu tenglamalar tegishli konturlarning tenglamasi bo'lib, 2.45-rasmida keltirilgan sxemaga taalluqli va uni ferromagnito'zaksiz transformatorning almashlash sxemasi sifatida qarashimiz mumkin. Sxemaga kiruvchi  $L_1 - M$  va  $L_2 - M$  kattaliklar faqat birlamchi va ikkilamchi chulg'amlarning o'ramlari soni bir-biriga teng ( $w_1 = w_2$ ) bo'lganda, ma'lum fizik ma'noga ega ekanligi rasmdan ko'rinishib turibdi. Sochilgan induktivliklar  $L_{s1}$  va  $L_{s2}$



2.46-rasm.

foydalaniladi. Bunday sxema 2.46-rasmida ko'rsatilgan.

Ikkilamchi chulg'amning kuchlanishi  $U_2$  va toki  $I_2$  birlamchi chulg'amga keltiriladi va tegishli kattaliklar bilan almashtiriladi:  $U_2$  kuchlanish  $n$  ga ko'paytiriladi, toki esa  $n$  ga bo'linadi. Unda tenglamalar sistemasi quyidagicha yoziladi:

$$\begin{aligned} U_1 &= (r_1 + j\omega L_1)I_1 - j\omega \frac{nM}{n} I_2; \\ -nU_2 &= n^2(r_2 + j\omega L_2)I_2/n - j\omega M I_1. \end{aligned}$$

Bulami quyidagicha o'zgartiramiz:

$$\begin{aligned} U_1 &= [r_1 + j\omega(L_1 - nM)]I_1 + j\omega nM I_1 - j\omega nM \frac{I_2}{n}, \\ -nU_2 &= n^2[r_2 + j\omega(L_2 - M/n)]\frac{I_2}{n} + j\omega nM \frac{I_2}{n} - j\omega nM I_1. \end{aligned}$$

Bu tenglamalar transformatorning keltirilgan almashlash sxemasining konturlari tenglamasini tashkiletadi (2.46-rasm). Transformatorning birlamchi chulg'amiga keltirilgan almashlash sxemasi quyidagi qismlardan iborat: birlamchi chulg'amning  $r_1$  — aktiv qarshiligi va  $L_{s1}$  — sochilgan induktivligi; ko'ndalang shoxobcha induktivligi  $-(w_1/w_2)M$  (bu shoxobcha magnitlovchi shoxobcha deb ataladi). Birlamchi chulg'amga keltirilgan parametrlar  $r_2$  va  $L_{s2}$  larni  $n^2$  ga bo'lish bilan aniqlanadi.  $\omega L_{s1}$  va  $\omega L_{s2}$  lar transformator birlamchi va ikkilamchi chulg'amlarining sochilgan induktiv qarshiliklari,  $n\omega M$  esa magnitlovchi shoxobcha induktiv qarshiligi hisoblanadi.

Magnitlovchi kuch transformatorning umumiy magnit oqimini aniqlaydi va u birlamchi va ikkilamchi chulg'amlarda toklar qaramaqarshi yo'nalgan bo'lganda quyidagicha aniqlanadi:

$$i_1 w_1 - i_2 w_2 = \left( i_1 - \frac{w_2}{w_1} i_2 \right) w_1 = \left( i_1 - \frac{i_2}{n} \right) w_1.$$

$(i_1 - i_2/n)$  toklar va ularga mos  $(I_1 - I_2/n)$  kompleks toklar birlamchi chulg'amga keltirilgan sxemada magnitlovchi shoxobchadan o'tadi va

transformatorning birlamchi va ikkilamchi chulg'amning tegishli bo'ladi. Agar birlamchi va ikkilamchi chulg'amning o'ramlari soni teng bo'lmasa, u holda transformatorning keltirilgan almashlash sxemasida:

transformatorning *magnitlovchi toki* deb ataladi.

2.46-rasmida keltirilgan sxema uchun vektorlar diagrammasi 2.47-rasmida keltirilgan.

Vektor diagrammani qurishda ikkilamchi chulg'am kuchlanishi va toki birlamchi chulg'amga keltirilgan parametrlariga mos qilib olinadi. Keltirilgan aktiv qarshilik  $n^2 r_2$  va sochilgan induktiv qarshilik  $n^2 \omega L_{s2}$  lardagi kuchlanishlar tushushi geometrik qo'shiladi, keltirilgan ikkilamchi kuchlanish  $nU_2$  bilan bu chulg'ama da hosil bo'lgan kuchlanishlarning geometrik yig'indisi magnitlovchi tokni magnitlash shoxobchasida hosil qilgan kuchlanish tushushi  $j\omega nM(I_1 - I_2/n)$  ga teng bo'ladi; bu holda magnitlovchi tok undan hosil bo'lgan kuchlanish tushuvidan  $90^\circ$  orqada bo'ladi. Birlamchi tok ikkilamchi keltirilgan tok bilan magnitlovchi tokning geometrik yig'indisiga teng, ya'ni:

$$(I_1 - I_2/n) + I_2/n = I_1.$$

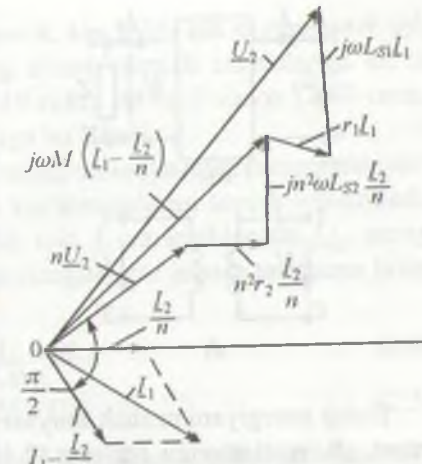
Birlamchi chulg'amning aktiv qarshiligidagi va sochilgan induktiv qarshiligidagi kuchlanishlar tushushi geometrik qo'shiladi va magnitlovchi shoxobcha kuchlanishi bilan birlamchi kuchlanishni hosil qiladi.

## 2.12. TO'RTQUTBLIKLAR

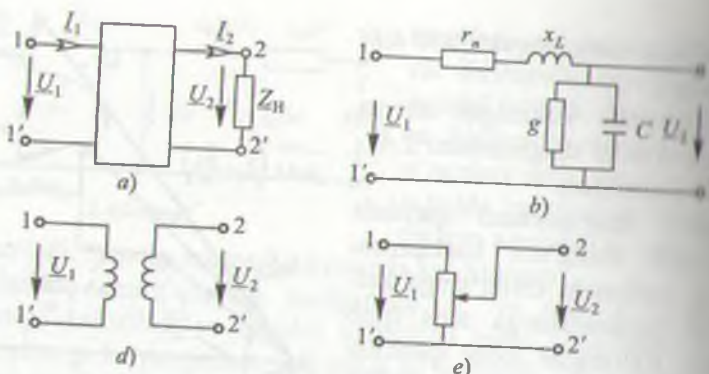
### 2.12.1. Umumiy ma'lumotlar

*Ikkita kirish va ikkita chiqish qismalariga ega bo'lgan zanjirning qismi to'rtqutblik deb ataladi.* Bunda to'rtqutblikning energiya manbaiga ulanadigan qismalari kirish, yuklama ulanadigan qismalari esa chiqish qismalari hisoblanadi.

Elektr sxemalarda to'rtqutblik 1-1' kirish va 2-2' chiqish qismalari bo'lgan to'g'ri to'rburchak ko'rinishda belgilanadi (2.48-rasm, a).

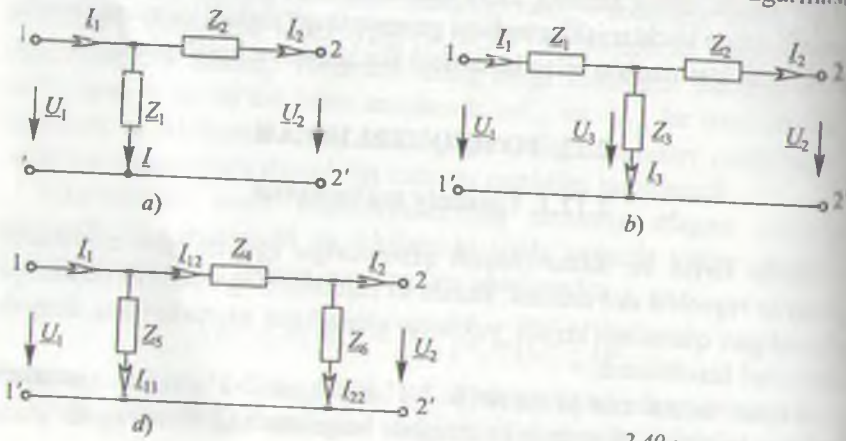


2.47-rasm.



2.48-rasm.

Elektr energiyani uzatish liniyasi (2.48-rasm, b), transformator (2.48-rasm, d), rostlanuvchi rezistor (2.48-rasm, e), to'g'rilaqich qurilmalar, ko'priq sxemalari, elektr filtrlar, kuchaytirgichlar va boshqa ko'pgina qurilmalar to'rtqutblik sifatida qaralishi mumkin. Agar to'rtqutblik ichida energiya manbai mavjud bo'lsa, u holda u *aktiv*, aks holda esa *passiv* deb ataladi hamda to'g'ri to'rburchak ichiga mos ravishda A va P harflari yozish bilan farqlanadi. Agar to'rtqutblik faqat chiziqli elementlardan tashkil topgan bo'lsa, u holda u *chiziqli to'rtqutblik*, tarkibida hech bo'limganda bitta chiziqli bo'limgan elementi bo'lgan to'rtqutblik emas. *chiziqli bo'limgan to'rtqutblik* deb ataladi. Agar to'rtqutblik qismalari o'rni almashtirilganda, ya'ni kirish qismalari yuklamaga, chiqish qismalari energiya manbaiga ulanganda, uning kirish va chiqish toklari o'zgarmas.



2.49-rasm.

holda bunday to'rtqutbliklar *simmetrik*, aks holda esa *nosimmetrik* deb degildi. To'rtqutblik elementlarining o'zaro ularish sxemalariga ko'ra T-simon (2.49-rasm, a), T-simon (2.49-rasm, b) va  $\Pi$ -simon (2.49-rasm, c) almashlash sxemali to'rtqutbliklarga bo'linadi.

To'rtqutblikni hisoblash deganda uning umumlashgan parametrlaridan oydalananib kirish va chiqish tok va kuchlanishlarini topish tushuniladi. Utiyoriy passiv to'rtqutblikda kirish toki  $I_1$  va kuchlanishi  $U_2$ , uning chiqish toki  $I_2$  va kuchlanishi  $U_1$  quyidagi ikkita *asosiy* tenglama bilan oydalaniadi:

$$\underline{U}_1 = \underline{A}\underline{U}_2 + \underline{B}\underline{I}_2, \quad (2.4)$$

$$\underline{I}_1 = \underline{C}\underline{U}_2 + \underline{D}\underline{I}_2 \quad (2.5)$$

bu yerda  $A, B, C, D$  — to'rtqutblikning kompleks koefitsiyent (doimiy) lari. Bu koefitsiyentlar to'rtqutblik elementlarining ularish sxemalariga va elementlarning xarakteriga bog'liq bo'lib,  $AB - CD = 1$  munosabat bilan aniqlanadi.

To'rtqutblikning yuqorida keltirilgan asosiy tenglamalari asosida uning turli xil almashlash sxemalarini hosil qilish mumkin. Bu sxemalar to'rtqutblik umumiyy xossalarni tahlil qilishni osonlashtiradi. Amaliyotda ko'pincha T-simon va  $\Pi$ -simon almashlash sxemalardan keng foydalaniladi.

### 2.12.2. To'rtqutblikning T-simon almashlash sxemasi

T-simon almashlash sxemasi uchun to'rtqutblik koefitsiyentlarini aniqlaymiz (2.49-rasm, b). Kirxgof qonunlariga ko'ra:

$$\underline{U}_1 = \underline{I}_1 \underline{Z}_1 + \underline{U}_3 = \underline{I}_1 \underline{Z}_1 + \underline{I}_2 \underline{Z}_2 + \underline{U}_2, \quad (2.6)$$

$$\underline{I}_1 = \underline{I}_2 + \underline{I}_3 = \underline{I}_2 + \frac{\underline{U}_1}{\underline{Z}_1} = \underline{I}_2 + \frac{\underline{I}_2 \underline{Z}_2 + \underline{U}_2}{\underline{Z}_3}. \quad (2.7)$$

(2.7) ifodani (2.6) tenglamaga qo'yib, hosil qilamiz:

$$\underline{U}_1 = \left(1 + \frac{\underline{Z}_1}{\underline{Z}_3}\right) \underline{U}_2 + \underline{I}_2 \left(\underline{Z}_1 + \underline{Z}_2 + \frac{\underline{Z}_1 \underline{Z}_2}{\underline{Z}_3}\right) = \underline{A}\underline{U}_2 + \underline{B}\underline{I}_2,$$

bu yerda  $A = \left(1 + \frac{\underline{Z}_1}{\underline{Z}_3}\right)$ ,  $B = \underline{Z}_1 + \underline{Z}_2 + \frac{\underline{Z}_1 \underline{Z}_2}{\underline{Z}_3}$ .

(2.7) tenglamani quyidagicha o'zgartiramiz:

$$\underline{L}_1 = \frac{1}{\underline{Z}_3} \underline{U}_2 + \underline{L}_2 \left( 1 + \frac{\underline{Z}_2}{\underline{Z}_3} \right) = \underline{C} \underline{U}_2 + \underline{D} \underline{L}_2,$$

bu yerda  $\underline{C} = \frac{1}{\underline{Z}_3}$ ,  $\underline{D} = 1 + \frac{\underline{Z}_2}{\underline{Z}_3}$ .

Yuqoridagi ifodalardan ko'rinish turibdiki,  $\underline{B}$  koeffitsiyent qaralish birligida,  $\underline{C}$  o'tkazuvchanlik birligida bo'lib,  $\underline{A}$  va  $\underline{D}$  koeffitsiyentlar o'lechovsiz kattaliklar hisoblanadi. Simmetrik to'rtqutbliklarda  $\underline{Z}_1 = \underline{Z}_3$  bo'lib,  $\underline{A} = \underline{D}$  shart bajariladi.

Agar to'rtqutblik koeffitsiyentlari ma'lum bo'lsa, u holda  $\Pi$ -simon almashlash sxema parametrlari quyidagicha aniqlanadi:

$$\underline{Z}_1 = \frac{\underline{D}-1}{\underline{C}}, \quad \underline{Z}_2 = \frac{\underline{D}-1}{\underline{C}}, \quad \underline{Z}_3 = \frac{1}{\underline{C}}.$$

Oxirgi munosabatlardan quyidagicha xulosa chiqarish mumkin to'rtqutblik kirish va chiqish qismalari o'zaro almashtirilsa,  $\underline{B}$  va  $\underline{C}$  koeffitsiyentlar o'zgarmaydi, ammo tenglamalarda  $\underline{A}$  va  $\underline{D}$  koeffitsiyentlar o'rni almashib keladi, ya'ni:

$$\underline{U}_2 = \underline{D} \underline{U}_1 + \underline{B} \underline{L}_1, \quad \underline{L}_2 = \underline{C} \underline{U}_1 + \underline{A} \underline{L}_1 \quad (2.8)$$

### 2.12.3. To'rtqutblikning $\Pi$ -simon almashlash sxemasi

$\Pi$ -simon almashlash sxemasi uchun Kirxgof qonunlari asosida quyidagi tenglamalarni yozish mumkin (2.49-rasm, d):

$$\begin{aligned} \underline{L}_{12} &= \underline{L}_{22} + \underline{L}_2 = \frac{\underline{U}_2}{\underline{Z}_6} + \underline{L}_2, \\ \underline{U}_1 &= \underline{L}_{12} \underline{Z}_4 + \underline{U}_2 = \left( \frac{\underline{U}_2}{\underline{Z}_6} + \underline{L}_2 \right) \underline{Z}_4 + \underline{U}_2 = \\ &= \underline{U}_2 \left( 1 + \frac{\underline{Z}_4}{\underline{Z}_6} \right) + \underline{L}_2 \underline{Z}_4 = \underline{A} \underline{U}_2 + \underline{B} \underline{L}_2, \end{aligned} \quad (2.9)$$

bu yerda  $\underline{A} = 1 + \frac{\underline{Z}_4}{\underline{Z}_6}$ ,  $\underline{B} = \underline{Z}_4$ .

$$\begin{aligned} \underline{L}_1 &= \underline{L}_{11} + \underline{L}_{12} = \frac{\underline{U}_1}{\underline{Z}_5} + \frac{\underline{U}_2}{\underline{Z}_6} + \underline{L}_2 = \frac{\underline{U}_2}{\underline{Z}_5} \left( 1 + \frac{\underline{Z}_4}{\underline{Z}_6} \right) + \underline{L}_2 \frac{\underline{Z}_4}{\underline{Z}_5} + \frac{\underline{U}_2}{\underline{Z}_6} + \underline{L}_2 = \\ &= \underline{U}_2 \left( \frac{\underline{Z}_4 + \underline{Z}_5 + \underline{Z}_6}{\underline{Z}_5 \underline{Z}_6} \right) + \underline{L}_2 \left( 1 + \frac{\underline{Z}_4}{\underline{Z}_5} \right) = \underline{C} \underline{U}_2 + \underline{D} \underline{L}_2. \end{aligned}$$

Oxirgi tenglamadan:

$$C = \frac{Z_4 + Z_5 + Z_6}{Z_6 Z_5} = \frac{1}{Z_6} + \frac{1}{Z_5} + \frac{Z_4}{Z_6 Z_5}, \quad D = 1 + \frac{Z_4}{Z_5}.$$

O'z navbatida agar  $A, B, C, D$  koeffitsiyentlar ma'lum bo'lsa, u holda  $Z$ -larning almashlash sxemasi parametrlari quyidagicha topiladi:

$$Z_4 = B, \quad Z_5 = \frac{B}{D-1}, \quad Z_6 = \frac{B}{A-1}.$$

Agar  $Z_5 = Z_6$  shart bajarilsa, unda to'rtqutblik simmetrik bo'lib,  $A = D$  bo'ladi.

#### 2.12.4. To'rtqutblik koeffitsiyentlarini tajriba yordamida aniqlash

Passiv to'rtqutblik kompleks koeffitsiyentlarini tajriba yordamida aniqlash mumkin. Buning uchun to'rtqutblik parametrlari qiymatlari va elementlarining ularish sxemasini bilish shart emas.

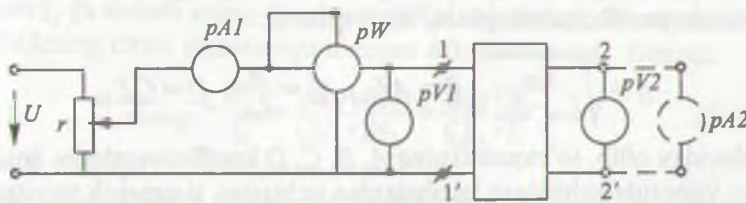
$A, B, C, D$  koeffitsiyentlarni topish formulalarini salt ish va qisqa tutashish tajribalari natijalariga asoslanib hosil qilish mumkin. Tajriba o'tkaziladigan sxema 2.50-rasmda keltirilgan.

1. *To'rtqutblik kirish qismalari manbaga ulangan holat uchun salt ish tajribasi.* Qarshiligi rostlanadigan rezistor  $R$  yordamida to'rtqutblik kirishiga  $U_{2n}$  kuchlanishga teng bo'lgan kuchlanish beriladi va o'chov asboblari yordamida  $U_{10}, I_{10}$  va  $\varphi_{10}$  lar aniqlanadi. Salt ish rejimida  $I_{20} = 0$  bo'lganligi sababli (2.4) va (2.5) tenglamalar quyidagi ko'rinishda yoziladi:

$$U_1 = AU_{2n}, \quad I_{10} = CU_{2n}.$$

$$Z_{10} = \frac{U_{10}}{I_{10}} = \frac{U_{10}}{I_{10}} \cdot 5^{j\varphi_{10}} = \frac{\frac{A}{C} U_{2n}}{\frac{A}{C} U_{2n}} = \frac{A}{C}. \quad (2.10)$$

2. *To'rtqutblik kirish qismalari manbaga ulangan holat uchun qisqa tutashish tajribasi.* Bu tajribani o'tkazish uchun to'rtqutblik chiqish



2.50-rasm.

qismalariga ampermetr ulab uning kirishiga shunday kuchlanish beramizki, bunda to'rtqutblik chiqishidagi tok  $I_{1q}$  ga teng bo'lgen O'lchov asboblari yordamida  $U_{1q}$ ,  $I_{1q}$  va  $\varphi_{1q}$  larni topamiz. Qisqa tutashish rejimida  $U_{2q}=0$  bo'lganligi sababli (2.4) va (2.5) tenglamalar quyidagi ko'rinishda yoziladi:

$$\underline{U}_{1q} = \underline{BI}_1, \quad I_{1q} = \underline{DI}_{2n},$$

bundan:

$$\underline{Z}_{1q} = \frac{\underline{U}_{1q}}{I_{1q}} = \frac{\underline{U}_{1q}}{I_{1q}} \cdot e^{j\varphi_{1q}} = \frac{\underline{B}}{\underline{D}} \frac{I_{2n}}{I_{2n}} = \frac{\underline{B}}{\underline{D}}. \quad (2.11)$$

3. To'rtqutblik chiqish qismalari manbaga ulangan holat uchun solish tajribasi. To'rtqutblik 2-2' chiqish qismalariga shunday kuchlanish beramizki, bunda kirish qismalaridagi kuchlanish  $U_{1n}$  ga teng bo'lsin O'lchov asboblari yordamida  $U_{20}$ ,  $I_{20}$  va  $\varphi_{20}$  ni yozib olamiz. Salt ish rejimida  $I_{10}=0$  bo'lganligi uchun (2.8) tenglamalar quyidagicha yoziladi:

$$\underline{U}_{20} = \underline{DU}_{1n}, \quad I_{20} = \underline{CU}_{1n}.$$

To'rtqutblikning chiqish qismalari tomonidan kirish qarshiligi:

$$\underline{Z}_{20} = \frac{\underline{U}_{20}}{I_{20}} = \frac{\underline{U}_{20}}{I_{20}} \cdot e^{j\varphi_{20}} = \frac{\underline{D}}{\underline{C}} \frac{\underline{U}_{1n}}{\underline{U}_{1n}} = \frac{\underline{D}}{\underline{C}}. \quad (2.12)$$

4. To'rtqutblik chiqish qismalari manbaga ulangan holat uchun qisqa tutashish tajribasi. (2.8) tenglamalar  $U_{1q}=0$  bo'lganda  $\underline{U}_{2q} = \underline{BI}_{1n}$ ,  $\underline{L}_{2q} = \underline{AI}_{1n}$ .

Kirish qarshiligi:

$$\underline{Z}_{2q} = \frac{\underline{U}_{2q}}{\underline{L}_{2q}} = \frac{\underline{U}_{2q}}{\underline{L}_{2q}} \cdot e^{j\varphi_{2q}} = \frac{\underline{B}}{\underline{A}} \frac{\underline{I}_{1n}}{\underline{I}_{1n}} = \frac{\underline{B}}{\underline{A}}. \quad (2.13)$$

(2.10)—(2.13) tenglamalar o'zaro  $\underline{Z}_{1q}/\underline{Z}_{10} = \underline{Z}_{2q}/\underline{Z}_{20}$  munosabat bilan bog'langanligini inobatga olsak, unda  $A$ ,  $B$ ,  $C$ ,  $D$  koefitsiyentlarni topish mumkin. (2.10)—(2.13) tenglamalarni  $\underline{AD}-\underline{BC}=1$  tenglama bilan birgalikda yechib, quyidagilarni hosil qilamiz:

$$A = \sqrt{\frac{\underline{Z}_{10}}{\underline{Z}_{20} - \underline{Z}_{2q}}}, \quad B = A \underline{Z}_{2q}, \quad C = \frac{A}{\underline{Z}_{10}}, \quad D = C \underline{Z}_{20}.$$

Shunday qilib, to'rtqutblikning  $A$ ,  $B$ ,  $C$ ,  $D$  koefitsiyentlarini aniqlash uchun yuqorida keltirilgan tajribalardan uchtasini, simmetrik to'rtqutblik uchun esa ikkitasini o'tkazish kifoya.

### 2.12.5. To‘rtqutblikning salt ishlashi va qisqa tutashishi

(2.4) va (2.5) tenglamalardan ko‘rinib turibdiki, to‘rtqutblik kirishidagi kuchlanish ham, tok ham ikkita tashkil etuvchidan iborat bo‘lib, ulardan biri  $U_2$  kuchlanishga, ikkinchisi esa  $I_2$  tokka proporsional.

To‘rtqutblikning ikkita: *salt ish* va *qisqa tutashish* chegaraviy rejiminlarini ko‘rib chiqamiz. Salt ish rejimida to‘rtqutblik chiqishidagi kuchlanish uning normal ish rejimidagi nominal kuchlanishga, qisqa tutashish rejimida to‘rtqutblik chiqish toki normal ish rejimidagi tokka teng qilib olinadi:

$$U_{10} = AU_2, \quad U_{1q} = BI_2, \quad I_{10} = CU_2, \quad I_{1q} = DI_2 \quad (2.14)$$

(2.14) va (2.8) tenglamalarni o‘zaro taqqoslab,  $U_1$  kuchlanish va  $I_1$  tok salt ish va qisqa tutashish rejimlaridagi mos ravishda kuchlanishlar va toklar yig‘indisiga tengligiga ishonch hosil qilish mumkin, ya’ni:

$$U_1 = AU_2 + BI_2 = U_{10} + U_{1q}, \quad I_1 = CU_2 + DI_2 = I_{10} + I_{1q}.$$

Shunday qilib, to‘rtqutblik kirish qismidagi kuchlanish va tokni salt ish va qisqa tutashish rejimlari natijalarini ustma-ustlab aniqlash mumkin.

Katta quvvatli elektrotexnik qurilmalarni sinovdan o‘tkazishda ustma-ustlash prinsipini qo‘llash alohida ahamiyatga ega. Chunki salt ish va qisqa tutashish tajribalarini o‘tkazishda yuklama rejimidagiga nisbatan ancha kam quvvatli energiya manbaini talab qiladi va bunda elektrotexnik qurilmalarni sinovdan o‘tkazishda katta miqdorda elektr energiya tejaladi.

### 2.12.6. Istalgan yuklama uchun to‘rtqutblikning kirish qarshiligi

To‘rtqutblik ish rejimini tavsiflashda ko‘pincha uning kirish qarshiligi tushunchasidan foydalaniladi. To‘rtqutblik kirish kuchlanishi  $U_1$  ning kirish toki  $I_1$  ga nisbati uning *kirish qarshiligi* deb ataladi. Bunda manba to‘rtqutblikning kirish qismalariga ulangan deb hisoblanadi. Demak:

$$Z_{\text{kir}(1)} = \frac{U_1}{I_1} = \frac{AU_2 + BI_2}{CU_2 + DI_2} = \frac{AZ_n + B}{CZ_n + D}, \quad (2.15)$$

bu yerda  $Z_n = U_2/I_2$ .

Xuddi shuningdek, manba to‘rtqutblikning chiqish qismalariga ulangandagi kirish qarshiligi quyidagiga teng:

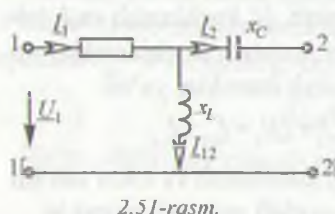
$$\underline{Z}_{\text{kir}(2)} = \frac{\underline{U}_2}{I_2} = \frac{D\underline{U}_1 + BI_1}{AU_1 + AI_1} = \frac{D\underline{Z}_n + B}{C\underline{Z}_n + A}. \quad (2.16)$$

(2.15) va (2.16) tenglamalardagi A, B, C, D koeffitsiyentlar o'miyyatiga (2.10)–(2.13) ifodalarini qo'yib, amalda ko'p uchraydigan quyidagi munosabatlarni hosil qilishimiz mumkin:

$$\underline{Z}_{\text{kir}(1)} = \frac{A(\underline{Z}_n + B/A)}{C(\underline{Z}_n + D/C)} = \underline{Z}_{10} \frac{\underline{Z}_n + \underline{Z}_{2q}}{\underline{Z}_n + \underline{Z}_{20}},$$

$$\underline{Z}_{\text{kir}(2)} = \frac{D(\underline{Z}_n + B/D)}{C(\underline{Z}_n + A/C)} = \underline{Z}_{20} \frac{\underline{Z}_n + \underline{Z}_{1q}}{\underline{Z}_n + \underline{Z}_{10}}.$$

Shuni ta'kidlash joizki, to'rtqutblikning yuqorida ko'rilmagan tenglamalaridan tashqari turli ko'rinishdagi tenglamalari ham mavjud.



**Masala.** 2.51-rasmida keltirilgan to'rtqutblik T-simon almashlash sxemasi uchun A, B, C, D koeffitsiyentlarni toping va AD – BC = 1 munosabatni tekshirib ko'ring. Quyidagilar berilgan:  $r = 100 \Omega$ ,  $x_L = 200 \Omega$ ,  $x_C = 100 \Omega$ .

**Yechish.** To'rtqutblik koeffitsientlarni topish uchun uning salt ish va qisqa tutashish rejimlari uchun yozilgan (2.14) tenglamalaridan foydalanamiz:

$$A = \frac{\underline{U}_{10}}{\underline{U}_{20}} = \frac{\underline{U}_1}{(\underline{U}_1 + jx_L)(r + jx_L)} = \frac{r + jx_L}{jx_L} = \frac{100 + j200}{j200} = 1 - j0,5.$$

B koeffitsiyentni aniqlash uchun avval qisqa tutashish tokini topamiz:

$$I_{2q} = \frac{\underline{U}_{1q}}{r + \frac{x_L x_C}{jx_L - jx_C}} \cdot \frac{jx_L}{jx_L - jx_C} = \frac{\underline{U}_{1q} jx_L}{x_L x_C + jr(x_L - x_C)}.$$

I<sub>2q</sub> tokning topilgan ifodasidan foydalanib, B koeffitsiyentini aniqlaymiz:

$$B = \frac{\underline{U}_{1q}}{I_{2q}} = \frac{x_L x_C + jr(x_L - x_C)}{jx_L} = 50 - j100 \Omega,$$

$$C = \frac{\underline{I}_{10}}{\underline{U}_{20}} = \frac{\underline{I}_{10}}{jx_L \underline{I}_{10}} = -j0,005 \text{ Sm}, \quad D = \frac{\underline{I}_{1q}}{\underline{I}_{2q}} = \frac{\underline{I}_{1q}}{\frac{\underline{I}_{1q}}{jx_L} - jx_C} = \frac{x_L - x_C}{x_L} = 0,5,$$

Endi AD – BC = 1 munosabatni tekshirib ko'ramiz:

$$\underline{AD} - \underline{BC} = (1 - j0,5) \cdot 0,5 - (50 - j100) \cdot (-j0,005) = 1.$$

## MUSTAQIL TAYYORLANISHGA DOIR REFERAT MAVZULARI

1. Sinusoidal EYuKni hosil qilish, uni tavsiflovchi asosiy ko'rsatkichlar.
2. Sinusoidal tok chiziqli elektr zanjirlarida rezistor, induktiv g'altak va kondensator.
3. Sinusoidal tok zanjirlarida quvvat. Quvvatlar balansi.
4. Sinusoidal tok zanjirlarini kompleks usulda hisoblash asoslari.
5. Elektr zanjirlarida rezonans va uning ahamiyati.
6. Elektrotexnik qurilmalarning quvvat koeffitsiyenti va uni oshirish usullari.
7. Induktiv bog'langan zanjirlar va ularni hisoblash asoslari.
8. O'zaksiz transformator, uning almashlash sxemalari va vektor diagrammasi.
9. To'rtqutbliklar: asosiy tenglamlalari va alinashlash sxemalari.
10. To'rtqutblik koeffitsiyentlarini tajriba yordamida aniqlash.

## O'Z-O'ZINI SINASH SAVOLLARI

1. Sinusoidal tokni o'zgarmas tokka nisbatan afzalliklarini aytib bering.
2. Sinusoidal kattalik(EYK, tok, kuchlanish)larni tavsiflovchi asosiy ko'rsatkichlarga nimalar kiradi?
3. Sinusoidal EYK qanday hosil qilinadi?
4. Sinusoidal EYK, tok va kuchlanishlarning ta'sir etuvchi(effektiv) va o'rtacha qiymatlari qanday aniqlanadi?
5. Sinusoidal kattaliklarning amplituda va shakl koeffitsiyentlari qanday hisoblanadi?
6. Sinusoidal kattaliklarni aylanuvchi vektorlar bilan tasvirlashning mohiyatini tushuntirib bering.
7. Sinusoidal kuchlanish va tok vektorlari orasidagi faza siljish burchagi deganda nima tushuniladi?
8. Aktiv, induktiv, sig'im, reaktiv va to'la qarshiliklar ifodalarini yozing va ma'nolarini tushuntirib bering.
9. Qarshiliklar, toklar va kuchlanishlar uchburchaklari nima?
10. Aktiv, reaktiv va to'la quvvatlar elektr zanjirminig qanday xususiyatlarini tavsiflaydi? Quvvatlar uchburchagi nima?
11. Sinusoidal kattaliklarni kompleks tekislikda vektorlar bilan tasvirlash qanday amalga oshiriladi va u qanday qulayliklar tug'diradi?
12. Zanjirning kompleks to'la qarshiligi va o'tkazuvchanligi nima?
13. Om, Kirxgof qonunlarining kompleks shakllarini yozib bering.
14. Kompleks quvvat va kompleks quvvatlar balansi nima?
15. Sinusoidal tok zanjirlarini kompleks usulda hisoblash ketma-ketligini aytib bering.
16. Elektr zanjirida tebranish konturi nima?
17. Elektr zanjirlarida rezonans hodisasi nima va uni mexanikadagi rezonans bilan taq qoslang?
18. Rezonans shartlari nima?
19. Kuchlanishlar rezonansi nima va uni hosil qilish usullarini so'zlab bering?
20. Toklar rezonansi nima va uni hosil qilish usullarini aytинг?
21. Tebranish konturining to'lqin qarshiligi va asllik koeffitsiyenti nima?
22. Rezonans hodisasining amaliy ahamiyatini aytинг.

23. Quvvat koefitsiyenti va uning amaliy ahaniyati haqida nimalarni bilasiz?
24. O'zinduksiya va o'zaroinduksiya hodisalarini tushuntirib bering.
25. O'zaroinduktivlik va induktiv bog'lanish koefitsiyenti nima?
26. Ketma-ket va parallel ulangan o'zaro induktiv bog'langan zanjirlarda o'zaro induktivlik qanday aniqlanadi?
27. O'zaro induktiv bog'langan zanjirlarni hisoblashning o'ziga hos xususiyatlari izohlang.
28. O'zaro induktiv bog'langan ikkita kontur bir xil nomli qismalarini va o'zaro induktivlikni tajriba yordamida aniqlash usullarini tushuntirib bering.
29. Induktiv bog'langan zanjirlarni tahlil qilishda ekvivalent sxemalardan foydalanishning afzalliklari nimalardan iborat?
30. Induktiv bog'langan zanjirlarda energiya uzatish jarayoni qanday amalga oshadi?
31. Induktiv bog'langan zanjirlarda rezonans hodisasining o'ziga xos xususiyatlari tushuntirib bering.
32. O'zaksiz transformatorning tuzilishi va ishslash prinsipini aytib bering.
33. O'zaksiz transformatorning ekvivalent almashlash sxemasi qanday elementlardan tashkil topgan?
34. Ideal transformator nima? Mukammal transformator-chi?
35. To'rtqutblik deb qanday sxemalarga aytildi? Unga misollar keltiring.
36. Qanday to'rtqutbliklar simmetrik, chiziqli, aktiv va passiv deb ataladi?
37. To'rtqutblikning asosiy tenglamalarini yozing va ularni izohlab bering.
38. To'rtqutblikning qanday ko'rinishdagi tenglamalarini bilasiz?
39. To'rtqutblikning qanday almashlash sxemalarini bilasiz?
40. To'rtqutblikning salt ishslash va qisqa tutashish rejimlarini izohlab bering.
41. To'rtqutblikning A, B, C va D koefitsiyentlari tajriba yordamida qanday tartibda aniqlanadi?
42. To'rtqutblikning istalgan yuklamadagi kirish qarshiligi ifodalarini yozing.

## FOYDALANILGAN ADABIYOTLAR

1. Karimov A.S. Elektrotexnikaning nazariy asosalri. – Toshkent, 2003.
2. Бессонов Л.А. Теоретические основы электротехники. – М.: Высшая школа, 2007.
3. Демирчян К.С., Нейман Л.Р., Коровкин Н.В. Теоретические основы электротехники. – Санкт-Петербург. Питер, 2006.
4. Коровкин Н.В. и др. Сборник задач по теоретическим основам электротехники. – Санкт-Петербург. Питер, 2006.
5. Новгородцев А.Б. Теоретические основы электротехники. Учебное пособие. – СПб.: Питер, 2006.
6. Арсеньев Г.Н., Градов И.И. Основы теории цепей. Учебное пособие. – М.: ИД «ФОРУМ»: ИНФРА-М, 2007.
7. Прянишников В.А. Теоретические основы электротехники. Учебное пособие. – СПб.: КОРОНА прнт, 2007.
8. Бычков Ю.А. и др. Теоретические основы электротехники. Справочник по теории электрических цепей. – СПб.: Питер, 2007.
9. Зевеке Г.В., Ионкин П.А. и др. Основы теории цепей. – М.: Энергоатомиздат, 1989.
10. Горбулов А.Н., Кравцов А.В. и др. Теоретические основы электротехники. – М.: УМЦ «ТРИАДА», 2003.
11. Евдокимов Ф.Е. Теоретические основы электротехники. – М.: Высшая школа, 1984.
12. Бессонов Л.А., Демидов И.Г. и др. Сборник задач по теоретическим основам электротехники. – М.: Высшая школа, 1980.
13. Сборник задач и упражнений по теоретическим основам электротехники / Под ред. П. А. Ионкина. – М.: Энергоиздат, 1982.
14. Атабеков Г.И. Теоретические основы электротехники. – М.: Высшая школа, 1978.
15. Шебес М.Р., Каблукова М.В. Задачник по теории линейных электрических цепей. – М.: Высшая школа, 1990.
16. Karimov A.S., Mirzaydarov M.M. va b. Elektrotexnika va elektronika asoslari. Toshkent: «O'qituvchi», 1995.
17. Матханов П.Х. Основы анализа электрических цепей: Линейные цепи. – М.: Высшая школа, 1990.
18. Иродов И.Е. Основные законы электромагнетизма: Учеб. пособие для студентов вузов. – 2-с, стереотип. – М.: Высшая школа, 1991.

## MUNDARIJA

So'zboshi . . . . .	1
Elektrotexnik a taraqqiyoti tarixidan . . . . .	2
O'zbekistond a elektrotexnikaning rivojlanishiga doir tarixiy ma'lumotlar . . . . .	3
O'zbekistond a elektrotexnikaning rivojlanishiga hissa qo'shgan olimlar to'g'risida . . . . .	4

### Birinchi boh.

#### O'ZGARMAS TOK CHIZIQLI ELEKTR ZANJIRLARI VA ULARNI HISOBBLASH USULLARI

1.1. Elektr zanjirlarni tavsiflovchi asosiy kattaliklar . . . . .	18
1.1.1. Elektr maydonining kuchlanganligi . . . . .	18
1.1.2. Elektr potensial va kuchlanish . . . . .	19
1.1.3. Elektr tok. Tok zichligi . . . . .	21
1.2. Elektr zanjir va uning elementlari . . . . .	21
1.3. Om qonuni . . . . .	22
1.3.1. Zanjirning EYK manbali qismi uchun Om qonuni . . . . .	22
1.3.2. Katta toklarda Om qonuning buzilishi . . . . .	29
1.4. Potensial diagramma . . . . .	30
1.5. Elektr energiya va elektr quvvat. Quvvatlar balansi . . . . .	34
1.5.1. Elektr energiya . . . . .	34
1.5.2. Elektr quvvat . . . . .	35
1.5.3. Energiya mambaining FIK . . . . .	35
1.5.4. Elektr zanjirlarida quvvatlar balansi . . . . .	36
1.6. Kirxgof qonunlari . . . . .	37
1.7. Kirxgof qonunlari asosida murakkab elektr zanjirlarining topologik tenglamalarini tuzish . . . . .	39
1.8. Chiziqli elektr zanjir sxemalarini ekvivalent o'zgartirish . . . . .	42
1.8.1. Ketma-ket ulangan elementlardan iborat zanjirni ekvivalent o'zgartirish . . . . .	42
1.8.2. Parallel ulangan elementlardan iborat zanjirlarni ekvivalent o'zgartirish . . . . .	44
1.8.3. Aralash ulangan elementlardan iborat zanjirlarni ekvivalent o'zgartirish . . . . .	45
1.8.4. Qarshiliklarni uchborchagini qarshiliklar yulduziga va aksinchcha ekvivalent o'zgartirish . . . . .	47
1.8.5. EYK va tok manbaiga ega bo'lgan parallel shoxobchalarni ekvivalent o'zgartirish . . . . .	50
1.9. Proporsional kattaliklar usuli . . . . .	52
1.10. Kontur toklar usuli . . . . .	53
1.11. Tugun potensiallar usuli . . . . .	56
1.12. Ikki tugun usuli . . . . .	59
1.13. Ustma-ustlash prinsipi va uni elektr zanjirlarini hisoblashda qo'llash . . . . .	60
1.14. O'zarolik xususiyati va uni tarmoqlangan elektr zanjirlarini hisoblashda qo'llash . . . . .	63

1.15. Aktiv ikki qutblik haqida teorema va uni murakkab elektr zanjirlarni hisoblashda qo'llash. Ekvivalent generator usuli . . . . .	66
1.16. Asosiy topologik tushunchalar va ularni elektr zanjirlami hisoblashda qo'llash . . . . .	70
Mustaqil tayyorlanishga doir referat mavzulari . . . . .	73
O'z-o'zini sinash savollari . . . . .	73

### Ikkinci boh.

#### BIR FAZALI SINUSOIDAL TOK CHIZIQLI ELEKTR ZANJIRLARI

2.1. Umumiy ma'lumotlar . . . . .	75
2.2. Sinusoidal tok va kuchlanishlarning amplitudasi, chastotasi va fazasi . . . . .	75
2.3. Sinusoidal EYK ni hosil qilish . . . . .	76
2.4. Sinusoidal tok, EYK va kuchlanish ta'sir etuvchi (effektiv) va o'rtacha qiymatlari . . . . .	77
2.5. Sinusoidal kattaliklarni vektorlar bilan tasvirlash . . . . .	80
2.6. Sinusoidal tok zanjirlarida rezistor, induktiv g'altak va kondensator . . . . .	81
2.6.1. Rezistiv elementli sinusoidal tok zanjiri . . . . .	82
2.6.2. Induktiv elementli elektr zanjirda sinusoidal tok. Induktiv qarshilik . . . . .	84
2.6.3. Rezistor va induktiv g'altakdan iborat zanjir . . . . .	85
2.6.4. Sig'im elementli elektr zanjirdagi sinusoidal tok. Sig'im qarshiligi . . . . .	88
2.6.5. Rezistor va kondensatoridan iborat zanjir . . . . .	89
2.6.6. Rezistor, induktiv g'altak va kondensator ketma-ket ulangan sinusoidal tok zanjiri . . . . .	90
2.6.7. Rezistor, induktiv g'altak va kondensator parallel ulangan sinusoidal tok zanjiri . . . . .	91
2.7. Sinusoidal tok zanjirida quvvat . . . . .	93
2.8. Sinusoidal tok zanjirlarini kompleks usulda hisoblash . . . . .	94
2.8.1. Sinusoidal kattaliklarni kompleks tekislikda vektorlar bilan tasvirlash . . . . .	94
2.8.2. Om va Kirxgof qonunlarining kompleks shakli . . . . .	96
2.8.3. Kompleks quvvat . . . . .	98
2.8.4. Sinusoidal tok zanjirlarida quvvatlar balansi . . . . .	98
2.8.5. Sinusoidal tok zanjirlarini kompleks usulda hisoblash . . . . .	100
2.9. Elektr zanjirlarida rezonans . . . . .	102
2.9.1. Kuchlanishlar rezonansi . . . . .	103
2.9.2. Toklar rezonansi . . . . .	106
2.10. Elektrotexnik qurilmalarning quvvat koefitsiyenti va uning mohiyati. Quvvat koefitsiyentini oshirish usullari va hisoblash asoslari . . . . .	109
2.11. Induktiv bog'langan zanjirlar. O'zaro bog'lanish koefitsiyenti . . . . .	112
2.11.1. Umuuniy ma'lumotlar . . . . .	112
2.11.2. O'zaro induksiya EYK . . . . .	113
2.11.3. Ketma-ket va parallel ulangan o'zaro induktiv bog'langan zanjirlar . . . . .	114
2.11.4. O'zaro induktiv bog'langan zanjirlarni hisoblash . . . . .	117
2.11.5. Ikki konturli o'zaro induktiv bog'langan zanjirda bir xil nomlangan qismalarni va o'zaro induktivlikni aniqlash usullari . . . . .	120
2.11.6. Induktiv bog'langan zanjirlarning ekvivalent sxemalari . . . . .	121

2.11.7. Induktiv bog'langan zanjirlarda energiya uzatish.....	123
2.11.8. Induktiv bog'langan konturlarda rezonans.....	124
2.11.9. O'zaksiz transformatorlar. Transformatorlarni almashlash sxemasi va vektor diagrammasi .....	126
2.12. To'rtqutbliklar .....	131
2.12.1. Umumiy ma'lumotlar .....	131
2.12.2. To'rtqutblikning $T$ -simon almashlash sxemasi .....	133
2.12.3. To'rtqutblikning $\Pi$ -simon almashlash sxemasi .....	134
2.12.4. To'rtqutblik koefitsiyentlarini tajriba yordamida aniqlash .....	135
2.12.5. To'rtqutblikning salt ishlashi va qisqa tutashishi .....	137
2.12.6. Istalgan yuklama uchun to'rtqutblikning kirish qarshiligi .....	137
<i>Mustaqil tayyorlanishga doir referat mavzulari .....</i>	139
<i>O'z-o'zini sinash savollari .....</i>	139
Foydalilanigan adabiyotlar.....	141

*Sulton Fayzullayevich Amirov, Mirjalil Soatovich Yoqubov,  
Nasim G'afforovich Jabborov*

## ELEKTROTEXNIKANING NAZARIY ASOSLARI

Oliy o'quv yurtlari talabalari uchun o'quv qo'llanma

Toshkent — «Talqin» — 2008

Muharrir	<i>M. Sa'chillayev</i>
Texnik muharrir	<i>A. Salihov</i>
Kompyuterda tayyorlovchi	<i>Ye. Gilmutdinova</i>

Bosishga 22.07.2008.da ruxsat etildi. Bichimi 60x84 $\frac{1}{16}$ . Ofset bosma usulida bosildi.

Shartli b.t. 8,37. Nashr t. 9,0. Adadi 1000 nusxa. Bahosi shartnoma asosida.

Shartnoma № 19/08. 228-sonli buyurtma.

«Talqin» nashriyoti, 100129. Toshkent, Navoiy ko'chasi-30.

«Arnaprint» MChJda sahifalanib chop etildi.

Toshkent, H. Boyqaro ko'chasi, 41.

3612 e